

Introdução à Teoria Geométrica de Grupos

Mikhail Belolipetsky e Gisele Teixeira Paula

Para María e Roberto

Sumário

Prefácio	9
1 Grupos e apresentações de grupos	13
1.1 Teoria básica de grupos	13
1.2 Grupos livres	20
1.2.1 Construção de grupos livres	21
1.3 Geradores e relações de grupos	24
1.3.1 Apresentações	29
1.3.2 Abelianizações	36
1.4 Exemplos e problemas na teoria combinatória dos grupos	37
1.4.1 Exemplos	37
1.4.2 Problemas algorítmicos na teoria combinatória dos grupos	40
2 Geometria das ações de grupos	45
2.1 Ações de grupos	45
2.2 Lema do pingue-pongue	47
2.3 Subgrupos de grupos livres	51
3 Grafos de Cayley e grafos de Schreier	53
3.1 Preliminares	53
3.2 Grafos de Cayley	55
3.3 Grafos de Schreier e o método de Reidemeister–Schreier	65
3.3.1 Transversal de Schreier	66

3.3.2	Processo de reescrita de Reidemeister–Schreier	69
3.3.3	Grafos de Schreier	71
4	Geometria grosseira e quasi-isometrias	75
4.1	Quasi-isometrias	75
4.2	O teorema de Milnor–Schwarz	84
4.3	Um levantamento sobre rigidez quasi-isométrica . . .	94
5	Fins de um espaço topológico	97
5.1	O espaço de fins de um espaço topológico	97
5.1.1	Número de fins de um espaço	98
5.1.2	Limites diretos e inversos de espaços	101
5.1.3	O espaço de fins	103
5.2	Fins de grupos	107
6	Ultralimites e cones assintóticos	111
6.1	Filtros e ultrafiltros	111
6.2	Ultralimites	115
6.3	Cones assintóticos	117
6.4	Ação de um grupo em seu cone assintótico	121
7	Espaços hiperbólicos	125
7.1	Geometria hiperbólica	125
7.1.1	O modelo do semiplano superior de Poincaré	126
7.1.2	O espaço hiperbólico n-dimensional	131
7.2	Espaços hiperbólicos segundo Rips e Gromov	137
7.2.1	Exemplos de espaços hiperbólicos	143
7.2.2	Geometria dos espaços hiperbólicos	146
7.2.3	Quasi-convexidade	155
7.3	Fronteiras ideais	158
7.3.1	A fronteira ideal enquanto espaço topológico	162
7.3.2	Métrica visual no espaço hiperbólico	170
8	Grupos hiperbólicos	173
8.1	Definição e propriedades básicas	173

8.2	Desigualdade isoperimétrica linear e o algoritmo de Dehn	175
8.2.1	O algoritmo de Dehn	185
8.3	Fronteiras ideias de grupos hiperbólicos	187
8.4	Alternativa de Tits para grupos hiperbólicos	190
8.5	Grupos relativamente hiperbólicos	195
9	Crescimento de grupos e os teoremas de Wolf, Milnor e Gromov	199
9.1	A função de crescimento	199
9.2	Grupos solúveis, nilpotentes e policíclicos	204
9.3	A conjectura de Milnor e o teorema de Wolf	210
9.4	Teorema de Milnor	219
9.5	Grupos lineares	223
9.6	Teorema de Gromov	227
10	Crescimento intermediário e os grupos de Grigorchuk	233
10.1	A definição do grupo de Grigorchuk Γ	233
10.2	As propriedades principais do grupo Γ	237
10.3	Algumas outras propriedades do grupo Γ	242
11	Grupos amenáveis	247
11.1	Definição e exemplos	247
11.2	Medida e integração	251
11.3	Condição de Følner e crescimento	254
12	Alguns problemas abertos	259

Prefácio

Grupos são estruturas matemáticas abstratas usadas para capturar a simetria de objetos aritméticos e geométricos. A teoria geométrica de grupos trata-os como objetos geométricos por si próprios. Esta ideia remonta ao trabalho de Cayley, Klein e Dehn no final do século XIX e início do século XX. O estudo das propriedades geométricas dos grupos continuou nos trabalhos de Efremovich, Milnor, Schwarz, Stallings, Bass, Serre e outros. Nas últimas décadas do século XX, a área foi fortemente influenciada e ampliada por Gromov. Desde então, a teoria geométrica de grupos tornou-se um assunto matemático bem definido.

O tema central da teoria geométrica de grupos diz respeito às conexões entre as propriedades algébricas de grupos finitamente gerados e as propriedades geométricas dos espaços métricos sobre os quais um grupo atua de maneira agradável. Em particular, um grupo finitamente gerado pode ser visto como tal espaço métrico em si, considerando seu grafo de Cayley dotado da métrica das palavras. Este é o ponto de partida para a teoria que estudamos.

O presente livro baseia-se nos cursos ministrados no IMPA pelo primeiro autor durante vários anos. Já existe extensa literatura inglesa sobre o assunto, da qual podemos citar os livros “Topics in geometric group theory” por P. de la Harpe, “How groups grow” por A. Mann, “Geometric group theory: An Introduction” por C. Löh, e “Geometric group theory” por C. Druţu e M. Kapovich. Nosso texto tem diversas interseções com essas fontes, mas a escolha do material e da apresentação costuma ser diferente. O livro deve ser

acessível aos alunos de pós-graduação e pode ser utilizado como uma introdução ao assunto.

Passamos agora a revisar brevemente o conteúdo. Os Capítulos 1 a 4 consistem de conceitos básicos e preliminares de todo o material contido no livro. Grupos hiperbólicos são discutidos nos Capítulos 7 e 8, enquanto grupos amenáveis aparecem no Capítulo 11. Leitores interessados em crescimento de grupos podem fazer uma leitura dos Capítulos 1 a 4, seguindo ao Capítulo 6 para estudar as ferramentas necessárias para a prova dos principais teoremas sobre crescimento, e passar diretamente aos Capítulos 9 e 10.

No Capítulo 1 lembramos os conceitos básicos de teoria de grupos, grupos livres e apresentações de grupos. No final do capítulo apresentamos alguns exemplos e problemas bem conhecidos que desempenharam papel importante no desenvolvimento da teoria combinatória e da teoria geométrica de grupos.

O Capítulo 2 trata de ações de grupos. O principal resultado aqui é o lema do pingue-pongue, também conhecido como lema de Tits. Aplicações desse lema a subgrupos de grupos livres são consideradas na última seção.

No Capítulo 3 estudamos os grafos de Cayley e grafos de Schreier. Os grafos de Schreier podem ser considerados uma generalização dos grafos de Cayley. Eles são muito úteis para aplicações, mas um pouco menos conhecidos.

No Capítulo 4 encontramos pela primeira vez os principais conceitos da teoria geométrica de grupos. Começamos com as definições e as propriedades básicas das quasi-isometrias. Seguindo Gromov, damos duas definições diferentes de quasi-isometria exibindo suas características distintas e depois provamos sua equivalência. Na sequência, provamos o teorema de Milnor–Schwarz e consideramos alguns corolários. O capítulo termina com um levantamento sobre rigidez quasi-isométrica.

O próximo capítulo é sobre invariantes topológicos de quasi-isometrias. Definimos fins de espaços topológicos e estudamos fins de grupos finitamente gerados, a partir de seus grafos de Cayley.

Como preparação para o material a seguir, no Capítulo 6 defini-

mos ultrafiltros, ultralimites e cones assintóticos. Na última seção consideramos a ação de um grupo finitamente gerado em seu cone assintótico.

O Capítulo 7 começa com uma breve recapitulação da geometria hiperbólica e depois avança para a noção de hiperbolicidade no sentido de Gromov e Rips. Apresentamos um estudo detalhado da geometria de espaços δ -hiperbólicos e suas fronteiras ideais.

No Capítulo 8 estudamos a hiperbolicidade de grupos segundo Gromov. Além disso, trabalhamos com relações entre suas propriedades isoperimétricas e algorítmicas e apresentamos a alternativa de Tits para esta classe de grupos.

No Capítulo 9 consideramos outro tópico central da teoria geométrica de grupos, que é o crescimento dos grupos. O estudo de crescimento de grupos está relacionado com o crescimento de volume em variedades Riemannianas, devido ao Teorema de Milnor-Schwarz. Neste capítulo, revisamos a conjectura de Milnor e provamos os teoremas de Wolf, Bass-Guivarch e Milnor. O capítulo termina com uma prova do teorema de Gromov sobre grupos de crescimento polinomial. Esta parte segue essencialmente a abordagem original de Gromov [Gro81], embora existam pelo menos outras duas provas mais recentes desse resultado, a de Kleiner [Kle10] e a de Shalom-Tao [ST10]. Optamos por apresentar a prova original de Gromov devido à sua relação natural com o desenvolvimento de vários tópicos em teoria geométrica de grupos.

O Capítulo 10 trata da célebre construção devida a Grigorchuk dos grupos com crescimento intermediário.

Grupos amenáveis são definidos e estudados no Capítulo 11. Esses grupos foram definidos por John von Neumann em 1929 em seu trabalho sobre o paradoxo de Banach-Tarski. Nós começamos com a definição de von Neumann, discutimos a relação com decomposições paradoxais da esfera, depois continuamos com a condição de Følner e seus corolários.

Por fim, o Capítulo 12 coleciona alguns problemas em aberto bem conhecidos.

Agradecimentos. Gostaríamos de agradecer aos alunos do IMPA

e da UFPR que frequentaram o curso e leram a versão inicial do livro pela participação e comentários. Agradecimentos especiais vão para Alcides de Carvalho Junior, cujas notas digitadas foram utilizadas no início do nosso projeto.

Capítulo 1

Grupos e apresentações de grupos

1.1 Teoria básica de grupos

Esta seção consiste de uma revisão dos conceitos principais de teoria básica de grupos, os quais serão utilizados ao longo do texto. O leitor interessado pode se referir a [Art91] ou [Lan02] para mais resultados e demonstrações.

Definição 1.1. Um *grupo* é um conjunto G munido de uma operação binária $\cdot : G \times G \rightarrow G$ satisfazendo as seguintes condições:

- (i) *Associatividade*: Para todos $g_1, g_2, g_3 \in G$, tem-se $g_1 \cdot (g_2 \cdot g_3) = (g_1 \cdot g_2) \cdot g_3$;
- (ii) *Existência de elemento neutro*: Existe um elemento $e \in G$ tal que $e \cdot g = g = g \cdot e$, para todo $g \in G$;
- (iii) *Existência de inversos*: Para todo $g \in G$, existe um elemento, denotado por g^{-1} , de G , tal que $g \cdot g^{-1} = e = g^{-1} \cdot g$.

O grupo G será dito *abeliano* se a operação \cdot for comutativa, isto é, se $g_1 \cdot g_2 = g_2 \cdot g_1$, para todos $g_1, g_2 \in G$.

Dado um grupo (G, \cdot) , um subconjunto $H \subset G$ é dito um *subgrupo* de G se H é, ele próprio, um grupo com respeito à restrição de \cdot ao subconjunto $H \times H$ de $G \times G$. Usamos a notação $H \leq G$ para dizer que H é subgrupo de G .

Observação 1.2. A menos que seja necessário explicitar a operação de G , denotaremos a partir de agora $g \cdot h$ simplesmente por gh .

Exemplo 1.3 (Grupo simétrico). Se X é um conjunto qualquer, o conjunto S_X de todas as bijeções $f : X \rightarrow X$ é um grupo com respeito à composição de funções. Chamamos S_X de grupo simétrico sobre X . Se $n \in \mathbb{N}$, abreviamos $S_{\{1,2,\dots,n\}} = S_n$. Esse grupo em geral não é abeliano.

Definição 1.4. Sejam (G, \cdot) e (H, \times) dois grupos.

- Um mapa $\varphi : G \rightarrow H$ é um *homomorfismo de grupos* se, para todos $g_1, g_2 \in G$, vale $\varphi(g_1 \cdot g_2) = \varphi(g_1) \times \varphi(g_2)$. Note que todo homomorfismo de G em H leva o elemento neutro de G no elemento neutro de H , e vale $\varphi(g^{-1}) = (\varphi(g))^{-1}$, para todo $g \in G$.
- Um homomorfismo de grupos é dito um *epimorfismo* se for sobrejetivo e um *isomorfismo* se for bijetivo. Naturalmente, neste último caso, a inversa $\varphi^{-1} : H \rightarrow G$ também é um homomorfismo de grupos. Caso exista um isomorfismo entre G e H , dizemos que eles são *isomorfos* e escrevemos $G \cong H$.

Exemplo 1.5 (Grupos lineares). Um grupo G é dito linear se existe um corpo K , um inteiro n e um homomorfismo injetivo de G no grupo linear geral $GL(n, K)$, das matrizes $n \times n$ invertíveis. Por exemplo, são lineares os grupos:

- $SL(n, K)$, das matrizes $n \times n$ com entradas em K e determinante 1;
- O grupo das matrizes triangulares superiores invertíveis com entradas no corpo K .

Exemplo 1.6. Seja $\varphi : G \rightarrow H$ um homomorfismo de grupos. Os conjuntos $\text{Ker}(\varphi) := \{g \in G \mid \varphi(g) = e_H\}$ e $\text{Im}(\varphi) := \{\varphi(g) \mid g \in G\}$ são subgrupos de G e H , respectivamente. Chamamos $\text{Ker}(\varphi)$ de *núcleo* de φ e $\text{Im}(\varphi)$ de *imagem* de φ .

Exemplo 1.7. Seja G um grupo. O conjunto $\text{Aut}(G)$ dos isomorfismos de G sobre ele mesmo, também chamados *automorfismos* de G , é um grupo com respeito à composição de funções. Evidentemente, $\text{Aut}(G)$ é um subgrupo de S_G .

Definição 1.8. Seja $H \leq G$.

- A cardinalidade de H será chamada de *ordem* de H e denotada por $|H|$.
- A *ordem* de um elemento $g \in G$ é a ordem do subgrupo $\langle g \rangle := \{g^k \mid k \in \mathbb{Z}\}$, isto é, o menor $n \in \mathbb{N}$ para o qual $g^n = e$, caso exista tal inteiro. Se não existir, dizemos que g tem ordem infinita. Neste caso, $\langle g \rangle \cong \mathbb{Z}$.
- As relações $g \sim g' \Leftrightarrow g^{-1}g' \in H$ e $g \equiv g' \Leftrightarrow g(g')^{-1} \in H$ são relações de equivalência em G . A classe de um elemento $g \in G$ por \sim é o conjunto $gH := \{gh; h \in H\}$, chamado *classe lateral à direita* de g . Já a classe de g por \equiv é o conjunto $Hg := \{hg; h \in H\}$, chamado *classe lateral à esquerda* de g .
- O *quociente* G/H (respectivamente $H \backslash G$) de G por H é o conjunto de classes laterais à direita (respect., à esquerda) de G módulo \sim (respect., módulo \equiv). Esse conjunto nem sempre terá estrutura de grupo, a menos que H seja normal, como veremos a seguir.
- A cardinalidade do quociente G/H , a qual coincide com a do quociente $H \backslash G$, é chamada *índice* de H em G , e denotada por $|G : H|$.

Um subgrupo N de um grupo G é dito *normal* em G se for invariante por conjugações, isto é, se $gng^{-1} \in N$, sempre que $n \in N$ e $g \in G$. Neste caso, escrevemos $N \triangleleft G$.

Uma das principais propriedades de subgrupos normais é que o quociente de G por um subgrupo normal N herda naturalmente uma estrutura de grupo, como vemos na seguinte proposição, cuja prova pode ser vista em [Art91, Chapter 2].

Proposição 1.9. Sejam G um grupo e N um subgrupo normal de G . Considere o quociente G/N . Então:

1. O mapa

$$\begin{aligned} \cdot : G/N \times G/N &\rightarrow G/N \\ (g_1N, g_2N) &\mapsto (g_1N) \cdot (g_2N) := (g_1g_2)N \end{aligned}$$

está bem-definido se, e somente se, N é normal em G . Neste caso, G/N é um grupo com respeito à operação acima, chamado grupo quociente de G por N .

2. A projeção canônica

$$\begin{aligned} \pi : G &\rightarrow G/N \\ g &\mapsto gN \end{aligned}$$

é um homomorfismo de grupos, e o grupo quociente G/N , munido da operação \cdot possui a seguinte propriedade universal: Para todo grupo H e todo homomorfismo de grupos $\varphi : G \rightarrow H$ com $N \subset \text{Ker}(\varphi)$, existe exatamente um homomorfismo de grupos $\tilde{\varphi} : G/N \rightarrow H$ tal que $\tilde{\varphi} \circ \pi = \varphi$.

$$\begin{array}{ccc} G & \xrightarrow{\varphi} & H \\ \pi \downarrow & & \nearrow \tilde{\varphi} \\ G/N & & \end{array}$$

A relação entre homomorfismos de grupos e subgrupos normais é descrita pelo seguinte resultado (veja *ibid.*):

Teorema 1.10. Se $\varphi : G \rightarrow H$ é um homomorfismo de grupos, então $\text{Ker}(\varphi)$ é normal em G e $G/\text{Ker}(\varphi) \cong \varphi(G)$.

Exemplo 1.11. O centro de um grupo G é o subgrupo $Z(G)$ formado pelos elementos que comutam com todos os outros elementos de G , isto é $Z(G) = \{g \in G \mid gh = hg, \text{ para todo } h \in G\}$. É imediato verificar que $Z(G) \triangleleft G$.

Definição 1.12. Seja I um conjunto e considere uma família de grupos $(G_i)_{i \in I}$. O produto direto dos grupos dessa família é o grupo $\prod_{i \in I} G_i$, produto cartesiano dos $(G_i)_{i \in I}$, com a operação feita pontualmente:

$$(g_i)_{i \in I} \cdot (h_i)_{i \in I} = (g_i \cdot h_i)_{i \in I}.$$

O produto direto de grupos tem a propriedade universal de que homomorfismos desse produto estão em bijeção com as famílias de homomorfismos em cada fator.

Definição 1.13. Sejam N e H grupos e $\varphi : H \rightarrow \text{Aut}(N)$ um homomorfismo de grupos. O produto semidireto de H por N com respeito a φ é o grupo $N \rtimes_{\varphi} H$, definido como o produto cartesiano $N \times H$, munido da operação:

$$(n_1, h_1) * (n_2, h_2) = (n_1 \cdot \varphi(h_1)(n_2), h_1 h_2).$$

Se $H = \mathbb{Z}$, $\varphi : \mathbb{Z} \rightarrow \text{Aut}(N)$ é determinado por $\varphi(1) = \psi$, por isso também podemos escrever $N \rtimes_{\psi} \mathbb{Z}$ com $\psi \in \text{Aut}(N)$.

Exemplo 1.14. 1. Se N e H grupos e $\varphi : H \rightarrow \text{Aut}(N)$ é o automorfismo identidade, então $N \rtimes_{\varphi} H = N \times H$.

2. Seja $n \geq 3$ um inteiro. O grupo diedral (veja Exemplo 1.43) D_n é isomorfo ao produto semidireto $\mathbb{Z}/n\mathbb{Z} \rtimes_{\varphi} \mathbb{Z}/2\mathbb{Z}$, onde $\varphi : \mathbb{Z}/2\mathbb{Z} \rightarrow \text{Aut}(\mathbb{Z}/n\mathbb{Z})$ é dado por multiplicação por -1 .

Equivalentemente, poderíamos definir o produto semidireto da seguinte maneira, usando o grupo ambiente: se G é um grupo e $N \triangleleft G$, $H \leq G$ são subgrupos, dizemos que $G = N \rtimes H$ (é o produto semidireto de H e N) se, e somente se, vale um dos itens equivalentes a seguir:

- (1) $G = NH$ e $H \cap N = \emptyset$;
- (2) $G = HN$ e $H \cap N = \emptyset$;
- (3) Para todo $g \in G$, existem únicos $n \in N$ e $h \in H$ tais que $g = nh$;
- (4) Para todo $g \in G$, existem únicos $n \in N$ e $h \in H$ tais que $g = hn$;
- (5) Existe o homomorfismo de retração $f : G \rightarrow H$ cujo núcleo é N .

Exercício 1.15. Se $G = N \rtimes H$ segundo a definição acima, então $G = N \rtimes_{\varphi} H$ com $\varphi(h) : n \mapsto hnh^{-1}$.

Considere uma ação natural de H na soma direta $\bigoplus_{h \in H} G$ dada por

$$\phi : H \rightarrow \text{Aut}\left(\bigoplus_{h \in H} G\right), \quad \phi(h)f(x) = f(h^{-1}x), \quad \forall x \in H.$$

Assim, podemos definir o produto semidireto

$$\left(\bigoplus_{h \in H} G\right) \rtimes_{\phi} H. \tag{1.1}$$

Definição 1.16. O produto semidireto (1.1) é chamado de *produto entrelaçado* de G com H e é denotado por $G \wr H$.

Esta construção é fonte de muitos exemplos interessantes na teoria dos grupos.

Exemplo 1.17. Um grupo que pode ser descrito como produto entrelaçado é o *grupo acendedor de lâmpadas* L . A idéia por trás desse grupo é a seguinte: considere uma rua infinita (pensada como a reta real), com uma origem ℓ_0 bem definida e postes de iluminação $\dots, \ell_{-2}, \ell_{-1}, \ell_0, \ell_1, \ell_2, \dots$, situados sobre cada número inteiro e podendo cada um estar aceso ou apagado. Considere também um acendedor de lâmpadas, cuja função é caminhar pela rua, acendendo ou apagando alguma lâmpada, e então terminando sua jornada em algum dos postes, digamos ℓ_k .

Uma boa analogia para descrever cada elemento do grupo é como um conjunto de instruções. Por exemplo, se estamos numa configuração onde o acendedor acendeu as lâmpadas nas posições -2, 1, 3 e 4, e terminou sua jornada na posição -4, o elemento correspondente pode ser descrito como o seguinte conjunto de instruções, assumindo que a posição inicial do acendedor é a origem:

- (1) Vá uma vez para a direita;
- (2) Acenda a lâmpada;
- (3) Ande duas vezes para a direita;
- (4) Acenda a lâmpada;
- (5) Ande uma vez para a direita;
- (6) Acenda a lâmpada;
- (7) Ande seis vezes para a esquerda;
- (8) Acenda a lâmpada;
- (9) Ande duas vezes para a esquerda.

Para compor dois elementos, basta aplicar os dois conjuntos de instruções correspondentes, um após o outro, notando que a posição inicial do segundo grupo de comandos não será necessariamente a origem, e sim a posição final correspondente ao elemento anterior.

Para dar uma descrição mais algébrica deste grupo, observe que cada elemento é caracterizado por dois objetos:

1. Um inteiro $k \in \mathbb{Z}$, correspondente à posição do acendedor.
2. Uma sequência com suporte finito $(a_n)_{n \in \mathbb{Z}}$, onde $a_n \in \mathbb{Z}_2$ representa o estado da lâmpada na posição n .

Existem dois geradores para o grupo: um gerador, digamos t , incrementa k , de modo que o acendedor se move para a próxima lâmpada (t^{-1} decrementa k), enquanto o outro gerador, a , age de

modo que o estado da lâmpada ℓ_k é alterado (de apagado para aceso ou vice-versa).

Podemos assumir que apenas um número finito de lâmpadas estão acesas em qualquer momento, uma vez que a ação de qualquer elemento de L altera no máximo um número finito de lâmpadas. O número de lâmpadas acesas é, no entanto, ilimitado.

Exercício 1.18. Mostre que o grupo acendedor de lâmpadas pode ser escrito como o produto entrelaçado $\mathbb{Z}_2 \wr \mathbb{Z}$.

Definição 1.19. Um grupo G é dito *grupo de torção* se todos os seus elementos tem ordem finita, e *sem torção*, ou *livre de torção*, se todo elemento não-trivial tem ordem infinita.

Note que o subconjunto $\text{Tor } G = \{g \in G \mid g \text{ tem ordem finita}\}$ em geral não é um subgrupo de G .

Definição 1.20. Dizemos que um grupo tem *virtualmente* uma certa propriedade \mathcal{P} se algum subgrupo H de índice finito em G tem tal propriedade.

Por exemplo, um grupo é virtualmente livre de torção se ele contém subgrupo de índice finito livre de torção; é virtualmente abeliano se contém subgrupo de índice finito que é abeliano, etc.

1.2 Grupos livres

Definiremos agora um tipo especial de grupos, chamados grupos livres, que possuem papel importante no estudo de geometria hiperbólica e topologia, por exemplo. Como veremos, esses grupos tem as mais simples apresentações possíveis.

Definição 1.21 (Propriedade universal dos grupos livres). Seja X um subconjunto de um grupo F . Dizemos que F é *livremente gerado* por X se toda função $\varphi : X \rightarrow G$, do conjunto X para um grupo G pode ser estendida a um único homomorfismo $\Phi : F \rightarrow G$.

Diremos que F é um grupo *livre* se ele for livremente gerado por algum conjunto $X \subset F$.

Lema 1.22. Se F é livremente gerado por X , então F é o menor subgrupo de F que contém X .

Demonstração. Denote por Γ o menor subgrupo de F que contém X . Claramente, $\Gamma \subset F$. Para verificar a inclusão contrária, note que a inclusão $i_1 : X \rightarrow \Gamma$ se estende, pela propriedade universal acima, a um único homomorfismo $f : F \rightarrow \Gamma$. Compondo f com a inclusão $i_2 : \Gamma \rightarrow F$, obtemos um homomorfismo $\theta : F \rightarrow F$. Mas note que os mapas θ e Id_F são homomorfismos de F em F que estendem a inclusão $i : X \rightarrow F$. Pela unicidade desse homomorfismo, devemos ter $\theta = \text{Id}_F$, e disso segue que $F \subset \Gamma$. \square

Lema 1.23. Se F e F' são grupos livremente gerados por X e X' , respectivamente, e $|X| = |X'|$, então $F \cong F'$.

Demonstração. Da hipótese de que X e X' tem a mesma cardinalidade, segue que existe uma bijeção $f : X \rightarrow X'$, com inversa $g = f^{-1} : X' \rightarrow X$. Essas bijeções, quando compostas com as inclusões de X' em F' e de X em F , respectivamente, se estendem a homomorfismos $\bar{f} : F \rightarrow F'$ e $\bar{g} : F' \rightarrow F$. Mas $\bar{g} \circ \bar{f}$ é um automorfismo de F que estende a inclusão de X em F , bem como a aplicação Id_F , e portanto esses mapas são iguais pela unicidade da extensão. O mesmo argumento mostra que $\bar{f} \circ \bar{g} = \text{Id}_{F'}$. Concluímos portanto que \bar{f} e \bar{g} são, na verdade, isomorfismos. \square

Definição 1.24. Se F é livremente gerado por X e $|X| = n < \infty$, denotamos F por F_n e esse grupo é dito *grupo livre de posto n* .

O grupo F_n está bem definido, a menos de isomorfismo, devido ao Lema 1.23. Veremos no Capítulo 2 que $F_m \cong F_n$ se, e somente se, $m = n$.

1.2.1 Construção de grupos livres

Até então, vimos uma caracterização de grupos livres, mas não exibimos exemplos de que esses grupos de fato existem. O objetivo desta seção é fornecer uma construção do grupo livre gerado por um conjunto qualquer.

Seja X um conjunto. Na construção que faremos a seguir, seus elementos serão chamados *letras* ou *símbolos*. Definimos o conjunto de *letras inversas* $X^{-1} = \{x^{-1}; x \in X\}$ e vamos pensar em $X \cup X^{-1}$ como um *alfabeto*. Uma *palavra* em $X \cup X^{-1}$ é uma sequência finita (possivelmente vazia) de letras em $X \cup X^{-1}$, isto é, uma expressão da forma $x_{i_1}^{\varepsilon_1} \dots x_{i_k}^{\varepsilon_k}$ onde $x_{i_j} \in X$ e $\varepsilon_j = \pm 1$. Vamos chamar de 1 a palavra vazia, isto é, uma palavra que não usa nenhuma letra do alfabeto $X \cup X^{-1}$.

Denotamos por $W(X)$ o conjunto de todas as palavras, incluindo a palavra vazia, no alfabeto $X \cup X^{-1}$. Por exemplo, se $x_1, x_2 \in X$, então $x_1 x_2 x_2 x_1 x_1^{-1} \in W(X)$.

Observação 1.25. No caso em que X é subconjunto de um grupo (G, \cdot) , teremos uma ambiguidade na notação, já que $x_1 \dots x_n$ poderá representar tanto uma palavra formal no alfabeto $X \cup X^{-1}$, quanto um produto de elementos do grupo, isto é, $x_1 \cdot \dots \cdot x_n$. É preciso ser claro sobre em que sentido estamos usando essa notação neste caso, pois uma palavra determina um elemento do grupo, mas um dado elemento do grupo pode ser representado por diferentes palavras. Por exemplo, ab e ba são palavras diferentes, mas se o grupo que as contém for abeliano, elas representam ali o mesmo elemento.

O *comprimento* de uma palavra w no alfabeto $X \cup X^{-1}$ é definido como o número de letras usadas para escrever w neste alfabeto. O comprimento da palavra vazia é igual a 0. Uma palavra é dita *reduzida* se não contiver nenhum par de letras consecutivas da forma $x^{-1}x$ ou xx^{-1} , com $x \in X$. Uma *redução* de uma palavra $w \in W(X)$ é uma operação que elimina da escrita de w algum par de letras consecutivas de uma das formas acima.

Por exemplo, se $X = \{x_1, x_2\}$, as palavras 1 , x_1 , x_1^{-1} , $x_1 x_2$ e $x_1 x_2 x_1^{-1}$ são reduzidas, enquanto $w = x_1 x_2 x_2 x_1 x_1^{-1}$ não é reduzida por conter o termo $x_1 x_1^{-1}$. Neste último caso, uma redução de w é a eliminação deste termo, levando à palavra $w' = x_1 x_2 x_2$.

Definimos uma relação de equivalência em $W(X)$ dizendo que $w \sim w'$ se, e somente se, w pode ser obtida de w' por uma sequência finita de reduções ou de reduções inversas (o acréscimo de termos

do tipo $x^{-1}x$ ou xx^{-1} , com $x \in X$). Por exemplo, $ux^{-1}xv \sim uv$, onde $u, v \in W(X)$ e $x \in X$.

Proposição 1.26. Cada palavra $w \in W(X)$ é equivalente a uma única palavra reduzida.

Demonstração. Existência: Vamos provar a afirmação por indução no comprimento de w . Para palavras de comprimento 0 ou 1, o resultado é direto, já que ambas são reduzidas. Assuma que a afirmação é verdadeira para todas palavras de comprimento n e considere uma palavra de comprimento $n+1$, $w = a_1 \dots a_n a_{n+1}$, onde $a_i \in X \cup X^{-1}$. De acordo com a hipótese de indução, existe uma palavra reduzida $u = b_1 \dots b_k$ com $b_j \in X \cup X^{-1}$, tal que $a_2 \dots a_{n+1} \sim u$. Assim, $w \sim a_1 u$. Se $a_1 \neq b_1^{-1}$, então $a_1 u$ é reduzida, e a afirmação está provada. Caso $a_1 = b_1^{-1}$, teremos $a_1 u \sim b_2 \dots b_k$ e esta última palavra é reduzida.

Unicidade: Seja $F(X)$ o conjunto de todas as palavras reduzidas em $X \cup X^{-1}$. Para cada $a \in X \cup X^{-1}$, definimos a função de translação $L_a : F(X) \rightarrow F(X)$ por

$$L_a(b_1 \dots b_k) = \begin{cases} ab_1 \dots b_k, & \text{se } a \neq b_1^{-1}; \\ b_2 \dots b_k, & \text{se } a = b_1^{-1}. \end{cases}$$

Para cada palavra $w = a_1 \dots a_n$, defina $L_w = L_{a_1} \circ \dots \circ L_{a_n}$. Se $w = 1$ é a palavra vazia, defina $L_1 = \text{Id}$. Note que $L_a \circ L_{a^{-1}} = \text{Id}$, para todo $a \in X \cup X^{-1}$, e disso podemos concluir que $v \sim w$ implica $L_v = L_w$.

Vamos também provar por indução que se w é reduzida, então $w = L_w(1)$. De fato, se w tem comprimento 0 ou 1, não há o que provar. Assuma que a afirmação seja válida para palavras de comprimento n , e seja w uma palavra reduzida de comprimento $n+1$. Então $w = au$, onde $a \in X \cup X^{-1}$ e u é uma palavra reduzida em $X \cup X^{-1}$, de comprimento n , que não começa com a^{-1} , isto é, tal que $L_a(u) = au$. Então $L_w(1) = L_a \circ L_u(1) = L_a(u) = au = w$.

Para provar a unicidade, é suficiente mostrar que se $v \sim w$, com v e w reduzidas, então $v = w$. Mas como $v \sim w$ implica que $L_v = L_w$, temos $v = L_v(1) = L_w(1) = w$. \square

Se $F(X)$ é como na prova da Proposição 1.26, $W(X)/\sim$ pode ser identificado com $F(X)$. A classe de uma palavra $w \in W(X)/\sim$ é denotada por $[w]$.

O conjunto $F(X)$ é um grupo, se equipado com a seguinte operação: para $[w], [w'] \in F(X)$ o produto $[w] \cdot [w']$ é a única palavra reduzida equivalente a ww' . O elemento neutro desse grupo é a palavra vazia. A cardinalidade de X é chamada de *posto* de $F(X)$.

Proposição 1.27. O grupo $F(X)$ definido acima é livremente gerado por X .

Demonstração. Seja $\varphi : X \rightarrow G$ uma função qualquer de X em um grupo G . Podemos definir uma extensão $\Phi : F(X) \rightarrow G$, começando de maneira natural em X e estendendo-a, inicialmente a $X \cup X^{-1}$ pondo $\varphi(x^{-1}) = (\varphi(x))^{-1}$. Em seguida, estendemos para $F(X)$, escrevendo, para cada palavra reduzida $w = x_1 \dots x_k$ em $F(X)$:

$$\Phi(w) := \varphi(x_1) \dots \varphi(x_k).$$

Para verificar que a extensão Φ é única, suponha que exista um homomorfismo $\Psi : F(X) \rightarrow G$ com $\Psi(x) = \varphi(x)$, para todo $x \in X$. Então para cada palavra reduzida $w = a_1 \dots a_n$ em $F(X)$, vale:

$$\Psi(w) = \Psi(a_1) \dots \Psi(a_n) = \varphi(a_1) \dots \varphi(a_n) = \Phi(w).$$

Pela propriedade universal dos grupos livres, segue que $F(X)$ é livremente gerado por X . □

Observação 1.28. Um grupo livre com posto ≥ 2 é não-abeliano.

1.3 Geradores e relações de grupos

Alguns objetos matemáticos são definidos de forma abstrata, como um conjunto munido de uma ou mais operações que satisfazem certas condições. Esse é o caso de espaços vetoriais, anéis, corpos, grupos, entre outros. Muitas vezes, é difícil visualizar ou trabalhar com esses objetos através da definição, e buscamos “modelos” para

facilitar o trabalho. No caso de espaços vetoriais, por exemplo, escolhemos trabalhar com bases de vetores linearmente independentes que geram o espaço, tendo como referência o espaço euclidiano \mathbb{R}^n .

Neste sentido, trabalharemos com grupos a partir de suas apresentações, isto é, listas de elementos geradores, junto a uma descrição das relações entre esses elementos. A escolha de um conjunto de geradores para um grupo funciona como a escolha de uma base em um espaço vetorial. No entanto, em geral esses geradores podem não ser independentes. Grupos que admitem apresentações onde os geradores são independentes são chamados de grupos livres.

Seja S um subconjunto de um grupo G e $H \leq G$ um subgrupo. As seguintes afirmações são equivalentes:

(1) H é o menor subgrupo de G contendo S ;

$$(2) H = \bigcap_{S \subset \Gamma \leq G} \Gamma;$$

$$(3) H = \{s_1 s_2 \cdots s_n \mid s_i \text{ ou } s_i^{-1} \in S, \forall i = 1, 2, \dots, n\}.$$

O subgrupo H satisfazendo qualquer uma das condições acima é chamado *subgrupo gerado por S* , denotado por $\langle S \rangle$. Neste caso, S é dito um *conjunto de geradores* de H .

Quando S consiste de um único elemento, digamos $S = \{g\}$, o grupo $\langle S \rangle$ é usualmente denotado por $\langle g \rangle$. Este é o grupo *cíclico* gerado por g , e consiste de todas as potências de g com respeito à operação de G , isto é, $\langle g \rangle = \{g^n \mid n \in \mathbb{Z}\}$. Um grupo cíclico é isomorfo a \mathbb{Z} ou a \mathbb{Z}_n , para algum $n \in \mathbb{N}$. Caso seja infinito, este grupo (na verdade, esta classe de grupos, a menos de isomorfismos) também será referido como grupo livre abeliano de posto 1.

Mais geralmente, nos referimos à classe de isomorfismo do grupo \mathbb{Z}^n como o “grupo livre abeliano” de posto n . Este grupo é gerado pelos elementos e_1, \dots, e_n , da base canônica de \mathbb{R}^n . O grupo livre abeliano de posto 0 é o grupo trivial.

Note que o termo “livre abeliano” deve ser pensado como uma só palavra. Um grupo livre abeliano não é “livre” no sentido da Seção 1.2, a menos que seja trivial ou cíclico.

Dizemos que um subgrupo normal $K \triangleleft G$ é *normalmente gerado* por um subconjunto $R \subset K$ se K é o menor subgrupo normal de G que contém R , isto é

$$K = \bigcap_{R \subset N \triangleleft G} N.$$

Usaremos a notação $K = \langle\langle R \rangle\rangle$ para representar este subgrupo. Dado qualquer subconjunto $A \subset G$, o subgrupo $\langle\langle A \rangle\rangle$ é chamado de *fecho normal* de A em G .

Exercício 1.29. Dado um grupo G e um subconjunto $A \subset G$, então $\langle\langle A \rangle\rangle$ é gerado por $S = \{gag^{-1} \mid a \in A, g \in G\}$.

Definição 1.30. Um grupo G é dito *finitamente gerado* se tem um conjunto finito de geradores, ou seja, se existe $S \subset G$ finito tal que $\langle S \rangle = G$.

Exemplo 1.31. O conjunto $S = \{\pm 1\}$ gera $(\mathbb{Z}, +)$. Já $(\mathbb{Q}, +)$ não é finitamente gerado.

Exemplo 1.32. Os grupos lineares $\text{GL}(n, \mathbb{Z})$, $\text{SL}(n, \mathbb{Z})$ e $\text{PSL}(n, \mathbb{Z})$ são finitamente gerados, mas $\text{GL}(n, \mathbb{R})$ não o é.

Para $\text{GL}(n, \mathbb{Z})$, os geradores são:

$$s_1 = \begin{pmatrix} 0 & 0 & \cdots & 0 & 1 \\ 1 & 0 & \cdots & 0 & 0 \\ 0 & 1 & \ddots & 0 & 0 \\ \vdots & \ddots & \ddots & \ddots & \vdots \\ 0 & 0 & \cdots & 1 & 0 \end{pmatrix} \quad s_2 = \begin{pmatrix} 0 & 1 & 0 & \cdots & 0 \\ 1 & 0 & 0 & \cdots & 0 \\ 0 & 0 & 1 & \ddots & 0 \\ \vdots & \ddots & \ddots & \ddots & \vdots \\ 0 & 0 & 0 & \cdots & 1 \end{pmatrix}$$

$$s_3 = \begin{pmatrix} 1 & 1 & 0 & \cdots & 0 \\ 0 & 1 & 0 & \cdots & 0 \\ 0 & 0 & 1 & \ddots & 0 \\ \vdots & \ddots & \ddots & \ddots & \vdots \\ 0 & 0 & 0 & \cdots & 1 \end{pmatrix} \quad s_4 = \begin{pmatrix} -1 & 0 & 0 & \cdots & 0 \\ 0 & 1 & 0 & \cdots & 0 \\ 0 & 0 & 1 & \ddots & 0 \\ \vdots & \ddots & \ddots & \ddots & \vdots \\ 0 & 0 & 0 & \cdots & 1 \end{pmatrix}$$

Uma demonstração pode ser encontrada em [DK18, Seção 7.1].

Proposição 1.33. Sejam G um grupo e $N \triangleleft G$ um subgrupo normal.

1. Se N e G/N são finitamente gerados, então G também o é.
2. Se G é finitamente gerado, então G/N também o é.

Demonstração. 1. Considere um conjunto finito $\{n_1, \dots, n_k\}$ de geradores de N e um conjunto finito $\{g_1N, \dots, g_mN\}$ de geradores de G/N . É fácil verificar que o conjunto finito abaixo gera G :

$$\{n_i, g_j \mid 1 \leq i \leq k, 1 \leq j \leq m\},$$

2. Basta notar que o conjunto formado pelas imagens dos geradores de G pela projeção canônica $\pi : G \rightarrow G/N$ gera G/N . □

Observação 1.34. Mesmo que tenhamos G e G/N finitamente gerados, isto não implica que N seja finitamente gerado.

Exemplo 1.35. Seja H o subgrupo das permutações de \mathbb{Z} gerado por $t = (0, 1)$ e $s(i) = i + 1$. Denote por H_n , para cada $n \in \mathbb{N}$, o subgrupo de H das permutações de \mathbb{Z} suportadas em $[-n, n]$, e seja H_ω o subgrupo das permutações de \mathbb{Z} com suporte finito, i.e., o grupo das bijeções $f : \mathbb{Z} \rightarrow \mathbb{Z}$ tais que f é a identidade fora de um conjunto finito de \mathbb{Z} . Note que

$$H_\omega = \bigcup_{n=0}^{\infty} H_n.$$

Então $H_\omega \triangleleft H$ e $H/H_\omega \cong \mathbb{Z}$. De fato, a relação $s^k t s^{-k} = (k, k + 1)$, para todo $k \in \mathbb{Z}$, implica que H_ω é subgrupo de H , pois toda permutação é gerada por transposições. Para ver que H_ω é subgrupo normal, basta mostrar que $t^k H_\omega t^{-k} \subset H_\omega$ e $s^k H_\omega s^{-k} \subset H_\omega$. Dada $f \in H_n$, temos $s^k f s^{-k}(i) = s^k f(i - k) = f(i - k) + k$. Mas caso $i - k \geq n$ temos $f(i - k) = i - k$ e, portanto, $s^k f s^{-k}$ é a identidade fora de $[-(k + n), k + n]$, ou seja, $s^k f s^{-k} \in H_{k+n}$, donde segue que $s^k H_\omega s^{-k} \subset H_\omega$. A inclusão $t^k H_\omega t^{-k} \subset H_\omega$ é imediata, já que

$t \in H_1$. Como $t \in H_\omega$, segue que H/H_ω é cíclico gerado pela classe de s .

Os grupos H e H/H_ω são finitamente gerados, mas H_ω não o é. Note que, se g_1, \dots, g_k fosse um conjunto finito gerando H_ω , então existiria $n_0 = \max\{n_j \in \mathbb{N}, \text{supp}(g_j) \subset [-n_j, n_j]\} \in \mathbb{N}$ com $g_j \in H_{n_0}$ para todo j . Portanto teríamos $H_\omega = H_{n_0}$, o que é um absurdo.

Proposição 1.36. Um subgrupo de índice finito de um grupo finitamente gerado é finitamente gerado.

Demonstração. Sejam $G = \langle g_1, \dots, g_d \rangle$, $|G : H| = s$, e seja $\{a_1 = 1, \dots, a_s\}$ uma *transversal* para H em G , i.e. um conjunto de representantes para as coclasses direitas de H . Seja $x = y_1 \cdots y_n$ qualquer elemento de G , onde cada y_i é um dos geradores ou seus inversos. Seja a_{i_1} o representante de Hy_1 , e escreva $x = y_1 a_{i_1}^{-1} a_{i_1} y_2 \cdots y_n$. Agora seja a_{i_2} o representante de $Ha_{i_1} y_2$, e escreva

$$x = y_1 a_{i_1}^{-1} \cdot a_{i_1} y_2 a_{i_2}^{-1} \cdot a_{i_2} y_3 \cdots y_n,$$

etc., obtendo finalmente $x = y_1 a_{i_1}^{-1} \cdot a_{i_1} y_2 a_{i_2}^{-1} \cdots a_{i_{n-1}} y_n a_{i_n}^{-1} \cdot a_{i_n}$. Aqui os termos $a_j y_k a_l^{-1}$ estão em H , então se $x \in H$, temos $a_{i_n} = 1$ e x é escrito como um produto de um número finito de *produtos triplos* $a_j y_k a_l^{-1}$. \square

Proposição 1.37. Um grupo finitamente gerado contém apenas um número finito de subgrupos de um índice finito fixo.

Demonstração. Seja G gerado por g_1, \dots, g_d e $|G : H| = s$. Dado qualquer $r < s$ e qualquer r coclasses Ha_1, \dots, Ha_r , sua união K não é todo o grupo G , portanto K não pode ser fechado para multiplicação à direita pelos geradores e seus inversos, ou seja, para algum i e algum gerador g_j ou $Ha_i g_j$ ou $Ha_i g_j^{-1}$ é uma nova coclasse. Segue-se que cada coclasse tem um representante de comprimento $s - 1$ ou menos, e os produtos triplos acima têm comprimento no máximo $2s - 1$. Uma vez que existem apenas um número finito de elementos com tais comprimentos, existem apenas finitas maneiras de escolher os geradores de H . \square

Corolário 1.38. Se $|G : H| = s < \infty$, então H contém um subgrupo de índice finito K que é normal em G , e se G for finitamente gerado, podemos escolher K como um *subgrupo característico* em G , i.e. um subgrupo que é mapeado para si mesmo por cada automorfismo do grupo.

Demonstração. Considere K como a interseção de todos os conjugados de H , ou, se G for finitamente gerado, a interseção de todos os subgrupos de G de índice s . \square

Proposição 1.39. Todo grupo é quociente de um grupo livre.

Demonstração. Seja G um grupo e escolha um subconjunto $S \subset G$ tal que $G = \langle S \rangle$ (por exemplo $S = G$). A inclusão $i : S \rightarrow G$ se estende a um homomorfismo $\pi_S : F(S) \rightarrow G$. Como $G = \langle S \rangle$, segue que π_S é sobrejetivo. Assim, pelo Teorema 1.10, segue que $G \cong F(S)/\text{Ker}(\pi_S)$. \square

1.3.1 Apresentações

Sejam G um grupo e S um conjunto de geradores de G . Como vimos na Proposição 1.39, a inclusão $i : S \rightarrow G$ pode ser estendida a um único homomorfismo $\pi_S : F(S) \rightarrow G$, e $G \cong F(S)/\text{Ker}(\pi_S)$. Os elementos de $\text{Ker}(\pi_S)$ são chamados *relações* do grupo $G = \langle S \rangle$.

Se $R = \{r_i \mid i \in I\}$ é tal que $\text{Ker}(\pi_S) = \langle\langle R \rangle\rangle$, o par denotado por $\langle S \mid R \rangle$ é dito uma *apresentação* de G . Escrevemos $G = \langle S \mid R \rangle$ para indicar que esta é uma apresentação de G .

Definição 1.40. Um grupo G é dito *finitamente apresentado* se existir uma apresentação finita de G , isto é, se existirem S e R finitos tais que $\langle S \mid R \rangle = F(S)/\langle\langle R \rangle\rangle$ é isomorfo a G .

Exemplo 1.41. Se $R = \emptyset$, então $\langle\langle R \rangle\rangle = \{e\}$, e portanto $\langle S \mid R \rangle = F(S)/\{e\}$ é isomorfo a $F(S)$. Assim, $\langle a \mid \emptyset \rangle$ é uma apresentação de \mathbb{Z} , $\langle a, b \mid \emptyset \rangle$ é uma apresentação de F_2 , etc. Em geral, um grupo livre é um grupo sem relações.

Exemplo 1.42. Os grupos \mathbb{Z}^n e \mathbb{Z}_n são finitamente apresentados. De fato:

1. $\langle x_1, \dots, x_n \mid [x_i, x_j], i, j \in \{1, \dots, n\} \rangle$ é uma apresentação de \mathbb{Z}^n , onde $[x_i, x_j] = x_i x_j x_i^{-1} x_j^{-1}$.
2. $\langle x \mid x^n \rangle$ é uma apresentação do grupo cíclico \mathbb{Z}_n .
3. Apresentações finitas não são únicas: por exemplo, $\langle x, y \mid x^2, y^3, xyx^{-1}y^{-1} \rangle$ é outra apresentação do grupo cíclico \mathbb{Z}_6 .

Note que dizer que $xyx^{-1}y^{-1}$ é uma relação no grupo G significa dizer que x e y comutam. É comum escrevermos $\langle x, y \mid xy = yx \rangle$ em vez de $\langle x, y \mid xyx^{-1}y^{-1} \rangle$.

Exemplo 1.43 (Grupo Diedral Finito). Sejam $n \in \mathbb{N}$, com $n \geq 3$ e $X_n \subset \mathbb{R}^2$ um polígono regular de n lados, com métrica induzida da métrica Euclidiana em \mathbb{R}^2 . Então o grupo de isometrias de X_n é chamado *grupo diedral*:

$$D_n := \langle s, t \mid s^n, t^2, tst^{-1} = s^{-1} \rangle = \langle s, t \mid s^n, t^2, (ts)^2 \rangle.$$

Geometricamente, s corresponde à rotação de $\frac{2\pi}{n}$ em torno do centro do polígono regular X_n , e t corresponde à reflexão sobre um diâmetro passando por um dos vértices de X_n , como na Figura 1.1. Além disso, podemos mostrar que o grupo D_n é finito de ordem $2n$.

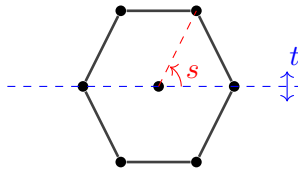


Figura 1.1: O grupo diedral D_6 .

Exemplo 1.44. Um exemplo de grupo finitamente gerado que não é finitamente apresentável é o grupo *acendedor de lâmpadas*, que tem apresentação $\langle s, t \mid \{[t^n s t^{-n}, t^m s t^{-m}], m, n \in \mathbb{Z}\} \rangle$ (veja o Exemplo 1.17 e [Bau61]).

Em geral, é um problema difícil reconhecer a classe de isomorfismos de um grupo a partir de uma apresentação dada. Por exemplo, não existe algoritmo que reconheça se uma dada apresentação fornece o grupo trivial. De fato, existem muitas apresentações “complicadas” para o grupo trivial. Vejamos um exemplo:

Exemplo 1.45. O grupo $G := \langle x, y \mid xyx^{-1} = y^2, yxy^{-1} = x^2 \rangle$ é trivial. De fato, sejam $\bar{x} \in G$ e $\bar{y} \in G$ as imagens de x e y , respectivamente, pela projeção canônica

$$F(\{x, y\}) \rightarrow F(\{x, y\}) / \langle\langle \{xyx^{-1}y^{-2}, yxy^{-1}x^{-2}\} \rangle\rangle = G.$$

Por definição, em G obtemos

$$\bar{x} = \bar{x}\bar{y}\bar{x}^{-1}\bar{x}\bar{y}^{-1} = \bar{y}^2\bar{x}\bar{y}^{-1} = \bar{y}\bar{y}\bar{x}\bar{y}^{-1} = \bar{y}\bar{x}^2;$$

e assim, $\bar{x} = \bar{y}^{-1}$. Portanto,

$$\bar{y}^{-2} = \bar{x}^2 = \bar{y}\bar{x}\bar{y}^{-1} = \bar{y}\bar{y}^{-1}\bar{y}^{-1} = \bar{y}^{-1}$$

e então $\bar{x} = \bar{y}^{-1} = e$. Como \bar{x} e \bar{y} geram G , concluímos que G é trivial.

Uma conjectura ainda em aberto é a Conjectura de Andrews–Curtis, que afirma que qualquer apresentação do grupo trivial com o mesmo número de geradores e relações pode ser reduzida a uma apresentação trivial por uma sequência de movimentos simples, dados pela conjugação de relatores ou por transformações de Nielsen elementares.

As *transformações de Nielsen* são definidas da seguinte forma: dados um grupo G e $n > 1$, uma transformação de Nielsen elementar em uma n -upla $T = (g_1, \dots, g_n)$ de elementos de G é um dos seguintes movimentos:

1. Para algum $i \in \{1, \dots, n\}$ substitua g_i por g_i^{-1} em T .
2. Para $i \neq j$, com $i, j \in \{1, \dots, n\}$, permuta g_i e g_j em T .
3. Para $i \neq j$, com $i, j \in \{1, \dots, n\}$, troque g_i por $g_i g_j$ em T .

Dizemos que duas n -uplas T e T' são Nielsen equivalentes se existe uma sequência finita de n -uplas $T = T_0, T_1, \dots, T_{k-1}, T_k = T'$, tal que T_i é obtido de T_{i-1} por uma transformação de Nielsen elementar para $1 \leq i \leq k$.

Exercício 1.46. O grupo de Thompson é definido como

$$F := \langle x_0, x_1, \dots \mid \{x_k^{-1}x_nx_k = x_{n+1} \mid k, n \in \mathbb{N}, k < n\} \rangle.$$

Mostre que F admite uma apresentação finita, a saber:

$$F \cong \langle A, B \mid [AB^{-1}, A^{-1}BA], [AB^{-1}, A^{-2}BA^2] \rangle.$$

Agora vamos discutir as propriedades básicas das apresentações dos grupos.

Seja $\langle S \mid R \rangle$ uma apresentação de um grupo G . Dados um grupo H e uma função $\varphi : S \rightarrow H$ que preserva as relações, isto é, tal que $\varphi(r) = 1$ para cada $r \in R$ (rigorosamente, estamos identificando φ com sua extensão definida no grupo livre com base em S e pedindo que sua extensão preserve as relações). Então vale a seguinte:

Proposição 1.47 (Propriedade Universal). A função φ pode ser estendida a um homomorfismo $\tilde{\varphi} : G \rightarrow H$.

Demonstração. Seja H um grupo e $\varphi : S \rightarrow H$ uma função que preserva as relações. Pela propriedade universal dos grupos livres φ se estende a um único homomorfismo $\bar{\varphi} : F(S) \rightarrow H$. Como, por hipótese, $R \subset \text{Ker}(\varphi)$ temos que $\langle\langle R \rangle\rangle \subset \text{Ker}(\bar{\varphi})$. Portanto, $\bar{\varphi}$ desce ao quociente $F(S)/\langle\langle R \rangle\rangle$, definindo um homomorfismo $\tilde{\varphi} : G \rightarrow H$ dado por $\tilde{\varphi} \circ \pi_S = \bar{\varphi}$.

$$\begin{array}{ccc} F(S) & \xrightarrow{\bar{\varphi}} & H \\ \pi_S \downarrow & \nearrow \tilde{\varphi} & \\ G & & \end{array}$$

□

A proposição a seguir mostra que a propriedade de ser finitamente apresentado não depende da escolha de geradores:

Proposição 1.48. Assuma que G tem apresentação finita $\langle S \mid R \rangle$ e seja $\langle X \mid T \rangle$ uma apresentação arbitrária de G com X finito. Então existe um subconjunto finito $T_0 \subset T$ tal que $\langle X \mid T_0 \rangle$ é uma apresentação finita de G .

Demonstração. Cada elemento $s \in S$ pode ser escrito como uma palavra reduzida $s = a_s(X)$ no alfabeto $X \cup X^{-1}$. Considere a função $i_{SX} : S \rightarrow F(X)$ definida por $i_{SX}(s) = a_s(X)$. Pela propriedade universal de grupos livres, i_{SX} se estende a um único homomorfismo $p : F(S) \rightarrow F(X)$.

Lembramos que se G tem apresentação $\langle S \mid R \rangle$, denotamos por $\pi_S : F(S) \rightarrow G$ o epimorfismo que estende a inclusão $i : S \rightarrow G$, e neste caso $\text{Ker}(\pi_S)$ é normalmente gerado por R .

Além disso, como $\pi_X \circ i_{SX}$ é a inclusão de S em G (já que $\pi_X(a_s(X)) = a_s(X)$, por essa palavra ser reduzida em $X \cup X^{-1}$), e ambos π_S e $\pi_X \circ p$ são homomorfismos de $F(S)$ para G estendendo esse mapa, pela unicidade da extensão, temos $\pi_S = \pi_X \circ p$.

Analogamente, todo $x \in X$ pode ser expresso como $b_x(S)$, uma palavra em $S \cup S^{-1}$, e isso define um mapa $i_{XS} : X \rightarrow F(S)$, $i_{XS}(x) = b_x(S)$, o qual se estende a um homomorfismo $q : F(X) \rightarrow F(S)$. Um argumento análogo ao anterior mostra que $\pi_S \circ q = \pi_X$.

Para todo $x \in X$, vale $\pi_X(p(q(x))) = \pi_S(q(x)) = \pi_X(x)$, o que implica $x^{-1}p(q(x)) \in \text{Ker}(\pi_X)$. Seja N o subgrupo de $F(X)$ normalmente gerado por $\{p(r) \mid r \in R\} \cup \{x^{-1}p(q(x)) \mid x \in X\}$. Note que $N \leq \text{Ker}(\pi_X)$, já que N é normalmente gerado por um conjunto contido em $\text{Ker}(\pi_X)$.

Portanto, existe uma projeção natural

$$\text{proj} : F(X)/N \rightarrow F(X)/\text{Ker}(\pi_X).$$

Seja $\tilde{p} : F(S) \rightarrow F(X)/N$ o homomorfismo natural induzido por p . Como $\tilde{p}(r) = 1$ para todo $r \in R$, segue que $\tilde{p}(\text{Ker}(\pi_S)) = 1$, e portanto, \tilde{p} induz um homomorfismo

$$\varphi : F(S)/\text{Ker}(\pi_S) \rightarrow F(X)/N.$$

Vejam os que φ é sobrejetivo. De fato, $F(X)/N$ é gerado pelos elementos da forma $xN = p(q(x))N$, e estes são a imagem por φ de $q(x)\text{Ker}(\pi_S)$.

Considere o homomorfismo

$$\text{proj} \circ \varphi : F(S)/\text{Ker}(\pi_S) \rightarrow F(X)/\text{Ker}(\pi_X).$$

Tanto o domínio quanto o contradomínio de $\text{proj} \circ \varphi$ são isomorfos a G . Cada $x \in X$ é enviado por $G \cong F(S)/\text{Ker}(\pi_S)$ em $q(x)\text{Ker}(\pi_S)$, e pelo isomorfismo $G \cong F(X)/\text{Ker}(\pi_X)$ em $x\text{Ker}(\pi_X)$.

Note que

$$\text{proj} \circ \varphi(q(x)\text{Ker}(\pi_S)) = \text{proj}(xN) = x\text{Ker}(\pi_X).$$

Isto significa que, módulo os dois isomorfismos mencionados acima, o mapa $\text{proj} \circ \varphi$ é a identidade Id_G . Daí, segue que φ é injetivo, portanto uma bijeção. Assim, proj também é uma bijeção entre $F(X)/N$ e $F(X)/\text{Ker}(\pi_X)$, o que pode ocorrer se, e somente se $N = \text{Ker}(\pi_X)$. Em particular, $\text{Ker}(\pi_X)$ é normalmente gerado pelo conjunto finito de relatores

$$\mathcal{R} := \{p(r) \mid r \in R\} \cup \{x^{-1}p(q(x)) \mid x \in X\}.$$

Como $\mathcal{R} \subset \langle\langle T \rangle\rangle$, todo relator $\rho \in \mathcal{R}$ pode ser escrito como um produto

$$\rho = \prod_{i \in I_\rho} (\nu_i t_i \nu_i^{-1}), \quad \nu_i \in F(X), t_i \in T \text{ e } I_\rho \text{ finito.}$$

Segue que $\text{Ker}(\pi_X)$ é normalmente gerado pelo conjunto finito

$$T_0 = \bigcup_{\rho \in \mathcal{R}} \{t_i, i \in I_\rho\} \subset T.$$

□

Proposição 1.49. Sejam G um grupo e $N \triangleleft G$. Se N e G/N são finitamente apresentados, então G também o é.

Demonstração. Sejam X um conjunto finito que gera N e Y um subconjunto finito de G tal que $\bar{Y} = \{yN \mid y \in Y\}$ gera G/N , de modo que $\langle X \mid r_1, \dots, r_k \rangle$ e $\langle \bar{Y} \mid \rho_1, \dots, \rho_n \rangle$ sejam apresentações finitas de N e de G/N , respectivamente.

Na Proposição 1.33, vimos que G é gerado por $S = X \cup Y$. Esse conjunto de geradores satisfaz a seguinte lista de relações:

$$r_i(X) = 1, \forall 1 \leq i \leq k; \rho_j(Y) = u_j(X), \forall 1 \leq j \leq n; \quad (1.2)$$

$$xyx^{-1} = v_{xy}(X); y^{-1}xy = w_{xy}(X), \forall x \in X, y \in Y \quad (1.3)$$

para algumas palavras u_j, v_{xy}, w_{xy} de S , escritas com elementos de X , já que todos esses elementos estão em N .

Afirmamos que este é um conjunto completo de relações de G . Todas as relações acima podem ser reescritas como $t(X, Y) = 1$, para um conjunto finito T de palavras em S . Se $K = \langle\langle T \rangle\rangle \triangleleft F(S)$, então o epimorfismo $\pi_S : F(S) \rightarrow G$ define um epimorfismo $\varphi : F(S)/K \rightarrow G$. Dada $wK \in \text{Ker}(\varphi)$, onde w é uma palavra em S , graças às relações (1.3), existem $w_1(X)$ em X e $w_2(Y)$ em Y tais que $wK = w_1(X)w_2(Y)K$. Aplicando a projeção $\pi : G \rightarrow G/N$, vemos que $\pi\varphi(wK) = 1$, isto é, $\pi(\varphi(w_2(Y)K)) = 1$. Isto implica que $w_2(Y)$ é um produto de uma quantidade finita de conjugados de $\rho_i(Y)$, e portanto $w_2(Y)K$ é o produto de uma quantidade finita de conjugados de $u_j(X)K$, pelo conjunto de relações (1.2). Esse fato, junto às relações (1.3) implica que $w_1(X)w_2(Y)K = v(X)K$, para alguma palavra $v(X)$ em X . Então $\varphi(wK) = \varphi(v(X)K)$ está em N . Logo, $v(X)$ é o produto de uma quantidade finita de relatores $r_i(X)$, o que implica que $v(X)K = K$. Provamos assim que $\text{Ker}(\varphi)$ é trivial, e portanto φ é um isomorfismo. Equivalentemente, $K = \text{Ker}(\pi_S)$. Isto implica que $\text{Ker}(\pi_S)$ é normalmente gerado pelo conjunto finito de relatores listado em (1.2) e (1.3). Com isso, $G \cong \langle S \mid T \rangle$ é finitamente apresentado. \square

Exercício 1.50. Sejam F um grupo livre não abeliano e $\varphi : F \rightarrow \mathbb{Z}$ um homomorfismo não trivial. Mostre que $\text{Ker}(\varphi)$ não é finitamente gerado.

Exercício 1.51. Um elemento g de um grupo G é chamado *não-gerador* se para cada conjunto de geradores S contendo g , o conjunto $S \setminus \{g\}$ continua gerando G .

- (a) Mostre que o conjunto de todos os não-geradores formam um subgrupo de G , chamado *subgrupo de Frattini*.
- (b) Determine o subgrupo de Frattini de $(\mathbb{Z}, +)$.
- (c) Determine o subgrupo de Frattini de $(\mathbb{Z}^n, +)$.

1.3.2 Abelianizações

Para terminar esta seção, faremos um comentário sobre abelianizações. Seja G um grupo. O *comutador* de $x, y \in G$ é o elemento $[x, y] = xyx^{-1}y^{-1} \in G$. Sejam H, K dois subgrupos de G . Denotamos por $[H, K]$ o subgrupo de G gerado por todos os comutadores $[h, k]$, com $h \in H, k \in K$.

Note que para $g, x, y \in X$, tem-se $g[x, y]g^{-1} = [gxg^{-1}, gyg^{-1}]$. Segue daí que $[G, G]$ é normal em G . Este grupo é usualmente chamado de *grupo derivado de G* denotado por G' . O grupo quociente G/G' é abeliano, e será chamado *abelianização* de G .

Exercício 1.52. Mostre que $G/[G, G]$ é abeliano.

Exercício 1.53. Mostre que $F_n/[F_n, F_n] \cong \mathbb{Z}^n$.

Exercício 1.54. Encontre o grupo derivado e a abelianização do grupo diedral finito D_n e do grupo diedral infinito D_∞ . Observamos que D_∞ é o grupo de isometrias de \mathbb{Z} , o qual é gerado pela translação $t(x) = x + 1$ e pela simetria $s(x) = -x$.

Observe que não é necessariamente verdade que o grupo derivado G' seja formado somente de comutadores $[x, y]$, com $x, y \in G$. No entanto, eventualmente isso pode acontecer. Por exemplo, todo elemento do grupo alternado $A_n \leq S_n$ é um comutador de elementos de S_n (veja [Ore51]).

Isto leva a um invariante geométrico interessante, chamado *compromimento do comutador* (cf. [Bav91, Cal08]), e denotado por $\ell_c(g)$,

para $g \in G'$, o qual é definido como o menor número inteiro k de modo que g possa ser expresso como um produto de comutadores

$$g = [x_1, y_1] \cdots [x_k, y_k].$$

Também podemos definir o *comprimento estável do comutador* de $g \in G'$:

$$\limsup \frac{\ell_c(g^n)}{n}.$$

Por exemplo, se G é livre de posto 2, então todo elemento não trivial de G' tem comprimento estável do comutador maior que 1.

Uma importante aplicação de abelianizações é que, se X é um espaço topológico conexo por caminhos e $x \in X$, então o primeiro grupo de homologia $H_1(X)$ é isomorfo à abelianização do grupo fundamental $\pi_1(X, x)$.

1.4 Exemplos e problemas na teoria combinatória dos grupos

Esta seção é dedicada aos exemplos interessantes da teoria combinatória dos grupos e aos problemas algorítmicos na teoria.

1.4.1 Exemplos

1. *Grupos de superfícies:*

$$G = \langle a_1, b_1, \dots, a_g, b_g \mid \prod_{i=1}^g [a_i, b_i] \rangle$$

é uma apresentação do grupo fundamental de uma superfície compacta, conexa, orientada de gênero $g \geq 1$. Essa superfície é obtida identificando lados de um polígono com $4g$ lados, e cada par de lados identificado origina uma classe diferente no grupo fundamental da superfície. Na versão planar da superfície fica mais evidente a relação que aparece entre os lados, com o produto dos comutadores sendo trivial no grupo fundamental.

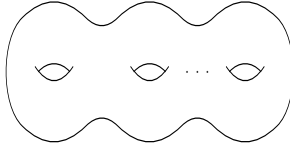


Figura 1.2: Superfície compacta orientável de gênero g

2. *Grupos de Artin de ângulos retos (RAAG)*: Seja Γ um grafo finito com conjunto de vértices $V = \{v_1, \dots, v_n\}$ e com conjunto de arestas $E = \{(v_i, v_j)\}_{ij}$ (cf. Seção 3.1).

O grupo de Artin de ângulos retos correspondente a Γ , denotado por A_Γ , é o grupo com a seguinte apresentação:

$$A_\Gamma := \langle V \mid [v_i, v_j], \text{ se } (v_i, v_j) \in E \rangle.$$

Por exemplo, se $\Gamma = (V, A)$ não tem arestas ($A = \emptyset$), então o grupo de Artin de ângulos retos A_Γ é o grupo livre $F(V)$, de posto $|V|$. Se $\Gamma = (V, A)$ é um grafo completo, então o grupo de Artin de ângulos retos A_Γ é o grupo \mathbb{Z}^n , onde $n = |V|$.

3. *Grupos de Coxeter*: Seja $\Gamma = (V, E)$ um grafo finito simples. Associamos a cada aresta $e = (v_i, v_j) \in E$ um número natural $m(e) \neq 1$, chamado *marcação* de e . Chamamos de *grafo de Coxeter* o par $(\Gamma, m : E \rightarrow \mathbb{N} \setminus \{1\})$. Definimos, a partir desse grafo o grupo de Coxeter C_Γ com apresentação

$$C_\Gamma = \left\langle V \mid v_i^2, (v_i v_j)^{m(e)} \text{ se existe uma aresta } e = (v_i, v_j) \right\rangle.$$

Por exemplo, se Γ é um grafo com dois vértices v_1 e v_2 , e uma única aresta $e = (v_1, v_2)$, com marcação m , então C_Γ tem apresentação $\langle v_1, v_2 \mid v_1^2, v_2^2, (v_1 v_2)^m \rangle$, e portanto é isomorfo ao grupo diedral D_m .

4. *Grupos de Artin*: Seja $(\Gamma, m : E \rightarrow \mathbb{N} \setminus \{1\})$ um grafo de Coxeter. Definimos o grupo de Artin associado a Γ por:

$$A_\Gamma = \left\langle V \mid \underbrace{v_i v_j \dots}_{m(e) \text{ termos}} = \underbrace{v_j v_i \dots}_{m(e) \text{ termos}} \quad \text{se } e = (v_i, v_j) \in E \right\rangle.$$

Note que A_Γ é um grupo de Artin de ângulos reto se, e somente se, $m(e) = 2$ para cada $e \in A$. Em geral, C_Γ é o quociente de A_Γ pelo subgrupo normal gerado pelo conjunto $\{v_i^2; v_i \in V\}$.

5. *Grupo de Heisenberg discreto*:

$$H_{2n+1} = \langle x_1, \dots, x_n, y_1, \dots, y_n, z \mid [x_i, z], [y_i, z], [x_i, x_j], [y_i, y_j], [x_i, y_j] z^{-\delta_{ij}}, \forall 1 \leq i, j \leq n \rangle.$$

É possível verificar que

$$H_{2n+1} \cong \left\{ \left(\begin{array}{ccccc} 1 & x_1 & \cdots & x_n & z \\ 0 & 1 & \cdots & 0 & y_n \\ \vdots & \vdots & \ddots & \vdots & \vdots \\ 0 & 0 & \cdots & 1 & y_1 \\ 0 & 0 & \cdots & 0 & 1 \end{array} \right) \mid x_i, y_j, z \in \mathbb{Z} \right\}.$$

Os grupos de Heisenberg são exemplos de grupos nilpotentes não-abelianos (cf. Seção 9.2).

6. *Grupos de Baumslag-Solitar*: Dados $p, q \in \mathbb{Z}$, considere o grupo

$$BS(p, q) := \langle a, b \mid ab^p a^{-1} b^{-q} \rangle.$$

Por exemplo, $BS(1, 1) \cong \mathbb{Z}^2$, e $BS(1, -1) \cong \pi_1(K)$, onde K é a garrafa de Klein. Essa é uma classe interessante de grupos finitamente gerados com uma única relação que foi surpreendentemente útil para a construção de exemplos e contra-exemplos em combinatória e teoria geométrica de grupos, exemplos esses que marcam fronteiras entre diferentes classes de grupos (cf. [Bau]).

7. *Grupos de Burnside*: Para $m, n \in \mathbb{N}$, define o grupo de Burnside

$$B(m, n) = \langle a_1, \dots, a_n \mid \omega^m(a_1, \dots, a_n) \rangle,$$

onde $\omega^m(a_1, \dots, a_n)$ denota qualquer palavra nos geradores elevada à potência m .

O problema de Burnside pergunta para quais inteiros positivos m, n o grupo $B(m, n)$ é finito. A solução completa para o problema de Burnside nesta forma não é conhecida.

O próprio Burnside considerou alguns casos fáceis em seu artigo original e mostrou que $B(1, n)$ é o grupo cíclico de ordem n , e que $B(m, 2)$ é o produto direto de m cópias do grupo cíclico de ordem 2 e, portanto, finito. Os seguintes resultados adicionais são conhecidos (devido a Burnside, Sanov, M. Hall): $B(m, 3)$, $B(m, 4)$ e $B(m, 6)$ são finitos para todos m . O caso particular de $B(2, 5)$ permanece em aberto: em 2020 não se sabia se este grupo é finito.

O avanço na resolução do problema de Burnside foi alcançado por P. S. Novikov e S. I. Adian em 1968. Usando um argumento combinatório complicado, eles demonstraram que para cada suficientemente grande número ímpar n o grupo $B(2, n)$ é infinito.

1.4.2 Problemas algorítmicos na teoria combinatória dos grupos

No início do século XX, Max Dehn introduziu a ideia de apresentações de grupos como uma ferramenta compreensível para estudar grupos infinitos, até então pouco compreendidos. Dehn percebeu que grupos infinitos frequentemente apareciam no estudo de topologia. Por exemplo, os *grupos de superfície*, bem como os grupos fundamentais de uma *esfera de homologia* (uma variedade que tem os mesmos grupos de homologia de uma esfera S^n), são infinitos. Em seu artigo [Deh11], Dehn apresenta os seguintes problemas para grupos que possuem apresentação finita:

- **Problema da Palavra.** Seja $G = \langle S \mid R \rangle$ um grupo finitamente apresentado. Construir ou provar a existência de uma máquina de Turing (um algoritmo) tal que, dada uma palavra ω , esse algoritmo determina se ω representa o elemento trivial de G , isto é, se $\omega \in \langle\langle R \rangle\rangle$.
- **Problema da Conjugação.** Seja $G = \langle S \mid R \rangle$ um grupo finitamente apresentado. Construir um algoritmo que, tendo como entrada um par de palavras v, w no alfabeto $S \cup S^{-1}$, determina se v e w representam elementos conjugados de G , isto é, se existe $g \in G$ tal que $[w] = g^{-1}[v]g$.
- **Problema do Isomorfismo.** Dados dois grupos finitamente apresentados $G_i = \langle S_i \mid R_i \rangle$, com $i = 1, 2$, determinar se G_1 é isomorfo a G_2 .

Os mais importantes resultados no artigo de Dehn de 1911 foram as soluções dos problemas da palavra e da conjugação para a classe de grupos de superfície. Há também outros artigos de Dehn com provas alternativas. Na primeira prova, ele usa conceitos de distância e área em grafos de Cayley associados aos grupos e relaciona os problemas algébricos listados com a geometria de tesselações do plano hiperbólico, enquanto a última é quase completamente combinatorial. Para mais sobre a história de seu trabalho, veja [Pei15].

Um pouco depois da morte de Dehn, nos anos 1950s, Novikov [Nov58] e Boone [Boo57] provaram de forma independente que o problema da palavra para grupos finitamente apresentados em geral é algorítmicamente insolúvel. Eles mostram que existem grupos finitamente apresentados para os quais nenhum algoritmo resolve o problema da palavra.

Outros problemas que também se mostraram insolúveis para grupos finitamente apresentados são:

- **Problema de Trivialidade.** Dada uma apresentação finita $G = \langle S \mid R \rangle$, determinar algorítmicamente se G é trivial.
- **Problema de Conjugação Simultânea.** Dadas n -uplas (v_1, \dots, v_n) e (w_1, \dots, w_n) de palavras em $X \cup X^{-1}$ e uma apre-

sentação finita $G = \langle X \mid R \rangle$, determinar se existe $g \in G$ tal que $[w_i] = g^{-1}[v_i]g, \forall i = 1, \dots, n$.

- **Problema do Mergulho.** Dados dois grupos finitamente apresentados $G_i = \langle X_i \mid R_i \rangle, i = 1, 2$, determinar se G_1 é ou não isomorfo a algum subgrupo de G_2 .
- **Problema da Associação (Membership Problem).** Sejam G um grupo finitamente apresentado, $h_1 \dots, h_k \in G$ e H o subgrupo de G gerado pelos elementos h_i . Dado um elemento $g \in G$, determinar se $g \in H$.

Isso decorre de um teorema geral que foi provado independentemente por Adian [Ady57], na União Soviética e Rabin [Rab58], nos Estados Unidos. Eventualmente, uma situação semelhante a respeito de provas independentes pode acontecer com outros resultados que aparecem neste livro.

Fridman [Fri60] provou que existem grupos para os quais o problema da palavra é solúvel, mas o da conjugação não é. Há também exemplos de grupos hiperbólicos com problema da palavra solúvel, mas problema da associação insolúvel. Mais ainda, há exemplos de grupos finitamente apresentados onde o problema da conjugação é solúvel, mas o problema da conjugação simultânea é insolúvel para $n > 2$. Referimo-nos aos artigos de pesquisa [AD00] e [Mil92] para informações mais detalhadas sobre problemas de decisão na teoria dos grupos. Mais recentemente, há estudos que discutem a decidibilidade desses problemas em tempo polinomial.

A área de Teoria Geométrica de Grupos tem como um dos objetivos estudar sob quais hipóteses geométricas nos grupos e em seus subgrupos, um problema de um dos tipos acima é algoritmicamente solúvel. Alguns exemplos de solubilidade do problema da palavra são dados pelos seguintes resultados:

Proposição 1.55. Em todo grupo livre de posto finito, o problema da palavra é solúvel.

Demonstração. Dada uma palavra w nos geradores x_i de F , podemos cancelar recursivamente os possíveis pares $x_i x_i^{-1}$ ou $x_i^{-1} x_i$ em

W . Eventualmente, em finitos passos, este processo resulta numa palavra reduzida w_0 equivalente a w . Se w_0 é não vazia, então w representa um elemento não trivial de F . Caso w_0 seja vazia, então $[w] = 1$ em F . \square

Uma ferramenta importante para definir solubilidade do problema da palavra é a função de Dehn, cuja definição veremos no Capítulo 8 (veja a Definição 8.6). O seguinte resultado, devido a Gersten [Ger93], caracteriza os grupos para os quais o problema da palavra é solúvel.

Teorema 1.56. *O problema da palavra é solúvel em um grupo G se, e somente se, sua função de Dehn for recursiva.*

Exercício 1.57. Mostre que um grupo para o qual o problema da conjugação ou o problema da associação é solúvel também terá solução para o problema da palavra.

Capítulo 2

Geometria das ações de grupos

2.1 Ações de grupos

Definição 2.1. Seja G um grupo e X um conjunto qualquer. Uma *ação à esquerda de G em X* é uma função

$$\begin{aligned} \rho & : G \times X \rightarrow X \\ (g, x) & \mapsto gx =: \rho_g(x) \end{aligned} \tag{2.1}$$

tal que:

- (i) $\rho_e(x) = x$ para todo $x \in X$;
- (ii) $\rho_{g_1 g_2}(x) = \rho_{g_1}(\rho_{g_2}(x))$ para todos $g_1, g_2 \in G$ e $x \in X$.

Podemos definir analogamente ações à direita de G em X . A única diferença estará na ordem em que o produto de dois elementos agem. Para ações à direita, escrevemos $\rho_g(x) =: xg$ e substituímos a segunda condição por $\rho_{g_1 g_2}(x) = \rho_{g_2}(\rho_{g_1}(x))$.

Em geral, quando não especificarmos com que tipo de ação de G em X estamos lidando, esta será uma ação à esquerda, denotada por $G \curvearrowright X$. Toda ação à esquerda pode ser vista como um homomorfismo de G no grupo $\text{Bij}(X)$, das bijeções de X sobre ele mesmo. A ação será chamada *efetiva* ou *fiel* se esse homomorfismo for injetivo.

Definição 2.2 (*Um resumo de noções básicas em ações de grupos*).
 Sejam G um grupo e X um conjunto onde G age.

1. Se G e X são espaços topológicos, a ação é dita *contínua* se o mapa (2.1) for contínuo. Neste caso, o mapa

$$\begin{aligned} \rho_g &: X \rightarrow X \\ x &\longmapsto \rho_g(x) = gx \end{aligned}$$

é um homeomorfismo, com inversa $\rho_g^{-1} = \rho_{g^{-1}}$.

2. Se X for um espaço métrico, a ação será chamada *isométrica* se ρ_g for uma isometria de X para cada $g \in G$.
3. Ainda no caso em que X é um espaço métrico, dizemos que a ação é *colimitada* se existem $R \in \mathbb{R}$ e $x \in X$ tais que

$$X = \bigcup_{g \in G} g(B(x, R)),$$

onde $B(x, R) = \{y \in X \mid \text{dist}(x, y) < R\}$ é uma bola em X .

4. Se $X = M$ é uma variedade diferenciável, e G é um grupo de Lie, dizemos que a ação é *suave* ou *diferenciável* se o mapa (2.1) for diferenciável. Neste caso, para cada $g \in G$, ρ_g é um difeomorfismo, com inversa $\rho_{g^{-1}}$.
5. Dados uma ação $G \curvearrowright X$ e um ponto $x \in X$, a *órbita* de x é definida como o conjunto $Gx = \{gx \mid g \in G\}$.
6. O *grupo de isotropia* ou *estabilizador* de $x \in X$ é definido como

$$G_x := \{g \in G \mid gx = x\} \leq G.$$

7. A ação é dita *livre* se $G_x = \{e\}$, para todo $x \in X$, isto é, se nenhum elemento não trivial possui pontos fixos.

8. Uma ação contínua é dita *própria* se o mapa

$$\begin{aligned} G \times X &\rightarrow X \times X \\ (g, x) &\mapsto (gx, x) \end{aligned}$$

for um mapa próprio. Lembramos que um mapa entre espaços topológicos é *próprio* se a pré-imagem de qualquer compacto é compacta.

9. A ação é *transitiva* se, para todo $x \in X$, tem-se $Gx = X$.

10. A ação é *propriamente descontínua* se, para todo compacto $K \subset X$, o conjunto $\{g \in G \mid gK \cap K \neq \emptyset\}$ é finito.

11. A ação é *discreta* se $\{\rho_g \mid g \in G\}$ é discreto no grupo de homomorfismos de X com a topologia compacto-aberta.

Definição 2.3. Uma ação de um grupo G em um conjunto X define uma relação de equivalência em X , a saber,

$$x \sim y \text{ se, e somente se, existe } g \in G \text{ tal que } y = gx.$$

O conjunto de classes de equivalência será denotado por X/G e chamado de *quociente* de X pelo grupo G . Esse quociente corresponde ao conjunto de órbitas da ação: $X/G = \{Gx \mid x \in X\}$.

Caso X seja um espaço topológico, essa ação será dita *cocompacta* se o quociente X/G for compacto, quando munido da topologia quociente. Além disso, se a ação for isométrica e propriamente descontínua, dizemos que é uma *ação geométrica*.

2.2 Lema do pingue-pongue

O seguinte lema remonta ao trabalho de Klein. Na teoria combinatória de grupos, é chamado de critério de Klein ou teorema de combinação de Klein. Mais tarde, foi usado por Tits na prova de seu famoso resultado agora conhecido como a alternativa de Tits [Tit72]. Desde então, o lema é frequentemente chamado de lema de Tits ou lema do pingue-pongue. Este resultado básico tem várias aplicações importantes em geometria e teoria dos grupos.

Lema 2.4 (Pingue-pongue). Sejam X um conjunto e $g, h : X \rightarrow X$ bijeções. Se A, B são subconjuntos não vazios de X , tais que $A \not\subseteq B$ e

$$g^n(A) \subset B \quad \forall n \in \mathbb{Z} \setminus \{0\},$$

$$h^m(B) \subset A \quad \forall m \in \mathbb{Z} \setminus \{0\},$$

então g e h geram um subgrupo livre de posto 2 de $\text{Bij}(X)$.

Demonstração. Seja ω uma palavra reduzida em $\{g, h, g^{-1}, h^{-1}\}$, com $\omega \neq 1$. Queremos provar que ω não é igual a 1, como elemento de $\text{Bij}(X)$. É suficiente considerar ω da seguinte forma

$$\omega = g^{n_1} h^{m_1} g^{n_2} h^{m_2} \dots g^{n_k}, \quad \text{com } n_i, m_i \in \mathbb{Z} \setminus \{0\}. \quad (2.2)$$

De fato:

- Se $\omega = h^{m_1} g^{n_1} h^{m_2} \dots g^{n_k} h^{m_{k+1}}$, então $g\omega g^{-1}$ é da forma (2.2), e $g\omega g^{-1} \neq 1$ implica $\omega \neq 1$.
- Se $\omega = g^{n_1} h^{m_1} g^{n_2} h^{m_2} \dots g^{n_k} h^{m_k}$, então para $m \neq -n_1$, tem-se que $g^m \omega g^{-m}$ é da forma (2.2), e $g^m \omega g^{-m} \neq 1$ implica $\omega \neq 1$.
- Se $\omega = h^{m_1} g^{n_1} h^{m_2} \dots g^{n_k}$, então para $m \neq n_k$, $g^m \omega g^{-m}$ é da forma (2.2), e novamente $g^m \omega g^{-m} \neq 1$ implica $\omega \neq 1$.

Agora, se ω é da forma (2.2), então

$$\begin{aligned} \omega(A) &= g^{n_1} h^{m_1} g^{n_2} h^{m_2} \dots g^{n_k}(A) \\ &\subset g^{n_1} h^{m_1} g^{n_2} h^{m_2} \dots h^{n_{k-1}}(B) \\ &\subset \dots \subset g^{n_1}(A) \subset B. \end{aligned}$$

Caso tivéssemos $\omega = 1$, concluiríamos que $A \subset B$, contradizendo as hipóteses. \square

Exercício 2.5. Suponha que $g : X \rightarrow X$ seja uma bijeção tal que $g(A) \subsetneq A$, para algum conjunto $A \subset X$. Mostre que g tem ordem infinita.

Exemplo 2.6 (Subgrupos livres do grupo modular). Para cada inteiro $k \geq 2$, as matrizes

$$g = \begin{pmatrix} 1 & k \\ 0 & 1 \end{pmatrix} \quad \text{e} \quad h = \begin{pmatrix} 1 & 0 \\ k & 1 \end{pmatrix}$$

geram um subgrupo livre de $\text{SL}(2, \mathbb{Z})$.

Com efeito, o grupo $\text{SL}(2, \mathbb{Z})$ age em $\mathbb{H}^2 = \{z \in \mathbb{C} \mid \text{Im}(z) > 0\}$ como transformações de Möbius:

$$z \mapsto \frac{az + b}{cz + d}.$$

A matriz g age como translação horizontal $z \mapsto z + k$, enquanto

$$h = \begin{pmatrix} 0 & 1 \\ -1 & 0 \end{pmatrix} \begin{pmatrix} 1 & -k \\ 0 & 1 \end{pmatrix} \begin{pmatrix} 0 & -1 \\ 1 & 0 \end{pmatrix}$$

age levando o interior de um disco limitado C , de centro $-\frac{1}{k}$ e raio $\frac{1}{k}$ no exterior de um disco limitado C' , de centro $\frac{1}{k}$ e raio $\frac{1}{k}$. Aplicamos o lema do pingue-pongue para os elementos $g, h \in \text{SL}(2, \mathbb{Z})$ e aos conjuntos

$$A = \left\{ z \in \mathbb{H}^2; -\frac{k}{2} < \Re(z) < \frac{k}{2} \right\} \quad \text{e} \quad B = \mathbb{H}^2 \setminus \bar{A}.$$

Note que $g^n(A) \subset B$ e $h^n(B) \subset A$. Segue portanto que g e h geram um subgrupo livre de $\text{SL}(2, \mathbb{Z})$.

Segunda prova. Outra forma de demonstrar a afirmação feita no Exemplo 2.6 é considerando a ação linear de $\text{SL}(2, \mathbb{Z})$ em \mathbb{R}^2 dada por

$$\begin{pmatrix} a & b \\ c & d \end{pmatrix} \begin{pmatrix} x \\ y \end{pmatrix} = \begin{pmatrix} ax + by \\ cx + dy \end{pmatrix},$$

aplicando o Lema 2.4 para as matrizes g e h , e para os conjuntos

$$A := \left\{ \begin{pmatrix} x \\ y \end{pmatrix} \mid |x| < |y| \right\} \quad \text{e} \quad B := \left\{ \begin{pmatrix} x \\ y \end{pmatrix} \mid |x| > |y| \right\}.$$

Observação 2.7. O Exemplo 2.6 não funciona para $k = 1$, já que

$$g^{-1}hg^{-1} = \begin{pmatrix} 1 & -1 \\ 0 & 1 \end{pmatrix} \begin{pmatrix} 1 & 0 \\ 1 & 1 \end{pmatrix} \begin{pmatrix} 1 & -1 \\ 0 & 1 \end{pmatrix} = \begin{pmatrix} 0 & 1 \\ -1 & 0 \end{pmatrix}.$$

Assim, $(g^{-1}hg^{-1})^4 = \text{Id}$, e o grupo gerado por g e h não é livre.

O seguinte enunciado é uma outra versão do lema do pingue-pongue que é frequentemente usado.

Lema 2.8. Sejam g e h bijeções de um conjunto X e sejam A^+ , A^- , B^+ e B^- subconjuntos não vazios disjuntos de X tais que

$$\begin{aligned} h(A^+ \cup B^- \cup B^+) &\subset A^+, & g(B^+ \cup A^- \cup A^+) &\subset B^+, \\ h^{-1}(A^- \cup B^- \cup B^+) &\subset A^- & \text{e } g^{-1}(B^- \cup A^- \cup A^+) &\subset B^-. \end{aligned}$$

Então g e h geram um subgrupo livre de posto 2 de $\text{Bij}(X)$.

Demonstração. Esta afirmação segue como corolário do lema anterior se assumimos $A = A^- \cup A^+$ e $B = B^- \cup B^+$. \square

Concluimos esta seção com o lema do pingue-pongue generalizado para posto maior que dois.

Lema 2.9. Sejam X um conjunto e $g_i : X \rightarrow X$ bijeções, onde $i \in \{1, \dots, k\}$. Suponha que A_1, \dots, A_k são subconjuntos não vazios de X , tais que $\bigcup_{i=2}^k A_i \not\subset A_1$ e que para todo $i \in \{1, \dots, k\}$,

$$g_i^n \left(\bigcup_{j \neq i} A_j \right) \subset A_i \text{ para cada } n \in \mathbb{Z} \setminus \{0\}.$$

Então g_1, \dots, g_k geram um subgrupo livre de posto k de $\text{Bij}(X)$.

Demonstração. Seja ω uma palavra reduzida não trivial. Como na prova do Lema 2.4 podemos supor sem perda de generalidade que ω começa com g_1^n e termina com g_1^m , onde $n, m \in \mathbb{Z}$ são não nulos.

Observamos que $\omega \left(\bigcup_{i=2}^k A_i \right) \subset A_1$. Se $\omega = 1$ teríamos $\bigcup_{i=2}^k A_i \subset A_1$, uma contradição. \square

2.3 Subgrupos de grupos livres

Proposição 2.10. Dois grupos livres $F(X)$ e $F(Y)$ são isomorfos se, e somente se, X e Y tem a mesma cardinalidade.

Demonstração. Já vimos no Lema 1.23 que dois grupos livres $F(X)$ e $F(Y)$ são isomorfos se X e Y tem a mesma cardinalidade.

Reciprocamente, seja $\Phi : F(X) \rightarrow F(Y)$ um isomorfismo. Denote por $N(X)$ o subgrupo de $F(X)$ gerado por $\{g^2 \mid g \in F(X)\}$. Claramente, $N(X)$ é normal em $F(X)$, já que $hg^2h^{-1} = (hgh^{-1})^2$, para todos $g, h \in F(X)$. Analogamente, $\Phi(N(X)) = N(Y)$ é o subgrupo normal gerado por $\{h^2 \mid h \in F(Y)\}$. Assim, Φ induz um isomorfismo $\Psi : F(X)/N(X) \rightarrow F(Y)/N(Y)$.

Vamos mostrar que $F(X)/N(X) \cong \mathbb{Z}_2^{\oplus X}$ e, do isomorfismo entre $F(X)/N(X)$ e $F(Y)/N(Y)$ obtemos $\mathbb{Z}_2^{\oplus X} \cong \mathbb{Z}_2^{\oplus Y}$, como espaços vetoriais sobre \mathbb{Z}_2 . Pela unicidade da dimensão de espaço vetoriais, concluiremos que X e Y tem a mesma cardinalidade.

Seja $\pi : F(X) \rightarrow F(X)/N(X)$ a projeção canônica. Como $g^2 \in N(X)$, para todo $g \in F(X)$, temos $\pi(g^2) = 1$, ou seja, $\pi(g) = \pi(g^{-1})$ para todo $g \in F(X)$. Concluimos então que

$$\begin{aligned} \pi([g, h]) &= \pi(gh)\pi((hg)^{-1}) \\ &= \pi(gh)\pi(hg) \\ &= \pi(g)\pi(h)^2\pi(g) \\ &= \pi(g)^2 = 1. \end{aligned}$$

Ou seja, $F(X)/N(X)$ é abeliano. Note que $\mathbb{Z}_2^{\oplus X}$ tem a seguinte apresentação $\langle X \mid \{x^2, [x, y] \mid x, y \in X\} \rangle$. Além disso, a projeção $\pi : F(X) \rightarrow F(X)/N(X)$ preserva as relações de $\mathbb{Z}_2^{\oplus X}$. Pela propriedade universal, π induz um homomorfismo $\varphi : \mathbb{Z}_2^{\oplus X} \rightarrow F(X)/N(X)$. Por outro lado, considere um homomorfismo $\tilde{\eta} : F(X) \rightarrow \mathbb{Z}_2^{\oplus X}$ que envia geradores em geradores. É claro que $N(X) \subset \text{Ker}(\tilde{\eta})$, logo $\tilde{\eta}$ induz um homomorfismo $\eta : F(X)/N(X) \rightarrow \mathbb{Z}_2^{\oplus X}$ dado por $\tilde{\eta} = \eta \circ \pi$. Não é difícil verificar que η e φ são inversos um do outro. \square

Proposição 2.11 (Nielsen–Schreier). Todo subgrupo de um grupo livre é um grupo livre.

Veremos mais adiante que um grupo é livre se, e somente se, age livremente numa árvore, donde o teorema de Nielson–Schreier vai seguir como corolário.

Corolário 2.12. Se $H \leq G$ e $[G : H] < \infty$ então H é finitamente gerado se, e somente se, G o for.

Proposição 2.13. O grupo livre de posto 2 contém um subgrupo isomorfo a F_k , para cada $k \in \mathbb{N}$ ou para $k = \aleph_0$.

Demonstração. Se x e y são os geradores livres de F_2 , considere o conjunto $S = \{x_k := y^k x y^{-k} \mid k \in \mathbb{N}\}$. Vamos mostrar que $\langle S \rangle = F_{\aleph_0}$.

De fato, seja

$$A_k := \{\text{palavras reduzidas que começam com } y^k x\}.$$

Consideramos a translação a esquerda de $a = x^\epsilon$ ou y^ϵ , $\epsilon = \pm 1$, dada por

$$L_a(a_1 \dots a_n) = \begin{cases} aa_1 \dots a_n & \text{se } a \neq a_1^{-1}, \\ a_2 \dots a_n & \text{se } a = a_1^{-1}. \end{cases}$$

Para $w = b_1 \dots b_m$ definimos $L_w = L_{b_1} \circ \dots \circ L_{b_m}$. Para a palavra vazia 1 defina $L_1 = \text{Id}$. Temos $L_a \circ L_{a^{-1}} = \text{Id}$ para todos geradores a e assim $v \sim w$ implica $L_v = L_w$.

Agora temos que $L_{x_k}(A_j) \subset A_k$ para todo $j \neq k$. Então, pelo Lema 2.9, as translações $\{L_{x_k} \mid k = 1, \dots, m\}$ gera um subgrupo livre de posto m de $\text{Bij}(F_2)$, o que implica que $\{x_k \mid k = 1, \dots, m\}$ gera um subgrupo livre de posto m de F_2 . \square

Capítulo 3

Grafos de Cayley e grafos de Schreier

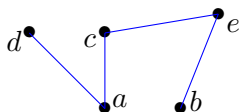
3.1 Preliminares

Antes de definir o grafo de Cayley associado à apresentação de um grupo, relembramos algumas definições relacionadas a grafos.

Definição 3.1. Um *grafo* é um par $\Gamma = (V, A)$ de conjuntos, onde A é um conjunto de pares de elementos de V .

Chamamos os elementos de V de *vértices* e os elementos de A de *arestas* do grafo Γ . Dizemos que dois vértices $v, v' \in V$ são *adjacentes* ou *vizinhos* se $\{v, v'\} \in A$, isto é, se há uma aresta que os contenha. Um grafo é dito *k-regular* se de cada vértice saem exatamente k arestas. O *grau* (ou *valência*) de um vértice de um grafo é o número de vértices adjacentes a ele.

Exemplo 3.2. O par $\Gamma = (V, A)$, onde $V = \{a, b, c, d, e\}$ e $A = \{\{a, c\}, \{a, d\}, \{b, e\}, \{c, e\}\}$, é um grafo que podemos desenhar como segue:



Exemplo 3.3. Um grafo é um objeto combinatório. Mais de uma figura pode representar o mesmo grafo geometricamente. Por exemplo, se $V = \{1, 2, 3, 4\}$ e $A = \{\{1, 2\}, \{2, 3\}, \{3, 1\}\}$, então as duas figuras abaixo representam bem o grafo $G = (V, A)$:



Definição 3.4. (Isomorfismo de grafos). Sejam $G = (V, A)$ e $G' = (V', A')$ dois grafos. Diremos que eles são *isomorfos* se existir uma bijeção $f : V \rightarrow V'$ tal que para todos $v, w \in V$ temos $\{v, w\} \in A$ se e somente se $\{f(v), f(w)\} \in A'$.

O problema de decidir quando dois grafos dados são isomorfos ou não é bastante difícil. Mesmo no caso de grafos finitos, esse problema tem uma complexidade algorítmica alta, embora sua classe de complexidade não seja ainda conhecida (veja [KST93]).

Trabalharemos com métricas em grafos de Cayley, que são grafos associados a um grupo através de apresentações desse grupo. Para isso, introduzimos agora alguns conceitos geométricos para grafos.

Definição 3.5. Seja $G = (V, A)$ é um grafo.

- Para $n \in \mathbb{N} \cup \{\infty\}$, um *caminho* de comprimento n em G é uma sequência v_0, \dots, v_n , de vértices distintos $v_i \in V$, com a propriedade de que $\{v_j, v_{j+1}\} \in A$ vale para todo $j \in \{0, \dots, n-1\}$. Se $n < \infty$, dizemos que esse caminho conecta os vértices v_0 e v_n .
- Um *ciclo* em G de tamanho $n \geq 2$ é um caminho v_0, \dots, v_{n-1} , com a propriedade adicional de que $\{v_{n-1}, v_0\} \in A$. Um ciclo é chamado *simples* se todos os vértices v_0, \dots, v_{n-1} são distintos.
- O grafo G é dito *conexo* se qualquer par de vértices podem ser conectados por um caminho em G .

- Uma *árvore* é um grafo conexo que não contém ciclos simples.
- Uma *árvore de extensão* é o subconjunto de arestas de um grafo que forma uma árvore contendo todos os vértices.

O grafo do Exemplo 3.2 é conexo e não contém ciclos, logo é uma árvore. Já o grafo do Exemplo 3.3 não é conexo, pois o vértice 4 não pode ser conectado a nenhum dos outros vértices, Além disso, esse último contém um ciclo 1,2,3.

3.2 Grafos de Cayley

Seja G um grupo finitamente gerado com um conjunto de geradores S . Suponha que $1 \notin S$ e que $S = S^{-1}$, isto é, se $x \in S$, então $x^{-1} \in S$.

Definição 3.6. O *grafo de Cayley* de G com respeito a S , denotado por $\text{Cay}(G, S)$, é o grafo (V, A) , onde

- (1) O conjunto de vértices é $V = G$;
- (2) O par de vértices $\{g, h\}$ é uma aresta se, e somente se, existe $s \in S$ tal que $h = gs$.

Exemplo 3.7. O grafo de Cayley de \mathbb{Z} , com respeito aos geradores $\{\pm 1\}$ é uma árvore 2-regular infinita:

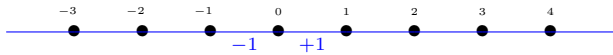


Figura 3.1: $\text{Cay}(\mathbb{Z}, \{\pm 1\})$

Exemplo 3.8. Alterar o conjunto de geradores altera também os grafos de Cayley. Por exemplo, $\text{Cay}(\mathbb{Z}, \{\pm 2, \pm 3\})$, mostrado na Figura 3.2, não é isomorfo ao grafo da Figura 3.1:

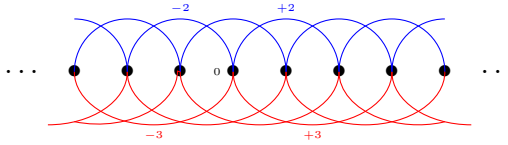


Figura 3.2: $\text{Cay}(\mathbb{Z}, \{\pm 2, \pm 3\})$

Exemplo 3.9. O grafo de Cayley de \mathbb{Z}^2 , com respeito ao conjunto de geradores $S = \{\pm a = (\pm 1, 0), \pm b = (0, \pm 1)\}$ está na Figura 3.3.

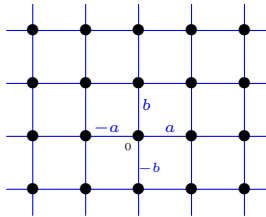


Figura 3.3: $\text{Cay}(\mathbb{Z}^2, \{(\pm 1, 0), (0, \pm 1)\})$

Exemplo 3.10. $\text{Cay}(F_2, \{a^{\pm 1}, b^{\pm 1}\})$ é uma árvore 4-regular:

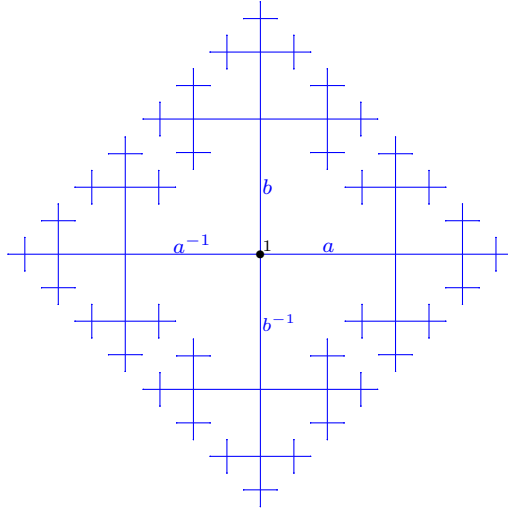


Figura 3.4: $\text{Cay}(F_2, \{a^{\pm 1}, b^{\pm 1}\})$

O seguinte teorema será utilizado na prova do Teorema 3.19, que fornece uma caracterização de grupos livres.

Teorema 3.11. *Seja $\Gamma = \text{Cay}(G, S)$ o grafo de Cayley de um grupo G com respeito ao conjunto de geradores S . São equivalentes:*

1. *O grafo Γ é uma árvore;*
2. *Supondo que S satisfaz que $s \neq t^{-1}$ para todos $s, t \in S$, o grupo G é livremente gerado por S .*

Exercício 3.12. Dar uma prova do Teorema 3.11 (cf. [Ser03, Proposição 15]).

O fato de que S gera G garante que $\text{Cay}(G, S)$ é conexo, já que todo vértice g pode ser conectado ao vértice 1 pelo caminho que passa pelas arestas correspondentes à escrita mínima de g em termos dos geradores. Um problema em teoria dos grafos é saber se um dado grafo $\Gamma = (V, A)$ é k -colorível, isto é, se podemos atribuir k cores para colorir os vértices V de modo que vértices adjacentes

possuam cores diferentes. Note que, como $\text{Cay}(G, S)$ é $|S|$ -regular, ou seja, de cada vértice do grafo de Cayley saem no máximo $|S|$ arestas, podemos sempre colorir $\text{Cay}(G, S)$ com $|S| + 1$ cores.

Podemos colocar uma métrica em $\text{Cay}(G, S)$, supondo que cada aresta seja isométrica ao intervalo $[0, 1]$. Assim, temos uma maneira natural de definir o comprimento de um caminho p em $\text{Cay}(G, S)$, onde esse comprimento é $\ell_S(p) = n$ se ele é obtido da concatenação de n arestas. Definimos assim, a distância $\text{dist}_S(x, y)$ entre dois vértices $x, y \in \text{Cay}(G, S)$ como o ínfimo dos comprimentos de caminhos ligando x a y e estendemos de forma natural essa definição a pontos das arestas usando o fato de que cada aresta é isométrica ao intervalo $[0, 1]$.

Observação 3.13. O espaço métrico $\text{Cay}(G, S)$ é próprio, isto é, bolas fechadas são compactas. Com efeito, como todo subconjunto fechado de um compacto é compacto, basta considerar bolas fechadas com raio $n \in \mathbb{N}$. Observe que em cada bola fechada centrada em $1 \in G$ de raio n existem, no máximo, $\sum_{j=1}^n |S|(|S| - 1)^{j-1}$ arestas.

Assim, cada bola de raio n é a união de uma quantidade finita de arestas. O resultado segue, já que cada aresta é compacta.

Definição 3.14. A restrição desta métrica a G é chamada de *métrica das palavras*. Denotamos, para cada $g \in G$, $\text{dist}_S(1, g) = |g|_S$, e assim, $\text{dist}_S(g, h) = |g^{-1}h|_S = |h^{-1}g|_S$.

O grupo G age isometricamente em $\text{Cay}(G, S)$. Tal ação estende a ação isométrica de G em si mesmo por translação à esquerda $L_g(h) = gh$. Mais formalmente, a fim de definir uma ação por isometrias de G em $\text{Cay}(G, S)$ temos que atribuir a cada $g \in G$ uma isometria φ_g . Tal isometria pode ser escrita como segue: seja $x \in \text{Cay}(G, S)$. Caso $x \in G$, definimos $\varphi_g(x)$ como $L_g(x) = gx$. Caso $x \notin G$, isto é, x está no interior de alguma aresta $\{h_1, h_2\}$, $\varphi_g(x)$ será definido como o único ponto na aresta $\{gh_1, gh_2\}$ que satisfaz $\text{dist}_S(gh_1, \varphi_g(x)) = \text{dist}_S(h_1, x)$.

Exercício 3.15. Prove que a ação de G em $\text{Cay}(G, S)$ é livre se, e somente se, S não possui elementos de ordem 2. Além disso, a ação é própria, discreta e cocompacta.

Exemplo 3.16. A ação de \mathbb{Z}_4 em $\text{Cay}(\mathbb{Z}_4, \{\bar{1}, \bar{3}\})$ é livre, enquanto sua ação em $\text{Cay}(\mathbb{Z}_4, \{\bar{1}, \bar{2}, \bar{3}\})$ não o é.

Exercício 3.17. Mostre que, supondo que $1 \notin S$ e que $S = S^{-1}$ e S não possui elementos de ordem 2, então o quociente $\text{Cay}(G, S)/G$ é homeomorfo ao buquê de n círculos, onde $n = \frac{|S|}{2}$.

Observação 3.18. A ação de G em $\text{Cay}(G, S)$ pela direita, $R_g(h) = hg$ não é necessariamente isométrica, já que podemos ter

$$\{x, xs\} \xrightarrow{R_{x^{-1}}} \{xx^{-1}, xsx^{-1}\} = \{1, xsx^{-1}\} \notin A.$$

No entanto, ainda vale a seguinte propriedade:

$$\text{dist}_S(\text{Id}(h), R_g(h)) = |g|_S.$$

O seguinte resultado é uma caracterização clássica de grupos livres em termos de ações desse grupo.

Teorema 3.19. *Um grupo G finitamente gerado é livre se, e somente se, G age por automorfismos livremente numa árvore não vazia.*

Demonstração do Teorema 3.19 – Parte 1: Caso G seja um grupo livre finitamente gerado, seu grafo de Cayley será uma árvore, e podemos portanto considerar a ação de G à esquerda no grafo de Cayley. Observe que, neste caso, S não pode possuir elementos de ordem 2. Usando o Exercício 3.15, concluímos que essa ação é livre.

□

Para demonstrar a recíproca do Teorema 3.19, vamos mostrar que, supondo que existe uma ação livre de G em uma árvore não vazia T , a partir de T e dessa ação, podemos construir, contraíndo certas subárvores, uma árvore que é o grafo de Cayley de G com respeito a um conjunto de geradores adequado. Pelo Teorema 3.11, seguirá que G é livre. As subárvores que serão contraídas são conhecidas como “árvores de extensão”, e serão discutidas a seguir.

Definição 3.20. Considere a ação de um grupo G em um grafo conexo X via automorfismos de grafos. Uma *árvore de extensão para essa ação* é uma subárvore de X que contém exatamente um vértice de cada órbita da ação induzida de G no conjunto de vértices de X .

Observação 3.21. Um subgrafo de um grafo (V, A) é um grafo (V', A') com $V' \subset V$ e $A' \subset A$. Um subgrafo é uma subárvore se, além disso, for uma árvore.

Exemplo 3.22. Seja Γ é o grafo representado pela Figura 3.5, e consideramos a ação de \mathbb{Z} em Γ por translação horizontal de vértices e arestas, então o conjunto destacado é um exemplo de árvore de extensão para a ação de \mathbb{Z} em Γ .

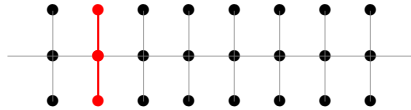


Figura 3.5: Árvore de extensão

Teorema 3.23. *Toda ação, por automorfismos de grafos, de um grupo G em um grafo conexo $X \neq \emptyset$ admite uma árvore de extensão.*

Demonstração. Considere o conjunto T_G de todas as subárvores de X que contém no máximo um vértice de cada G -órbita. Mostraremos que T_G possui um elemento T que é maximal com respeito à relação de subárvores. O conjunto T_G é não vazio, pois qualquer árvore com um único vértice de X é um elemento de T_G . Além disso, T_G é parcialmente ordenado pela relação de subgrafos, e qualquer cadeia totalmente ordenada de T_G possui uma cota superior em T_G (a saber, a união de todas as árvores nessa cadeia). Pelo Lema de Zorn, existe então algum elemento maximal T em T_G . Como X é não vazio, T também é não vazia.

Assuma, por contradição, que T não é uma árvore de extensão para a ação de G em X . Então deve existir algum vértice v de X para o qual nenhum dos vértices na órbita Gv está em T . Mostraremos agora que existe algum vértice v' com essa propriedade e, mais ainda, tal que algum vértice adjacente a v' é um vértice de T .

Como X é conexo, existe um caminho p ligando algum vértice $u \in T$ a v . Seja v' o primeiro vértice de p que não está em T . Podem ocorrer dois casos:

1. Nenhum dos vértices da órbita de v' está em T . Então v' terá a propriedade desejada.
2. Existe $g \in G$ tal que $gv' \in T$. Neste caso, se p' denota o subcaminho de p começando em v' e terminando em v , então gp' é um caminho começando em gv' , que está em T , e terminando em gv , o qual é um vértice tal que nenhum dos vértices em $G(gv) = Gv$ está em T . Note que o caminho p' é estritamente mais curto que p , de forma que podemos repetir o processo finitas vezes e obter um vértice com a propriedade desejada.

Seja v um vértice de X para o qual nenhum dos vértices na órbita Gv está em T , mas algum vértice u de T é adjacente a v' . Com isso, podemos adicionar o vértice v' e a aresta $\{u, v'\}$ à árvore T , obtendo um elemento de T_G que contém propriamente T como subgrafo. Isso contradiz a maximalidade de T . Portanto, T deve ser uma árvore de extensão para a ação de G em X . \square

Vamos agora finalizar a demonstração do Teorema 3.19. A ideia da prova é usar o grafo obtido de T após contrair cada cópia gT_0 , com $g \in G$, de uma árvore de extensão T_0 para essa ação a um único vértice (observe que as árvores são contrátíveis). Os geradores livres de G virão das arestas em T_0 que ligam esses novos vértices.

Um exemplo do que será feito, pensando no caso do Exemplo 3.5, está na Figura 3.6. Vamos trabalhar com as arestas que ligam os novos vértices após todas as contrações.

Demonstração do Teorema 3.19 – Parte 2: Suponhamos agora que G age por automorfismos livremente em uma árvore T não vazia.

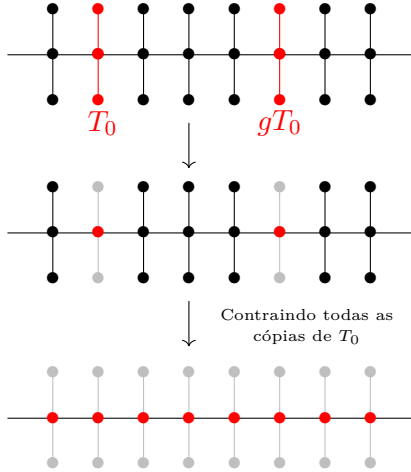


Figura 3.6: Contração das cópias de uma árvore de extensão.

Pelo Teorema 3.23, existe uma árvore de extensão T_0 para essa ação. Fazendo a contração de todas as cópias de T_0 pela ação de G como no exemplo da Figura 3.6, diremos que uma aresta de T é essencial se ela não estiver contida em T_0 , mas algum dos seus vértices estiver em T_0 (portanto o outro vértice não estará em T_0 , pela unicidade de caminhos ligando vértices em árvores).

Seja $a = \{u, v\}$ uma aresta essencial de T , com $u \in T_0$ e $v \notin T_0$. Como T_0 é uma árvore de extensão, existe um elemento $g_a \in G$ tal que $g_a^{-1} \cdot v \in T_0$. Equivalentemente, $v \in g_a \cdot T_0$. O elemento g_a é unicamente determinado por essa propriedade, dado que a órbita $G \cdot v$ intersecta T_0 em um único ponto e G age livremente em T .

Definimos agora

$$\tilde{S} := \{g_a \in G \mid a \text{ é uma aresta essencial de } T\}.$$

O conjunto \tilde{S} possui as seguintes propriedades:

- (1) Por definição, $1 \in G$ não está em \tilde{S} .

- (2) \tilde{S} não contém elementos de ordem 2, pois G age livremente na árvore não vazia T (vide Exercício 3.15).
- (3) Se a e a' são arestas essenciais com $g_a = g_{a'}$, então $a = a'$ (como T é uma árvore, não podem existir diferentes arestas conectando os subgrafos T_0 e $g_a \cdot T_0 = g_{a'} \cdot T_0$).
- (4) Se $g = g_a$ para uma aresta essencial a , então $g^{-1} = g_{g^{-1} \cdot a} \in \tilde{S}$, já que $g^{-1} \cdot a$ também é uma aresta essencial de T .

Em particular, existe $S \subset \tilde{S}$ tal que $S \cap S^{-1} = \emptyset$ e

$$|S| = \frac{|\tilde{S}|}{2} = \frac{\text{número de arestas essenciais de } T}{2}.$$

Vejam os que \tilde{S} , e portanto S , gera G : sejam dados $g \in G$ e um vértice $v \in T_0$. Como T é conexa, existe algum caminho p em T ligando v a $g \cdot v$. Esse caminho passa por algumas cópias de T_0 , digamos $g_0 \cdot T_0, \dots, g_n \cdot T_0$, nessa ordem, com $g_0 = 1, g_n = g$ e $g_{j+1} \neq g_j$ para todo $j = 0, 1, \dots, n-1$.

Seja $j \in \{0, 1, \dots, n-1\}$. Como T_0 é árvore de extensão e $g_j \neq g_{j+1}$, as cópias $g_j \cdot T_0$ e $g_{j+1} \cdot T_0$ são conectadas por uma aresta a_j . Por definição, $g_j^{-1} \cdot a_j$ é uma aresta essencial, e o elemento $s_j := g_j^{-1} g_{j+1}$ está em \tilde{S} . Assim, obtemos que

$$g = g_n = g_0^{-1} g_n = g_0^{-1} g_1 g_1^{-1} g_2 \dots g_{n-1}^{-1} g_n = s_0 \dots s_{n-1}$$

está no subgrupo de G gerado por \tilde{S} .

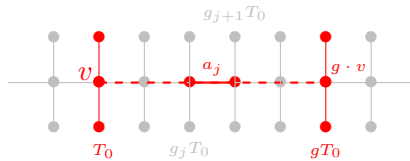


Figura 3.7: \tilde{S} gera G .

Mais ainda, vemos que o grafo obtido ao colapsar cada translado de T_0 em T é o grafo de Cayley de G com respeito a \tilde{S} .

Por fim, afirmamos que o conjunto S gera G livremente. Pelo Teorema 3.11, é suficiente mostrar que o grafo de Cayley de G com respeito a S não possui ciclos. Suponha que existe algum $n \in \mathbb{N}_{\geq 3}$ e um ciclo g_0, \dots, g_{n-1} em $\text{Cay}(G, S) = \text{Cay}(G, \tilde{S})$. Por definição, para todo $j \in \{0, \dots, n-1\}$, os elementos $s_j = g_j^{-1}g_{j+1}$ e $s_n = g_{n-1}^{-1}g_0$ estão em \tilde{S} . Para cada $j = 1 \dots n$, seja a_j uma aresta essencial ligando T_0 e $s_j \cdot T_0$.

Como cada um dos translados de T_0 é um subgrafo conexo, podemos conectar os vértices das arestas $g_j a_j$ e $g_j s_j a_{j+1} = g_{j+1} a_{j+1}$ que estão em $g_{j+1} \cdot T_0$ por um caminho em $g_{j+1} \cdot T_0$.

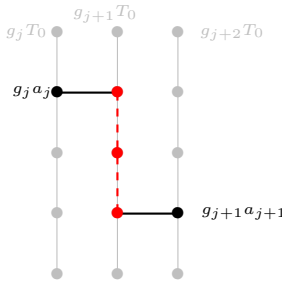


Figura 3.8: $\text{Cay}(G, \tilde{S})$ não contém ciclos.

Usando o fato de que g_0, \dots, g_{n-1} é um ciclo em $\text{Cay}(G, S)$, vemos que ao concatenar esses caminhos, obtemos um ciclo em T , uma contradição com o fato de que T é árvore.

□

Observamos que existe uma prova bem mais curta desse teorema, a qual segue da teoria de recobrimentos. De fato, se G age por automorfismos livremente em uma árvore não vazia T , então $G \cong \pi_1(F)$, onde $F = T/G$. Como F é um grafo conexo, segue do Teorema de Seifert–Van Kampen que $\pi_1(F)$ é livre. No entanto, optamos por escrever a demonstração acima pelo fato das técnicas usadas dependerem puramente da teoria de grupos e das proprieda-

des da ação de grupo na árvore T . Além disso, a noção de árvore de extensão usada na prova tem várias outras aplicações.

Exercício 3.24. Mostre que a métrica das palavras em G , com conjunto de geradores S simétrico, também pode ser definida por:

- (1) Única métrica maximal invariante à esquerda, com $\text{dist}(1, s) = \text{dist}(1, s^{-1}) = 1$ para todo $s \in S$; ou
- (2) $\text{dist}_S(h, g)$ é o comprimento minimal de uma palavra w escrita em S tal que $w = g^{-1}h$ como elemento de G .

Exercício 3.25. Sejam S e \bar{S} conjuntos finitos que geram G . Mostre que dist_S e $\text{dist}_{\bar{S}}$ são *bi-Lipschitz equivalentes*, isto é, existe $L > 0$ tal que

$$\frac{1}{L} \text{dist}_S(g, g') \leq \text{dist}_{\bar{S}}(g, g') \leq L \text{dist}_S(g, g').$$

Conclua que cada isomorfismo $f : G \rightarrow H$ de grupos finitamente gerados é bi-Lipschitz.

Exercício 3.26. Mostre que o grafo de Cayley de um grupo infinito, mas finitamente gerado, contém uma cópia isométrica de \mathbb{R} , ou seja, uma geodésica bi-infinita.

3.3 Grafos de Schreier e o método de Reidemeister–Schreier

Sejam $G = \langle X \mid R \rangle$ um grupo finitamente apresentado e $H \leq G$ um subgrupo. O método de Reidemeister–Schreier permite recuperar uma apresentação do grupo H usando informações sobre o conjunto quociente G/H . Para apresentar o subgrupo H precisamos de palavras em X , que geram H . Mas, além desses geradores de H , precisaremos de um processo para “reescrever” uma palavra em X que defina um elemento de H , como uma palavra nos geradores de H . O processo que vamos definir nesta seção é chamado de processo de reescrita de Reidemeister–Schreier (para mais sobre esse processo, o leitor pode se referir a [MKS04] ou [Bog08]).

3.3.1 Transversal de Schreier

Definição 3.27. Sejam $F(X)$ um grupo livre e $H \leq F(X)$. Um conjunto $\mathcal{T} \subset F(X)$ é dito um *transversal de Schreier* para H quando:

- (i) $Ht \neq Hs$, para $t \neq s \in \mathcal{T}$;
- (ii) $\bigcup_{t \in \mathcal{T}} Ht = F(X)$;
- (iii) se $t = x_1 \dots x_n \in \mathcal{T}$, com $x_i \in X$, então $x_1 \dots x_j \in \mathcal{T}$, para todo $1 \leq j < n$.

Note que sempre vale $e \in \mathcal{T}$. Para cada $g \in G$, denote por \bar{g} o elemento de \mathcal{T} com a propriedade $Hg = H\bar{g}$.

Lema 3.28 (Existência de transversais de Schreier). Seja G um grupo livre gerado por X . Para cada subgrupo $H \leq G$, existe um transversal de Schreier para H em G .

Demonstração. Definimos o comprimento de uma classe de G modulo H como o comprimento da palavra mais curta nesta classe. Os representantes de Schreier serão definidos indutivamente, usando o comprimento de classes.

Escolha a palavra vazia como representante de H , a classe de comprimento zero. Se S_1 for uma classe de comprimento um, escolha qualquer palavra x_1 de comprimento um em S_1 como seu representante. Se S_2 tiver comprimento dois, selecione uma palavra x_1x_2 de comprimento dois em S_2 (onde x_1 e x_2 são geradores de G ou seus inversos). Agora \bar{x}_1x_2 está bem definido e pois $Hx_1 = H\bar{x}_1$ ele pertence a S_2 . Como \bar{x}_1 tem comprimento no máximo um, \bar{x}_1x_2 deve ter comprimento dois. Escolhemos \bar{x}_1x_2 como o representante de S_2 . Em geral, assumindo que escolhemos representantes para todas as classes de comprimento menor que k , se S_k for uma classe de comprimento k e $x_1 \dots x_{k-1}x_k$ for um elemento em S_k , escolhemos $\bar{x}_1 \dots \bar{x}_{k-1}x_k$ (que tem comprimento k) como o representante de S_k . Claramente, por construção, se o último gerador for excluído de um representante, outro representante será obtido. Assim, qualquer segmento inicial de um representante é um representante, e todas as propriedades de uma transversal de Schreier estão satisfeitas. \square

Proposição 3.29. Seja \mathcal{T} um transversal de Schreier para H em G . Então H tem base de geradores

$$\{tx(\overline{tx})^{-1} \mid t \in \mathcal{T}, x \in X \text{ e } tx(\overline{tx})^{-1} \neq 1\}.$$

Demonstração. Nós vamos usar as seguintes propriedades básicas de representantes de classes:

- (i) $\overline{w} = 1$ se e somente se $w \in H$;
- (ii) $\overline{\overline{w}} = \overline{w}$;
- (iii) $\overline{wv} = \overline{\overline{w}v}$.

Claramente, $tx(\overline{tx})^{-1}$ é um elemento de H pois tx e \overline{tx} pertencem à mesma classe. Falta mostrar que todos elementos de H pode ser escritos como produtos dos elementos $tx(\overline{tx})^{-1}$ e de seus inversos.

Observe que

$$v = tx^{-1}(\overline{tx^{-1}})^{-1}$$

é inverso de um elemento da base. De fato, por (ii) e (iii), obtemos

$$\overline{\overline{tx^{-1}x}} = \overline{tx^{-1}x} = \overline{t} = t.$$

Então $tx^{-1}(\overline{tx^{-1}})^{-1}$ é inverso de $ux(\overline{ux})^{-1}$ com $u = \overline{tx^{-1}} \in \mathcal{T}$.

Seja $w = x_1x_2 \dots x_r$ com $x_i \in X \cup X^{-1}$ um elemento de H . Temos que escrever w como um produto de elementos da base e seus inversos. Para isso vamos inserir, antes e depois cada x_i em w , palavras $\overline{v_i}$ e $(\overline{v_ix_i})^{-1}$, respectivamente, e tentar escolher as palavras v_i tais que o produto

$$\overline{v_1}x_1(\overline{v_1x_1})^{-1}\overline{v_2}x_2(\overline{v_2x_2})^{-1} \dots \overline{v_r}x_r(\overline{v_rx_r})^{-1}$$

defina o mesmo elemento $w \in H$. Isso será verdadeiro se escolhermos

$$v_1 = 1, v_2 = v_1x_1, \dots, v_r = v_{r-1}x_{r-1}.$$

De fato, neste caso temos

$$\overline{v_1}x_1(\overline{v_1x_1})^{-1}\overline{v_2}x_2(\overline{v_2x_2})^{-1} \dots \overline{v_r}x_r(\overline{v_rx_r})^{-1} =$$

$$\overline{v_1}w(\overline{v_r x_r})^{-1} = \overline{1}w\overline{w}^{-1} = 1w1^{-1} = w.$$

(aqui $\overline{w} = 1$ pois $w \in H$).

A propriedade (iii) implica que as palavras $\overline{v_i x_i}(\overline{v_i x_i})^{-1}$ definem elementos da base ou seus inversos (veja também a observação sobre v no início da prova). Portanto, cada $w \in H$ é um produto de elementos da base ou seus inversos. \square

Exemplo 3.30. O conjunto $\{a^n b^m \mid m, n \in \mathbb{Z}\}$ é um transversal de Schreier para o grupo derivado do grupo livre $F(a, b)$. Além disso, $\overline{a^n b^m} \cdot a = a^{n+1} b^m$ e $\overline{a^n b^m} \cdot b = a^n b^{m+1}$. Portanto, esse subgrupo tem como base o conjunto

$$\{a^n b^m a b^{-m} a^{-(n+1)} \mid n, m \in \mathbb{Z}; m \neq 0\}.$$

Exercício 3.31. Represente o grupo diedral D_n como o quociente do grupo $F(a, c)$ pelo fecho normal do conjunto $\{a^2, c^2, (ac)^n\}$. Seja H o núcleo do epimorfismo canônico $\varphi : F(a, c) \rightarrow D_n$. Prove que os seguintes conjuntos são transversais de Schreier para H em $F(a, c)$:

- (i) o conjunto de todos os segmentos iniciais das palavras $(ac)^k$ e $(ca)^{k-1}c$, se $n = 2k$ é par;
- (ii) o conjunto de todos os segmentos iniciais das palavras $(ac)^k a$ e $(ca)^k$, se $n = 2k + 1$ é ímpar.

Em seguida, encontre uma base de geradores para o grupo H .

Exercício 3.32. O grupo diedral infinito D_∞ é o grupo das isometrias de \mathbb{Z} (com a métrica induzida de \mathbb{R}), o qual é gerado pela translação $t(x) = x + 1$ e pela simetria $s(x) = -x$ e tem a seguinte apresentação: $D_\infty = \langle s, t \mid s^2, s^{-1}tst \rangle$. Represente esse grupo como o quociente de $F(a, c)$ pelo fecho normal do conjunto $\{a^2, c^2\}$. Encontre uma base de geradores para o núcleo do epimorfismo canônico $\varphi : F(a, c) \rightarrow D_\infty$.

3.3.2 Processo de reescrita de Reidemeister–Schreier

Sejam F um grupo livremente gerado por um conjunto X , H um subgrupo de F e \mathcal{T} um transversal de Schreier para H em F . Para cada $t \in \mathcal{T}$ e cada $x \in X \cup X^{-1}$, defina $\gamma(t, x) = tx(\overline{tx})^{-1}$. Já vimos que os elementos não triviais $\gamma(t, x)$, com $t \in \mathcal{T}$ e $x \in X$, formam uma base do grupo livre H , a qual denotaremos a partir de agora por Y . Seja H^* o grupo livre gerado por uma cópia $Y^* := \{y^* \mid y \in Y\}$ de Y . O mapa $y \mapsto y^*$ se estende a um isomorfismo $\tau : H \rightarrow H^*$.

Para $w \in H$, o elemento $\tau(w)$ pode ser obtido através da seguinte observação. Seja $w = x_1 \dots x_n \in H$, $x_i \in X \cup X^{-1}$. Então

$$w = \gamma(1, x_1) \cdot \gamma(\overline{x_1}, x_2) \cdots \gamma(\overline{x_1 \dots x_{i-1}}, x_i) \cdots \gamma(\overline{x_1 \dots x_{n-1}}, x_n).$$

Levando em conta que $\gamma(t, x^{-1}) = \gamma(\overline{tx^{-1}}, x)^{-1}$, podemos escrever w como uma palavra na base Y , e portanto $\tau(w)$ como uma palavra na base Y^* . Este processo de reescrever w como uma palavra na base Y é chamado de *processo de reescrita de Reidemeister–Schreier*.

Proposição 3.33. Sejam G um grupo com apresentação $\langle X \mid R \rangle$ e $\varphi : F(X) \rightarrow G$ o epimorfismo correspondente a essa apresentação. Considere $G_1 \leq G$ e defina $H = \varphi^{-1}(G_1)$. Então, de acordo com a notação acima, G_1 tem a seguinte apresentação:

$$G_1 = \langle Y^* \mid R^* \rangle, \text{ onde } R^* = \{\tau(trt^{-1}) \mid t \in \mathcal{T}, r \in R\}.$$

Exercício 3.34. Prove a Proposição 3.33.

Como um corolário imediato, obtemos:

Corolário 3.35. Seja $H \leq G$ um subgrupo de índice finito.

1. Se G é finitamente gerado, então H é finitamente gerado.
2. Se G é finitamente apresentado, então H é finitamente apresentado.

Um outro corolário é o Teorema de Nielsen–Schreier.

Corolário 3.36 (Nielsen–Schreier). Um subgrupo de um grupo livre é livre.

Demonstração. Se G é um grupo livre, ele pode ser apresentado com um conjunto vazio de relatores R . A proposição acima implica que que neste caso temos $R^* = \emptyset$, e então o subgrupo H é livre. \square

Exemplo 3.37. Sejam G o grupo fundamental do nó de trevo (Figura 3.9), dado por $G = \langle a, b \mid a^2 = b^3 \rangle$, e S_3 o grupo simétrico das permutações de 3 elementos. Considere $\theta : G \rightarrow S_3$, um homomorfismo entre esses grupos definido por $a \mapsto (12), b \mapsto (123)$. Vamos obter uma apresentação do seu núcleo G_1 .

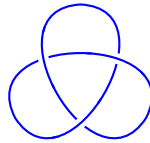


Figura 3.9: Nó de trevo

Seja $\varphi : F(a, b) \rightarrow G$ o epimorfismo canônico e $H = \varphi^{-1}(G_1)$. Como representantes de Schreier das classes laterais à direita de H em $F(a, b)$, escolhemos $1, b, b^2, a, ab, ab^2$. Então os seguintes elementos geram H :

$$\begin{array}{ll}
 1 \cdot a \cdot \bar{a}^{-1} = 1 & 1 \cdot b \cdot \bar{b}^{-1} = 1 \\
 x = b \cdot a \cdot (\overline{ba})^{-1} = bab^{-2}a^{-1} & b \cdot b \cdot (\overline{b^2})^{-1} = 1 \\
 y = b^2 \cdot a \cdot (\overline{b^2a})^{-1} = b^2ab^{-1}a^{-1} & w = b^2 \cdot b \cdot (\overline{b^3})^{-1} = b^3 \\
 z = a \cdot a \cdot (\overline{a^2})^{-1} = a^2 & a \cdot b \cdot (\overline{ab})^{-1} = 1 \\
 u = ab \cdot a \cdot (\overline{aba})^{-1} = abab^{-2} & ab \cdot b \cdot (\overline{ab^2})^{-1} = 1 \\
 v = ab^2 \cdot a \cdot (\overline{ab^2a})^{-1} = ab^2ab^{-1} & s = ab^2 \cdot b \cdot (\overline{ab^3})^{-1} = ab^3a^{-1}
 \end{array}$$

Podemos assumir que esses elementos geram G_1 . Para obter as relações que definem G_1 , precisamos reescrever as relações trt^{-1} , onde $t \in \{1, b, b^2, a, ab, ab^2\}$ e $r = b^3a^{-2}$, como palavras nos geradores

x, y, z, u, v, w e s . Temos assim:

$$\begin{array}{lll} r = wv^{-1} & brb^{-1} = wv^{-1}x^{-1} & b^2rb^{-2} = wu^{-1}y^{-1} \\ ara^{-1} = sz^{-1} & abr(ab)^{-1} = sy^{-1}u^{-1} & ab^2r(ab^2)^{-1} = sx^{-1}v^{-1}. \end{array}$$

Agora eliminamos geradores w, v, u, s , os substituindo por todas as relações nas palavras $z, x^{-1}z, y^{-1}z, z$. Obtemos como resultado a apresentação $\langle x, y, z \mid yz = zy, xz = zx \rangle$ do grupo G_1 . Segue que $G_1 \cong F(z) \times F(x, y)$.

3.3.3 Grafos de Schreier

Definição 3.38. Seja H um subgrupo do grupo finitamente gerado $G = \langle X \mid R \rangle$. O *grafo de classes de Schreier* é o grafo $\Sigma(G, X, H)$, cujos vértices são as classes laterais à direita Hg e as arestas são os pares (Hg_1, Hg_2) para os quais existe $x \in X$ tal que $g_1 = g_2x$. Note que $\Sigma(G, S, \{e\})$ é o grafo de Cayley de G com respeito a S .

Observe que o grupo G age transitivamente no conjunto Ω de todas as classes laterais de H por permutações com $H = \text{Stab}(p)$, para todo $p \in \Omega$.

Exemplo 3.39. Sejam $G = F(\{x, y, x^{-1}, y^{-1}\})$ e $H \leq G$ um subgrupo de índice 5 tal que a ação de G em $G/H \cong \{1, 2, 3, 4, 5\}$ é dada por $x \mapsto (12)(45)$ e $y \mapsto (2354)$. Podemos fazer uma tabela de classes, que auxilia na construção do grafo de classes de Schreier:

	x	y	x^{-1}	y^{-1}
1	2	1	2	1
2	1	3	1	4
3	3	5	3	2
4	5	2	5	5
5	4	4	4	3

Com isso, o grafo de Schreier obtido para esse exemplo é:

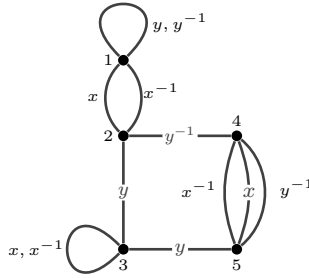


Figura 3.10: Grafo de Schreier do Exemplo 3.39

Observação 3.40. Os elementos de H correspondem aos circuitos de $\Sigma(G, S, H)$ com base em $p = \{H\}$. Observe que cada caminho no grafo de Schreier representa uma palavra $w = w(X)$. Esse caminho será fechado se, e somente se, $Hw = H$, ou seja, se $w \in H$. Além disso, os geradores de H correspondem aos circuitos simples no grafo $\Sigma(G, S, H)$.

Um transversal de Schreier de H corresponde a uma árvore de extensão T de $\Sigma(G, S, H)$. Um caminho na árvore de extensão, baseado em $\{H\}$, corresponde a uma palavra $w = w(X)$ com subpalavras iniciais correspondentes a subcaminhos desse caminho original.

Um conjunto de geradores de Schreier de H em G corresponde a um conjunto de arestas de $\Sigma(G, S, H)$ não contidas em T . De fato, cada aresta fora de T produz um circuito simples no grafo.

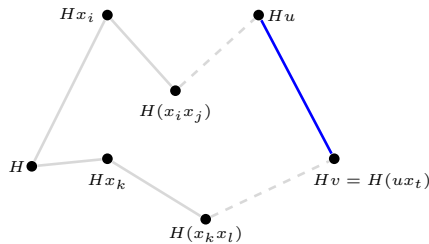


Figura 3.11: Geradores de Schreier

Ainda no Exemplo 3.39, obtemos os seguintes geradores de Schreier:

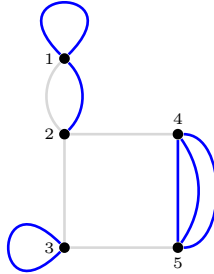


Figura 3.12: Geradores de Schreier do Exemplo 3.39

Exemplo 3.41 (Grupo modular). Considere $G = \langle x, y, x^{-1}, y^{-1} \mid x^2, y^3 \rangle$ e tome $H = \text{Stab}(1)$, um subgrupo de índice 3 em G . Se consideramos a ação de G em $G/H \cong \{1, 2, 3\}$ dada por $x \rightarrow (23)$ e $y \rightarrow (123)$, a tabela de classes para esse exemplo será

	x	y	x^{-1}	y^{-1}
1	1	2	1	3
2	3	3	3	1
3	2	1	2	2

Os geradores de Schreier serão $A = x (= x^{-1})$, $B = y^3 (= 1)$, $C = yxy$ e $D = y^{-1}xy^{-1}$.

A relação $x^2 = 1$ fornece $A^2 = 1$ e $CD = 1$. Já $y^3 = 1$ gera a nova relação $B = 1$. Portanto, H tem apresentação $\langle A, C \mid A^2 \rangle$ com $A = x$ e $C = yxy$.

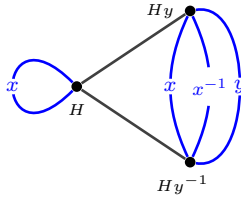


Figura 3.13: Grafo e geradores de Schreier do Exemplo 3.41

Exercício 3.42. Seja $G = \langle x, y \mid x^2, y^3 \rangle$, e considere em G os seguintes subgrupos:

$$H_1 = G' = \langle \{[a, b]; a, b \in G\} \rangle,$$

$$H_2 = G^{(2)} = \langle \{a^2; a \in G\} \rangle.$$

Usando o processo de Reidmeister–Schreier e os grafos de Schreier, mostre que H_1 é livre de posto 2 e dê uma apresentação para H_2 .

Capítulo 4

Geometria grosseira e quasi-isometrias

4.1 Quasi-isometrias

No que segue, definiremos duas noções equivalentes de quasi-isometrias. Intuitivamente, queremos uma noção geométrica a uma larga escala de similaridade, isto é, queremos que dois espaços métricos sejam equivalentes se eles “se parecem o mesmo quando olhados de longe”. Um exemplo para se ter em mente é que queremos que a reta real e o conjunto dos inteiros, com a métrica induzida da reta real, sejam equivalentes via quasi-isometrias. Um outro bom exemplo é \mathbb{R}^2 e \mathbb{Z}^2 , com a métrica induzida do plano euclideo.

Inicialmente, relembremos a definição de espaço métrico.

Definição 4.1. Um *espaço métrico* é um par (X, d) , onde X é um conjunto e $d : X \times X \rightarrow \mathbb{R}_{\geq 0}$ é uma função satisfazendo:

- (i) para $x, y \in X$, temos $d(x, y) = 0$ se e somente se $x = y$;
- (ii) para todos $x, y \in X$, temos $d(x, y) = d(y, x)$;
- (iii) vale a *desigualdade triangular*: $d(x, z) \leq d(x, y) + d(y, z)$, para todos $x, y, z \in X$.

Há duas definições equivalentes de quasi-isometrias, sendo uma delas mais geométrica e a outra mais analítica. Como veremos, cada uma delas tem suas vantagens. Falaremos sobre as duas e mostraremos em seguida que elas são equivalentes.

Definição 4.2. Seja (X, d) espaço métrico. Dado $\varepsilon > 0$, dizemos que um conjunto $A \subset X$ é ε -separado se $d(a_1, a_2) \geq \varepsilon$ para todos $a_1 \neq a_2 \in A$.

Relembramos que a *distância de Hausdorff* entre dois subconjuntos A e B de um espaço métrico X é dada por

$$d_{Haus}(A, B) := \inf\{r \geq 0 \mid A \subset \overline{N}_r(B) \text{ e } B \subset \overline{N}_r(A)\},$$

onde $\overline{N}_r(B) = \{x \in X \mid d(x, B) \leq r\}$. Observamos que, embora o nome “distância” possa sugerir que d_{Haus} é uma métrica em $\mathcal{P}(X)$, esta é na verdade uma *pseudo-métrica*, já que $d_{Haus}(A, B) = 0$ não implica necessariamente que A seja igual a B .

Um subconjunto S de um espaço métrico X é dito δ -denso em X se a distância de Hausdorff entre S e X é no máximo δ . Em outras palavras, S é δ -denso em X se para cada $x \in X$, vale a desigualdade $d(x, S) \leq \delta$.

Definição 4.3. Seja (X, d_X) um espaço métrico. Dizemos que $A \subset X$ é uma δ -rede ε -separada se A é ε -separado e δ -denso em X . Caso $\delta = \varepsilon$, diremos que A é uma *rede ε -separada*.

Proposição 4.4. Um conjunto ε -separado maximal em X é uma rede ε -separada.

Demonstração. Seja $A \subset X$ um conjunto ε -separado maximal. Se $x \in X \setminus A$, note que $A \cup \{x\}$ não é ε -separado, pela maximalidade de A . Então existe $y \in A$ tal que $d(x, y) < \varepsilon$. Portanto, A é uma *rede ε -separada*. \square

Pelo lema de Zorn, sempre existe um subconjunto ε -separado maximal em um dado espaço métrico. Então, para cada $\varepsilon > 0$, todo espaço métrico possui uma rede ε -separada.

Exemplo 4.5. Se (X, d) é compacto, então cada rede ε -separada é finita e, portanto, todo subconjunto ε -separado é finito. Com efeito, se $A \subset X$ é uma rede ε -separada, então A deve ser um conjunto discreto, por ser ε -separado, e $\bigcup_{x \in A} B(x, \varepsilon) = X$, já que A é ε -denso, portanto A é finito pela compacidade de X . Agora, dado qualquer conjunto ε -separado $B \subset X$, ele está contido num subconjunto ε -separado maximal. Pela Proposição 4.4, B está contido na verdade em uma rede ε -separada, a qual deve ser finita pelo argumento acima, portanto o conjunto B é finito.

Lembramos que um mapa $f : X \rightarrow Y$ entre dois espaços métricos (X, d_X) e (Y, d_Y) é dito *bi-Lipschitz* se for uma bijeção e se existe $L \geq 1$ tal que, para quaisquer $x, y \in X$,

$$\frac{1}{L}d_X(x, y) \leq d_Y(f(x), f(y)) \leq Ld_X(x, y).$$

Definição 4.6. Sejam $(X, d_X), (Y, d_Y)$ espaços métricos. Dizemos que X e Y são *quasi-isométricos* se existem $A \subset X$ e $B \subset Y$ redes separadas tais que (A, d_X) e (B, d_Y) são bi-Lipschitz equivalentes, isto é, existe um mapa bi-Lipschitz $f : A \rightarrow B$, onde A e B tem métricas induzidas das métricas de X e Y , respectivamente.

Exemplo 4.7. Se X é um espaço métrico com diâmetro finito, então X é quasi-isométrico a um conjunto unitário.

Exemplo 4.8. O espaço \mathbb{R}^n é quasi-isométrico a \mathbb{Z}^n .

É direto ver que a relação quasi-isometria definida acima é uma relação reflexiva e simétrica, mas ao tentar provar a transitividade, a seguinte pergunta surge naturalmente:

Pergunta ([Gro93]): *Pode um espaço métrico ter duas redes separadas que não são bi-Lipschitz?*

A pergunta de Gromov foi respondida positivamente por Burago-Kleiner [BK98], através do seguinte teorema:

Teorema 4.9. *Existe uma rede separada no plano Euclidiano que não é bi-Lipschitz a \mathbb{Z}^2 .*

De maneira independente, McMullen [McM98] dá uma resposta negativa à pergunta de Gromov, no caso em que relaxamos a condição de redes bi-Lipschitz para redes bi-Hölder equivalentes.

A demonstração do Teorema 4.9 é uma construção implícita da existência dessa rede separada. A partir desse trabalho, em [BK02], Burago e Kleiner propuseram uma candidata explícita a rede separada que não é bi-Lipschitz a \mathbb{Z}^2 , a saber, o conjunto $X := \{x \in \mathbb{R}^2 \mid x \text{ é o baricentro de uma telha de Penrose}\}$. No entanto, Solomon provou em [Sol11] que X é, na verdade, bi-Lipschitz a \mathbb{Z}^2 . Há vários outros trabalhos relacionados a este problema. Assim, a pergunta sobre propriedades básicas de quasi-isometrias provocou um interessante corpo de pesquisa.

Felizmente, contornamos o problema de mostrar a transitividade da relação de quasi-isometrias a partir de uma segunda definição, equivalente à anterior:

Definição 4.10. Sejam (X, d_X) e (Y, d_Y) dois espaços métricos, $L \geq 1$ e $C \geq 0$. Uma aplicação $f : X \rightarrow Y$ é chamada (L, C) -Lipschitz grosseira se

$$d_Y(f(x), f(y)) \leq Ld_X(x, y) + C,$$

para todos $x, y \in X$. Dizemos que f é um (L, C) -mergulho quasi-isométrico se

$$\frac{1}{L}d_X(x, y) - C \leq d_Y(f(x), f(y)) \leq Ld_X(x, y) + C,$$

para todos $x, y \in X$.

Note que um mergulho quasi-isométrico não precisa ser um mergulho no sentido topológico. No entanto, pontos suficientemente distantes tem imagens distintas.

Exemplo 4.11. 1. A função piso, $f : \mathbb{R} \rightarrow \mathbb{Z}$, $f(x) = \lfloor x \rfloor$, que tem como imagem de $x \in \mathbb{R}$ o maior inteiro $\leq x$, é um $(1, 1)$ -mergulho quasi-isométrico de \mathbb{R} em \mathbb{Z} .

2. A função $f : \mathbb{R} \rightarrow \mathbb{R}$, $f(x) = x^2$ não é Lipschitz grosseira.

Se $X = [a, b]$ é um intervalo compacto então um mergulho (L, C) -Lipschitz grosseiro $q : X \rightarrow Y$, bem como sua imagem, são ditos um *segmento (L, C) -quasi-geodésico* ou simplesmente uma *quasi-geodésica* em Y . Se um dos extremos $a = -\infty$ ou $b = \infty$ então q é chamado um *raio (L, C) -quasi-geodésico*. Se ambos $a = -\infty$ e $b = \infty$ então q é chamado uma linha (L, C) -quasi-geodésica. Observamos que, muitas vezes, os valores das constantes L e C não serão importantes, mas sim a sua existência. Nesse caso, podemos escrever apenas “mergulho quasi-isométrico” ou “segmento quasi-geodésico”, entre outros, sem necessariamente mencionar as constantes.

Definição 4.12. Um espaço métrico X é dito *quasi-geodésico* se existirem constantes positivas L, C tais que para todos $x, y \in X$ existe uma (L, C) -quasi-geodésica ligando x a y .

Definição 4.13. Dado $C \geq 0$, duas aplicações entre espaços métricos $f : X \rightarrow Y$ e $\bar{f} : Y \rightarrow X$ são ditas *C -quasi inversas* se, para todos $x \in X$ e $y \in Y$,

$$d_X(\bar{f} \circ f(x), x) \leq C \text{ e } d_Y(f \circ \bar{f}(y), y) \leq C.$$

Note que, em particular, um mapa 0-quasi inverso de f é o mapa inverso f^{-1} , no sentido usual. Finalmente, podemos definir quasi-isometrias e falar sobre a segunda definição de espaços quasi-isométricos:

Definição 4.14. Um mapa $f : X \rightarrow Y$ entre espaços métricos é chamado de *quasi-isometria* se for um mergulho quasi-isométrico e admitir uma quasi-inversa que, por sua vez, também é um mergulho quasi-isométrico. Dois espaços métricos X e Y são ditos *quasi-isométricos* se existir uma quasi-isometria $f : X \rightarrow Y$.

Exemplo 4.15. Considere as métricas usuais em \mathbb{R} e \mathbb{R}^2 . Se $h : \mathbb{R} \rightarrow \mathbb{R}$ é uma função L -Lipschitz, então a aplicação

$$f : \mathbb{R} \rightarrow \mathbb{R}^2, \quad f(x) = (x, h(x))$$

é um mergulho quasi-isométrico. Com efeito,

$$\begin{aligned}
 d(x, y) &\leq d(f(x), f(y)) \\
 &= \sqrt{d(x, y)^2 + d(h(x), h(y))^2} \\
 &\leq \sqrt{d(x, y)^2 + L^2 d(x, y)^2} \\
 &= \sqrt{1 + L^2} d(x, y)
 \end{aligned}$$

Portanto,

$$\frac{1}{\sqrt{1 + L^2}} d(x, y) \leq d(f(x), f(y)) \leq \sqrt{1 + L^2} d(x, y)$$

e f é um $(\sqrt{1 + L^2}, 0)$ -mergulho quasi-isométrico.

Exemplo 4.16. Seja $\varphi : [1, \infty) \rightarrow \mathbb{R}$ uma função diferenciável tal que $\lim_{r \rightarrow \infty} \varphi(r) = \infty$, e existe $C \in \mathbb{R}$ para o qual $|r\varphi'(r)| \leq C$ para todo $r \in [1, \infty)$ (por exemplo, tome $\varphi(r) = \log(r)$).

Considere a função $F : \mathbb{R}^2 \setminus B(0, 1) \rightarrow \mathbb{R}^2 \setminus B(0, 1)$ dada em coordenadas polares por $F(r, \theta) = (r, \theta + \varphi(r))$, como na Figura 4.1.

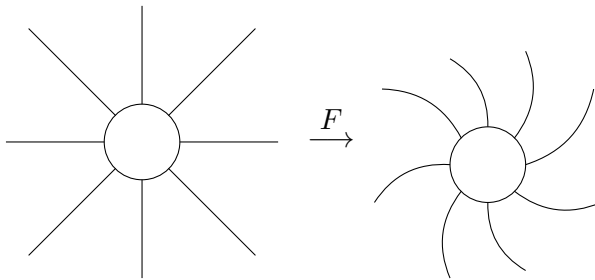


Figura 4.1: Quasi-isometria não é sensível a distorção logarítmica.

Note que F é L -bi-Lipschitz com $L = \sqrt{1 + C^2}$. De fato, a métrica euclidiana em coordenadas polares é dada por

$$ds^2 = dr^2 + r^2 d\theta^2.$$

Então,

$$F^*(ds^2) = [(r\varphi'(r))^2 + 1] dr^2 + 2r^2 \varphi'(r) dr d\theta + r^2 d\theta^2$$

e a afirmação segue porque a alteração máxima da distância ocorre nas direções radiais. Podemos estender F como identidade em $B(0, 1)$. Então, $\tilde{F} : \mathbb{R}^2 \rightarrow \mathbb{R}^2$ é um mergulho quasi-isométrico sobrejetivo, o que implica que \tilde{F} é uma quasi-isometria.

Este exemplo mostra uma propriedade importante de que espirais logarítmicas podem ser retificadas por mapas bi-Lipschitz.

Exercício 4.17. Mostre, usando a Definição 4.14, que a relação de quasi-isometria de espaços métricos é uma relação de equivalência.

Exercício 4.18. Se $f : X \rightarrow Y$ é um mergulho quasi-isométrico e $f(X)$ é r -denso em Y , mostre que f é uma quasi-isometria.

Proposição 4.19. Dois espaços métricos (X, d_X) e (Y, d_Y) são quasi-isométricos no sentido da Definição 4.6 se, e somente se, existe uma quasi-isometria $f : X \rightarrow Y$.

Demonstração. Assuma inicialmente que, para $L \geq 1$ e $C \geq 0$, existe uma (L, C) -quasi-isometria $f : X \rightarrow Y$, com uma C -quasi-inversa \bar{f} . Escrevendo $\delta = L(C + 1)$, e dado $\varepsilon > 0$, sabemos pelo lema de Zorn que existe uma ε -rede δ -separada $A \subset X$. Afirmamos que $B = f(A)$ é uma $(L\varepsilon + 2C)$ -rede 1-separada.

De fato, como A é δ -separado, dados $b_1, b_2 \in B = f(A)$ temos $d(b_1, b_2) = d(f(a_1), f(a_2)) \geq \frac{1}{L}d(a_1, a_2) - C \geq \frac{1}{L}\delta - C = 1$, logo B é 1-separado.

Agora, dado $y \in Y$, deve existir $x \in X$ tal que $d(f(x), y) \leq C$ (tome, por exemplo, $x = \bar{f}(y)$). Como A é ε -denso em X , existe $a \in A$ tal que $d(a, x) \leq \varepsilon$, assim $d(f(a), y) \leq d(f(a), f(x)) + d(f(x), y) \leq Ld(a, x) + C + C \leq L\varepsilon + 2C$ e portanto B é $(L\varepsilon + 2C)$ -rede 1-separada.

Além disso, dados $a, a' \in A$, valem as desigualdades:

$$d(f(a), f(a')) \leq Ld(a, a') + C \leq \left(L + \frac{C}{\delta}\right) d(a, a');$$

$$d(f(a), f(a')) \geq \frac{1}{L}d(a, a') - C \geq \left(\frac{1}{L} - \frac{C}{\delta}\right) d(a, a')$$

$$= \frac{1}{L(C + 1)}d(a, a').$$

Portanto, A e B são bi-Lipschitz equivalentes via f e então os espaços métricos (X, d_X) e (Y, d_Y) são quasi-isométricos no sentido da Definição 4.6.

Reciprocamente, assumamos que $A \subset X$ e $B \subset Y$ são duas δ -redes ε -separadas, e que existe uma aplicação L -bi-Lipschitz $g : A \rightarrow B$. Podemos definir $f : X \rightarrow Y$ por $x \in X \mapsto g(a_x) \in B = g(A)$, onde a_x é escolhido de modo que $d(x, a_x) \leq \delta$. Como $f(X) = g(A) = B$, a imagem de f é δ -densa. Além disso, para cada par $x, y \in X$,

$$d(f(x), f(y)) = d(g(a_x), g(a_y)) \leq Ld(a_x, a_y) \leq L(d(x, y) + 2\delta)$$

e

$$d(f(x), f(y)) = d(g(a_x), g(a_y)) \geq \frac{1}{L}d(a_x, a_y) \geq \frac{1}{L}(d(x, y) - 2\delta).$$

Portanto, f é um $(L, 2\delta L)$ -mergulho quasi-isométrico com imagem δ -densa, e o resultado segue do Exercício 4.18. \square

Definição 4.20. Dado um espaço métrico (X, d_X) , denotamos por $\text{QI}(X)$ o quociente do conjunto $\{f : X \rightarrow X \mid f \text{ é quasi-isometria}\}$ pela relação de equivalência $f \sim g$ se, e somente se, $d(f, g) < \infty$, onde

$$d(f, g) = \sup_{x \in X} \{d_X(f(x), g(x))\}.$$

A classe de equivalência de uma quasi-isometria $f : X \rightarrow X$ será denotada por $[f]$. O conjunto $\text{QI}(X)$ é um grupo com a operação $[f] \cdot [g] := [f \circ g]$, chamado *grupo de quasi-isometrias* do espaço métrico X . Quando G é um grupo finitamente gerado, denotamos por $\text{QI}(G)$ o grupo de quasi-isometrias de G , visto como espaço métrico, equipado com a métrica das palavras.

Exercício 4.21. Mostre que a operação de grupo em $\text{QI}(X)$ está bem-definida e que a quasi-inversa de uma quasi-isometria $f : X \rightarrow X$ define o inverso de $[f]$ em $\text{QI}(X)$, concluindo assim que este quociente é um grupo.

Exercício 4.22. Mostre que se $f : X \rightarrow Y$ é uma (L, C) -quasi-isometria, e $g : X \rightarrow Y$ é uma função tal que $d(f, g) \leq a < \infty$, então g é uma $(L, C + 2a)$ -quasi-isometria.

Lema 4.23. Se $h : X \rightarrow Y$ é uma quasi-isometria entre dois espaços métricos, então os grupos $\text{QI}(X)$ e $\text{QI}(Y)$ são isomorfos, sendo um isomorfismo entre eles dado pela aplicação

$$[f] \mapsto [h \circ f \circ \bar{h}],$$

onde \bar{h} é alguma quasi-inversa de h .

Exercício 4.24. Prove o Lema 4.23.

Corolário 4.25. Se G é um grupo finitamente gerado, então $\text{QI}(G)$ não depende da escolha de geradores.

Demonstração. Se S e S' são dois conjuntos finitos de geradores de G , então a aplicação identidade $id : (G, d_S) \rightarrow (G, d_{S'})$ é uma quasi-isometria, pelo Exercício 3.25, e o resultado segue do Lema 4.23. \square

Para cada espaço métrico X , existe um homomorfismo natural $q_X : \text{Isom}(X) \rightarrow \text{QI}(X)$, dado por $f \mapsto [f]$. Em geral, este homomorfismo não é injetivo. Por exemplo, se $X = \mathbb{R}^n$ então o núcleo de q_X é o grupo de todas as translações, isomorfo a \mathbb{R}^n .

Exercício 4.26. Dê um exemplo de um espaço métrico não compacto X tal que:

- (a) $q_X : \text{Isom}(X) \rightarrow \text{QI}(X)$ é isomorfismo;
- (b) $\text{Isom}(X)$ é trivial mas $\text{QI}(X)$ é infinito;
- (c) $\text{QI}(X)$ é trivial mas $\text{Isom}(X)$ é infinito.

Considere agora um grupo finitamente gerado G , com conjunto de geradores S . Como G age isometricamente em (G, d_S) , obtemos um homomorfismo natural $q_G : G \rightarrow \text{QI}(G)$ definido por

$$q_G(g) := q_{\text{Cay}(G,S)}(L_g) = [L_g],$$

onde L_g é a aplicação de translação à esquerda definida na demonstração da Proposição 1.26.

Se H é um grupo (L, C) -quasi-isométrico a G , sendo $q : H \rightarrow G$ uma quasi-isometria com quasi-inversa \bar{q} , então podemos definir um homomorfismo $\varphi : H \rightarrow \text{QI}(G)$ dado por $\varphi(h) = q_h := q \circ L_h \circ \bar{q} \in \text{QI}(G)$. O homomorfismo φ tem as seguintes propriedades:

- (i) Existe uma constante $D = D(L, C)$ tal que $d(q_h \circ q_k, q_{hk}) \leq D$.
- (ii) O núcleo $\text{Ker}(\varphi)$ é quasi-finito, isto é, para todo $r > 0$, o conjunto $\{h \in H \mid d(q_h, 1) \leq r\}$ é finito. Mais ainda, se G age geometricamente em algum espaço de curvatura negativa, então $\text{Ker}(\varphi)$ é finito.
- (iii) A imagem $\varphi(H)$ age quasi-transitivamente em G , ou seja, para todos $g, g' \in G$ existe $h \in H$ tal que $d(q_h(g), g') \leq D_1$, onde $D_1 = D_1(L, C)$.

Exercício 4.27. Verifique as propriedades (i) a (iii).

4.2 O teorema de Milnor–Schwarz

Um dos principais exemplos de quasi-isometrias (e de sua importância), que parcialmente justifica o interesse nesses mapas, vem do teorema de Milnor–Schwarz. Ele foi demonstrado inicialmente por Schwarz [Šva55] no contexto de variedades Riemannianas, e 13 anos depois de modo independente e na forma mais geral por Milnor [Mil68b]. Ambos tinham interesse em relacionar o crescimento de volume em recobrimentos universais de variedades Riemannianas compactas e o crescimento da cardinalidade de bolas no grupo fundamental dessas variedades, munido da métrica das palavras. Efremovich foi o primeiro a observar, em [Efr53], que essas funções cresciam na mesma taxa. Inclusive, é comum que este teorema apareça na literatura enunciado em sua versão que captura essa relação.

Antes de enunciar o teorema, relembremos algumas definições a respeito de espaços métricos que serão usadas nesta seção.

Um espaço métrico (X, d) é dito *próprio* se, para todos $x \in X$ e $R > 0$, a bola fechada $\overline{B}(x, R)$ é compacta. Uma *geodésica* em X é uma isometria $\alpha : [a, b] \rightarrow X$. Dizemos que o espaço métrico X é *geodésico* se cada par de pontos em X pode ser conectado por uma geodésica.

Um *grupo topológico* é um grupo G munido de uma topologia tal que as operações de multiplicação e inversão sejam contínuas.

Dizemos que uma ação $\mu : G \curvearrowright X$ é uma *ação topológica* se G é um grupo topológico e $\mu : G \times X \rightarrow X$ é contínua.

Uma ação topológica $\mu : G \curvearrowright X$ é própria se, e somente se, para todo par de compactos K_1 e K_2 de X , o conjunto $G_{K_1, K_2} := \{g \in G \mid gK_1 \cap K_2 \neq \emptyset\}$ é compacto, como subespaço de G . Se G é discreto, uma ação própria também é *propriamente descontínua*. Note que, neste último caso, os conjuntos G_{K_1, K_2} são finitos. Além disso, μ é *cocompacta* se, e somente se, existe um compacto $K \subset X$ tal que $G \cdot K := \bigcup_{g \in G} gK = X$.

Exemplo 4.28. A ação de um grupo G finitamente gerado no seu grafo de Cayley $\text{Cay}(G, S)$ é cocompacta (note que G , com a topologia dada pela métrica das palavras, é discreto e que a ação de G em $\text{Cay}(G, S)$ é topológica). Basta tomar, segundo a definição acima, K igual à bola fechada de raio 1 e centro em 1_G .

Relembramos que uma ação topológica $\mu : G \curvearrowright X$ sobre um espaço métrico (X, d) é *colimitada* se existirem uma constante $r > 0$ e um ponto $x \in X$ tal que $G \cdot B(x, r) := \bigcup_{g \in G} gB(x, r) = X$.

Claramente, se X é um espaço métrico próprio então uma ação $\mu : G \curvearrowright X$ é colimitada se e somente se ela é cocompacta.

Uma ação isométrica, cocompacta e propriamente descontínua é chamada *ação geométrica*.

Exercício 4.29. Mostre que todo grupo finitamente gerado age propriamente e de forma colimitada por isometrias em um espaço métrico geodésico e próprio: seu grafo de Cayley.

Estamos agora em condições de enunciar o principal resultado desta seção:

Teorema 4.30 (Milnor–Schwarz). *Sejam (X, d) um espaço métrico próprio e geodésico e G um grupo que age geometricamente em X . Então*

1. O grupo G é finitamente gerado;

2. Para qualquer métrica das palavras d_S em G e qualquer ponto $x \in X$, a aplicação $g \in G \mapsto gx \in X$ é uma quasi-isometria.

Demonstração. Passo 1 (os geradores de G): Lembramos que uma ação é geométrica se for cocompacta, isométrica e propriamente descontínua. Cada ação geométrica $G \curvearrowright X$ é colimitada, já que X é próprio. Logo, existe alguma bola fechada \overline{B} de raio $D > 0$ e centro $x_0 \in X$, tal que $G \cdot \overline{B} = X$ (observe que, com isso, para qualquer $x \in X$, vale que $G \cdot \overline{B}(x, 2D) = X$). Como X é próprio, segue que \overline{B} é compacta. Defina

$$S = \{s \in G \mid s\overline{B} \cap \overline{B} \neq \emptyset\}.$$

Note que S é finito, pois a ação é própria, e que $1 \in S = S^{-1}$. Se $G = S$, então claramente S gera G . Assumimos assim que $G \neq S$.

Passo 2 (o que ocorre fora do conjunto de geradores): Considere, conforme a Figura 4.2,

$$2d := \inf\{d(\overline{B}, g\overline{B}) \mid g \in G \setminus S\}.$$

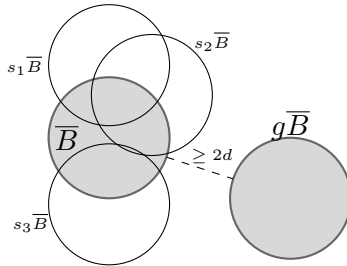


Figura 4.2: definição de d .

Fixe $g_0 \in G \setminus S$. Da definição de S , segue que a distância $R = d(\overline{B}, g_0\overline{B})$ será positiva. Pondo $H = \{h \in G \mid d(\overline{B}, h\overline{B}) \leq R\}$, temos

$$H \subset \{g \in G \mid g(\overline{B}(x_0, D + R)) \cap \overline{B}(x_0, D + R) \neq \emptyset\}.$$

Logo H é finito. Mais ainda,

$$\inf\{d(\overline{B}, g\overline{B}) \mid g \in G \setminus S\} = \inf\{d(\overline{B}, g\overline{B}) \mid g \in H \setminus S\}.$$

Note que o último ínfimo é tomado sobre um conjunto finito de números positivos. Portanto, existe $h_0 \in H \setminus S$ tal que $d(\overline{B}, h_0\overline{B})$ atinge esse ínfimo, que é, portanto, positivo. Concluímos que se $d(\overline{B}, g\overline{B}) < 2d$, então $g \in S$.

Passo 3 (G é finitamente gerado por S): Considere uma geodésica $[x, gx] \subset X$, onde $g \in G$ e $x \in X$, e defina

$$k = \left\lfloor \frac{d(x, gx)}{d} \right\rfloor.$$

Então existe uma sequência contendo $k + 2$ pontos sobre $[x, gx]$, digamos $y_0 = x, y_1, \dots, y_k, y_{k+1} = gx$, tal que $d(y_i, y_{i+1}) \leq d$ para $i = 0, \dots, k$. Para cada i , seja $h_i \in G$ tal que $y_i \in h_i\overline{B}$ e tome $h_0 = 1, h_{k+1} = g$. Como

$$d(\overline{B}, h_i^{-1}h_{i+1}\overline{B}) = d(h_i\overline{B}, h_{i+1}\overline{B}) \leq d(y_i, y_{i+1}) \leq d,$$

segue do passo 2 que $h_i^{-1}h_{i+1} = s_i \in S$. Assim, g pode ser escrito como $g = s_0s_1 \dots s_k$ com $s_i \in S$.

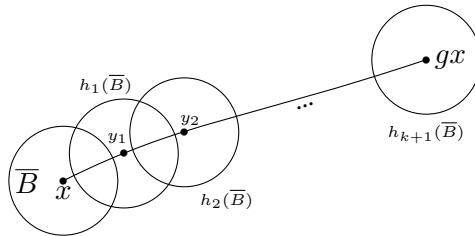


Figura 4.3: O grupo G é gerado por S .

Passo 4 (a quasi-isometria): Como todas as métricas das palavras em G são bi-Lipschitz equivalentes, basta provar a parte (2) do teorema para a métrica das palavras d_S em G , onde S é o conjunto gerador finito encontrado acima a partir do ponto escolhido x . O espaço X está contido, pelo fato da ação ser colimitada, numa vizinhança $2D$ -tubular da órbita Gx . Portanto, resta provar que o mapa órbita $f : G \rightarrow X$, dado por $g \mapsto gx$ é um mergulho quasi-isométrico. Vimos no passo anterior que $g = s_0s_1 \dots s_k$,

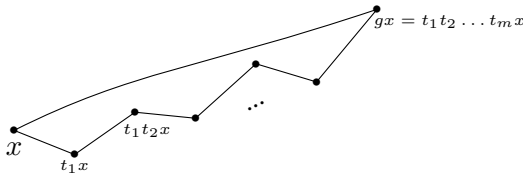
onde $s_i \in S$. Logo, pela definição da métrica das palavras e de k , obtemos:

$$|g|_S \leq k + 1 \leq \frac{1}{d}d(x, gx) + 1.$$

Por outro lado, se $|g|_S = m \leq k + 1$ e $t_1 \dots t_m = w$ é uma palavra reduzida em S que representa g , obtemos pela desigualdade triangular:

$$\begin{aligned} d(x, gx) &= d(x, t_0 t_1 \dots t_m x) \\ &\leq d(x, t_1 x) + d(t_1 x, t_1 t_2 x) + \dots + d(t_1 t_2 \dots t_{m-1} x, t_1 t_2 \dots t_m x) \\ &= d(x, t_1 x) + d(x, t_2 x) + \dots + d(x, t_m x) \leq (2D)m = 2D|g|_S, \end{aligned}$$

onde $2D > \max_{s \in S} d(x, sx)$, já que se $s \in S$, temos $s\bar{B} \cap \bar{B} \neq \emptyset$.



Assim, para todo $g \in G$, vale

$$d d_S(1, g) - d \leq d(x, gx) \leq (2D)d_S(1, g).$$

Como tanto a métrica das palavras $|\cdot|_S = d_S(1, \cdot)$ como a métrica $d(\cdot, \cdot)$ em X são invariantes em relação à ação de G à esquerda, na desigualdade acima, 1 pode ser substituído por qualquer elemento $h \in G$.

Assim, tomando $L = \max\{2D, d\}$, concluímos que o mapa f é um (L, d) -mergulho quasi-isométrico, cuja imagem é $2D$ -densa em X . Portanto, f é uma quasi-isometria. □

Corolário 4.31. Dada uma variedade Riemanniana M compacta, considere seu recobrimento universal \tilde{M} , dotado da métrica Riemanniana de pull-back. Então o grupo fundamental $\pi_1(M)$ age geometricamente em \tilde{M} . Pelo teorema de Milnor–Schwarz, o grupo

$\pi_1(M)$ é finitamente gerado, e o espaço métrico \tilde{M} é quasi-isométrico a $\pi_1(M)$, munido com alguma métrica das palavras. Em particular, podemos usar o Teorema 4.30 para obter restrições a respeito dos tipos de métricas Riemannianas que uma certa variedade pode ter.

Corolário 4.32. Seja G um grupo finitamente gerado.

1. Se H é um subgrupo de índice finito de G , então H também é finitamente gerado. Além disso, H é quasi-isométrico a G .
2. Dado um subgrupo normal e finito $N \triangleleft G$, então os grupos G e G/N são quasi-isométricos.

Demonstração. É claro que a ação de H no espaço métrico próprio e geodésico $\text{Cay}(G, S)$ é isométrica e propriamente descontínua.

Agora, como H tem índice finito, segue que $G = \bigcup_{i=1}^n g_i H$, para finitos elementos $g_1 = 1, g_2, \dots, g_n \in G$. Escrevendo $R = \max |g_i|_S$, obtemos que $\text{Cay}(G, S) = H \cdot \overline{B}(1, R)$ e portanto a ação de H em $\text{Cay}(G, S)$ é colimitada. Assim, o item 1 segue do teorema de Milnor–Schwarz.

Como G é finitamente gerado, então G/N também é gerado por um conjunto finito, digamos S' , pela Proposição 1.33. Sejam $\mu : G/N \curvearrowright \text{Cay}(G/N, S')$ a ação de G/N por translação à esquerda e $\pi : G \rightarrow G/N$ a projeção canônica. Podemos, usando μ e π , definir uma ação induzida $\mu' : G \curvearrowright \text{Cay}(G/N, S')$, a qual é uma ação geométrica. Com efeito, da definição da distância em G/N segue que esta é uma ação por isometrias. Seja $B = B(N, 1)$ é uma bola em $\text{Cay}(G/N, S')$ então $G \cdot B = \text{Cay}(G/N, S')$ e portanto a ação é colimitada. Por fim, sendo N finito, podemos mostrar que esta ação é própria. Daí, pelo teorema de Milnor–Schwarz concluímos que G e G/N são quasi-isométricos. \square

Corolário 4.33. Sejam (X, d_i) , $i = 1, 2$ espaços métricos próprios e geodésicos. Suponha que exista uma ação de um grupo G em X , a qual é geométrica com respeito a ambas as distâncias d_1 e d_2 . Então a aplicação identidade

$$id : (X, d_1) \rightarrow (X, d_2)$$

é uma quasi-isometria. Em particular, cada geodésica em X com relação a d_1 é uma quasi-geodésica com relação a d_2 .

Demonstração. Pelo teorema de Milnor–Schwarz, G é finitamente gerado e, fixado $x_0 \in X$ e escolhendo uma métrica das palavras d_S com respeito a algum conjunto de geradores S de G , para cada $i = 1, 2$, o mapa $f_i : G \rightarrow (X, d_i)$, dado por $g \mapsto gx_0$ é uma quasi-isometria, com quasi-inversa denotada por \bar{f}_i . Afirmamos que $d_2(x, f_2 \circ \bar{f}_1(x)) \leq K$, para alguma constante $K > 0$. Para ver isso, basta mostrarmos a desigualdade em x num subconjunto A -denso em (X, d_1) . Como f_1 é mergulho quasi-isométrico, $f_1(G)$ é A -denso em (X, d_1) . Assim, temos:

$$\begin{aligned} d_2(f_1(g), f_2 \circ \bar{f}_1(f_1(g))) &= d_2(f_2(g), f_2 \circ \bar{f}_1(f_1(g))) \\ &\leq Ld_S(g, \bar{f}_1(f_1(g))) + C \\ &\leq LD + C, \end{aligned}$$

onde usamos que f_2 é (L, C) -quasi-isometria e $d_S(g, \bar{f}_1(f_1(g))) \leq D$, para todo $g \in G$. \square

Apresentaremos agora algumas consequências do Teorema de Milnor–Schwarz com respeito a noções de comensurabilidade e isomorfismo virtual de grupos.

Definição 4.34. Dois grupos G_1 e G_2 são ditos *comensuráveis* se existem subgrupos de índice finito $H_i \leq G_i$, $i = 1, 2$, tais que H_1 é isomorfo H_2 .

Definição 4.35. Dois grupos G_1 e G_2 são ditos *virtualmente isomorfos* (denotamos por $G_1 \overset{\text{VI}}{\sim} G_2$) se existirem subgrupos de índice finito $H_i \leq G_i$ e subgrupos finitos e normais $F_i \triangleleft H_i$, para cada $i = 1, 2$, tais que os quocientes H_1/F_1 e H_2/F_2 são isomorfos. Tal isomorfismo $\varphi : H_1/F_1 \rightarrow H_2/F_2$, caso exista, é chamado *isomorfismo virtual* entre G_1 e G_2 .

Exercício 4.36. Verifique que “ser virtualmente isomorfo” é uma relação de equivalência.

Exercício 4.37. Mostre que um homomorfismo $f : G \rightarrow H$, entre dois grupos finitamente gerados G e H , é uma quasi-isometria se, e somente se, seu núcleo $\text{Ker}(f)$ é finito e sua imagem $\text{Im}(f)$ tem índice finito em H .

Corolário 4.38. Se G_1 e G_2 são dois grupos finitamente gerados virtualmente isomorfos então G_1 e G_2 são quasi-isométricos.

Demonstração. Como G_1 e G_2 são virtualmente isomorfos, existem subgrupos de índice finito $H_i \leq G_i$, $i = 1, 2$ e subgrupos normais finitos $F_i \triangleleft H_i$, $i = 1, 2$ tais que os quocientes H_1/F_1 e H_2/F_2 são isomorfos, portanto quasi-isométricos. Pelo item 2 do Corolário 4.32 temos que H_i/F_i é quasi-isométrico a H_i e pelo item 1 desse mesmo corolário, temos G_i quasi-isométrico a H_i . Assim, concluímos que G_1 é quasi-isométrico a G_2 . \square

A seguir, veremos alguns exemplos onde a existência de uma quasi-isometria entre dois grupos não implica que eles sejam virtualmente isomorfos.

Exemplo 4.39. Seja $\text{Hyp}(2, \mathbb{Z})$ o conjunto das matrizes $A \in \text{SL}_2(\mathbb{Z})$ diagonalizáveis sobre \mathbb{R} tais que $A^2 \neq I$. Para cada $A \in \text{Hyp}(2, \mathbb{Z})$, considere a ação de $\mathbb{Z} \curvearrowright \mathbb{Z}^2$ tal que $1 \in \mathbb{Z}$ age como A em \mathbb{Z}^2 . Seja $G_A = \mathbb{Z}^2 \rtimes_A \mathbb{Z}$ o produto semidireto associado. Podemos ver G_A como grupo fundamental da 3-variedade $T_A = \mathbb{T}^2 \times [0, 1] / \sim_A$.

Deixamos como exercício verificar que \mathbb{Z}^2 é o único subgrupo maximal normal abeliano de G_A . Pela diagonalização de A , podemos ver que existe um mergulho

$$G_A \hookrightarrow \text{Sol}_3 := \mathbb{R}^2 \rtimes_D \mathbb{R},$$

onde

$$D(t) = \begin{pmatrix} e^t & 0 \\ 0 & e^{-t} \end{pmatrix},$$

tal que a imagem de G é discreta e cocompacta em Sol_3 . Em particular, G_A é livre de torção. O grupo Sol_3 tem uma métrica Riemanniana invariante a esquerda. Portanto, G_A age isometricamente em

Sol_3 , munido dessa métrica. Assim, cada G_A como acima é quasi-isométrico a Sol_3 . Construiremos agora dois grupos G_A, G_B dos tipos mencionados acima e que não são virtualmente isomorfos entre si. Escolha duas matrizes $A, B \in \text{Hyp}(2, \mathbb{Z})$ tais que para cada $n, m \in \mathbb{Z} \setminus \{0\}$, A^n não seja conjugada a B^m . Por exemplo,

$$A = \begin{pmatrix} 2 & 1 \\ 1 & 1 \end{pmatrix}, \quad B = \begin{pmatrix} 3 & 2 \\ 1 & 1 \end{pmatrix}.$$

A propriedade sobre as potências de A e B seguem considerando-se os autovalores de A e B e observando que os corpos que eles geram são extensões quadráticas distintas de \mathbb{Q} . Vamos verificar que G_A não é virtualmente isomorfo a G_B . Em primeiro lugar, uma vez que ambos G_A, G_B são livres de torção, basta mostrar que eles não são comensuráveis, isto é, não contêm subgrupos de índice finito isomorfos. Seja H_A um subgrupo de índice finito em G_A . Então H_A intersecta o subgrupo normal, livre abeliano, de posto 2 de G_A ao longo de um subgrupo L_A livre abeliano de posto 2. Ou seja $L_A = H_A \cap \mathbb{Z}^2$.

A imagem de H_A pela projeção $G_A \rightarrow G_A/\mathbb{Z}^2 = \mathbb{Z}$ deve ser um subgrupo cíclico infinito, gerado por algum $n \in \mathbb{N}$. Portanto, H_A é isomorfo a $\mathbb{Z}^2 \rtimes_{A^n} \mathbb{Z}$. Pela mesma razão, $H_B = \mathbb{Z}^2 \rtimes_{B^m} \mathbb{Z}$. Qualquer isomorfismo $H_A \rightarrow H_B$ deve levar L_A isomorficamente em L_B . Contudo, isto implicaria que A^n é conjugado com B^m , uma contradição.

Exemplo 4.40. Seja S uma superfície compacta de gênero $g \geq 2$. Considere $G_1 = \pi_1(S) \times \mathbb{Z}$, M o espaço total do fibrado unitário sobre S e $G_2 = \pi_1(M)$. Temos então a sequência exata

$$1 \rightarrow \mathbb{Z} \rightarrow G_2 \rightarrow \pi_1(S) \rightarrow 1$$

$$G_2 = \langle a_1, b_1, \dots, a_g, b_g, t \mid [a_1, b_1] \cdots [a_g, b_g] t^{2n-2}, [a_i, t], [b_i, t], \forall i \rangle.$$

Deixamos ao leitor verificar que a passagem para qualquer subgrupo de índice finito em G_2 não o torna uma extensão central trivial do grupo fundamental da superfície hiperbólica. Por outro lado, como o grupo $\pi_1(S)$ é hiperbólico, no sentido do Capítulo 8, segue

que os grupos G_1 e G_2 são quasi-isométricos. De fato, nesta última afirmação usamos o seguinte teorema (veja [DK18, Teorema 11.159] ou [Ger92] para o caso particular $A = \mathbb{Z}$):

Teorema 4.41. *Dada uma co-extensão central*

$$1 \rightarrow A \rightarrow G \rightarrow H \rightarrow 1,$$

onde A é um grupo abeliano finitamente gerado e H um grupo hiperbólico, tem-se que G é quasi-isométrico a $A \times H$.

Observação 4.42. Em seu trabalho [Thu82], Thurston deixou uma lista com 24 problemas envolvendo 3-variedades e grupos Kleinianos, dos quais apenas um ainda está em aberto atualmente: “*Mostrar que os volumes de 3-variedades hiperbólicas não são todos racionalmente relacionados.*” Suponhamos que existam M_1 e M_2 variedades compactas de dimensão 3 e curvatura -1 tais que o quociente de seus volumes seja irracional. Os grupos fundamentais dessas variedades serão quasi-isométricos a \mathbb{H}^3 , pelo Corolário 4.31 e, por transitividade, são quasi-isométricos entre si. Se $\pi_1(M_1)$ é comensurável a $\pi_1(M_2)$, então existem subgrupos $H_i \leq \pi_1(M_i)$, de índice finito n_i , os quais são isomorfos. Logo, existem recobrimentos finitos \overline{M}_i , com n_i folhas, das variedades M_i , tais que $\pi_1(\overline{M}_i) \cong H_i$. Assim pelo teorema da rigidez de Mostow (vide [Mos68]), \overline{M}_1 é isométrico a \overline{M}_2 e então $\text{vol}(\overline{M}_1) = \text{vol}(\overline{M}_2)$. No entanto, $\text{vol}(\overline{M}_i) = n_i \text{vol}(M_i)$ o que contradiz a irracionalidade do quociente dos volumes das variedades M_i . Esse seria um exemplo interessante de que quasi-isometria não implica em comensurabilidade.

Exercício 4.43. Mostre que para todos $m, n \geq 2$, os grupos F_m e F_n são quasi-isométricos.

O resultado apresentado a seguir, devido a Gromov [Gro93], fornece um critério alternativo para verificar se dois grupos são quasi-isométricos.

Definição 4.44. Sejam G_1, G_2 dois grupos. Um *acoplamento topológico* de G_1 e G_2 é um espaço metrizável X , localmente compacto,

junto com duas ações $\rho_i : G_i \curvearrowright X$ que comutam, são cocompactas e propriamente descontínuas. Duas ações $\rho_i : G_i \rightarrow \text{Homeo}(X)$ comutam se $\rho_1(g_1)\rho_2(g_2) = \rho_2(g_2)\rho_1(g_1)$, para quaisquer $g_i \in G_i$.

Teorema 4.45. *Dois grupos finitamente gerados são quasi-isométricos se, e somente se, existe um acoplamento topológico entre eles.*

Exercício 4.46. Forneça uma prova do Teorema 4.45 (*sugestão*: veja [Gro93, Teorema 0.2.C₂] ou [dLH00, páginas 97 e 98]).

Definição 4.47. Dizemos que dois grupos G_1 e G_2 possuem um *modelo geométrico comum* se existe um espaço métrico quasi-geodésico próprio (X, d) no qual ambos, G_1 e G_2 , agem geometricamente.

Note que o teorema de Milnor–Schwarz implica que se G_1 e G_2 tem um modelo geométrico comum, então eles são quasi-isométricos. No entanto, não vale a recíproca:

Teorema 4.48 ([MSW03]). *Dados $p \neq q$ primos ímpares distintos, considere os grupos*

$$G_1 = \mathbb{Z}_p * \mathbb{Z}_p, \quad G_2 = \mathbb{Z}_q * \mathbb{Z}_q,$$

os quais são virtualmente isomorfos a F_2 . Então G_1 e G_2 são quasi-isométricos, mas não tem modelo geométrico comum.

4.3 Um levantamento sobre rigidez quasi-isométrica

Já conseguimos transformar grupos finitamente gerados em espaços métricos, tratando-os como objetos geométricos quasi-isométricos a eles, por exemplo, seus grafos de Cayley. Gostaríamos agora de saber até que ponto somos capazes de reconstruir o grupo G , como objeto algébrico, a partir de alguns de seus modelos geométricos, definidos a menos de quasi-isometrias. Em outras palavras, gostaríamos de saber até que ponto o mapa de “geometrização”

$$geo : \{\text{Grupos Finitamente Gerados}\} \rightarrow \{\text{Espaços Métricos}\}/\text{QI}$$

é injetivo.

Definição 4.49. Um grupo finitamente gerado G é dito *QI-rígido* se todo grupo G_0 que é quasi-isométrico a G satisfaz $G_0 \overset{\text{VI}}{\simeq} G$.

Já uma classe de grupos \mathcal{C} é dita *QI-rígida* se, para todo G' com $G' \overset{\text{QI}}{\simeq} G \in \mathcal{C}$, existe algum $G'' \in \mathcal{C}$ tal que $G'' \overset{\text{VI}}{\simeq} G'$ (veja a Definição 4.35 para a relação de isomorfismo virtual $\overset{\text{VI}}{\simeq}$).

Definição 4.50. Uma propriedade \mathcal{P} de grupos é dita *geométrica* ou *QI-invariante* se a classe de todos os grupos que satisfazem \mathcal{P} é QI-rígida.

Boa parte dos problemas em teoria geométrica de grupos foca em estudar rigidez quasi-isométrica. Listamos a seguir alguns exemplos de grupos e classes de grupos QI-rígidas:

- Todos os grupos livres não abelianos (J. Stallings, [Sta68]);
- Todos os grupos livres abelianos (M. Gromov [Gro81] e P. Pansu [Pan83]);
- Classe dos grupos nilpotentes (M. Gromov [Gro81]);
- A classe de todos os grupos fundamentais de superfícies fechadas, isto é, superfícies compactas e sem bordo, de gênero $g \geq 2$ (uma combinação dos trabalhos de P. Tukia [Tuk88, Tuk94], de D. Gabai [Gab91], e de A. Casson e D. Jungreis [CJ94]);
- Classe dos grupos fundamentais de variedades fechadas de dimensão 3 (uma combinação dos trabalhos de R. Schwartz [Sch95]; de M. Kapovich e B. Leeb [KL97a]; de A. Eskin, D. Fisher e K. Whyte [EFW12, EFW13] e, o mais importante, da solução da conjectura de geometrização por G. Perelman);
- Classe de grupos finitamente apresentados (E. Ghys e P. de la Harpe [GdlH91, Seção 10.4]);
- Classe dos grupos hiperbólicos (veja o Capítulo 8; esse item segue de uma aplicação do Lema de Morse para quasi-geodésicas, como no Corolário 7.48);

- Classe dos grupos amenáveis (pode ser verificado em E. Ghys e P. de la Harpe [GdlH91, Seção 10.4]);
- Classe dos grupos fundamentais de variedades fechadas hiperbólicas de dimensão $n \geq 3$ (P. Tukia [Tuk86]);
- Classe dos reticulados cocompactos em um grupo de Lie simples não compacto, por exemplo, em $G = \mathrm{SL}(n, \mathbb{R})$ (esta é uma combinação dos trabalhos de P. Tukia [Tuk86], P. Pansu [Pan89], R. Chow [Cho96], B. Kleiner e B. Leeb [KL97b] e de A. Eskin e B. Farb [EF97]);
- Todo subgrupo discreto cofinito e não cocompacto em um grupo de Lie simples não compacto. Por exemplo, se tivermos $\Gamma \stackrel{\mathrm{QI}}{\sim} \mathrm{SL}(n, \mathbb{Z}) \leq \mathrm{SL}(n, \mathbb{R})$, então $\Gamma \stackrel{\mathrm{VI}}{\sim} \mathrm{SL}(n, \mathbb{Z})$ (R. Schwartz [Sch95, Sch96] e A. Eskin [Esk98]).

Intuitivamente, quanto mais perto um grupo ou uma classe de grupos está de ser um grupo de Lie simples, maior a chance de haver QI-rigidez. Provaremos a rigidez quase-isométrica de alguns desses exemplos mais adiante neste livro, depois de desenvolver as ferramentas apropriadas.

Por outro lado, temos os seguintes grupos ou classes de grupos que não são QI-rígidos:

- Todo grupo fundamental de uma variedade hiperbólica fechada de dimensão $n \geq 3$: para um dado n , existe uma quantidade enumerável de classes distintas por $\stackrel{\mathrm{VI}}{\sim}$ destes grupos e, pelo teorema de Milnor–Schwarz, eles são todos quasi-isométricos entre si.
- A classe dos grupos finitamente gerados solúveis (A. Erschler [DE00]);
- A classe dos grupos simples finitamente apresentados: $F_2 \times F_2$ é QI a um grupo simples (M. Burger e S. Mozes [BM00]);
- A classe de grupos residualmente finitos (M. Burger e S. Mozes [BM00]).

Capítulo 5

Fins de um espaço topológico

5.1 O espaço de fins de um espaço topológico

Nesta seção vamos introduzir a noção de fins de um espaço topológico X . Este é o mais antigo invariante por quasi-isometrias que se conhece. Podemos pensar intuitivamente na seguinte motivação: um dos invariantes topológicos mais simples é o número de componentes conexas de um espaço, ou ainda o número $\pi_0(X)$ de componentes conexas por caminhos de X . Suponha, no entanto, que trabalhemos com um espaço conexo. Poderíamos pensar num eventual invariante topológico que envolva o número de componentes conexas do complementar de um ponto, ou ainda, de um conjunto finito nesse espaço. De fato, se um espaço pode ser desconectado removendo um de seus pontos, e outro não, então esses dois espaços não podem ser homeomorfos.

No contexto de geometria grosseira, pontos em espaços métricos são indistinguíveis de conjuntos limitados. É então natural olharmos para as componentes conexas do complementar de conjuntos limitados, como as bolas em espaços métricos. Para espaços topológicos em geral, veremos que é possível trabalhar com compactos no lugar de bolas, desde que o espaço admita uma exaustão por compactos.

5.1.1 Número de fins de um espaço

Seja X um espaço topológico não vazio, segundo contável, conexo, localmente compacto, localmente conexo por caminhos e Hausdorff. Podemos considerar, por exemplo, qualquer espaço métrico próprio e geodésico.

Para cada subconjunto $B \subset X$, denote por B^c o seu complementar $X \setminus B$. Se $B \subset X$ é fechado, denote por U_B a união de todas as componentes conexas por caminhos de B^c que não são relativamente compactas em X . Caso X seja um espaço métrico, U_B pode ser tomado como a união de todas as componentes conexas por caminhos ilimitadas de B^c . Assim, para $B \subset X$ fechado, defina $\pi_0^u(B^c) := \pi_0(U_B)$.

Definição 5.1. O *número de fins* de X é definido como o supremo, tomado sobre todos os subconjuntos compactos $K \subset X$, das cardinalidades $\pi_0^u(K^c)$. Esse número será denotado por $\eta(X)$.

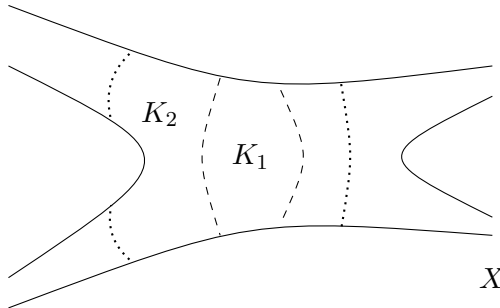


Figura 5.1: Um espaço com número de fins igual a 4.

Na próxima seção, definiremos o espaço de fins de um espaço topológico X , denotado por $e(X)$. Este é também um espaço topológico, cuja cardinalidade satisfaz $\text{card}(e(X)) \geq \eta(X)$, valendo a igualdade se algum deles for finito. Em teoria de grupos, veremos que $e(X)$ terá a cardinalidade do contínuo se for infinito. No entanto, nosso interesse com respeito a grupos estará em investigar a finitude ou infinitude do número de fins, e sua cardinalidade no caso finito. Assim, a distinção entre $\eta(X)$ e $\text{card}(e(X))$ não será tão relevante.

Exemplo 5.2. (1) $\eta(X) = 0$ se, e somente se, X é compacto;

(2) $\eta(X) = 1$ se, e somente se, X é não compacto e, para cada compacto $K \subset X$, K^c tem apenas uma componente ilimitada.

Exercício 5.3. Mostre que

(1) $\eta(\mathbb{R}) = 2$;

(2) $\eta(\mathbb{R}^n) = 1$, se $n \geq 2$;

(3) Se T é uma árvore regular de valência finita $n \geq 3$, então $\eta(T) = \infty$.

Lema 5.4. O número de fins $\eta(X)$ de um espaço métrico próprio e geodésico X é um invariante por quasi-isometrias.

Demonstração. Seja $f : X \rightarrow Y$ uma (L, A) -quasi-isometria entre dois espaços métricos próprios e geodésicos. Suponha que $\eta(X) \geq n$, para algum $n \in \mathbb{N}$, ou seja, existe uma bola $B = \overline{B}(x, R) \subset X$ tal que B^c consiste de pelo menos n componentes ilimitadas. Assim, $f(B)$ será limitada, já que f é quasi-isometria. Além disso, a imagem de qualquer componente ilimitada $C \subset B^c$ é também ilimitada.

No entanto, $f(C)$ pode não ser conexa ou não estar contida no complementar de $f(B)$. Além disso, as imagens de componentes conexas distintas de B^c podem estar contidas numa mesma componente conexa de $f(B)^c$ em Y .

Vamos lidar com cada um desses problemas separadamente. Seja $B' = \overline{B}(x, R')$ outra bola com $R' > R$.

1. Se $R' - R > t$, onde $(L^{-1}t - A) > 0$, então cada componente conexa C' de $(B')^c$ tem imagem disjunta de $f(B)$. Como o número de fins independe do compacto que escolhemos, podemos trocar R por algum $R' > R + AL$ e assim, $f(C')$ está contida em $f(B')^c$ para qualquer componente conexa $C' \subset (B')^c$.
2. Se $x_1, x_2 \in X$ são tais que $d_X(x_1, x_2) \leq 1$, então vale que $d_Y(f(x_1), f(x_2)) \leq L + A =: r$. Assim, $\mathcal{N}_r(f(C'))$ é conexa por caminhos em Y . Para que esta vizinhança seja disjunta de

$f(B)$, é suficiente trocar R por alguma constante R' tal que $L^{-1}R' - A > r$. Assim, se $R' > R + L(A + r)$, teremos $f(C')$ conexa por caminhos e disjunta de $f(B)$.

3. O último problema é um pouco mais sutil. Até o momento, usamos apenas que f é um mergulho quasi-isométrico. Neste ponto, a hipótese da sobrejetividade grosseira de f será importante (veja o Exercício 5.5).

Sejam C_1 e C_2 componentes conexas por caminhos ilimitadas distintas de B^c e $x_i \in C_i$, para $i = 1, 2$, pontos mapeados em $y_i = f(x_i)$ que pertencem à mesma componente conexa por caminhos de $(\text{cl}(f(B)))^c$. Considere um caminho p em $(\text{cl}(f(B)))^c$ ligando y_1 a y_2 . Seja \bar{f} uma quasi-inversa de f . Quando tomamos a composição $\bar{f} \circ p$, este não precisa ser um caminho em X , mas podemos torná-lo um caminho grosseiro.

Considere uma sequência de pontos z_1, \dots, z_n em $\text{Im}(p)$ com $z_1 = y_1$, $z_n = y_2$ e $\text{dist}(z_i, z_{i+1}) \leq 1$ para $i = 1, \dots, n - 1$.

Os pontos $w_i := \bar{f}(z_i) \in X$ satisfazem $\text{dist}(w_i, w_{i+1}) \leq L + A$, para $i = 1, \dots, n - 1$. Temos também que $\text{dist}(w_0, w_1) \leq A$ e $\text{dist}(w_n, w_{n+1}) \leq A$, onde $w_0 := x_1$ e $w_{n+1} := x_2$.

Conectando os pontos consecutivos w_i e w_{i+1} ($i = 0, \dots, n$) por segmentos geodésicos em X , obtemos um caminho q , que conecta x_1 a x_2 . Substituímos por q o caminho $\bar{f} \circ p$ (possivelmente descontínuo) em X .

Precisamos garantir que a imagem do caminho contínuo q é disjunta de B , o que nos leva a uma contradição, já que assumimos que C_1 e C_2 eram componentes conexas por caminhos disjuntas de B^c . Se a imagem de p está no complementar de $B(y, r')$, onde $y = f(x)$, então $\text{dist}_X(x, \text{Im}(q)) \geq R'' := L^{-1}r' - 3A - L$. Escolhemos r' tal que $R'' > R$. Assim, se x_1 e x_2 estão suficientemente distantes de x (já que C_1, C_2 são ilimitados) obtemos que y_1 e y_2 estão em componentes distintas de $B(y, r')^c$.

Portanto, existe um conjunto limitado $B' = B(y, r')$ de Y cujo

complementar tem pelo menos n componentes ilimitadas, e assim concluímos que $\eta(Y) \geq \eta(X)$.

Invertendo os papéis de X e Y , o mesmo argumento mostra que na verdade $\eta(Y) = \eta(X)$. \square

Exercício 5.5. Considere o exemplo do mergulho isométrico de \mathbb{R} em \mathbb{R}^2 para verificar o que falha no sentido do lema acima caso não tenhamos a sobrejetividade grosseira de f .

Como consequência do Lema 5.4, podemos fazer a seguinte definição de número de fins de um grupo finitamente gerado:

Definição 5.6. Sejam G um grupo finitamente gerado e S um conjunto de geradores de G . O *número de fins de G* é o número de fins de seu grafo de Cayley.

O número de fins de um grupo está bem definido pois diferentes conjuntos finitos de geradores do grupo fornecem grafos de Cayley quasi-isométricos.

5.1.2 Limites diretos e inversos de espaços

Para proceder à definição do espaço dos fins de um espaço topológico, necessitaremos das noções de limites diretos e limites inversos, da teoria de categorias.

Seja I um conjunto *dirigido*, isto é, um conjunto parcialmente ordenado (também chamado *poset*), tal que quaisquer dois elementos $i, j \in I$ tenham uma cota superior, ou seja, existe $k \in I$ com $i, j \leq k$. Os exemplos básicos de conjuntos dirigidos são o conjunto de números reais, ou números reais positivos, ou números naturais.

Um *sistema direto* de conjuntos (resp. espaços topológicos, grupos) indexado por I é uma coleção $\{A_i \mid i \in I\}$ de conjuntos (resp. espaços topológicos, grupos), junto de uma coleção $\{f_{ij} : A_i \rightarrow A_j\}$ de funções (resp. funções contínuas, homomorfismos), definidas para $i \leq j$, satisfazendo as seguintes condições de compatibilidade:

$$(1) \quad f_{ik} = f_{jk} \circ f_{ij} \text{ para todos } i \leq j \leq k;$$

(2) $f_{ii} = \text{Id}$.

Um *sistema inverso* é definido similarmente, exceto pelos fatos de que $f_{ij} : A_j \rightarrow A_i$, para $i \leq j$, e que a primeira condição de compatibilidade é dada por $f_{ik} = f_{kj} \circ f_{ji}$ para todos $i \leq j \leq k$.

O *limite direto* de um sistema direto é o conjunto

$$A = \varinjlim A_i = \bigsqcup_{i \in I} A_i / \sim,$$

onde $a_i \sim a_j$ quando $f_{ik}(a_i) = f_{jk}(a_j)$ para algum $k \in I$. Temos aplicações naturais $f_k : A_k \rightarrow \varinjlim A_i$ dadas por $f_k(a_k) = [a_k]$. Note que $\varinjlim A_i = \bigcup_{k \in I} f_k(A_k)$.

Se os conjuntos A_i são grupos, equipamos o limite direto $\varinjlim A_i$ com a operação de grupo $[a_i] \cdot [a_j] = [f_{ik}(a_i) \cdot f_{jk}(a_j)]$ onde $k \in I$ é uma cota superior para i e j . Note que este produto está bem definido pela condição de compatibilidade.

Se os A_i 's forem espaços topológicos, definimos no limite direto $\varinjlim A_i$ a topologia fraca induzida pelos f_k , isto é, $U \subset \varinjlim A_i$ é aberto, se e somente se, $f_k^{-1}(U)$ é aberto em A_k para cada $k \in I$.

O *limite inverso* de um sistema inverso como acima é dado por

$$\varprojlim A_i := \left\{ (a_i)_{i \in I} \in \prod_{i \in I} A_i \mid a_i = f_{ij}(a_j) \text{ para todo } i \leq j \right\}.$$

Se os conjuntos A_i são grupos, equipamos $\varprojlim A_i$ com a operação de grupo induzida pelo produto direto dos grupos A_i , ou seja, dados $(a_i)_{i \in I}$ e $(b_i)_{i \in I} \in \varprojlim A_i$ seu produto é $(a_i \cdot b_i)_{i \in I} \in \varprojlim A_i$.

Caso sejam espaços topológicos, definimos em $\varprojlim A_i$ a topologia inicial, isto é, a topologia gerada por conjuntos da forma $f_k^{-1}(U_k)$, onde $U_k \subset A_k$ são abertos e $f_k : \varprojlim A_i \rightarrow A_k$ é a k -ésima projeção.

Exercício 5.7. Mostre que $\varprojlim A_i$ é fechado em $\prod_{i \in I} A_i$. Conclua portanto que, se cada A_i for compacto, então $\varprojlim A_i$ também o é.

5.1.3 O espaço de fins

Seja X um espaço topológico segundo contável, Hausdorff, localmente compacto, conexo e localmente conexo. Então X admite uma exaustão por uma família enumerável B_n de subconjuntos compactos. Por exemplo, se X for um espaço métrico próprio, então um exemplo de tal exaustão é $X = \bigcup_{n \in \mathbb{N}} \overline{B(x, n)}$, onde $x \in X$.

Considere o poset $\mathcal{K} = \mathcal{K}_X$ dos subconjuntos compactos de X com ordem parcial dada pela inclusão: $K_1 \leq K_2$ se $K_1 \subset K_2$. Note que se $K_1, K_2 \in \mathcal{K}$, então $K_1 \cup K_2 \in \mathcal{K}$, o que significa que o poset \mathcal{K} é dirigido.

Dado $K \in \mathcal{K}$, o conjunto $\pi_0(K^c)$ é definido como o conjunto de componentes conexas por caminhos de K^c .

Para $K_1 \leq K_2$ defina a aplicação natural

$$f_{K_1, K_2} : \pi_0(K_2^c) \rightarrow \pi_0(K_1^c),$$

onde a componente conexa por caminhos $c_2 \in \pi_0(K_2^c)$ é levada na componente conexa por caminhos $c_1 \in \pi_0(K_1^c)$ que a contém.

Exercício 5.8. Mostre que a aplicação f_{K_1, K_2} definida acima é sobrejetiva e que, para todos $K_1 \leq K_2 \leq K_3$ e $K \in \mathcal{K}$, valem:

$$\begin{aligned} f_{K_1, K_2} \circ f_{K_2, K_3} &= f_{K_1, K_3}, \\ f_{K, K} &= id. \end{aligned}$$

Pelo Exercício 5.8, segue que a coleção $\{\pi_0(K^c) \mid K \in \mathcal{K}\}$, junto das aplicações $\{f_{K_1, K_2} \mid K_1 \leq K_2\}$ é um sistema inverso, e podemos portanto definir o seu limite inverso:

$$\varprojlim \pi_0(K^c) = \left\{ (c_i) \mid c_i \in \pi_0(K_i^c), c_i = f_{K_i, K_j}(c_j) \text{ para } K_i \leq K_j \right\}.$$

Definição 5.9. O *espaço de fins de X* é o espaço topológico $e(X) = \varprojlim \pi_0(K^c)$, munido da topologia inicial definida pelas projeções, onde consideremos cada $\pi_0(K^c)$ com a topologia discreta.

Exercício 5.10. Mostre que $e(X)$ é um espaço de Hausdorff e totalmente desconexo.

Exercício 5.11. Se $K \subset X$ é compacto, mostre que $\pi_0^u(K^c)$ é finito. (Lembre que definimos $\pi_0^u(K^c)$ como o conjunto de componentes conexas por caminhos que não são relativamente compactas de K^c .)

Note que poderíamos considerar também os espaços $\varprojlim \pi_0^u(\mathcal{K}^c)$ ou $\varprojlim \pi_0^u(\mathcal{B}^c)$, onde $\mathcal{B} = \{B_n \mid n \in \mathbb{N}\}$ é uma exaustão de X . Os espaços acima também são vistos como espaços topológicos com a topologia inicial definida pelas projeções naturais.

As inclusões $\mathcal{B} \hookrightarrow \mathcal{K}$ e $\pi_0^u(\mathcal{K}^c) \hookrightarrow \pi_0(\mathcal{K}^c)$ induzem aplicações nos limites inversos:

$$\varphi : \varprojlim \pi_0^u(\mathcal{B}^c) \rightarrow \varprojlim \pi_0^u(\mathcal{K}^c) \text{ e}$$

$$\psi : \varprojlim \pi_0^u(\mathcal{K}^c) \rightarrow \varprojlim \pi_0(\mathcal{K}^c) = e(X).$$

Como cada $\pi_0^u(K^c)$ é finito, obtemos pelo Teorema de Tychonoff que $\varprojlim \pi_0^u(\mathcal{K}^c)$ é compacto. Deixamos como exercício a verificação de que os mapas φ e ψ são homeomorfismos. Isto permite dar outra caracterização do espaço de fins $e(X)$. Sejam $\mathcal{B} = \{B_n \mid n \in \mathbb{N}\}$ uma exaustão de X e tome $e \in e(X)$. Sabemos que e corresponde a uma cadeia $C_1 \supset C_2 \supset \dots$ de componentes de B_i^c , para $i \in \mathbb{N}$. Podemos portanto pensar cada fim $e \in e(X)$ como um mapa $e : \mathcal{K} \rightarrow 2^X$, que envia cada compacto $K \subset X$ em uma componente C de K^c , tal que $K_1 \subset K_2$ implica que $e(K_2) \subset e(K_1)$.

A topologia em $e(X)$ se estende a uma topologia em $\bar{X} := X \cup e(X)$. Uma base de vizinhanças de $e \in e(X)$ é a coleção de subespaços $B_{K,e} \subset \bar{X}$, onde $K \in \mathcal{K}$, $B_{K,e} \cap X = e(K)$ e $B_{K,e} \cap e(X)$ consiste de todos os mapas $e' : \mathcal{K} \rightarrow 2^X$, tais que $e'(K) = e(K)$. Os conjuntos $e(K)$ serão chamados de vizinhanças de e em X . Em X , a topologia coincide com a original. É imediato verificar que X é aberto e denso em \bar{X} .

Diremos que um compacto $K \subset X$ *separa* dois fins e e e' de X se e e e' estão em componentes distintas de $\bar{X} \setminus K$ ou, equivalentemente, se existem componentes ilimitadas distintas C, C' de K^c tais que (C, e) e (C', e') são, respectivamente, vizinhanças de e e e' em $e(X)$.

Exercício 5.12. Seja $\eta \in e(X)$ representado por $(U_i)_{i \in \mathbb{N}}$, tal que $U_{i+1} \subset U_i$, para todo i , com U_i conexo. Defina

$$N_i(\eta) := \{\eta' \in e(X) \mid \eta' \text{ é representado por } (U'_i)_{i \in \mathbb{N}} \text{ com } U'_i \subset U_i\}.$$

Mostre que

$$\mathcal{B} = \{N_i(\eta) \mid \eta \in e(X) \text{ é representado por } (U'_i)_{i \in \mathbb{N}}\}.$$

é base para uma topologia em $e(X)$.

Exercício 5.13. Mostre que toda ação topológica $G \curvearrowright X$ se estende a uma ação topológica de G em \bar{X} .

Uma terceira abordagem para definir fins de um espaço topológico é feita a partir de raios e pode ser vista com mais detalhes em [BH13a, Capítulo I.8].

Seja X um espaço topológico. Um *raio* em X é uma aplicação $r : [0, \infty) \rightarrow X$. Sejam $r_1, r_2 : [0, \infty) \rightarrow X$ dois raios próprios. Dizemos que r_1 e r_2 são convergentes para o mesmo fim em X se, para cada compacto K de X , existe $N \in \mathbb{N}$ tal que $r_1([N, \infty))$ e $r_2([N, \infty))$ estão contidos na mesma componente conexa por caminhos de K^c .

Isto define uma relação de equivalência sobre os raios contínuos e próprios em X . A classe de equivalência de r é denotada por $e(r)$ e o conjunto de todas as classes de equivalência é o espaço $e(X)$.

Com esta abordagem, a convergência nos fins é definida da seguinte forma: dizemos que $e(r_n) \rightarrow e(r)$ se, e somente se, para cada compacto K de X existe uma sequência N_n de números reais tal que $r_n([N_n, \infty))$ e $r([N_n, \infty))$ estão contidos na mesma componente conexa por caminhos de $X \setminus K$ para n suficientemente grande. A topologia em $e(X)$ é descrita a partir dos seus fechados. Um subconjunto $B \subset e(X)$ é fechado se satisfizer a seguinte condição: caso $e(r_n) \in B$ para todo n , então $e(r_n) \rightarrow e(r)$ implica $e(r) \in B$.

Proposição 5.14. Se X e Y são espaços métricos próprios, toda quasi-isometria $f : X \rightarrow Y$ induz um homeomorfismo $f_e : e(X) \rightarrow e(Y)$ entre seus espaços de fins. A aplicação que a cada $f \in \text{QI}(X)$ associa o mapa $f_e \in \text{Homeo}(e(X))$ é um homomorfismo de grupos.

Exercício 5.15. Dar uma prova da Proposição 5.14.

Vejam os que as noções de fins são equivalentes: Para cada C_i , em uma cadeia (C_i) representando um fim $e \in e(X)$, escolha um ponto x_i . Defina assim uma sequência (x_i) , que diremos que representa o fim e . Dada uma sequência (x_i) representando e , podemos conectar cada x_i a x_{i+1} por um caminho contínuo contido em C_i . A concatenação de todos esses caminhos é um raio em X , com $r(i) = x_i$.

Por outro lado, dado um raio r em X , toda sequência $t_i \in \mathbb{R}_+$ divergindo monotonicamente para infinito define uma sequência $x_i = r(t_i)$ que representa um fim e de X . Esse fim é independente da escolha da sequência t_i .

Exercício 5.16. Mostre que:

- (1) O espaço $\bar{X} = X \cup e(X)$ é Hausdorff;
- (2) Se X é segundo contável, então \bar{X} também o é;
- (3) Uma sequência (x_i) em X representa o fim e se, e somente se, ela converge para e na topologia de \bar{X} ;
- (4) Se X é um espaço métrico e $(x_i), (x'_i)$ são sequências com distância limitada, isto é:

$$\sup_i \{\text{dist}(x_i, x'_i)\} < 1,$$

e (x_i) representa $e \in e(X)$ então (x'_i) representa o mesmo fim.

Proposição 5.17. O espaço \bar{X} é compacto.

Demonstração. Seja $\mathcal{U} = \{U_\lambda\}_{\lambda \in L}$ uma cobertura aberta de \bar{X} . Como $e(X)$ é compacto, deve existir um subconjunto finito $\mathcal{U}_1 = \{(K_{\lambda_i}, e_i) \mid i = 1, \dots, n\} \subset \mathcal{U}$, que cobre $e(X)$, onde $K_{\lambda_i} \in \mathcal{K}$ e $e_i \in e(X)$.

Considere os abertos $C_i = e_i(K_{\lambda_i})$ (estamos olhando para os fins de X como mapas $\mathcal{K} \rightarrow 2^X$). Afirmamos que o fechado $A = X \setminus \bigcup_{i=1}^n C_i$ é compacto em X . Caso contrário, deve existir uma

sequência $x_k \in A$ a qual não esteja contida em nenhum dos compactos K_{λ_i} . Passando a uma subsequência se necessário, obtemos uma sequência decrescente de conjuntos complementares $C_{k_i} \subset X \setminus K_{k_i}$, tais que $x_{k_i} \in C_{k_i}$. Essa sequência define um fim $e \in e(X)$ que não é coberto por nenhum dos conjuntos (K_{λ_i}, e_i) , $i = 1, \dots, n$, o que gera uma contradição.

Logo, $A \subset X$ é compacto. Assim, existe outro subconjunto finito $U_2 \subset U$, o qual cobre A . Portanto, $U_1 \cup U_2$ é uma subcobertura finita de \bar{X} . \square

5.2 Fins de grupos

Definição 5.18 (*Fins de um grupo*). Sejam G um grupo finitamente gerado e $\text{Cay}(G, S)$ seu grafo de Cayley com respeito a um conjunto finito de geradores S . Definimos o espaço de fins de G como $e(G) = e(\text{Cay}(G, S))$.

Pelo teorema de Milnor–Schwarz e pela Proposição 5.14, o espaço de fins de um grupo finitamente gerado não depende de escolha do conjunto de geradores S .

O seguinte teorema é essencialmente devido a Hopf. Nossa exposição é uma adaptação do Teorema 8.32 no livro [BH13a].

Teorema 5.19. *O espaço de fins de um grupo G tem as seguintes propriedades:*

1. *O espaço $e(G)$ é compacto, Hausdorff e totalmente desconexo.*
2. *A cardinalidade de $e(G)$ vale 0, 1, 2, ou então $e(G)$ tem a cardinalidade do contínuo. Além disso, se $\text{card}(e(G)) = 2^\omega$ então $e(G)$ é um conjunto perfeito (i.e. fechado e não possui pontos isolados).*
3. *Vale $\text{card}(e(G)) = 2$ se e somente se G é virtualmente cíclico infinito, e $\text{card}(e(G)) = 0$ se e somente se G é finito.*
4. *Se G é de uma das formas $A *_F B$ ou $A *_F$ com F finito, então $\text{card}(e(G)) > 1$.*

Demonstração. Fixamos um conjunto finito S de geradores de G , e escrevemos $X = \text{Cay}(G, S)$. Seguindo a definição, temos $e(G) = e(X)$. Pelo Exercício 5.10, $e(X)$ é Hausdorff e totalmente desconexo. Dada uma sequência de fins e_n , escolhemos raios geodésicos $r_n : [0, \infty) \rightarrow X$ com $r_n(0) = 1$ e $e(r_n) = e_n$. O teorema de Arzela–Ascoli mostra que uma subsequência destes raios converge em subconjuntos compactos para algum raio geodésico r , e então a sequência correspondente de fins converge para $e(r)$. Assim, $e(X)$ é sequencialmente compacto e, uma vez que satisfaz o primeiro axioma de enumerabilidade (veja o Exercício 5.12), é compacto.

Agora vamos provar o item 2. Sabemos que a ação de G por translação à esquerda se estende a uma ação por isometrias em X . Obtemos assim um homomorfismo $G \rightarrow \text{Homeo}(e(X))$. Seja H o núcleo desse homomorfismo.

Se $e(X)$ é finito, então $\text{Homeo}(e(X))$ é finito e portanto H tem índice finito em G . Suponhamos que $\text{card}(e(G)) \geq 3$ e tomemos $e_0, e_1, e_2 \in e(G)$ três fins distintos. Vamos fixar dois raios geodésicos r_1, r_2 partindo da identidade, com $e(r_i) = e_i$. Como H tem índice finito (em particular é quasi-isométrico a G), podemos construir um raio próprio $r_0 : [0, \infty) \rightarrow X$ com $e(r_0) = e_0$, $d(r_0(n), 1) \leq n$, e $r_0(n) \in H$ para cada $n \in \mathbb{N}$. Seja $h_n = r_0(n)$. Fixaremos $\rho > 0$ tal que $r_0([\rho, \infty)), r_1([\rho, \infty))$ e $r_2([\rho, \infty))$ estão em componentes conexas distintas do complementar da bola de centro 1 e raio ρ . Se $t, t' > 2\rho$, então $d(r_1(t), r_2(t')) > 2\rho$, pois cada caminho ligando $r_1(t)$ a $r_2(t')$ tem que passar por $B(1, \rho)$. Como H age trivialmente em $e(X)$, temos que $e(h_n r_i) = e(r_i)$ para $i = 1, 2$. Seja $n > 3\rho$. Daí, $h_n r_i$ começa numa componente conexa e vai para outra, donde concluímos que deve passar por $B(1, \rho)$. Assim, existem t, t' tais que $h_n r_1(t), h_n r_2(t') \in B(1, \rho)$, com $t, t' > 2\rho$, donde

$$2\rho < d(r_1(t), r_2(t')) = d(h_n r_1(t), h_n r_2(t')) < 2\rho,$$

uma contradição. Isso mostra que $\text{card}(e(G)) < 3$.

Um espaço compacto de Hausdorff no qual cada ponto é um ponto de acumulação é não-enumerável. Assim basta provar que $e(X)$ é perfeito, isto é, que caso $e(X)$ seja infinito, temos que todo $e \in e(X)$ é um ponto de acumulação.

Dados $e_1, e_2 \in e(X)$, seja $D = D(e_1, e_2)$ o maior inteiro tal que $r_1([D, \infty))$ e $r_2([D, \infty))$ estejam na mesma componente conexa por caminhos de $X \setminus B(1, D)$ para alguns (portanto todos) raios geodésicos r_i com $e(r_i) = e_i$ e $r_i(0) = 1$, $i = 1, 2$. Observe que $e_n \rightarrow e$ se, e somente se, $D(e_n, e) \rightarrow \infty$ quando $n \rightarrow \infty$.

Fixe e_0 em $e(X)$ e um raio geodésico r_0 com $r_0(0) = 1$ e $e(r_0) = e_0$. Seja $g_n = r_0(n)$. Construiremos uma sequência de fins e^m tal que $e^m \neq e_0$ e $D(e^m, e_0) \rightarrow \infty$ quando $m \rightarrow \infty$. Tome e_1, e_2 fins distintos e diferentes de e_0 , e seja r_i um raio geodésico com $r_i(0) = 1$ e $e(r_i) = e_i$, para $i = 1, 2$. Seja $M = \max\{D(e_i, e_j) \mid i, j = 0, 1, 2\}$. Se fixarmos $\rho > M$, argumentando como acima, vemos que, para n suficientemente grande, no máximo um dos raios $g_n r_i$ pode passar por $B(1, \rho)$. Para cada um dos outros dois raios $g_n r_j$ aplicamos o teorema de Arzela–Ascoli para construir um raio geodésico r'_j com $r'_j(0) = 1$ e $e'_j = e(r'_j) = e(g_n r_j)$. Como r_0 e r'_j possuem segmentos terminais na mesma componente conexa por caminhos de $X \setminus B(1, \rho)$, temos $D(e_0, e'_j) > \rho$. Os fins e'_j são distintos, então pelo menos um deles não é igual a e_0 : renomeie este fim por e^1 .

Agora repetimos o argumento acima com e_1 substituído por e^1 e chamamos o novo raio construído com o mesmo argumento de e^2 . Substituímos e^1 por e^2 e repetimos novamente. A cada iteração deste processo, o inteiro M é incrementado. Assim obtemos a sequência desejada de fins e^m , com $e^m \neq e_0$ e $D(e^m, e_0) \rightarrow \infty$ quando $m \rightarrow \infty$. Isso conclui a prova do item 2.

No item 3, o caso $\text{card}(e(G)) = 0$ é trivial. Também é fácil ver que $G = \mathbb{Z}$ tem 2 fins, e então cada grupo virtualmente isomorfo a \mathbb{Z} tem 2 fins. Reciprocamente, seja $\text{card}(e(G)) = 2$. Escolhamos uma bola $B = B(1, \rho)$ em X que separa os dois fins. Seja $g \in G \setminus B$ um elemento que age trivialmente em $e(X)$ (lembramos que o núcleo da ação de G em $e(X)$ tem índice finito em G portanto tais elementos existem). Seja r um raio geodésico que começa em g e não passa por B . Para cada $n > 0$, $g^n r$ é um raio geodésico que não passa por B (um exercício), então $g^n \neq 1$. Assim o elemento g tem ordem infinita em G . As sequências g^n e g^{-n} convergem a diferentes fins de X e qualquer ponto de X está a uma distância limitada de $\langle g \rangle$.

Para provar o item 4, considere a ação de G na árvore de Bass–Serre [Ser03, Seção I.4] e conclua de modo semelhante ao caso do grupo livre não abeliano. \square

Exercício 5.20.

1. Dê exemplos de grupos com 0, 1, 2 e um número infinito de fins.
2. Mostre que $\text{card}(e(G)) = 2$ se e somente se G é da forma $A *_F B$ com $|A : F| = |B : F| = 2$ e F finito ou da forma $F *_F F$ com F finito.

A recíproca do item 4 do Teorema 5.19 também é verdadeira. Este é um resultado importante que foi provado por Stallings em 1968 para os grupos sem torção e posteriormente estendido por Bergman para o caso geral:

Teorema 5.21 (Stallings [Sta68]). *Se $\text{card}(e(G)) > 1$, então G se divide não trivialmente sobre um subgrupo finito.*

Atualmente, existem várias provas diferentes deste teorema, mas todas elas são bastante difíceis. Os fins de grupos lidam com o problema-chave da teoria geométrica de grupos: relacionar as propriedades geométricas de um grupo e sua estrutura algébrica. Quase toda vez que se consegue recuperar a estrutura algébrica de um grupo a partir de informações geométricas sobre ele, algum milagre tem que acontecer. Isso pode explicar por que não há provas fáceis dos resultados como o Teorema de Stallings. Nós nos referimos a [DK18, Capítulo 21] para os detalhes de uma das provas mais recentes.

Capítulo 6

Ultralimites e cones assintóticos

Ultrafiltros e ultralimites apareceram na teoria geométrica dos grupos por conta de sua relação com os grupos amenáveis. Estes elementos de análise não padronizada forneceram um conjunto de ferramentas poderosas que permitiram simplificar e fortalecer vários resultados que remontam a Banach, von Neumann, e outros. Mais tarde, ultrafiltros foram usados para definir cones assintóticos. Estudaremos grupos amenáveis e as aplicações de cones assintóticos nos capítulos seguintes, fornecendo agora os pré-requisitos necessários.

6.1 Filtros e ultrafiltros

Seja S um conjunto qualquer. Um *filtro* em S é uma família \mathcal{F} de subconjuntos de S com as seguintes propriedades:

- (i) $S \in \mathcal{F}$ e $\emptyset \notin \mathcal{F}$;
- (ii) $A, B \in \mathcal{F} \Rightarrow A \cap B \in \mathcal{F}$;
- (iii) $A \in \mathcal{F}, A \subset B \Rightarrow B \in \mathcal{F}$.

Exemplo 6.1. Se S é um conjunto infinito, a coleção formada pelos complementares de conjuntos finitos em S é um filtro em S , chamado

filtro de Fréchet. Ele é usado em topologia, para definir a topologia cofinita.

Exemplo 6.2. Em um espaço topológico T , o conjunto de todas as vizinhanças de um ponto $x \in T$ é um filtro, conhecido como *filtro das vizinhanças* de x .

De modo geral, a ideia de filtro é que ele carrega consigo a informação de quais são todos os subconjuntos “grandes” o suficiente de S , onde a noção exata do que significa um conjunto grande é determinada pelo contexto. No Exemplo 6.1, ser “grande” significa ter complementar finito, enquanto no Exemplo 6.2 essa condição é caracterizada por ser um conjunto que contém x em seu interior.

Definição 6.3. Dado um filtro \mathcal{F} em S , dizemos que \mathcal{F} é um *ultrafiltro* se, para todo $A \subset S$, tem-se $A \in \mathcal{F}$ ou $S \setminus A \in \mathcal{F}$ (mas não ambos). Equivalentemente, podemos dizer que \mathcal{F} é um ultrafiltro em S se \mathcal{F} é maximal no conjunto ordenado dos filtros em S .

Exercício 6.4. Verifique que as noções de ultrafiltros na Definição 6.3 são equivalentes.

Um exemplo de ultrafiltro é a família de todos os subconjuntos contendo um elemento fixado $s \in S$. Esse tipo de ultrafiltro é dito *ultrafiltro principal*. Caso S seja finito, todo ultrafiltro de S é principal. Já no caso onde S é infinito, o Lema de Zorn mostra que existem ultrafiltros contendo o filtro de Fréchet, os quais não são principais. Na verdade, todo ultrafiltro não principal contém o filtro de Fréchet, o qual é a interseção de todos os ultrafiltros que o contém, conforme veremos na proposição a seguir. Note que o filtro de Fréchet não é um ultrafiltro, pois podemos exibir em S um subconjunto A infinito com $S \setminus A$ também infinito.

Proposição 6.5. Um ultrafiltro em um conjunto infinito S é não principal se, e somente se, ele contém o filtro de Fréchet.

Demonstração. Seja \mathcal{F} um ultrafiltro não principal em S e considere $x \in S$ qualquer. Como \mathcal{F} é um ultrafiltro, exatamente um dos

conjuntos $\{x\}$ ou $S \setminus \{x\}$ pertence a \mathcal{F} . Sendo \mathcal{F} não principal, a primeira opção não pode ocorrer. Assim, $S \setminus \{x\} \in \mathcal{F}$ para todo $x \in S$. Mas com isso, dado um subconjunto finito $F \subset S$ qualquer, obtemos que $S \setminus F = \bigcap_{x \in F} S \setminus \{x\}$ está em \mathcal{F} , pois \mathcal{F} é fechado para interseções finitas. Logo, \mathcal{F} contém o filtro de Fréchet.

A recíproca pode ser provada por contrapositiva. Um ultrafiltro principal \mathcal{F}_s em S definido por um ponto s contém $\{s\}$. Assim, ele não contém $S \setminus \{s\}$, o qual é um elemento do filtro de Fréchet. \square

O resultado principal sobre a existência dos ultrafiltros é fornecido pelo seguinte lema.

Lema 6.6 (Lema do ultrafiltro). Todo filtro em um conjunto S é um subconjunto de algum ultrafiltro em S .

Demonstração. Seja \mathcal{F} é um filtro em S . Pelo Lema de Zorn, existe um filtro maximal \mathcal{U} em S contendo \mathcal{F} . Pela maximalidade, \mathcal{U} é um ultrafiltro. \square

Este resultado é particularmente interessante quando começamos com o filtro de Fréchet \mathcal{F} em um conjunto infinito S . Neste caso, pela Proposição 6.5, o lema do ultrafiltro implica a existência de um ultrafiltro não principal em S contendo \mathcal{F} .

Vimos que filtros capturam informações sobre conjuntos serem suficientemente grandes, segundo algum contexto. Já um ultrafiltro divide todos os subconjuntos entre “grandes” e “pequenos”, onde objetos de tamanho intermediário não são reconhecidos. Embora se saiba que o número de ultrafiltros em um conjunto infinito S seja da ordem de $2^{|S|}$, não existem construções explícitas gerais para nenhum ultrafiltro não principal nesse caso.

Observamos que utilizamos uma forma do Axioma da Escolha (o Lema de Zorn) para estabelecer a existência dos ultrafiltros não principais. Percebe-se, por sua vez, que a existência dos ultrafiltros não principais implica o teorema da extensão de Hahn–Banach, que lembramos agora:

Teorema 6.7 (Hahn–Banach). *Sejam V um espaço vetorial real, U um subespaço de V e $\varphi : U \rightarrow \mathbb{R}$ uma função linear. Seja $p : V \rightarrow \mathbb{R}$ um mapa com as seguintes propriedades:*

$$p(\lambda x) = \lambda p(x) \text{ e } p(x + y) \leq p(x) + p(y), \quad \forall x, y \in V, \lambda \in [0, +\infty),$$

tal que $\varphi(x) \leq p(x)$ para todo $x \in U$. Então existe uma extensão linear de φ , $\bar{\varphi} : V \rightarrow \mathbb{R}$ tal que $\bar{\varphi}(x) \leq p(x)$ para todo $x \in V$.

Assim, o teorema de Hahn–Banach pode ser visto como o Axioma da Escolha do analista, numa versão mais fraca. Com estas observações em mente, não é surpreendente que alguns resultados obtidos por meio de ultrafiltros também possam ser comprovados usando o teorema de Hahn–Banach.

Algumas propriedades de ultrafiltros são dadas a seguir, e o leitor pode se referir a [Gol22] e a [DK18] para mais detalhes, exemplos e propriedades a respeito de filtros e ultrafiltros.

Proposição 6.8. *Seja S um conjunto e \mathcal{F} um ultrafiltro em S . Então:*

- (1) *Se $S = A_1 \cup \dots \cup A_n$, então $A_i \in \mathcal{F}$, para algum $i \in \{1, \dots, n\}$;*
- (2) *Se $T \in \mathcal{F}$, e $T = A_1 \cup \dots \cup A_n$, então $A_i \in \mathcal{F}$ para algum i ;*
- (3) *Se G é uma família de subconjuntos não vazios de S , tais que a interseção de qualquer número finito de membros de G é não vazia, então G está contida em algum filtro em S .*

Exercício 6.9. *Prove a Proposição 6.8.*

No que segue, dados dois conjuntos quaisquer A e S , denote por A^S o conjunto de todas as funções de S para A .

Definição 6.10. *Seja \mathcal{F} um filtro em S , e A algum conjunto. A potência reduzida de A módulo \mathcal{F} , denotada por A^S/\mathcal{F} é o conjunto das classes de equivalência em A^S , onde dois elementos $f, g \in A^S$ são definidos como equivalentes se $\{s \in S \mid f(s) = g(s)\} \in \mathcal{F}$.*

Em outras palavras, duas funções de S para A são equivalentes se elas coincidem em um elemento de \mathcal{F} , isto é, em algum conjunto “grande”. Neste caso, diremos que tais funções coincidem em quase todo ponto (q.t.p.). Se \mathcal{F} for um ultrafiltro, uma potência reduzida módulo \mathcal{F} é chamada de *ultrapotência*.

6.2 Ultralimites

Vamos verificar como a existência de ultrafiltros não principais implica o teorema de extensão de Hahn–Banach (cf. Teorema 6.7) em um caso especial. Sejam V o espaço vetorial real de seqüências limitadas de números reais $\mathbf{x} = (x_n)$, $U \subset V$ o subespaço de seqüências convergentes de números reais, p a função a norma do sup:

$$p(\mathbf{x}) := \|\mathbf{x}\|_\infty = \sup_{n \in \mathbb{N}} |x_n|,$$

e $\varphi : U \rightarrow \mathbb{R}$ a função limite, ou seja,

$$\varphi(\mathbf{x}) = \lim_{n \rightarrow \infty} x_n.$$

Em vez da norma do sup, podemos também tomar

$$p : \mathbf{x} \rightarrow \limsup x_n.$$

Em outras palavras, usando um ultrafiltro não principal, pode-se estender a noção de limite de seqüências convergentes para seqüências limitadas. A principal ferramenta nesta extensão é o conceito de *ultralimite*.

Fixemos um ultrafiltro não principal \mathcal{F} em \mathbb{N} . Sejam T um espaço topológico e (x_n) uma seqüência em T . Para cada $x \in T$, e cada vizinhança U de x , defina $O(x, U) := \{n \in \mathbb{N} \mid x_n \in U\}$.

Definição 6.11. Diremos que x é o \mathcal{F} -limite de (x_n) se, para cada vizinhança U de x , o subconjunto $O(x, U)$ está em \mathcal{F} . Neste caso, escrevemos $x = \mathcal{F} \lim x_n$.

Com isto, x será o \mathcal{F} -limite de uma seqüência se toda vizinhança de x contém quase todos os membros daquela seqüência.

Exercício 6.12. Mostre que um ponto $x \in T$ é o limite de (x_n) , no sentido usual se, e somente se, x é o \mathcal{F} -limite de (x_n) , para todo ultrafiltro não principal $\mathcal{F} \subset \mathbb{N}$.

Proposição 6.13. Sejam T um espaço topológico e \mathcal{F} um ultrafiltro não principal em \mathbb{N} .

1. Se T é Hausdorff, então o \mathcal{F} -limite de uma sequência é único.
2. Se T é compacto, então toda sequência é \mathcal{F} -convergente.

Demonstração. 1. Sejam x e y dois pontos distintos, e considere U e V vizinhanças disjuntas desses pontos. Assim, os conjuntos $O(x, U)$ e $O(y, V)$ são disjuntos, e no máximo um deles pode pertencer a \mathcal{F} , pelas propriedades (i) e (ii) de filtros.

2. Suponha que $\{x_n\}$ não é \mathcal{F} -convergente. Então, para cada $y \in T$, existe uma vizinhança U_y tal que $O(y, U_y) \notin \mathcal{F}$. Como \mathcal{F} é um ultrafiltro, o conjunto $O^*(y, U_y) := \{n \in \mathbb{N} \mid x_n \notin U_y\}$ está em \mathcal{F} . Dados finitos pontos y_1, \dots, y_k , temos $O^* = \bigcap O^*(y_i, U_{y_i}) \in \mathcal{F}$ e, portanto, esta interseção é não vazia. Se $i \in O^*$, então x_i está fora de todas as vizinhanças U_{y_i} , e portanto T não pode ser recoberto por uma quantidade finita dessas vizinhanças, o que contradiz a compacidade de T . □

Corolário 6.14. Toda sequência limitada de números reais é \mathcal{F} -convergente, e seu \mathcal{F} -limite é único.

Exercício 6.15. Sejam x_n e y_n duas sequências limitadas de números reais, e c um número real. Mostre que:

- (1) $\mathcal{F} \lim(x_n + y_n) = \mathcal{F} \lim x_n + \mathcal{F} \lim y_n$;
- (2) $\mathcal{F} \lim(cx_n) = c\mathcal{F} \lim x_n$;
- (3) Se $x_n \leq y_n$ para todo n , então $\mathcal{F} \lim x_n \leq \mathcal{F} \lim y_n$.

Exercício 6.16. Um número real x é o \mathcal{F} -limite de uma sequência (x_n) em \mathbb{R} para algum ultrafiltro não principal \mathcal{F} se, e somente se, x é o limite usual de alguma subsequência de (x_n) .

Percebemos assim que um ultrafiltro em \mathbb{N} é uma maneira de escolher, para cada sequência em T , algum ponto de acumulação. Além disso, há uma uniformidade nessa escolha. Dadas sequências (x_n) e (y_n) , seus \mathcal{F} -limites podem ser obtidos através da “mesma” subsequência de ambas, isto é, existe uma sequência (n_i) de índices tal que $\mathcal{F} \lim x_n = \lim x_{n_i}$ e $\mathcal{F} \lim y_n = \lim y_{n_i}$. Isso segue do fato de que dois conjuntos em \mathcal{F} tem interseção não-vazia, e essa interseção deverá ser infinita. A uniformidade se estende a qualquer número finito de sequências.

Finalmente, podemos provar o teorema de Hahn–Banach para o espaço de sequências convergentes U , o espaço de todas as sequências limitadas V e o funcional $\varphi := \lim : U \rightarrow \mathbb{R}$. Seja

$$\bar{\varphi}((x_n)) = \mathcal{F} \lim x_n.$$

A Proposição 6.13 implica que toda função limitada $f : \mathbb{N} \rightarrow \mathbb{R}$ possui um ultralimite. No caso em que existe o limite ordinário $\lim_{n \rightarrow \infty} x_n$, ele é igual ao ultralimite $\mathcal{F} \lim x_n$. É fácil verificar que a desigualdade

$$\mathcal{F} \lim x_n \leq p((x_n))$$

vale para ambos $p((x_n)) = \sup_{n \in \mathbb{N}} |x_n|$ e $p(x_n) = \limsup x_n$. Isso prova o teorema de Hahn–Banach (no caso especial).

6.3 Cones assintóticos

Uma classe importante de ultralimites é a dos chamados cones assintóticos de espaços métricos, a qual passamos a descrever agora. Considere um par (X, x) , onde (X, d) é um espaço métrico e $x \in X$ é um ponto fixado. Mantemos a escolha de um ultrafiltro \mathcal{F} em \mathbb{N} .

Definição 6.17. Uma sequência (x_n) em X é dita *moderada* se satisfizer $d(x_n, x) \leq An$, para todo n , onde A é alguma constante (que depende da sequência). Vamos denotar por M o conjunto das sequências moderadas em X .

Dadas sequências moderadas $\mathbf{x} = (x_n)$ e $\mathbf{y} = (y_n)$, a *distância* entre elas é definida por $d_M(\mathbf{x}, \mathbf{y}) = \mathcal{F} \lim \left(\frac{d(x_n, y_n)}{n} \right)$.

Essa distância satisfaz a desigualdade triangular. No entanto, é possível que duas sequências distintas tenham distância zero. Desse modo, diremos que duas sequências moderadas são equivalentes se a distância entre elas é zero. Obtemos assim uma relação de equivalência \sim em M , o que permite definir a distância d_K entre duas classes de equivalência de elementos de M/\sim como a distância d_M entre quaisquer de seus representantes. O espaço métrico $K = (M/\sim, d_K)$ obtido desse modo é chamado de *cone assintótico* definido por (X, x) e \mathcal{F} . Note que duas sequências que originam o mesmo elemento na ultrapotência $X^{\mathbb{N}}/\mathcal{F}$, isto é, que coincidem em algum conjunto de \mathcal{F} , são equivalentes. Isso significa que podemos trocar os elementos de qualquer sequência em um conjunto fora de \mathcal{F} sem alterar o elemento correspondente em K . Mas duas sequências podem ser equivalentes mesmo não sendo idênticas em um conjunto de \mathcal{F} . Podemos dizer que duas sequências são iguais no cone assintótico K se elas forem “infinitesimalmente próximas”.

Seja G um grupo finitamente gerado, e fixe um conjunto finito S de geradores de G . Seja ℓ_S a função de comprimento com respeito a S , e considere o espaço métrico G munido da distância $d_S(x, y) = \ell_S(x^{-1}y)$. Tomemos a identidade e de G como ponto base, e definamos K como o cone assintótico definido por (G, e) e \mathcal{F} . Também denotamos por e o elemento de K definido pela sequência constante $\{e\}$.

Exemplo 6.18. 1. Se $G = \mathbb{Z}^n$, o grupo livre abeliano em n geradores, com a métrica das palavras (a qual coincide com a métrica induzida pela métrica da soma em \mathbb{R}^n), então o cone assintótico definido por $(G, 0)$ e por qualquer ultrafiltro não principal \mathcal{F} em \mathbb{N} é o grupo topológico \mathbb{R}^n , também com a métrica da soma $d(x, y) = |x_1 - y_1| + \dots + |x_n - y_n|$.

2. Se $G = F_n$, o grupo livre de posto n , seu cone assintótico é uma \mathbb{R} -árvore completa e homogênea, que novamente independe do ultrafiltro fixado (veja [Gro93] e [BH13a] para mais detalhes).

Exercício 6.19. Considere dois cones assintóticos definidos a partir do mesmo grupo e do mesmo ultrafiltro, mas com respeito a dois

conjuntos de geradores diferentes. Mostre que esses cones são quasi-isométricos.

Note que o conjunto M forma um grupo com a operação $\mathbf{x} \cdot \mathbf{y} := (x_n y_n)$, se $\mathbf{x} = (x_n)$, $\mathbf{y} = (y_n) \in M$. O conjunto M_0 de seqüências equivalentes a e é um subgrupo de M , e existe uma correspondência 1 – 1 entre K e as classes laterais de M_0 em M . No entanto, M_0 não é um subgrupo normal, e portanto K não herda uma estrutura natural de grupo. Ainda assim, K possui boas propriedades como espaço métrico.

Teorema 6.20. *O cone assintótico K de um grupo finitamente gerado G é um espaço métrico homogêneo, conexo por caminhos, localmente conexo e completo.*

Demonstração. Assim como em qualquer grupo, a multiplicação à esquerda em M (por algum elemento $\mathbf{x} = (x_n) \in M$) é uma permutação de M . Além disso, com respeito à métrica d_M , esse mapa é uma isometria de M , que por sua vez induz uma isometria em K . Em particular, se dois elementos $a, b \in K$ são representados pelas seqüências (x_n) e (y_n) , respectivamente, então o mapa que manda cada elemento de K , representado por alguma seqüência (z_n) , no elemento representado por $(y_n x_n^{-1} z_n)$ é uma isometria de K que leva a em b . Com isso, K é homogêneo.

Provaremos que K é conexo por caminhos mostrando que cada elemento $a \in K$ pode ser conectado a e por um caminho contínuo. Seja $\{x_n\} \in M$ uma seqüência que representa a . Para cada $n \in \mathbb{N}$ fixe uma escrita de $x_n \in G$ como uma palavra de tamanho $\ell_S(x_n)$ em termos dos geradores S de G . Seja $0 \leq \alpha \leq 1$ e, para cada palavra w de comprimento k em S , denote por $w(\alpha)$ a palavra consistindo das primeiras $\lceil k\alpha \rceil$ letras em w . Defina $f : [0, 1] \rightarrow K$ pondo $f(\alpha)$ como o elemento representado pela seqüência $\{x_n(\alpha)\}$. É claro que $f(0) = e$ e $f(1) = a$. Além disso, caso $0 \leq \alpha \leq \beta \leq 1$, obtemos

$$(\beta - \alpha)\ell_S(x_n) - 1 \leq d_S(w(\alpha), w(\beta)) \leq (\beta - \alpha)\ell_S(x_n) + 1.$$

Como $\ell_S(x_n) \leq An$, concluímos que $d_K(f(\alpha), f(\beta)) \leq A(\beta - \alpha)$, e portanto f é contínua. Concluímos que K é conexo por caminhos,

portanto conexo. Além disso, $d_S(e, f(\beta)) \leq \beta d_S(e, a)$, e assim o caminho ligando e a a está contido na bola de raio $\ell_S(a)$ centrada em e . Isso mostra que toda bola centrada em e é conexa por caminhos. Pela homogeneidade de K , isso vale para qualquer bola, e portanto K é localmente conexo.

Resta verificar que K é completo. Para tal, usaremos a seguinte observação: suponha que a e b são dois pontos de K e que $d_K(a, b) < A$, para algum número A . Logo, podemos encontrar seqüências (x_n) e (y_n) representando a e b , tais que a desigualdade $d_S(x_n, y_n) < An$ vale em algum conjunto S do ultrafiltro \mathcal{F} em \mathbb{N} . Para $n \notin S$, podemos trocar y_n por x_n . Essa troca não altera o ponto b , mas garante que a desigualdade acima vale para todo n . Seja agora (a_i) uma seqüência de Cauchy em K e, para cada i , tome uma seqüência representante x_{in} de a_i . Podemos assumir que $d_K(a_1, a_i) < 1$ para todo i . Trocando como acima as seqüências x_{in} , para $i > 1$, podemos assumir que para cada n e cada i temos $d_S(x_{1n}, x_{in}) < n$, e portanto $d_S(x_{in}, x_{jn}) < 2n$, para todo par $i, j \in \mathbb{N}$.

Seja k o primeiro índice tal que $k > 1$ e $d_K(a_i, a_j) < \frac{1}{2}$ para todos $i, j \geq k$. Em seguida, troque x_{in} , para $i > k$, de forma a obter $d_S(x_{kn}, x_{in}) < \frac{n}{2}$ para todo $i > k$. Isso não altera as desigualdades anteriores pois, no pior dos casos, teremos trocado x_{in} por x_{kn} , que ainda satisfaz $d_S(x_{1n}, x_{kn}) < n$. Continuando esse processo, vemos que é possível tomar as seqüências x_{in} de modo que para cada n e cada $\varepsilon > 0$, a desigualdade $d_S(x_{in}, x_{jn}) < \varepsilon n$ vale, desde que i e j sejam grandes o suficiente.

Fixe $n \in \mathbb{N}$, e escolha ε tal que $\varepsilon n < 1$. Então x_{in} e x_{jn} estão a uma distância menor que 1, e portanto são iguais em G . Daí, segue que a seqüência x_{in} é eventualmente constante. Denote por x_n o eventual valor de x_{in} . Se m é um índice tal que $d_S(x_{in}, x_{jn}) < \varepsilon n$ para $i, j \geq m$, então em particular $d_S(x_n, x_{jn}) < \varepsilon n$ para todo $j \geq m$ (e para todo n). Seja a o ponto de K representado pela seqüência (x_n) . A última desigualdade implica que $d_K(a, a_j) \leq \varepsilon$. Então a seqüência (a_i) converge para a , como queríamos demonstrar. \square

6.4 Ação de um grupo em seu cone assintótico

Seja G um grupo gerado por um conjunto finito S e tome $x \in G$. Para cada sequência (x_n) tal que $\ell_S(x_n) \leq An$, temos $\ell_S(xx_n) \leq An + \ell_S(x)$, e portanto a sequência (xx_n) é também moderada e o mapa $(x_n) \mapsto (xx_n)$ é uma isometria de M . Todas as isometrias de M preservam equivalência, e portanto induzem isometrias de K . Isso define uma ação de G sobre K , isto é, um homomorfismo $\Phi : G \rightarrow \text{Isom}(K)$. Dados $x \in G$ e $a \in K$, denotamos por xa o elemento $\Phi(x)(a)$, e por N o núcleo de Φ .

Teorema 6.21. *Sejam G um grupo infinito finitamente gerado, K o cone assintótico de G e $I := \text{Isom}(K)$ o grupo de isometrias de K . Então o homomorfismo $\Phi : G \rightarrow I$ com núcleo $N = \text{Ker}(\Phi)$ definido acima satisfaz uma das seguintes afirmações:*

- (i) *O quociente G/N é infinito;*
- (ii) *O subgrupo N é virtualmente abeliano;*
- (iii) *Para cada vizinhança O da identidade em I , existe um homomorfismo $\varphi_O : N \rightarrow I$, tal que $\text{Im}(\varphi_O) \cap O$ contém elementos não triviais.*

Para estudar a ação de G sobre K via Φ e demonstrar o teorema acima, precisaremos de alguns resultados intermediários. Defina, para $x \in G$, o *deslocamento* de x como a função em termos de $k \in \mathbb{N}$ dada por $D(x, k) = \max\{d(a, xa)\} = \max\{\ell_S(a^{-1}xa)\}$, onde o máximo é tomado sobre os elementos $a \in G$ tais que $\ell_S(a) \leq k$. Se $x \in H \leq G$, e restringimos a definição acima para $a \in H$, escrevemos $D_H(x, k)$ para o máximo correspondente. As seguintes proposições fornecem propriedades da função deslocamento, que serão utilizadas na demonstração do Teorema 6.21.

Proposição 6.22. Mantendo as notações acima, se $x \in N$, então

$$\mathcal{F} \lim_{k \rightarrow \infty} \frac{D(x, k)}{k} = 0.$$

Demonstração. Para cada $k \in \mathbb{N}$, escolha $a_k \in G$ tal que $\ell_S(a_k) \leq k$ e $\ell_S(a_k^{-1}xa_k) = D(x, k)$. A sequência $\alpha := (a_k)$ é moderada. Se $x \in N$, então $x\alpha = \alpha$. Portanto $\mathcal{F} \lim \frac{D(x,k)}{k} = d_K(x\alpha, \alpha) = 0$. \square

Proposição 6.23. A função $D(x, k)$ é limitada se, e somente se, x possui apenas finitos conjugados em G , e nesse caso $x \in N$.

Esse fato segue da definição. Elementos que possuem apenas finitos conjugados serão chamados de FC-elementos. Eles formam um subgrupo normal de G (também chamado FC-centro de G).

Suponha que $|G : H| < \infty$ e $x \in H$. Então x tem apenas finitos conjugados em G se, e somente se, ele tem apenas finitos conjugados em H . Assim, é equivalente dizer que $D(x, k)$ é limitada ou que $D_H(x, k)$ o é.

Proposição 6.24. Para $x, y \in G$ e $k, n \in \mathbb{N}$ temos $D(x, k+n) \leq D(x, k) + 2n$ e $D(y^{-1}xy, k) \leq D(x, k) + 2\ell_S(y)$.

Demonstração. Seja $\ell(a) \leq k+n$. Então podemos escrever $a = bc$ com $\ell_S(b) \leq k$ e $\ell_S(c) \leq n$. Logo, $d(xa, a) = d(xbc, bc) \leq d(xbc, xb) + d(xb, b) + d(b, bc) = d(xb, b) + 2d(b, bc) \leq d(xb, b) + 2n \leq D(x, k) + 2n$, e daí $D(x, k+n) \leq D(x, k) + 2n$. Com isso, se $\ell(a) \leq k$, então $d(y^{-1}xy, a) = d(xya, ya) \leq D(x, k + \ell_S(y))$, e aplicamos a desigualdade anterior. \square

Proposição 6.25. Um grupo G não pode consistir da união de finitas classes de subgrupos de índice infinito.

Demonstração. Suponha que G é dado por uma tal união, e que as classes pertencem a k subgrupos distintos. Usamos indução em k , onde o caso $k = 1$ é direto. Para $k > 1$, seja H um dos subgrupos envolvidos. Como $|G : H| = \infty$, alguma classe Hx não ocorre na união, e como é disjunta das classes de H que aparecem, ela está contida na união das classes dos outros subgrupos. Toda classe Hy pode ser escrita como $Hx \cdot x^{-1}y$, e isso mostra que Hy está também contido em uma união finita de classes dos outros subgrupos. Isso implica que todas as classes de H que aparecem na união estão contidas em uniões finitas de classes de outros subgrupos, e portanto

G é a união de finitas classes dos outros $k - 1$ subgrupos, o que contradiz a hipótese de indução. \square

Prova do Teorema 6.21. Como queremos mostrar que uma das três afirmações é verdadeira, podemos assumir que $|G : N|$ é finito. Caso contrário, já vale (i) e não temos nada a demonstrar. Então N também é finitamente gerado, digamos por $\{y_1, \dots, y_d\}$. Se $D(y_j, k)$ for limitada para todo $j = 1, \dots, d$, então $|N : \bigcap_{j=1}^d C_N(y_j)|$ é finito.

Como essa interseção coincide com o centro de N , concluímos que (ii) é verdadeira nesse caso.

Vamos assumir, portanto, que N contém elementos não-FC, isto é, elementos que não possuem apenas finitos conjugados. Como os FC-elementos formam um subgrupo próprio de N , podemos também assumir que nenhum dos geradores é um FC-elemento.

Fixe números $k \in \mathbb{Z}$ e $\varepsilon > 0$. Para cada $j = 1, \dots, d$, os conjuntos $\{y \in N \mid D(y^{-1}y_j y, k) \leq \varepsilon k\}$ e $\{y \in N \mid \ell_S(a^{-1}y^{-1}y_j ya) \leq \varepsilon k, \text{ para todo } a \in G \text{ tal que } \ell_S(a) \leq k\}$ são iguais. Isso implica que o conjugado $y_j^{y^a}$ de y_j é um dos finitos elementos, e portanto o elemento ya está em uma das finitas classes laterais do centralizador $C_G(y_j)$. Em particular, tomando $a = 1$, vemos que o próprio y está em uma dessas finitas classes. Como cada um dos y_1, \dots, y_d possui infinitos conjugados em N , ou seja, seus centralizadores possuem índice infinito, a Proposição 6.25 mostra que N não é a união de finitas classes dos centralizadores dos geradores, e portanto existe algum $z_k \in N$ com $D(z_k^{-1}y_j z_k, k) > \varepsilon k$ para todo $j = 1, \dots, d$.

Escrevemos z_k em termos dos geradores y_j , e escolhemos a primeira subpalavra inicial x_k de z_k para a qual $D(x_k^{-1}y_j x_k, k) > \varepsilon k$, para algum j . Escolhemos também para cada k um tal índice $j = j(k)$, e para cada $i \leq d$ escrevemos $S(i) := k$ tal que $j(k) = i$. Os finitos conjuntos $S(i)$ particionam \mathbb{N} , e portanto um deles, digamos $S(i_0)$, está em \mathcal{F} . Seja l o máximo entre os comprimentos, em termos dos geradores de G , dos elementos y_j . Podemos tomar k grande o suficiente, de modo que $D(y_j, k) \leq \varepsilon k$, pela Proposição 6.22. Logo, $x_k \neq 1$, e podemos escrever $x_k = w_k y$, onde w_k é a subpalavra inicial

de z_k que antecede x_k , e y é algum gerador. Então a Proposição 6.24 mostra que $D(x_k^{-1}y_jx_k, k) \leq D(w_k^{-1}y_jw_k, k) + 2l \leq \varepsilon k + 2l$. Isso vale para cada j , mas para i_0 também temos $D(x_k^{-1}y_{i_0}x_k, k) > \varepsilon k$.

Segue que $\mathcal{F} \lim \frac{D(x_k^{-1}y_{i_0}x_k, k)}{k} = \varepsilon$. Sempre vale que $\ell_S(x) \leq D(x, k)$, para todo k , e portanto a desigualdade anterior mostra que $\ell_S(x_k^{-1}y_jx_k) \leq \varepsilon k + 2l$, para cada j , e assim, se $y \in N$ tem comprimento m nos geradores y_j , obtemos $l(x_k^{-1}yx_k) \leq m\varepsilon k + 2ml$.

Portanto, multiplicação à esquerda pela sequência $x_k^{-1}yx_k$ preserva sequências moderadas, e induz uma isometria em K . Definimos $\varphi(y)$ como essa isometria. Então φ é um homomorfismo $N \rightarrow I$. Aplicando a Proposição 6.22 a esse homomorfismo, obtemos que $\varphi(y_{i_0}) \neq 1$, pois $\mathcal{F} \lim \frac{D(x_k^{-1}y_{i_0}x_k, k)}{k} \neq 0$. Por outro lado, $d_K(\varphi(y_{i_0})(\alpha), \alpha) \leq \varepsilon$ para todo $\alpha \in K$, o que mostra que $\varphi(y_{i_0})$ pode ser tomado em qualquer vizinhança dada da identidade em I , tomando ε pequeno o suficiente, como queríamos demonstrar. \square

Capítulo 7

Espaços hiperbólicos

7.1 Geometria hiperbólica

A geometria hiperbólica surge após uma longa história de tentativas de estabelecer uma resposta à seguinte questão:

“Na geometria euclidiana, o axioma das retas paralelas é independente, ou decorre dos outros axiomas?”

Uma resposta foi dada por N.I. Lobachevsky, J. Bolyai e C.F. Gauss de forma independente no início do século XIX. Eles mostraram que o axioma de paralelas é de fato independente. Foram desenvolvidos modelos de geometrias não-euclidianas, onde o quinto postulado de Euclides é substituído pelo axioma:

“Para cada ponto P que não pertence a uma reta L , existem infinitas retas contendo P e que são paralelas a L .”

O primeiro modelo de espaço satisfazendo esse axioma foi o do plano hiperbólico, construído por E. Beltrami em 1868. Outros modelos importantes que vieram depois foram os de Klein (modelo projetivo), Poincaré (modelo do disco e modelo do semiplano superior) e Lorentz (modelo do hiperboloide). Em [Mil82], há uma bela descrição

da história do desenvolvimento da geometria hiperbólica. Os exemplos de espaços hiperbólicos apresentados a seguir servirão como motivação para definições mais gerais de espaços hiperbólicos de Gromov e Rips.

7.1.1 O modelo do semiplano superior de Poincaré

Veremos nesta seção algumas propriedades básicas da geometria hiperbólica, começando com o modelo do semiplano superior de Poincaré \mathbb{H}^2 . Em seguida, definiremos o espaço hiperbólico n -dimensional \mathbb{H}^n , com o objetivo de entender como a geometria do plano hiperbólico pode ser generalizada para espaços de dimensão maior. Existem muitos textos clássicos que podem ser consultados para encontrar demonstrações dos resultados e outras propriedades aqui brevemente discutidas. O leitor pode se referir, por exemplo, a [And06], [Bea12] ou [Kat92].

Seja $\mathbb{H}^2 = \{z \in \mathbb{C} \mid \text{Im}(z) > 0\}$ o semiplano superior em \mathbb{C} , munido da métrica definida por

$$\cosh d(z, w) = 1 + \frac{|z - w|^2}{2 \text{Im}(z) \text{Im}(w)}. \quad (7.1)$$

Alternativamente, podemos definir uma métrica riemanniana em \mathbb{H}^2 por:

$$ds^2 = \frac{dx^2 + dy^2}{y^2},$$

onde $x = \text{Re}(z)$ e $y = \text{Im}(z)$. Com essa métrica, obtemos que o comprimento de uma curva $\alpha : [a, b] \rightarrow \mathbb{H}^2$ dada por $\alpha(t) = x(t) + iy(t)$ é:

$$L(\alpha) = \int_a^b \frac{\sqrt{x'(t)^2 + y'(t)^2}}{y(t)} dt.$$

Poderíamos também ter definido a métrica em \mathbb{H}^2 determinando que a distância entre dois pontos $p, q \in \mathbb{H}^2$ é o ínfimo dos comprimentos de todas as curvas suaves por partes ligando p a q , isto é,

$$d_{\mathbb{H}^2}(p, q) = \inf_{\alpha} L(\alpha),$$

onde o ínfimo é tomado entre todas as curvas diferenciáveis por partes ligando os dois pontos (essa condição facilita a demonstração da desigualdade triangular e a definição seria equivalente se considerássemos apenas curvas diferenciáveis).

Exercício 7.1. Verifique que as métricas d e $d_{\mathbb{H}^2}$ definidas acima coincidem.

O espaço \mathbb{H}^2 munido da métrica $d_{\mathbb{H}^2}$ é chamado *plano hiperbólico*.

Isometrias.

O grupo $\text{SL}(2, \mathbb{R})$ age em \mathbb{H}^2 através de transformações fracionais lineares:

$$\begin{pmatrix} a & b \\ c & d \end{pmatrix} \cdot z = \frac{az + b}{cz + d}. \quad (7.2)$$

Exercício 7.2. Verifique que a ação acima mapeia \mathbb{H}^2 em \mathbb{H}^2 .

As transformações do tipo $T : z \mapsto \frac{az + b}{cz + d}$, associadas a matrizes $g = \begin{pmatrix} a & b \\ c & d \end{pmatrix} \in \text{SL}(2, \mathbb{R})$, formam um grupo de homeomorfismos de \mathbb{H}^2 , e são chamadas de *transformações de Möbius*. Note que a matriz que representa a composição de duas transformações de Möbius é dada pelo produto das matrizes correspondentes, bem como a matriz que representa T^{-1} é a inversa da matriz que representa T . Cada transformação de Möbius T está representada na verdade por um par de matrizes $\pm g$. Por isso, o conjunto de todas as transformações de Möbius de \mathbb{H}^2 é denotado por $\text{PSL}(2, \mathbb{R})$ e corresponde ao grupo $\text{SL}(2, \mathbb{R})/\{\pm \text{Id}\}$.

Essa ação é isométrica, transitiva, e bitransitiva sob pares de pontos equidistantes. Além disso, o grupo $\text{Isom}^+ \mathbb{H}^2$ das isometrias de \mathbb{H}^2 que preservam orientação é exatamente $\text{PSL}(2, \mathbb{R})$ (veja [Bon09, Teorema 2.11]).

Sejam $w \in \mathbb{H}^2$ e $r \in \mathbb{R}_{>0}$ dados. Então um *círculo hiperbólico* de raio r centrado em w é o conjunto

$$C_{\mathbb{H}^2}(w, r) = \{z \in \mathbb{H}^2 \mid d_{\mathbb{H}^2}(z, w) = r\}.$$

Exercício 7.3. Mostre que o círculo hiperbólico $C_{\mathbb{H}^2}(i, r)$ em \mathbb{H}^2 coincide, como conjunto, com um círculo euclidiano, com centro $z = i \cosh(r)$ e raio $\delta = \sinh(r)$.

Observamos que a ação de $\text{PSL}(2, \mathbb{R})$ em \mathbb{H}^2 leva *círculos generalizados* em círculos generalizados, onde estamos nos referindo com o termo círculo generalizado a qualquer elemento do conjunto dos círculos euclidianos e das retas euclidianas em \mathbb{C} , que podem ser representados por uma equação do tipo

$$\alpha z \bar{z} + \beta z + \bar{\beta} \bar{z} + \rho = 0.$$

onde $\alpha, \rho \in \mathbb{R}$ e $\beta \in \mathbb{C}$. Caso $\alpha = 0$, teremos uma reta euclidiana e, caso contrário, uma circunferência. Além disso, o subconjunto dos círculos generalizados que são ortogonais ao eixo real também é mantido invariante por essa ação.

Exercício 7.4. Mostre que o conjunto dos círculos generalizados e o conjunto dos círculos generalizados ortogonais ao eixo real são mantidos invariantes pela ação de transformações de Möbius (você pode pensá-las como definidas em \mathbb{C}).

Geodésicas.

As geodésicas em \mathbb{H}^2 consistem de semicírculos centrados no eixo real $\text{Im}(z) = 0$ e de semirretas verticais.

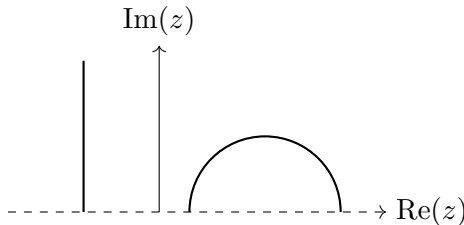


Figura 7.1: Geodésicas em \mathbb{H}^2 .

Para qualquer par de pontos $z, w \in \mathbb{H}^2$, existe uma única geodésica unindo tais pontos, e a distância entre eles é dada pelo comprimento do segmento dessa geodésica que está entre os dois pontos.

No Exercício 7.4, vimos que as isometrias de \mathbb{H}^2 mapeiam geodésicas em geodésicas.

Classificação das isometrias.

As isometrias de \mathbb{H}^2 que preservam orientação são classificadas em termos dos seus pontos fixos. Para isto, definimos o *bordo*, ou *fronteira ideal*, do espaço \mathbb{H}^2 como $\partial\mathbb{H}^2 = \{z \in \mathbb{C} \mid \text{Im}(z) = 0\} \cup \{\infty\}$. As isometrias são então classificadas entre os seguintes tipos:

- g é dita *elíptica* se ela possui um único ponto fixo, e ele está em \mathbb{H}^2 ;
- g é dita *parabólica* se ela possui um único ponto fixo, contido em $\partial\mathbb{H}^2$;
- g é dita *hiperbólica* se ela possui dois pontos fixos, ambos em $\partial\mathbb{H}^2$. Uma transformação hiperbólica g deixa invariante uma geodésica γ em \mathbb{H}^2 , a qual liga os dois pontos fixos do bordo e é chamada de *eixo* de g . Ao longo dessa geodésica, g age como uma translação por uma distância positiva τ_g , chamada o *número de translação* de g .

De maneira geral, dada $g \in \text{Isom}^+(X)$, onde (X, d) é um espaço métrico, podemos definir o *número de translação* de g por

$$\tau_g := \inf_{x \in X} d(x, gx).$$

Neste caso, temos a seguinte classificação:

- g é *elíptica* se $\tau_g = 0$ e o ínfimo é atingido em X ;
- g é *parabólica* se $\tau_g = 0$ e o ínfimo não é atingido em X ;
- g é *hiperbólica* se $\tau_g > 0$.

Caso $X = \mathbb{H}^2$, munido da métrica hiperbólica, a classificação pode ser feita a partir dos traços das matrizes $\pm g \in \text{SL}(2, \mathbb{R})$ que representam uma isometria. Lembramos que o traço de $g = \begin{pmatrix} a & b \\ c & d \end{pmatrix}$

$\in \text{SL}(2, \mathbb{R})$ é $\text{tr}(g) = a + d$. Assim, obtemos a seguinte caracterização.

Proposição 7.5. Seja $g \in \text{Isom}^+(\mathbb{H}^2)$. Então

- (1) g é elíptica se, e somente se, $\text{tr}(g) \in (-2, 2)$;
- (2) g é parabólica se, e somente se, $\text{tr}(g) \in \{-2, 2\}$;
- (3) g é hiperbólica se, e somente se, $\text{tr}(g) \notin [-2, 2]$.

Exercício 7.6. Provar a Proposição 7.5.

Existem diversos outros modelos para o plano hiperbólico, sendo o modelo do disco de Poincaré um dos mais usados. O disco de Poincaré é o conjunto $\mathbb{D} = \{z \in \mathbb{C} \mid |z| < 1\}$, munido da métrica definida de modo que a função $h : \mathbb{H}^2 \rightarrow \mathbb{D}$ dada por $h(z) = \frac{z - i}{iz - 1}$ seja uma isometria.

Uma vantagem do modelo do disco é que o disco unitário \mathbb{D} é um conjunto limitado em \mathbb{R}^2 . Isso facilita a visualização de todo o plano hiperbólico em uma folha de papel e torna mais simples fazer alguns desenhos. Uma vantagem do modelo do semiplano superior com respeito ao modelo do disco é a possibilidade de uso das coordenadas cartesianas em cálculos. As geodésicas no modelo do disco de Poincaré são os arcos de círculos e diâmetros em \mathbb{D} que cortam o bordo de \mathbb{D} ortogonalmente.

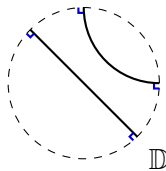


Figura 7.2: Geodésicas em \mathbb{D} .

7.1.2 O espaço hiperbólico n -dimensional

Mais geralmente, podemos definir o *espaço hiperbólico n -dimensional* a partir do modelo do semiespaço superior

$$\mathbb{H}^n = \{(x_1, \dots, x_n) \in \mathbb{R}^n \mid x_n > 0\},$$

com métrica riemanniana $ds^2 = \frac{dx_1^2 + \dots + dx_n^2}{x_n^2}$. Sugerimos que o leitor se refira a [Thu14] ou [Rat06] para um estudo profundo de espaços hiperbólicos em dimensão $n > 2$.

A variedade riemanniana (\mathbb{H}^n, ds^2) é usualmente chamada de espaço hiperbólico *real* n -dimensional, para distinguí-lo de outros espaços também ditos hiperbólicos (por exemplo, espaço hiperbólico complexo, espaço hiperbólico quaterniônico, espaços Gromov-hiperbólicos, etc.). Usaremos a expressão espaço hiperbólico para \mathbb{H}^n , com a adição do adjetivo real caso outras noções de hiperbolicidade estejam envolvidas na discussão. Qualquer que seja $n \geq 2$, o espaço \mathbb{H}^n é uma variedade riemanniana completa.

As geodésicas de \mathbb{H}^n são arcos de círculos ortogonais ao plano $x_n = 0$ ou segmentos de retas verticais. Além disso, para cada tal geodésica α , existe uma isometria de \mathbb{H}^n que leva α em um segmento do eixo x_n . Dado qualquer par de pontos em \mathbb{H}^n , existe uma única geodésica que os contém.

As isometrias de \mathbb{H}^n que preservam orientação são dadas pelas transformações de Möbius generalizadas, que passamos a descrever. Vamos pensar na esfera \mathbb{S}^n como a compactificação a 1 ponto do espaço euclidiano \mathbb{R}^n , isto é, $\mathbb{S}^n = \widehat{\mathbb{R}^n} = \mathbb{R}^n \cup \{\infty\}$.

Consequentemente, olharemos a compactificação a 1 ponto de um hiperplano em \mathbb{R}^n como uma esfera de raio infinito, e a compactificação a 1 ponto de uma reta em \mathbb{R}^n como um círculo.

Definição 7.7. A *inversão* na esfera de raio r , $\Sigma_0 = S(0, r) = \{x \in \mathbb{R}^{n+1} \mid |x| = r\}$ é o mapa $J_{\Sigma_0} : \mathbb{R}^{n+1} \rightarrow \mathbb{R}^{n+1}$ dado por

$$J_{\Sigma_0} : x \mapsto r^2 \frac{x}{|x|^2}, \quad J_{\Sigma_0}(0) = \infty, \quad J_{\Sigma_0}(\infty) = 0.$$

Definimos a inversão na esfera $\Sigma_a = \{x \in \mathbb{R}^{n+1} \mid |x - a| = r\} = S(a, r)$ pela fórmula $J_{\Sigma_a} = T_a \circ J_{\Sigma_0} \circ T_{-a} : \mathbb{R}^{n+1} \rightarrow \mathbb{R}^{n+1}$,

$$J_{\Sigma_a} : x \mapsto r^2 \frac{x - a}{|x - a|^2} + a, \quad J_{\Sigma_a}(a) = \infty, \quad J_{\Sigma_a}(\infty) = a,$$

onde T_a é a translação pelo vetor $a \in \mathbb{R}^{n+1}$. Inversões mapeiam esferas em esferas e círculos em círculos. Elas também preservam ângulos euclidianos. Veremos a reflexão num hiperplano euclidiano como uma inversão que fixa ∞ .

Definição 7.8. Uma *transformação de Möbius de \mathbb{R}^n* (ou, mais precisamente, de \mathbb{S}^n) é uma composição de finitas inversões em \mathbb{R}^n . O grupo de todas as transformações de Möbius de \mathbb{R}^n é denotado por $\text{Mob}(\mathbb{R}^n)$ ou $\text{Mob}(\mathbb{S}^n)$.

Em particular, transformações de Möbius preservam ângulos, enviam círculos em círculos e esferas em esferas.

Observamos que a métrica ds^2 em \mathbb{H}^n é claramente invariante pelas translações “horizontais” euclidianas $x \mapsto x + v$, onde $v = (v_1, \dots, v_{n-1}, 0)$, já que as translações preservam a métrica euclidiana e a coordenada x_n . Analogamente, ds^2 é invariante por dilatações $h : x \mapsto \lambda x$; $\lambda > 0$ já que h reescala tanto numerador quanto denominador na expressão da métrica. Por fim, ds^2 é invariante por rotações que fixam o eixo x_n (pois preservam a coordenada x_n). O grupo gerado por essas isometrias de \mathbb{H}^n age transitivamente em \mathbb{H}^n , o que implica que \mathbb{H}^n é uma variedade riemanniana homogênea.

Todo elemento de $\text{Mob}(\mathbb{S}^n)$ que deixa \mathbb{H}^n invariante é uma isometria de \mathbb{H}^n . Usando o modelo da bola do espaço hiperbólico, podemos mostrar que de fato este conjunto coincide com $\text{Isom}^+ \mathbb{H}^n$, como pode ser visto na Seção 4.2 de [DK18].

Analogamente ao que ocorre em \mathbb{H}^2 , se $g \in \text{Isom}^+ \mathbb{H}^n$ é *hiperbólica*, ela fixa dois pontos no bordo e deixa invariante a única geodésica que une esses pontos, chamada de *eixo* de g . Caso g seja *parabólica*, ela fixa um único ponto em $\partial \mathbb{H}^n$, deixando invariantes as horoesferas (veja definição a seguir) com centro naquele ponto. Por fim, se g for *elíptica*, então ela possui um único ponto fixo no interior de \mathbb{H}^n .

Horoesferas e horobolas.

Podemos definir horoesferas em um espaço métrico qualquer (X, d) . Considere um raio geodésico $\gamma : [0, \infty) \rightarrow X$. A função $b_\gamma^t : X \rightarrow \mathbb{R}$, $b_\gamma^t(x) = d(x, \gamma(t)) - t$ é decrescente (devido à desigualdade triangular) e limitada por baixo por $d(x, \gamma(0))$. Portanto, existe um limite

$$b_\gamma(x) = \lim_{t \rightarrow \infty} b_\gamma^t(x).$$

Definição 7.9. A função $b_\gamma : X \rightarrow \mathbb{R}$ é chamada *função de Busemann* do raio γ .

Um subnível da função de Busemann $b_\gamma^{-1}(-\infty, 0]$ é chamado *horobola* (fechada) com centro $\xi = \gamma(\infty)$. Um nível $b_\gamma^{-1}(a)$ da função de Busemann é chamada *horoesfera* centrada em $\xi = \gamma(\infty)$.

Uma horoesfera em \mathbb{H}^n é uma esfera generalizada que passa por um ponto da fronteira $\partial\mathbb{H}^n := \{(x_1, \dots, x_n) \in \mathbb{R}^n \mid x_n = 0\} \cup \{\infty\}$ de \mathbb{H}^n . Observamos que as isometrias de \mathbb{H}^n mapeiam horoesferas em horoesferas. Além disso, a restrição da métrica hiperbólica a um horoesfera coincide com a métrica euclidiana ali. No caso de \mathbb{H}^2 , representado na Figura 7.3, as horoesferas são também chamadas de horocírculos. Note que nesse caso, linhas horizontais também são horocírculos, que estão centrados em ∞ .

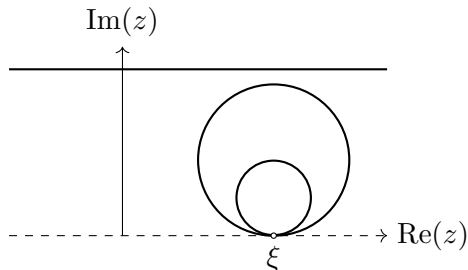


Figura 7.3: Horocírculos em \mathbb{H}^2 .

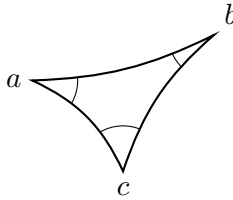
Esferas em \mathbb{H}^n . Escolha um ponto $p \in \mathbb{H}^n$ e um número real positivo R . A esfera hiperbólica de raio R centrada em p é o conjunto

$$S(p, R) = \{x \in \mathbb{H}^n \mid d(x, p) = R\}.$$

- Exercício 7.10.** 1. Prove que $S(e_n, R) \subset \mathbb{H}^n$ coincide com a esfera euclidiana de centro $\cosh(R)e_n$ e raio $\sinh(R)$.
2. Suponha que $S \subset \mathbb{H}^n$ é a esfera euclidiana com raio R e centro $x = (x_1, \dots, x_n)$ de modo que $x_n = a$. Então S coincide com a esfera hiperbólica $S(p, r)$, onde $r = \frac{1}{2}(\log(a+R) - \log(a-R))$.

Triângulos no espaço hiperbólico são magros.

Um *triângulo hiperbólico* é um triângulo $\Delta = \Delta(a, b, c)$ em \mathbb{H}^n composto por três vértices a, b, c , os quais podem ser pontos de \mathbb{H}^n ou pontos da fronteira ideal $\partial\mathbb{H}^n = \{(x_1, \dots, x_n) \in \mathbb{R}^n \mid x_n = 0\} \cup \{\infty\}$, e de três arestas geodésicas ligando esses vértices. No caso em que algum dos vértices de Δ é um ponto da fronteira ideal, diremos que o triângulo é um *triângulo ideal*. Neste último caso, note que o ângulo em Δ correspondente a um vértice ideal é zero.



Exercício 7.11. Todo triângulo hiperbólico $\Delta \subset \mathbb{H}^n$ está contido na compactificação de um subespaço hiperbólico bidimensional totalmente geodésico $\mathbb{H}^2 \subset \mathbb{H}^n$.

Dica: Considere um triângulo $\Delta = \Delta(a, b, c)$, onde a, b pertencem a uma reta vertical comum.

Exercício 7.12 (Monotonicidade da distância hiperbólica). Seja Δ_i para $i = 1, 2$ o triângulo retângulo hiperbólico com vértices a_i, b_i, c_i (onde a_i ou b_i podem ser vértices ideais) tal que $a = a_1 = a_2$, $\overline{ab_1} \subset \overline{ab_2}$ e $\overline{ac_1} \subset \overline{ac_2}$, como na Figura 7.4. Então $\alpha_1 \leq \alpha_2$.

Mostraremos a seguir que triângulos hiperbólicos são “magros” no seguinte sentido: dado um triângulo geodésico $\Delta = \Delta(a, b, c)$ em

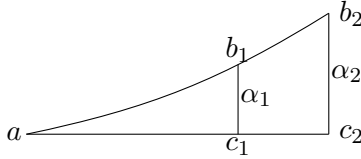


Figura 7.4: Monotonicidade da distância hiperbólica.

\mathbb{H}^2 , qualquer uma de suas arestas está contida numa δ -vizinhança da união das outras duas arestas, para $\delta = \log(3)$. Um triângulo satisfazendo essa condição é dito δ -magro.

Suponha que Δ é um triângulo hiperbólico em \mathbb{H}^2 com lados α_i , para $i = 1, 2, 3$, de modo que Δ limita o triângulo sólido \blacktriangle . Para cada ponto $x \in \blacktriangle$, defina

$$\lambda_x(\Delta) := \max_{i=1,2,3} d(x, \alpha_i)$$

e

$$\lambda(\Delta) := \inf_{x \in \blacktriangle} \lambda_x(\Delta)$$

Para mostrar a afirmação do parágrafo anterior, usaremos uma estimativa para $\lambda(\Delta)$. É imediato verificar que o ínfimo na definição de $\lambda(\Delta)$ é realizado por um ponto $x_0 \in \blacktriangle$, o qual é equidistante de todos os lados de Δ , isto é, pelo ponto de interseção dos bissetores do triângulo.

Defina o *raio inscrito* $\text{inrad}(\Delta)$ de Δ como o supremo dos raios de discos hiperbólicos contidos em \blacktriangle .

Lema 7.13. Para qualquer triângulo hiperbólico $\Delta = \Delta(a, b, c)$, vale $\lambda(\Delta) = \text{inrad}(\Delta)$.

Demonstração. Suponha que $D = B(x, R) \subset \blacktriangle$ é um disco hiperbólico. Caso \bar{D} não toque dois dos lados de Δ , é fácil ver que existe um disco $D_0 = B(x_0, R_0) \subset \blacktriangle$ que contém propriamente D e, portanto, tem raio maior. Assim, $R \neq \text{inrad}(\Delta)$.

Suponha agora que o fecho de $D \subset \blacktriangle$ toque exatamente duas arestas de Δ , digamos \overline{ab} e \overline{bc} . Então o centro x de D pertence ao bissetor σ de um dos ângulos de Δ , neste caso o ângulo correspondente

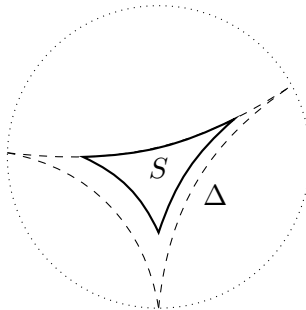
a b . Podemos mover o centro x de D ao longo do bissetor σ no sentido que se afasta do vértice b e obter um novo disco $D' = B(x', R')$ de modo que $\overline{D'}$ ainda toque apenas os lados $\overline{ab}, \overline{bc}$ de Δ . Afirmamos que o raio R' de D' é maior que o raio R de D . Para provar essa afirmação, considere triângulos hiperbólicos $\Delta(x, y, b)$ e $\Delta(x', y', b)$, onde y, y' são os pontos de tangência entre D, D' e o lado \overline{ba} . Esses triângulos retângulos tem ângulo comum em b e satisfazem

$$d(b, x) \leq d(b, x').$$

Assim, a desigualdade $R \leq R'$ segue do Exercício 7.12.

Desse modo, concluímos que se $R = \text{inrad}(\Delta)$, então o maior disco de raio R contido em \blacktriangle toca os três lados de Δ , e seu centro é o ponto de interseção dos bissetores desse triângulo. Mas isto significa que $\lambda(\Delta) = \text{inrad}(\Delta)$, como queríamos. \square

Seja S um triângulo hiperbólico com lados $\sigma_1, \sigma_2, \sigma_3$. Como esses lados são segmentos geodésicos, podemos estender um deles, digamos σ_1 e encontrar um triângulo hiperbólico ideal (com três vértices ideais) $\Delta \subset \mathbb{H}^2$ cujos lados limitam um triângulo sólido \blacktriangle , de modo que $S \subset \blacktriangle$ e um dos lados de Δ é a extensão de σ_1 , como na figura abaixo, onde isto é visto no modelo do disco de \mathbb{H}^2 .



Assim, para estimar por cima o raio inscrito de um dado triângulo S , basta estimar o raio inscrito de um triângulo com três vértices ideais que o contenha no sentido acima. Como todos os triângulos com três vértices ideais são congruentes, já que os três ângulos

de um triângulo o determinam, a menos de isometrias, basta estimarmos o raio inscrito do triângulo ideal $\Delta(\infty, -1, 1)$ (veja a Figura 7.5). O Exercício 7.10 fornece $\text{inrad}(\Delta(\infty, -1, 1)) = \frac{\log 3}{2}$. Unindo essas observações ao Exercício 7.11, obtemos a seguinte proposição.

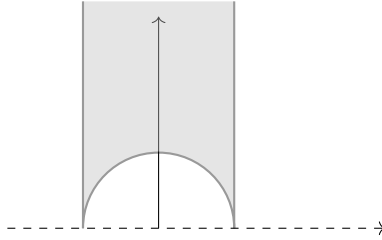


Figura 7.5: Triângulo $\Delta(\infty, -1, 1)$.

Proposição 7.14. Para cada triângulo hiperbólico Δ em \mathbb{H}^n , existe um ponto $p \in \mathbb{H}^n$ tal que a distância de p a qualquer um dos três lados de Δ é menor ou igual que $\frac{\log(3)}{2}$.

Na próxima seção, veremos outra maneira de mostrar que os triângulos hiperbólicos são δ -magros, dessa vez com $\delta = \text{arccosh}(\sqrt{2})$.

7.2 Espaços hiperbólicos segundo Rips e Gromov

Gromov e Rips perceberam que a geometria global de espaços de curvatura negativa pode ser capturada pela propriedade de que todos os triângulos geodésicos são magros (vide [Gro87]). Nesta seção, descreveremos duas noções de hiperbolicidade, mostrando que elas são equivalentes se estivermos em espaços métricos geodésicos.

Seja (X, d) um espaço métrico geodésico. Um *triângulo geodésico* $\Delta(a, b, c)$ em X é a concatenação de três segmentos geodésicos \overline{ab} , \overline{bc} e \overline{ca} , chamados lados do triângulo, que ligam os seus vértices a, b e c na ordem cíclica natural. Também denotaremos o triângulo geodésico por $T_{\alpha_1, \alpha_2, \alpha_3}$, onde α_i são os comprimentos dos lados.

Definição 7.15 (Rips). Seja $\delta \geq 0$ dado. O espaço X é dito δ -hiperbólico por Rips se, para qualquer triângulo geodésico $\Delta(x, y, z)$, tem-se $\overline{xy} \subset \mathcal{N}_\delta(\overline{xz} \cup \overline{yz})$. Ou seja, se dado qualquer $p \in \overline{xy}$ existe $q \in \overline{xz} \cup \overline{yz}$ com $d(p, q) \leq \delta$.

Em outras palavras, dizemos que X é δ -hiperbólico por Rips se todo triângulo $\Delta(x, y, z)$ em X é δ -magro. O ínfimo δ_0 das constantes δ para as quais X é δ -hiperbólico é dito *constante de hiperbolicidade de X* . Caso $\delta_0 < \infty$, diremos que X é δ_0 -hiperbólico ou *Rips-hiperbólico*.

Uma desvantagem da definição de hiperbolicidade de Rips é que ela depende das geodésicas do espaço X . Apresentaremos agora uma segunda definição, devida a Gromov, menos intuitiva porém mais geral que a definição de Rips, e que se mostra bastante útil em certas situações. Por exemplo, o espaço métrico X em questão não precisa ser geodésico.

Seja (X, d) um espaço métrico. Tome $p \in X$ um ponto base. Para cada $x \in X$, seja $|x|_p := d(p, x)$ e defina o *produto de Gromov* de $x, y \in X$ em p por:

$$(x, y)_p := \frac{1}{2} (|x|_p + |y|_p - d(x, y)).$$

Note que, pela desigualdade triangular, vale que $(x, y)_p \geq 0$ para todos $x, y, p \in X$

Exemplo 7.16. Suponha que X é uma árvore. Então $(x, y)_p$ é a distância $d(p, \gamma)$ de p para a geodésica $\gamma = xy$.

Observação 7.17. O produto de Gromov é uma generalização para o contexto de espaços métricos do produto interno em espaços vectoriais, onde o ponto base p é escolhido como a origem: se $X = \mathbb{R}^n$, e $p = 0$, então $|v|_0 = \|v\|$ e

$$\frac{1}{2} (|x|_0^2 + |y|_0^2 - \|x - y\|^2) = x \cdot y.$$

Definição 7.18 (Gromov). Um espaço métrico X é dito δ -hiperbólico no sentido de Gromov se, para todos $x, y, z, p \in X$, vale:

$$(x, y)_p \geq \min\{(x, z)_p, (y, z)_p\} - \delta.$$

Lema 7.19. Suponha que X é δ -hiperbólico no sentido de Rips. Então o produto de Gromov em X é comparável a $d(p, \overline{xy})$, i.e., para cada $x, y, p \in X$ e toda geodésica \overline{xy} ,

$$(x, y)_p \leq d(p, \overline{xy}) \leq (x, y)_p + 2\delta.$$

Demonstração. Seja $z \in \overline{xy}$. Então $d(x, y) = d(x, z) + d(z, y)$. Logo,

$$\begin{aligned} 2(x, y)_p &= |x|_p + |y|_p - d(x, y) = |x|_p + |y|_p - d(x, z) - d(z, y) \\ &= |y|_p + |z|_p - 2(p, x)_z - d(z, y) = 2|z|_p - 2(p, x)_z - 2(p, y)_z. \end{aligned}$$

Portanto, $(x, y)_p \leq d(p, z)$, para todo $z \in \overline{xy}$, donde segue a primeira desigualdade.

Pelo que vimos, temos $(x, p)_z \leq d(z, \overline{px})$ e $(y, p)_z \leq d(z, \overline{py})$. Logo,

$$\min\{(x, p)_z, (y, p)_z\} \leq \min\{d(z, \overline{px}), d(z, \overline{py})\}. \quad (7.3)$$

Como o triângulo $\Delta(p, x, y)$ é δ -magro, vale $\overline{xy} \subset \mathcal{N}_\delta(\overline{px}) \cup \mathcal{N}_\delta(\overline{py})$. Daí, $\min\{d(z, \overline{px}), d(z, \overline{py})\} \leq \delta$ para cada $z \in \overline{xy}$. Logo, segue de (7.3) que

$$\min\{(x, p)_z, (y, p)_z\} \leq \delta, \quad (7.4)$$

para cada $z \in \overline{xy}$.

Usando a conexidade da geodésica \overline{xy} e a continuidade das funções $z \mapsto (x, p)_z, (z, p)_z$, obtemos que os conjuntos $A := \{z \in \overline{xy} \mid (x, p)_z > \delta\}$ e $B := \{z \in \overline{xy} \mid (y, p)_z > \delta\}$ são abertos disjuntos por (7.4). Portanto existe $z \in \overline{xy}$ tal que $(x, p)_z, (y, p)_z \leq \delta$ donde

$$|z|_p - (x, y)_p = (x, p)_z + (y, p)_z \leq 2\delta.$$

Como $|z|_p \geq d(p, \overline{xy})$, concluímos que $d(p, \overline{xy}) \leq (x, y)_p + 2\delta$. \square

Lema 7.20. Se um espaço métrico geodésico X é δ -hiperbólico no sentido de Rips, então ele é 3δ -hiperbólico no sentido de Gromov.

Demonstração. Vamos mostrar que os vértices de um triângulo δ -magro $\Delta(x, y, z)$ satisfazem $(x, y)_p \geq \min\{(y, z)_p, (x, z)_p\} - 3\delta$, qualquer que seja $p \in X$. De fato, seja $m \in \overline{xy}$ o ponto que realiza

distância entre p e a geodésica \overline{xy} . Como $\Delta(x, y, z)$ é δ -magro existe $n \in \overline{yz} \cup \overline{xz}$ tal que $d(m, n) \leq \delta$. Suponhamos, sem perda de generalidade, que $n \in \overline{yz}$. Daí, pelo Lema 7.19, usando que $n \in \overline{yz}$ e a desigualdade triangular, obtemos

$$\begin{aligned}
 (y, z)_p &\leq d(p, \overline{yz}) \\
 &\leq d(p, n) \\
 &\leq d(p, m) + d(m, n) \\
 &= d(p, \overline{xy}) + d(n, m) \\
 &\leq (x, y)_p + 3\delta.
 \end{aligned}$$

□

Lema 7.21. Se um espaço métrico geodésico X é δ -hiperbólico no sentido de Gromov, então ele é 4δ -hiperbólico no sentido de Rips.

Demonstração. Vamos primeiro mostrar que se α é uma geodésica ligando x a y e p um ponto em X tal que

$$|x|_p + |y|_p \leq d(x, y) + 2\delta, \tag{7.5}$$

então $d(p, \alpha) \leq 4\delta$.

Suponhamos inicialmente que $|x|_p \leq |y|_p$. Se $d(p, x) \geq d(x, y)$ então $d(p, \alpha) \leq d(p, x) \leq 4\delta$ e o resultado segue. Portanto, vamos também supor que $d(p, x) < d(x, y)$. Seja $z \in \alpha$ tal que $d(x, z) = d(x, p)$. Como X é δ -hiperbólico no sentido de Gromov,

$$(x, y)_p \geq \min\{(x, z)_p, (y, z)_p\} - \delta.$$

Se $(x, y)_p \geq (x, z)_p - \delta$. Então,

$$d(y, p) - d(x, y) \geq d(z, p) - d(x, z) - 2\delta,$$

e portanto

$$\begin{aligned}
 d(z, p) &\leq d(y, p) + d(x, z) - d(x, y) + 2\delta \\
 &= d(y, p) + d(x, p) - d(x, y) + 2\delta \\
 &= 2(x, y)_p + 2\delta \\
 &\leq 4\delta,
 \end{aligned}$$

onde na última desigualdade foi usada a equação (7.5). Agora, se $(x, y)_p \geq (y, z)_p - \delta$, então

$$d(x, p) - d(x, y) \geq d(z, p) - d(y, z) - 2\delta.$$

Logo, $d(z, p) \leq 2\delta + d(x, p) - d(x, y) + d(y, z) = 2\delta + d(x, z) - d(x, y) + d(y, z) = 2\delta$.

Considere agora um triângulo geodésico $\Delta(x, y, p)$ em X e seja $z \in \overline{xy}$. Nosso objetivo é mostrar que z pertence a $\mathcal{N}_{4\delta}(\overline{px} \cup \overline{py})$. Temos que $(x, y) - p \geq \min((x, z)_p, (y, z)_p) - \delta$. Supondo que $(x, y)_p \geq (x, z)_p - \delta$, obtemos $d(y, p) \geq d(y, z) + d(z, p) - 2\delta$. Portanto, pela discussão inicial, obtemos $z \in \mathcal{N}_{4\delta}(\overline{xp} \cup \overline{yp})$ e, assim, o triângulo $\Delta(x, y, z)$ é 4δ -magro. \square

Corolário 7.22. Em espaços métricos geodésicos, as noções de hiperbolicidade de Gromov e de Rips são equivalentes.

Exemplo 7.23 (A hiperbolicidade de Gromov não é um invariante por quasi-isometrias). Considere o espaço X dado pelo gráfico da função $y = |x|$, onde a métrica em X é induzida de \mathbb{R}^2 (observe que X não é um espaço geodésico pois a métrica em X não é intrínseca). A função $f : \mathbb{R} \rightarrow X$ dada por $f(x) = (x, |x|)$ é uma quasi-isometria:

$$|x - x'| \leq d(f(x), f(x')) \leq \sqrt{2}|x - x'|.$$

É fácil verificar que \mathbb{R} com a métrica usual é 0-hiperbólico. Por outro lado, vejamos o que ocorre em X . Seja $p = (0, 0) \in X$ e, para cada $t > 0$, sejam $x = (2t, 2t)$, $y = (-2t, 2t)$ e $z = (t, t)$. Notemos que

$$\min\{(y, z)_p, (x, y)_p\} - (x, z)_p \geq ct,$$

onde c é uma constante positiva. De fato,

$$\begin{aligned} 2(x, z)_p &= d(x, p) + d(z, p) - d(x, z) = 2\sqrt{2}t \\ 2(x, y)_p &= d(x, p) + d(y, p) - d(x, y) = 4\sqrt{2}t - 4t \\ 2(y, z)_p &= d(y, p) + d(z, p) - d(y, z) = 3\sqrt{2}t - \sqrt{10}t. \end{aligned}$$

Portanto, a quantidade $\min\{(y, z)_p, (x, y)_p\} - (x, z)_p$ é ilimitada à medida que $t \rightarrow \infty$ e assim, X não é δ -hiperbólico para nenhum valor

de $\delta < \infty$. Em particular, X é QI ao espaço Gromov–hiperbólico \mathbb{R} , mas não é Gromov–hiperbólico.

Exercício 7.24. Mostre que a hiperbolicidade de Gromov é invariante por $(1, L)$ -quasi-isometrias.

Provaremos mais tarde que, no contexto dos espaços geodésicos, a hiperbolicidade é um QI-invariante. Esse resultado seguirá como consequência do Lema de Morse.

Definição 7.25. Uma *trípode* \tilde{T} é um grafo métrico que, como grafo, é isomorfo ao grafo T que possui 4 vértices v_0, v_1, v_2, v_3 , onde dois vértices são conectados por uma única aresta se, e somente se, um desses vértices é v_0 e o outro é diferente de v_0 . O vértice v_0 é o centro da “estrela” e as arestas são chamadas de pernas de \tilde{T} .

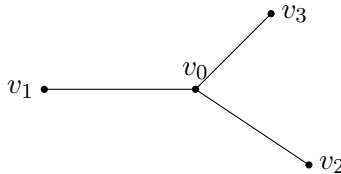


Figura 7.6: Trípode.

Por abuso de notação, veremos uma trípode \tilde{T} como um triângulo geodésico neste grafo, cujos vértices são os pontos extremos v_1, v_2, v_3 de \tilde{T} . Portanto, usaremos a notação $\tilde{T} = T_{\alpha_1, \alpha_2, \alpha_3} = T(v_1, v_2, v_3)$. Da mesma forma, os lados da trípode são os comprimentos dos lados do triângulo correspondente.

Exercício 7.26. Sejam $\alpha_1, \alpha_2, \alpha_3 \in \mathbb{R}$ satisfazendo as desigualdades triangulares $\alpha_i \leq \alpha_j + \alpha_k$. Mostre que existe uma única trípode $T_{\alpha_1, \alpha_2, \alpha_3}$ com arestas de tamanho α_i , como na Figura 7.7, a menos de isometria.

Seja $\Delta = \Delta(v_1, v_2, v_3) \subset X$ um triângulo geodésico em um espaço métrico X , com lados de comprimento $\alpha_i, i = 1, 2, 3$. Então

existe uma única aplicação, a menos de pós-composição com isometrias,

$$\kappa : \Delta \rightarrow T_{\alpha_1, \alpha_2, \alpha_3},$$

isométrica nas arestas, chamada o *colapso* de Δ .

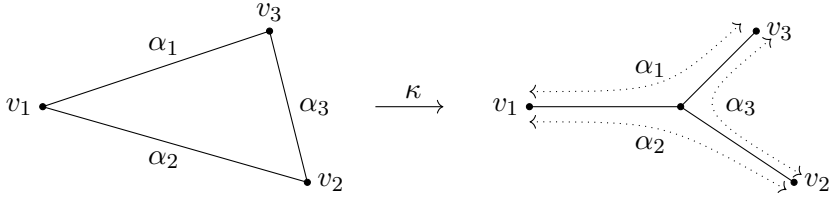


Figura 7.7: Colapso.

Exercício 7.27. Mostre que a aplicação de colapso preserva os produtos de Gromov $(x_i, x_j)_{x_k}$.

O *centroide* de \tilde{T} é o ponto de interseção $o \in \tilde{T}$ das três arestas. Note que o produto de Gromov satisfaz

$$(v_i, v_j)_{v_k} = d(v_k, \overline{v_i v_j}) = d(v_k, o).$$

Tomando as pré-imagens de $o \in \tilde{T}$ pelo mapa κ , obtemos três pontos $x_{ij} \in \overline{v_i v_j}$, chamados de pontos centrais do triângulo Δ . Note que:

$$d(v_i, x_{ij}) = (v_j, v_k)_{v_i}.$$

7.2.1 Exemplos de espaços hiperbólicos

Listaremos nesta seção alguns exemplos clássicos de espaços hiperbólicos por Rips.

Exemplo 7.28. O exemplo mais importante é o espaço \mathbb{H}^n , o qual é sempre δ -hiperbólico, para $\delta = \operatorname{arccosh}(\sqrt{2})$.

Para verificar esse fato, notemos primeiramente que é suficiente considerar o caso $n = 2$, já que qualquer triângulo hiperbólico Δ em \mathbb{H}^n está contido em algum 2-subespaço totalmente geodésico de \mathbb{H}^n , o qual é isométrico a \mathbb{H}^2 .

Todo triângulo Δ em \mathbb{H}^2 tem pelo menos um lado que não é uma geodésica vertical. Podemos estender esse lado indefinidamente como na Figura 7.8, de modo que Δ esteja contido em um triângulo ideal Δ_∞ .

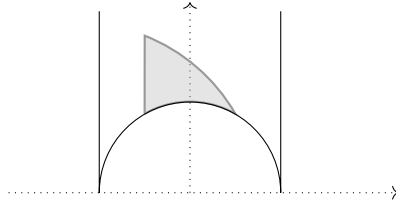


Figura 7.8: Todo triângulo está contido em um triângulo ideal.

Se mostrarmos que todo triângulo ideal Δ_∞ é δ -magro, então cada triângulo Δ em \mathbb{H}^n será também δ -magro. Isso se deve ao seguinte fato: sejam $\sigma_i, i = 1, 2, 3$ os lados de Δ , sendo σ_1 o lado que estendemos acima. Se chamamos de τ_1, τ_2, τ_3 os lados de Δ_∞ , onde τ_1 é a extensão de σ_1 , então para cada $p \in \sigma_1 \subset \tau_1$, temos

$$d(p, \sigma_2 \cup \sigma_3) \leq d(p, \tau_2 \cup \tau_3),$$

já que todo segmento geodésico de p a τ_j intersecta σ_j , para $j = 2, 3$.

Uma propriedade importante em \mathbb{H}^2 é que todos os triângulos ideais são isométricos. Assim, podemos supor que Δ_∞ é o triângulo ideal com vértices $A_1 = \infty, A_2 = -1$ e $A_3 = 1$. Parametrizando as geodésicas $\tau_j = A_{j-1}A_{j+1}$, com índices $j = 1, 2, 3$ tomados módulo 3, podemos verificar usando o Exercício 7.12 que, para cada j , a função $f_j(t) = d(\tau_j(t), \tau_{j-1})$ é monotonicamente crescente. Portanto, o supremo $\sup_t d(\tau_1(t), \tau_2 \cup \tau_3)$ é atingido no ponto médio $p = \tau_1(t_0) = i$, e, usando a fórmula (7.1), obtemos

$$\sup_t d(\tau_1(t), \tau_2 \cup \tau_3) = d(i, -1 + i\sqrt{2}) = \operatorname{arccosh}(\sqrt{2}).$$

Exemplo 7.29. Qualquer variedade Riemanniana completa, simplesmente conexa de curvatura negativa é um exemplo de espaço δ -hiperbólico, pelo Teorema da Comparação:

Teorema 7.30 (Rauch–Toponogov). *Seja M uma variedade Riemanniana completa, simplesmente conexa, com curvatura seccional $\leq \kappa$. Denotaremos por M_κ^2 o espaço modelo de curvatura κ , isto é, uma variedade completa, simplesmente conexa de dimensão 2 com curvatura constante κ . Dado um triângulo geodésico $\Delta(p, q, r)$ em M (com perímetro $\leq 2\pi/\sqrt{\kappa}$ caso tenhamos $\kappa > 0$) seu triângulo de comparação $\Delta(\bar{p}, \bar{q}, \bar{r})$ é o triângulo geodésico em M_κ^2 com comprimentos iguais dos lados. Nessas condições é satisfeita a propriedade de comparação de triângulos: para qualquer ponto $x \in \bar{p}\bar{q}$ temos*

$$d_M(r, x) \leq d_{M_\kappa^2}(\bar{r}, \bar{x}),$$

onde $\bar{x} \in \bar{p}\bar{q}$ tem $d_M(p, x) = d_{M_\kappa^2}(\bar{p}, \bar{x})$.

Exemplo 7.31. Mais geralmente, todo espaço X que é $\text{CAT}(k)$, para $k < 0$, é δ -hiperbólico. Relembramos que um espaço métrico X é chamado $\text{CAT}(k)$, se ele satisfaz a propriedade de comparação de triângulos do Teorema 7.30.

Mais ainda, um espaço $\text{CAT}(k)$ com $k < 0$ é δ -hiperbólico por Rips com $\delta = \delta_{M_k^2}$.

Exercício 7.32. Se $k < 0$ então M_k^2 é o plano hiperbólico real \mathbb{H}^2 com métrica reescalada por um fator $\frac{1}{\sqrt{|k|}}$. Prove que, nesse caso,

$$\delta_{M_k^2} = \frac{1}{\sqrt{|k|}} \operatorname{arccosh}(\sqrt{2}).$$

Definição 7.33. Um grupo G é dito $\text{CAT}(k)$ se ele age geometricamente em um espaço métrico $\text{CAT}(k)$.

Um problema que ainda está em aberto é o seguinte: construir um grupo Gromov-hiperbólico (definido no próximo capítulo) que não é $\text{CAT}(-1)$.

Mais detalhes sobre espaços $\text{CAT}(k)$ podem ser encontradas em [BBI22] e [BH13a].

7.2.2 Geometria dos espaços hiperbólicos

Nesta seção listamos algumas propriedades simples, porém bastante úteis, de espaços geodésicos δ -hiperbólicos. Ao final, falaremos do Lema de Morse, que afirma que quasi-geodésicas em um espaço δ -hiperbólico estão uniformemente próximas de geodésicas.

Ao longo da seção assumiremos que X é um espaço métrico, geodésico e δ -hiperbólico.

Lema 7.34 (Propriedade de bígono). Todo par de geodésicas \overline{xy} , \overline{xz} em X com $d(y, z) \leq D$ estão a uma distância de Hausdorff no máximo $D + \delta$. Em particular, se α e β são duas geodésicas ligando dois pontos $x, y \in X$ então $d_{Haus}(\alpha, \beta) \leq \delta$.

Demonstração. Para todo $p \in \overline{xy}$, vale $d(p, \overline{xz}) \leq \delta$ ou $d(p, \overline{yz}) \leq \delta$, já que $\Delta(x, y, z)$ é δ -magro. No primeiro caso, é direto concluir que $d(p, \overline{xz}) \leq D + \delta$. No segundo caso, se $m \in \overline{yz}$ é tal que $d(p, \overline{yz}) = d(p, m)$, então pela desigualdade triangular vale que $d(p, \overline{xz}) \leq d(p, m) + d(m, \overline{xz}) \leq \delta + d(y, z) \leq \delta + D$. Portanto, $d_{Haus}(\overline{xy}, \overline{xz}) \leq D + \delta$. \square

Lema 7.35 (Propriedade de companheiros de viagem). Sejam $\alpha(t)$ e $\beta(t)$ geodésicas parametrizadas por comprimento de arco em X , tais que $\alpha(0) = \beta(0) = p$ e $d(\alpha(t_0), \beta(t_0)) \leq D$ para algum $t_0 \geq 0$. Então, para todo $t \in [0, t_0]$,

$$d(\alpha(t), \beta(t)) \leq 2(D + \delta).$$

Demonstração. Pelo Lema 7.34, para cada $t \in [0, t_0]$ existe $s \in [0, t_0]$ tal que

$$d(\alpha(t), \beta(s)) \leq D + \delta.$$

Aplicando a desigualdade triangular, obtemos

$$s = d(\beta(s), p) \leq d(\alpha(t), \beta(s)) + d(\alpha(t), p),$$

$$t = d(\alpha(t), p) \leq d(\alpha(t), \beta(s)) + d(\beta(s), p).$$

Logo,

$$|t - s| \leq d(\alpha(t), \beta(s)) \leq D + \delta.$$

Portanto,

$$\begin{aligned}
 d(\alpha(t), \beta(t)) &\leq d(\alpha(t), \beta(s)) + d(\beta(s), \beta(t)) \\
 &= d(\alpha(t), \beta(s)) + |t - s| \\
 &\leq 2(D + \delta).
 \end{aligned}$$

□

A noção de triângulos magros se generaliza naturalmente para o conceito de *polígonos magros*. Um n -ágono geodésico P em um espaço métrico X é a concatenação de segmentos geodésicos σ_i , $i = 1, \dots, n$, que conectam pontos p_i , $i = 1, \dots, n$, na ordem cíclica natural. Os pontos p_i são os *vértices* de P e as geodésicas σ_i são os *lados* ou *arestas* de P . Um polígono P é dito δ -magro se todo lado de P estiver contido em uma δ -vizinhança da união dos outros lados.

Exercício 7.36. Mostre que, se X é um espaço métrico, geodésico e δ -hiperbólico, então todo n -ágono em X é $\delta(n-2)$ -magro. *Dica:* Faça uma triangulação de um n -ágono P por $n-3$ diagonais partindo de um mesmo vértice. Em seguida, use indutivamente que triângulos são δ -magros.

Lema 7.37 (Polígonos magros). Para $n \geq 2$, cada $(n+1)$ -ágono geodésico em X é δ_n -magro com $\delta_n = \delta \log_2(n)$.

Demonstração. Mostraremos a estimativa por indução. Defina $m = n + 1$, o número de lados do polígono. Para $m = 3 = 2^1 + 1$, não há o que demonstrar já que o espaço é δ -hiperbólico.

Suponha que $k \geq 1$ e que a estimativa vale para todo polígono com $m \leq (2^k + 1)$ lados. Considere um polígono geodésico P com $m \leq 2^{k+1} + 1$ lados e fixe uma de suas arestas, digamos \overline{xy} . Se m for par, então ainda teremos $m + 1 \leq 2^{k+1} + 1$. Desse modo, ao adicionar um vértice no interior de alguma aresta diferente de \overline{xy} , poderemos reduzir o problema a resolver o caso em que m é ímpar.

Subdividimos P em três polígonos menores, introduzindo as diagonais \overline{xz} e \overline{yz} , onde z é um vértice de P tal que o número de

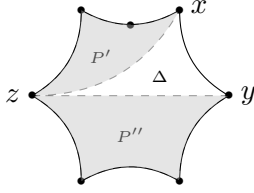


Figura 7.9: Polígonos em espaços hiperbólicos são magros.

arestas entre x e z seja o mesmo que entre y e z , a saber, $\frac{m-1}{2}$. Os polígonos resultantes dessa divisão são dois $\left(\frac{m-1}{2} + 1\right)$ -ágonos P' e P'' e um triângulo $\Delta = \Delta(x, y, z)$, como na Figura 7.9.

Por hipótese de indução, os polígonos P' e P'' são $\delta \log_2\left(\frac{m-1}{2}\right)$ -magros, enquanto o triângulo Δ é δ -magro. Assim, \overline{xy} está contida numa $\delta \log_2\left(\frac{m-1}{2}\right) + \delta = \delta(\log_2\left(\frac{m-1}{2}\right) + \log_2(2)) = \delta \log_2(m-1)$ -vizinhança da união dos outros lados de P , como queríamos demonstrar. \square

Lema 7.38 (Triângulos parecem trípodes). Seja $\Delta = \Delta(a_1, a_2, a_3)$ um triângulo geodésico em X com pontos centrais $a_{ij} \in \overline{a_i a_j}$. Então, para $i, j, k \in \{1, 2, 3\}$, valem:

$$\begin{aligned} d_{Haus}(\overline{a_i a_{ij}}, \overline{a_i a_{ik}}) &\leq 7\delta, \\ d(a_{ij}, a_{jk}) &\leq 6\delta. \end{aligned}$$

Além disso, dadas parametrizações $\alpha_{ji}, \alpha_{jk} : [0, t_j] \rightarrow X$ por comprimento de arco, onde $t_j = d(a_j, a_{ij}) = d(a_j, a_{jk})$, dos segmentos geodésicos $\overline{a_j a_{ji}}$ e $\overline{a_j a_{jk}}$, respectivamente, vale:

$$d(\alpha_{ji}(t), \alpha_{jk}(t)) \leq 14\delta, \text{ para todo } t \in [0, t_j].$$

Demonstração. A geodésica $\overline{a_i a_j}$ pode ser coberta pela união dos fechados $\overline{\mathcal{N}_\delta(\overline{a_i a_k})}$ e $\overline{\mathcal{N}_\delta(\overline{a_j a_k})}$. Portanto, pela conexidade de $\overline{a_i a_j}$, deve existir um ponto p nesse segmento com distância até $\overline{a_i a_k}$ e $\overline{a_j a_k}$ limitada por δ . Sejam $p' \in \overline{a_i a_k}$ e $p'' \in \overline{a_j a_k}$ pontos com distância

menor ou igual que δ de p . Assim, $d(p', p'') \leq 2\delta$. Temos

$$\begin{aligned}
 (a_j, a_k)_{a_i} &= \frac{1}{2}[d(a_j, a_i) + d(a_k, a_i) - d(a_k, a_j)] \\
 &= \frac{1}{2}[d(a_i, p) + d(p, a_j) + d(a_i, p') + \\
 &\quad d(p', a_k) - d(a_j, p'') - d(p'', a_k)] \\
 &\leq \frac{1}{2}[d(a_i, p) + d(p, p'') + d(a_i, p') + d(p', p'')] \\
 &\leq \frac{1}{2}[d(a_i, p) + d(p, p'') + d(a_i, p) + d(p, p') + d(p', p'')] \\
 &\leq \frac{1}{2}[2d(a_i, p) + \delta + \delta + 2\delta] \\
 &= d(a_i, p) + 2\delta.
 \end{aligned}$$

Por outro lado,

$$\begin{aligned}
 d(a_i, p) - (a_j, a_k)_{a_i} &= \frac{1}{2}[2d(a_i, p) + d(a_k, a_j) - d(a_j, a_i) - d(a_k, a_i)] \\
 &= \frac{1}{2}[2d(a_i, p) + d(a_k, p'') + d(p'', a_j) - d(a_j, p) \\
 &\quad - d(p, a_i) - d(a_k, p') - d(p', a_i)] \\
 &\leq 2\delta.
 \end{aligned}$$

Logo,

$$d(p, a_{ij}) = |d(a_i, p) - d(a_i, a_{ij})| = |d(a_i, p) - (a_j, a_k)_{a_i}| \leq 2\delta.$$

Analogamente, $d(a_{ik}, p') \leq 3\delta$, donde segue que $d(a_{ij}, a_{ik}) \leq 6\delta$. Usando o Lema 7.34, concluímos que $d_{Haus}(\overline{a_i a_{ij}}, \overline{a_i a_{ik}}) \leq 7\delta$. Para a última parte, aplicamos o Lema 7.35. \square

Corolário 7.39. A aplicação de colapso $\kappa : \Delta \rightarrow T$, onde Δ é um triângulo e T é uma trípode, como na Figura 7.7, é uma quasi-isometria uniforme.

Demonstração. O mapa κ é sobrejetivo e 1-Lipschitz. Por outro lado, pela parte final do Lema 7.38, obtemos

$$d(x, y) - 14\delta \leq d(\kappa(x), \kappa(y)),$$

para todos $x, y \in T$. Portanto κ é uma $(1, 14\delta)$ -quasi-isometria. \square

Exercício 7.40. Mostre que, com a notação do Lema 7.38, vale $|d(a_k, a_{ij}) - d(a_k, \overline{a_i a_j})| \leq 8\delta$.

Em geral, as projeções ao ponto mais próximo de geodésicas em espaços geodésicos hiperbólicos não estão bem definidas. O seguinte lema mostra, no entanto, que elas são “quasi”-bem definidas.

Lema 7.41 (A projeção é quasi bem-definida). Seja γ uma geodésica em X . Para um ponto $x \in X$, defina $p = \pi_\gamma(x)$ como o ponto de γ mais próximo de x . Tome $p' \in \gamma$ tal que $d(x, p') < d(x, p) + R$. Então,

$$d(p, p') \leq 2(R + 2\delta).$$

Em particular, se $d(p, x) = d(p', x)$ então

$$d(p, p') \leq 4\delta.$$

Demonstração. Considere α, α' geodésicas conectando x a p e p' , respectivamente. Se $d(x, p') \leq R + \delta$, então pela desigualdade triangular, e usando que p é o ponto de γ mais próximo de x , teremos $d(p, p') \leq d(p, x) + d(x, p') \leq 2d(x, p') \leq 2(\delta + R) \leq 2(R + 2\delta)$. Por outro lado, se $d(x, p') > R + \delta$, então existe $q' \in \overline{xp'}$ com $d(p', q') = \delta + R$. Agora, usando que o triângulo geodésico $\Delta(p, p', x)$ é δ -magro, existe algum ponto $q \in \overline{pp'} \cup \overline{px}$ tal que $d(q, q') \leq \delta$. Se $q \in \gamma$ e $q \neq p$, obtemos uma contradição com o fato que p é ponto mais próximo de x . Com efeito,

$$\begin{aligned} d(x, q) &\leq d(q, q') + d(q', x) \\ &= d(q, q') + d(x, p') - d(p', q') \\ &\leq \delta + d(x, p') - d(p', q') \\ &= d(x, p') - R \\ &< d(x, p). \end{aligned}$$

Portanto, $q \in \overline{xp}$, e assim obtemos

$$\begin{aligned} d(x, p') - (R + \delta) &= d(x, q') \\ &\leq d(x, q) + d(q, q') \\ &\leq d(x, p) - d(p, q) + \delta. \end{aligned}$$

Desse modo,

$$d(p, q) \leq d(x, p) - d(x, p') + R + 2\delta \leq R + 2\delta.$$

Além disso, $d(p', q) \leq R + 2\delta$, e portanto $d(p, p') \leq 2(R + 2\delta)$. \square

Lema 7.42 (Divergência exponencial de geodésicas). Se \overline{xy} é uma geodésica em X de comprimento $2r$ e m é o seu ponto médio, então cada caminho ligando x a y fora da bola $B(m, r)$ tem comprimento pelo menos $2^{\frac{r-1}{\delta}}$.

Demonstração. Seja γ um tal caminho de comprimento l . Divida γ em 2^k arcos de comprimentos $\leq \frac{l}{2^k}$, onde $k = \lfloor \log_2 l \rfloor$ é escolhido de modo que $\frac{l}{2^k} \leq 2$.

Sejam $x_0 = x, x_1, \dots, x_{2^k} = y$ os pontos consecutivos em γ que são extremos dos novos segmentos obtidos após a subdivisão. Pelo Lema 7.37, aplicado ao polígono geodésico com esses vértices (que possui portanto $2^k + 1$ lados) tem-se que

$$m \in \mathcal{N}_{k\delta} \left(\bigcup_{i=0}^{n-1} \overline{x_i x_{i+1}} \right).$$

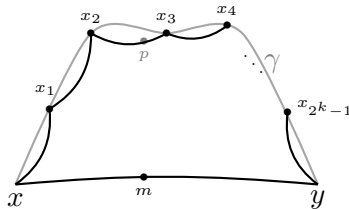


Figura 7.10: Divergência exponencial

Seja p o ponto da curva geodésica por partes $\sigma = \bigcup_{i=0}^{n-1} \overline{x_i x_{i+1}}$ mais próximo de m . Pelo que vimos acima, $d(p, m) \leq k\delta$. Como

$d(x_j, m) \geq r$ para cada $j = 0, \dots, n$ e existe algum índice i_0 para o qual $d(x_{i_0}, p) \leq 1$, obtemos:

$$r \leq d(x_{i_0}, m) \leq d(x_{i_0}, p) + d(p, m) \leq 1 + k\delta.$$

Portanto, $r - 1 \leq \delta \log_2(l)$ e concluímos finalmente que $l \geq 2^{\frac{r-1}{\delta}}$. \square

Apresentamos a seguir uma sequência de lemas que serão úteis na demonstração do Lema de Morse, ou Teorema de estabilidade de geodésicas, que é o principal objetivo desta seção. A demonstração desses lemas é deixada como exercício ao leitor, e sugerimos que sejam utilizados os lemas anteriores.

Lema 7.43. Seja $S(a, r)$ uma esfera em X . Tome $x, y \in S(a, r)$, tais que $d(x, y) = 2r$. Então cada caminho ligando x a y fora da bola $\overline{B(a, r)}$ tem comprimento pelo menos $2^{\frac{r-1}{\delta}-6} - 12\delta$.

Lema 7.44. Seja $S(a, r_1 + r_2)$ uma esfera em X . Tome dois pontos $x, y \in S(a, r_1 + r_2)$ de modo que existam duas geodésicas $\overline{x\bar{a}}$ e $\overline{y\bar{a}}$ cruzando a esfera $S(a, r_1)$ em dois pontos x_0, y_0 a uma distância de pelo menos 7δ . Então cada caminho ligando x a y fora da bola $\overline{B(a, r_1 + r_2)}$ tem comprimento pelo menos $2^{\frac{r_2-1}{\delta}-7} - 14\delta$.

Exercício 7.45. Demonstre os Lemas 7.43 e 7.44.

Finalmente, chegamos ao enunciado do Lema de Morse.

Teorema 7.46 (Lema de Morse). *Considere constantes $\lambda \geq 1$ e $\delta, \varepsilon \geq 0$. Sejam X um espaço δ -hiperbólico, c uma (λ, ε) -quasi-geodésica e γ uma geodésica ligando os pontos finais de c . Então a distância de Hausdorff entre c e γ é limitada por uma constante $R = R(\lambda, \varepsilon, \delta)$.*

Observação 7.47. O resultado não é verdadeiro de maneira geral para espaços CAT(0), não valendo por exemplo em \mathbb{R}^2 .

Corolário 7.48. A hiperbolicidade de Rips é um invariante por quasi-isometrias.

Demonstração. De fato, sejam $X \stackrel{QI}{\simeq} X'$, onde X é δ -hiperbólico. Dados pontos $a, b, c \in X'$ e uma (L, A) -quasi-isometria $f : X' \rightarrow X$, como X é δ -hiperbólico, o triângulo $\Delta(f(a), f(b), f(c))$ é δ -magro e, pelo Lema de Morse, obtemos que $f(\Delta(a, b, c))$ é um triângulo quasi-geodésico $(2R + \delta)$ -magro. Portanto, $\Delta(a, b, c)$ é $(L(2R + \delta) + A)$ -magro e concluímos com isso que X' é $(L(2R + \delta) + A)$ -hiperbólico por Rips. \square

Para provar o Lema de Morse, usaremos o seguinte resultado:

Lema 7.49. Sejam X um espaço métrico geodésico e $c : [a, b] \rightarrow X$ uma (λ, ε) -quasi-geodésica. Então existe $c' : [a, b] \rightarrow X$, uma (λ', ε') -quasi-geodésica, com as seguintes propriedades:

- (1) $c'(a) = c(a)$, $c'(b) = c(b)$;
- (2) $\varepsilon' = 2(\lambda + \varepsilon)$;
- (3) $\ell(c'|_{[t, t']}) \leq K_1(d(c'(t), c'(t'))) + K_2$, para quaisquer $t, t' \in [a, b]$, onde $K_1 = \lambda(\lambda + \varepsilon)$ e $K_2 = (\lambda\varepsilon' + 3)(\lambda + \varepsilon)$;
- (4) $d_{Haus}(c, c') \leq \lambda + \varepsilon$, onde c, c' são as imagens de c e c' , respectivamente.

Exercício 7.50. O objetivo desse exercício é provar o Lema 7.49. Definiremos c' da seguinte forma: considere o conjunto $\Sigma := \{a, b\} \cup (\mathbb{Z} \cap (a, b))$. Para cada $t \in \Sigma$, ponha $c'(t) = c(t)$. Para cada subintervalo $(t_i, t_{i+1}) \subset [a, b]$ com extremos em Σ , escreva uma reparametrização $\gamma_i(s)$ da geodésica que liga $c(t_i)$ a $c(t_{i+1})$ nesse intervalo, e defina $c'(s)$ como $\gamma_i(s)$. Prove que a quasi-geodésica c' assim definida satisfaz as propriedades (1) a (4).

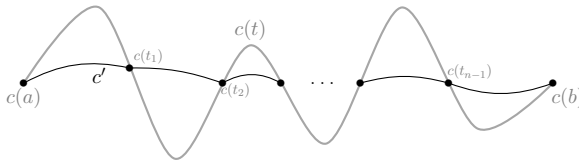


Figura 7.11: Exercício 7.50

Demonstração do Teorema 7.46. Substitua c por uma quasi-geodésica c' com as propriedades do Lema 7.49. Sejam $p = c(a)$ e $q = c(b)$.

Defina $D = \sup\{d(x, e') \mid x \in \overline{pq}\}$ e tome um ponto $x_0 \in \overline{pq}$ com $d(x, e') = D$. Escolha $y \in \overline{px_0} \subset \overline{pq}$ tal que $d(y, x_0) = 2D$ ou, caso $d(p, x_0) \leq 2D$, tome $y = p$. De maneira análoga, escolha um ponto $z \in \overline{x_0q}$.

Tome pontos $y', z' \in e' := \text{imagem}(c')$ tais que $d(y, y') \leq D$ e $d(z, z') \leq D$. O caminho σ formado pela concatenação da geodésica $\overline{yy'}$ com a parte de c' entre y' e z' e finalmente com a geodésica $\overline{z'z}$ está fora da bola $B(x_0, D)$. Usando o Lema 7.49 e o Lema 7.37, obtemos:

$$\begin{aligned} \ell(\sigma) &\leq 6DK_1 + K_2 + 2D; \\ d(x_0, \text{imagem}(\sigma)) = D &\leq \delta |\log_2(\ell(\sigma))| + 1. \end{aligned}$$

Assim,

$$D - 1 \leq \delta \log_2(6DK_1 + K_2 + 2D),$$

e portanto $D \leq D_0 = D_0(\lambda, \varepsilon, \delta)$, pois funções lineares crescem mais rápido que \log_2 .

Por fim, $\text{imagem}(c') \subset \mathcal{N}_{R'}(\overline{pq})$, com $R' = D_0(1 + K_1) + \frac{K_2}{2}$ e podemos tomar $R = R' + \lambda + \varepsilon$, usando o Lema 7.49. \square

Observação 7.51. A primeira versão desse teorema foi provada por Morse em [Mor24], para o seguinte contexto: considere uma superfície compacta S munida de duas métricas Riemannianas g_1, g_2 de curvatura negativa. Levantando essas métricas ao recobrimento universal de S , obtém-se que cada geodésica com respeito ao levantamento \tilde{g}_1 de g_1 é uma quasi-geodésica (uniforme) com respeito ao levantamento \tilde{g}_2 de g_2 . Morse provou que todas as geodésicas com respeito a \tilde{g}_1 são uniformemente próximas das geodésicas com respeito a \tilde{g}_2 , desde que seus pontos extremos sejam os mesmos. Mais tarde, Busemann mostrou em [Bus66] uma versão desse lema no caso de \mathbb{H}^n , onde a métrica g_2 não precisava ser Riemanniana. Uma versão em termos de quasi-geodesicas é devida a Mostow ([Mos73]), para o caso de espaços simétricos de curvatura negativa. A primeira

prova para o caso de espaços métricos geodésicos δ -hiperbólicos em geral foi feita por Gromov em [Gro87]. Em [DK18], são apresentadas duas demonstrações do Lema de Morse, uma delas usando o conceito de ultrafiltros e outra parecida com a versão apresentada nesta seção, na qual são tornadas explícitas estimativas para os valores de R e R' , em termos de λ, ε e δ .

7.2.3 Quasi-convexidade

Em um espaço métrico (X, d) , diremos que um ponto b está entre a e c se $d(a, b) + d(b, c) = d(a, c)$. Denotamos por $I(a, c)$ o subconjunto de pontos de X que estão entre a e c , e chamamos esse conjunto de *intervalo* entre a e c . Um subconjunto $Y \subset X$ é dito *convexo* se, para todos $a, b \in Y$, o intervalo $I(a, b)$ está contido em Y . Observamos que a noção de convexidade métrica não é equivalente à noção usual de convexidade em espaços euclidianos ou variedades riemannianas.

O *fecho convexo* de um subconjunto $Y \subset X$ é a interseção de todos os subconjuntos convexos de X que contém Y . Existem exemplos de espaços δ -hiperbólicos que são o fecho convexo de um número finito de seus pontos. Logo, a noção de fecho convexo particularmente não é muito útil no caso de espaços métricos geodésicos hiperbólicos. Nesse contexto, essa noção é substituída pela noção de *quasi-convexidade*.

Definição 7.52. Seja X um espaço métrico geodésico e $Y \subset X$. Então o *fecho quasi-convexo* $H(Y)$ de Y em X é a união de todas as geodésicas $\overline{y_1 y_2} \subset X$, com pontos extremos y_1, y_2 contidos em Y . Consequentemente, um subconjunto Y de X é chamado *R -quasi-convexo* se $H(Y) \subset \overline{N_R(Y)}$. Um subconjunto $Y \subset X$ é chamado *quasi-convexo* se for R -quasi-convexo para algum $R < \infty$.

Exercício 7.53. Seja X um espaço métrico δ -hiperbólico e geodésico. Mostre que:

- (a) qualquer bola $B(x, R) \subset X$ é δ -quasi-convexa;
- (b) se $Y_i \subset X$ são subconjuntos R_i -quasi-convexos, para $i = 1, 2$, e $Y_1 \cap Y_2 \neq \emptyset$, então $Y_1 \cup Y_2$ é $(R_1 + R_2 + \delta)$ -quasi-convexo

(observe a diferença com respeito à convexidade — a união de dois subconjuntos convexos não precisa ser convexa);

- (c) qualquer que seja o subconjunto $Y \subset X$, seu fecho quasi-convexo $H(Y)$ é 2δ -quasi-convexo.

Exemplo 7.54. Um exemplo importante de conjuntos que não são quasi-convexos em \mathbb{H}^n são as horoesferas. O fecho quasi-convexo de uma horoesfera S é a horobola limitada por S .

Teorema 7.55 (Bowditch). *Sejam X, Y espaços métricos geodésicos, onde X é δ -hiperbólico. Então, para cada mergulho quasi-isométrico $f : Y \rightarrow X$, a imagem $f(Y)$ é quasi-convexa em X .*

Demonstração. Sejam $y_1, y_2 \in Y$ e considere uma geodésica $\alpha = \overline{y_1 y_2}$. Dada uma (L, A) -quasi-isometria $f : Y \rightarrow X$, a curva $\beta = f(\alpha)$ é uma (L, A) -quasi-geodésica em X . Pelo Lema de Morse,

$$d_{Haus}(\beta, \beta^*) \leq R = R(L, A, \delta),$$

onde $\beta^* = \overline{f(y_1)f(y_2)}$ é geodésica em X . Assim, $\beta^* \subset \mathcal{N}_R(f(Y))$ e portanto $f(Y)$ é quasi-convexo. \square

A seguir, mostraremos uma “recíproca” para o teorema anterior, também devida a Bowditch.

Definição 7.56. Um espaço métrico (X, d) é dito *grosseiramente conectado* se existe um número real c tal que, para cada par $x, y \in X$, existe uma sequência finita de pontos $x_i \in X$, onde $x_0 = x, x_n = y$ e $d(x_i, x_{i+1}) \leq c$ para cada $i = 0, \dots, n$.

Dado um espaço métrico (Y, d_Y) , denote por $d_{Y,C}$ uma nova métrica em Y dada pelo ínfimo dos comprimentos de caminhos c -grosseiros que conectam pontos de Y .

Teorema 7.57. *Suponha que $Y \subset X$ seja c -grosseiramente conectado e que Y seja quasi-convexo em X . Então o mapa identidade $f : (Y, d_{Y,C}) \rightarrow (X, d_X)$ é um mergulho quasi-isométrico para todo $C \geq 2c + 1$.*

Demonstração. Seja $C > 0$ um número real tal que o fecho quasi-convexo de Y , $H(Y)$, esteja contido em $\mathcal{N}_C(Y)$. Se $d_Y(y, y') \leq C$, então também vale $d_X(y, y') \leq C$.

Tome y, y' pontos de Y e γ uma geodésica em X de comprimento L que conecta y a y' . Subdividindo γ em $n = \lfloor L \rfloor$ segmentos de comprimento 1 e mais um segmento de comprimento $L - n$, obtemos pontos $z_0 = y, z_1, z_2, \dots, z_{n+1} = y'$.

Como cada $z_i \in \mathcal{N}_c(Y)$, devem existir pontos $y_i \in Y$, com $d_X(y_i, z_i)$ tais que $d_X(y_i, z_i) \leq c$, onde $y_0 = z_0$ e $y_{n+1} = z_{n+1}$.

Então $d_X(z_1, z_{i+1}) \leq 2c + 1$. Logo, concluímos que

$$d_{Y,c}(y, y') \leq C(n + 1) \leq Cd_x(y, y') + C.$$

□

A noção de quasi-convexidade tem várias aplicações no estudo de grupos finitamente gerados. Como um primeiro exemplo, temos o seguinte resultado:

Teorema 7.58. *Suponha que G é um grupo finitamente gerado por um conjunto S e que H é um subgrupo R -quasi-convexo de G . Então H é finitamente gerado e a inclusão $H \hookrightarrow G$ é um mergulho quasi-isométrico.*

Demonstração. Seja S' o conjunto dos elementos de H que distam no máximo $2R + 1$ da identidade e em $\text{Cay}(G, S)$.

Suponha que ρ é um caminho geodésico em $\text{Cay}(G, S)$ ligando 1 a um elemento h de H . Vamos inserir desvios no caminho ρ da seguinte forma: ao chegar em cada vértice, viaje por uma geodésica para um elemento de H mais próximo e depois volte. Pela quasi-convexidade de H , cada desvio tem distancia no máximo R . Então esse novo caminho é a concatenação de, no máximo, $d_S(1, h)$ caminhos, cada um dos quais viajando entre elementos de H e com comprimento $\leq 2R + 1$. Isso implica que S' gera H e além disso que $H \hookrightarrow G$ é um mergulho quasi-isométrico, pois:

$$\frac{1}{2R + 1} d_S(1, h) \leq d_{S'}(1, h) \leq d_S(1, h).$$

□

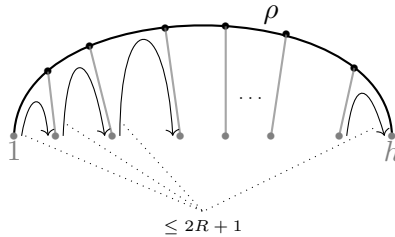


Figura 7.12: Teorema 7.58 – pontos em cinza são pontos de H .

7.3 Fronteiras ideais

A todo espaço métrico Gromov-hiperbólico X pode-se associar sua *fronteira ideal* $\partial_\infty X$. Essa fronteira se mostrou uma ferramenta extremamente útil e fundamental para o estudo de espaços hiperbólicos em geral, e especialmente de grupos hiperbólicos, assunto que será discutido no próximo capítulo. A fronteira ideal tem uma estrutura rica (topológica, dinâmica, métrica, quasi-conforme e algébrica) com vasta aplicabilidade. Nesta seção, apresentaremos três definições de fronteira ideal de um espaço métrico X , as quais são equivalentes se X for geodésico, próprio e δ -hiperbólico.

Se X é um espaço métrico geodésico, dois raios geodésicos $\rho_1, \rho_2 : [0, \infty) \rightarrow X$ em X são ditos *assintóticos* se suas imagens estão a uma distância de Hausdorff finita ou, equivalentemente, se

$$\sup_{t \in [0, \infty)} d(\rho_1(t), \rho_2(t)) < \infty.$$

Podemos assim definir uma relação de equivalência no conjunto de todos os raios geodésicos em X , dizendo que dois raios são equivalentes se, e somente se, eles forem assintóticos. Denotamos por $\rho(\infty)$ a classe de equivalência de um raio ρ , isto é, o conjunto de todos os raios geodésicos em X que são assintóticos a ρ .

Definição 7.59. A *fronteira ideal* de um espaço métrico geodésico X é a coleção $\partial_\infty X$ de todas classes de equivalência de raios geodésicos via a relação de equivalência definida acima.

Um segundo modelo para a fronteira ideal é o conjunto $\partial_\infty^x(X)$, das classes de equivalência de raios geodésicos em X que começam num ponto base x . Os lemas a seguir mostram que, se X é também um espaço próprio e hiperbólico, então as duas definições são equivalentes. Nesse caso, denotaremos também $\partial_\infty^x(X)$ por $\partial_\infty X$, já que esse conjunto não dependerá do ponto x fixado inicialmente.

Lema 7.60. Seja X um espaço métrico próprio, geodésico e δ -hiperbólico. Para cada $x \in X$ e cada $\xi \in \partial_\infty X$, existe um raio geodésico $\rho : [0, \infty) \rightarrow X$ tal que $\rho(0) = x$ e $\rho(\infty) = \xi$.

Demonstração. Seja ρ' um raio geodésico com $\rho'(\infty) = \xi$. Considere a sequência de segmentos geodésicos $\rho_n : [0, d(x, \rho'(n))] \rightarrow X$, conectando x a $\rho'(n)$. A δ -hiperbolicidade de X implica que a imagem de ρ_n está a uma distância de Hausdorff de no máximo $\delta + d(x, \rho'(0))$ de $\rho'|_{[0, n]}$. Pelo teorema de Arzela–Ascoli, passando a uma subsequência se necessário, ρ_n converge a um raio ρ , tal que $\rho(0) = x$. Como cada ρ está a uma distância de Hausdorff de no máximo $\delta + d(x, \rho'(0))$ de $\rho'|_{[0, n]}$, segue que ρ está a uma distância de Hausdorff de no máximo $\delta + d(x, \rho'(0))$ de ρ' . Em particular, ρ e ρ' são assintóticos. \square

O lema a seguir é uma generalização da propriedade de “companheiros de viagem” das geodésicas (Lema 7.35).

Lema 7.61 (Raios assintóticos estão uniformemente próximos). Sejam ρ_1 e ρ_2 raios geodésicos assintóticos em um espaço métrico próprio, geodésico e δ -hiperbólico X , tais que $\rho_1(0) = \rho_2(0) = x$. Então, para cada $t > 0$,

$$d(\rho_1(t), \rho_2(t)) \leq 2\delta.$$

Demonstração. Dado $t \in [0, \infty)$ escolha $t_0 \gg t$. Uma vez que os raios são assintóticos, deve existir $C > 0$ tal que $d_{Haus}(\rho_1, \rho_2) \leq C$ e, portanto, existe $t_1 > 0$ com $d(\rho_1(t_0), \rho_2(t_1)) \leq C$. Sendo X um espaço δ -hiperbólico, o triângulo $\Delta(x, \rho_1(t_0), \rho_2(t_1))$ é δ -magro,

donde concluimos que deve existir um ponto m em um dos segmentos geodésicos $\overline{x\rho_2(t_1)}$ ou $\overline{\rho_1(t_0)\rho_2(t_1)}$ com $d(\rho_1(t), m) \leq \delta$. Como o comprimento de $\overline{\rho_1(t_0)\rho_2(t_1)}$ é menor ou igual que C e t_0 é muito maior que t , o ponto m pertence $\overline{x\rho_2(t_1)}$ e então existe $t' > 0$ tal que $d(\rho_1(t), \rho_2(t')) \leq \delta$. Pela desigualdade triangular, vale $|t - t'| \leq \delta$, e portanto obtemos $d(\rho_1(t), \rho_2(t)) \leq 2\delta$. \square

Um terceiro modelo para a fronteira ideal de X é obtido através da convergência no infinito de seqüências de X . Fixado um ponto base $p \in X$ em um espaço métrico hiperbólico (X, d) , dizemos que uma seqüência $(x_n)_{n \geq 1}$ de pontos de X converge para infinito se

$$\liminf_{i,j \rightarrow \infty} (x_i, x_j)_p = \infty.$$

Diremos que duas seqüências (x_n) e (y_n) que convergem para infinito são equivalentes, escrevendo $(x_n) \sim (y_n)$, se

$$\liminf_{i,j \rightarrow \infty} (x_i, y_j)_p = \infty.$$

A relação \sim é uma relação de equivalência no conjunto de seqüências que convergem para infinito. Vamos denotar por $[(x_n)]$ a classe de equivalência de uma seqüência (x_n) nesse conjunto.

Exercício 7.62. Verifique que a noção de convergência de seqüências para o infinito e a noção de seqüências equivalentes via \sim não dependem da escolha do ponto base p .

Exercício 7.63. Mostre que \sim não é uma relação de equivalência no conjunto de seqüências que convergem para infinito em $X = \mathbb{R}^2$.

Definição 7.64. Seja (X, d) um espaço métrico δ -hiperbólico. A fronteira seqüencial de X é o conjunto $\partial_s(X)$ das classes de equivalência de seqüências que convergem ao infinito pela relação \sim acima.

Proposição 7.65. Seja (X, d) um espaço métrico geodésico próprio δ -hiperbólico e $p \in X$ um ponto-base. Então existem bijeções naturais entre os conjuntos $\partial_\infty(X)$, $\partial_\infty^p(X)$ e $\partial_s(X)$.

Demonstração. Se ρ é um raio geodésico em X começando em p , então $\rho(\infty)$ pertence a ambos $\partial_\infty(X)$ e $\partial_\infty^p(X)$. A inclusão é portanto um mapa injetivo natural de $\partial_\infty^p(X)$ para $\partial_\infty(X)$. Pelos Lemas 7.60 e 7.61, esse mapa é também sobrejetivo.

Agora, se ρ é um raio geodésico em X , o qual podemos supor parametrizado por comprimento de arco, então a sequência $\rho(n)$ converge para infinito. Escrevendo $i(\rho(\infty)) := [(\rho(n))_{n \geq 1}]$, obtemos um mapa natural $i : \partial_\infty X \rightarrow \partial_s X$. Para verificar que esse mapa está bem-definido, dados dois raios geodésicos parametrizados por comprimento de arco ρ, γ , com $\rho(\infty) = \gamma(\infty)$, mostremos que $[(\rho(i))_{i \geq 1}] = [(\gamma(j))_{j \geq 1}]$. Tomamos como ponto base, por exemplo, $p = \rho(0)$ e aplicamos a desigualdade triangular ao produto de Gromov das sequências $x_i = \rho(i)$ e $y_j = \gamma(j)$:

$$\begin{aligned} (x_i, y_j)_p &= \frac{1}{2} (d(p, \rho(i)) + d(p, \gamma(j)) - d(\rho(i), \gamma(j))) \\ &\geq \frac{1}{2} (i - d(p, \gamma(0)) + j - d(\rho(i), \rho(j)) - d(\rho(j), \gamma(j))) \\ &\geq \frac{1}{2} (i + j - |i - j| - 2C), \end{aligned}$$

onde $C = \sup_{t \geq 0} d(\rho(t), \gamma(t))$. Desse modo, $[(x_i)] = [(y_j)]$, como queríamos demonstrar. Deixamos como exercício verificar que i é um mapa injetivo.

Por outro lado, seja $(x_i)_{i \geq 1}$ uma sequência de X que converge ao infinito, para um ponto $\xi = [(x_i)] \in \partial_s X$. Para cada $i \geq 1$, escolhamos um segmento geodésico $[x_0, x_i]$ de um ponto base x_0 até x_i . Novamente usando o teorema de Arzela–Ascoli, mostramos como no Lema 7.60 que existe uma subsequência $(y_i)_{i \geq 1}$ de $(x_i)_{i \geq 1}$ tal que os segmentos $[x_0, y_i]$ convergem a um raio ρ . Temos portanto que o mapa i é sobrejetivo, pois $i(\rho(\infty)) = [(x_i)]$. \square

Definição 7.66. Identificamos a partir de agora os três modelos descritos acima como um único conjunto, que chamaremos de *bordo* ou *fronteira* de um espaço geodésico próprio δ -hiperbólico X , e denotaremos apenas por ∂X .

Cada modelo tem suas vantagens. Por exemplo, após inserir uma topologia em ∂X , de modo que os mapas acima sejam homeomorfismos, para mostrar que esse conjunto é compacto, usaremos o modelo $\partial_\infty X$. O modelo $\partial_s X$ tem a vantagem de fazer sentido mesmo que X não seja geodésico ou próprio. Por fim, existem outras maneiras equivalentes de definir a fronteira ideal de um espaço X . Alguns exemplos podem ser encontrados em [GdlH13] e nas referências lá mencionadas.

Exercício 7.67. A fronteira de um espaço hiperbólico X é claramente vazia se X possui diâmetro finito. Mostre que a recíproca vale se X for geodésico e próprio. Para o caso de espaços não-próprios, note o que acontece com o espaço 0-hiperbólico não localmente compacto obtido ao munir da métrica canônica de árvores a união sobre $n \in \mathbb{N}$ dos segmentos da forma $[0, ne^{i\frac{\pi}{n}}]$ do plano complexo.

7.3.1 A fronteira ideal enquanto espaço topológico

Nesta seção, a menos de menção contrária, $X = (X, d)$ denotará um espaço métrico próprio, geodésico e δ -hiperbólico. Considere o espaço $R([0, \infty), X)$ dos raios geodésicos parametrizados por comprimento de arco em X , visto como subespaço de $C([0, \infty), X)$, munido da topologia compacto-aberta ou, equivalentemente, a topologia da convergência uniforme sobre compactos. Podemos introduzir naturalmente a topologia quociente τ em ∂X .

Lema 7.68. 1. A fronteira ideal ∂X , munida da topologia τ é compacta.

2. Para todos $\xi \neq \eta \in \partial X$ existe uma geodésica completa em X que é assintótica a ambos ξ e η .

Demonstração. 1. Pelo teorema de Arzela–Ascoli, o espaço dos raios geodésicos partindo de $p \in X$ é compacto. Com isso, ∂X será compacto quando munido da topologia quociente.

2. Dados $\xi \neq \eta \in \partial X$, considere raios geodésicos ρ, ρ' tais que $\rho(0) = \rho'(0) = p \in X$, $\rho(\infty) = \xi$ e $\rho'(\infty) = \eta$.

Como $\xi \neq \eta$, obtemos, para cada $R > 0$, que o conjunto

$$K(R) := \{x \in X \mid d(x, \rho) \leq R, d(x, \rho') \leq R\}$$

é compacto. Considere as sequências $x_n = \rho(n)$ e $x'_n = \rho'(n)$ em X . Para cada $n \in \mathbb{N}$, o triângulo $\Delta(x_n, x'_n, p)$ é δ -magro, e portanto $\gamma_n \cap K(\delta) \neq \emptyset$, onde $\gamma_n = \overline{x_n x'_n}$.

Novamente, usamos o teorema de Arzela–Ascoli para concluir que a sequência de segmentos geodésicos γ_n converge para uma geodésica completa γ em X que, por construção, está contida em $\mathcal{N}_\delta(\rho \cup \rho')$. A geodésica γ é assintótica a ξ e a η , como queríamos. □

Topologia da sombra em $X \cup \partial X$

Vamos estender a topologia τ definida em ∂X a uma topologia na união $\bar{X} = X \cup \partial X$. A ideia é que \bar{X} seja uma compactificação natural de X pela união com sua fronteira ideal. (Compare com o espaço de fins considerado na Seção 5.1.3.)

Dados um ponto base $x \in X$ e um número $k \geq 3\delta$, podemos definir uma nova topologia $\tau_{x,k}$ em \bar{X} , onde a base de vizinhanças de um ponto $a \in X$ consiste das bolas abertas $B(a, r)$, enquanto a base de vizinhanças de um ponto $\xi = \rho(\infty)$, onde $\rho(0) = x$, é dada pelos conjuntos $\mathcal{U}_y(\xi) = \mathcal{U}_{k,x,y}(\xi)$, onde $y = \rho(t)$, com $t \in [0, \infty)$, definidos por:

$$\mathcal{U}_y(\xi) = \{z \in \bar{X} \mid \text{para cada segmento ou raio geodésico } \overline{xz}, \\ \overline{xz} \cap B(y, k) \neq \emptyset\}.$$

Exercício 7.69. Fixados um ponto base $x \in X$ e um número $k \geq 3\delta$, mostre que $\mathcal{B}_{x,k} := \{\mathcal{U}_y(\xi) \mid \xi = \rho(\infty) \in \partial X, y = \rho(t), t \geq 0\} \cup \{B(a, r) \mid a \in X, r > 0\}$ forma uma base para uma topologia em \bar{X} , a qual denotaremos por $\tau_{x,k}$.

Definição 7.70. A topologia $\tau_{x,k}$ em \bar{X} é chamada *topologia da sombra*.

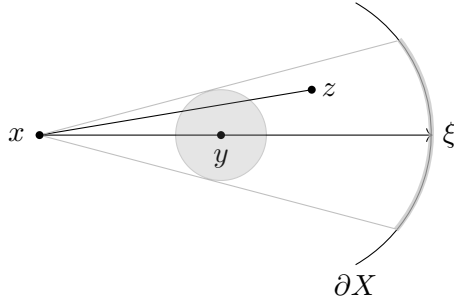


Figura 7.13: Topologia da sombra em \bar{X} .

Exercício 7.71. Se $X = \mathbb{H}^n$, então ∂X é homeomorfo a \mathbb{S}^{n-1} .

Proposição 7.72. Com respeito à topologia $\tau_{x,k}$ definida acima temos:

- (1) X é um aberto denso de \bar{X} ;
- (2) \bar{X} é um espaço primeiro contável;
- (3) \bar{X} é Hausdorff.

Demonstração. 1. O fato de que X é aberto segue diretamente da definição da topologia. A densidade de X segue do fato que, para cada $\xi = \rho(\infty) \in \partial X$, a sequência $(\rho(n))_{n \in \mathbb{N}}$ converge para ξ .

2. Pontos de X claramente possuem base enumerável de vizinhanças. Para os pontos $\xi = \rho(\infty) \in \partial X$, os conjuntos $U_{\rho(n)}$ com $n \in \mathbb{N}$ formam uma base de vizinhanças de ξ , já que para todo $t > 0$, $U_{\rho(t_0)} \subset U_{\rho(t)}$ sempre que $t_0 \leq t + k + \delta$. Esse fato segue da δ -hiperbolicidade de X .

3. Vamos verificar que dois pontos distintos $\xi_1 = \rho_1(\infty)$ e $\xi_2 = \rho_2(\infty) \in \partial X$ possuem vizinhanças disjuntas (o caso de pontos em X é direto, e o caso de um ponto em X e outro em ∂X é deixado como exercício ao leitor). Como os raios geodésicos ρ_1 e ρ_2 não são assintóticos, devem existir pontos $y_i = \rho_i(t_i)$ tais

que $\text{dist}(y_i, \rho_j) > k + \delta$ para $i \neq j \in 1, 2$. Afirmamos que as vizinhanças básicas U_{y_1} e U_{y_2} são disjuntas. Caso contrário, supondo que exista $u \in U_{y_1} \cap U_{y_2}$, deveria existir $z \in \overline{xu} \cap B(y_2, k)$ e uma geodésica \overline{xz} a qual intersecta $B(y_1, k)$. Como o triângulo $\Delta(x, y_2, z)$ é δ -magro, segue que o ponto z está a uma distância menor do que δ do segmento $\overline{xy_2}$. No entanto, isso contradiz a hipótese de que a distância mínima de y_1 a ρ_2 é maior do que $k + \delta$. Trocando os papéis dos pontos y_1 e y_2 , concluímos que $U_{y_1} \cap U_{y_2} = \emptyset$. □

Chamaremos de $G_x([0, \infty), X)$ o conjunto das geodésicas finitas ou infinitas em X que partem do ponto x (aqui estamos considerando todas as geodésicas γ definidas no intervalo $[0, \infty)$, pondo $\gamma(t) = y$, para todo $t \geq t_0$ se γ for uma geodésica finita em X ligando x a y). Munido da topologia compacto-aberta, $G_x([0, \infty), X)$ é compacto e Hausdorff. Podemos definir um mapa natural

$$\varepsilon : G_x([0, \infty), X) \rightarrow \bar{X},$$

dado por $\varepsilon(\overline{xy}) = y$ com $y \in \bar{X}$.

Exercício 7.73. Mostre que o mapa ε definido acima é contínuo, se $G_x([0, \infty), X)$ está munido da topologia compacto-aberta e \bar{X} está munido da topologia $\tau_{x,k}$ para algum $k \geq 3\delta$.

Da continuidade da função ε , segue que $(\bar{X}, \tau_{x,k})$ é também compacto e, como X é um aberto denso em \bar{X} , concluímos que com essa topologia, \bar{X} é uma compactificação de X .

É possível mostrar que a topologia da sombra $\tau_{x,k}$ em \bar{X} não depende do ponto base $x \in X$, nem do valor de $k \geq 3\delta$ e também é independente da escolha do raio geodésico ρ usado na definição da base de vizinhanças de um ponto $\xi \in \partial X$. Além disso, quando olhamos a topologia induzida por $\tau_{x,k}$ na fronteira ∂X , ela coincide com a topologia quociente τ discutida no início da seção:

Proposição 7.74. Dados $x \in X$ e $k \geq 3\delta$, as topologias τ e $\tau_{x,k}$ coincidem em ∂X .

Demonstração. Tome $\xi \in \partial X$ e fixe um raio geodésico ρ tal que $\rho(0) = x$ e $\xi = \rho(\infty)$. Seja $\{\rho_j\}$ uma sequência de raios geodésicos infinitos com $\rho_j(0) = x$ e tal que $\rho_j(\infty) \notin \mathcal{U}_y(\xi)$, para algum $y = \rho(n)$. Se $\gamma = \lim_{j \rightarrow \infty} (\rho_j)$, então $\gamma \notin \mathcal{U}_y(\xi)$ e assim, pelo Lema 7.61, segue que $\gamma(\infty) \neq \rho(\infty)$.

Reciprocamente, se para todo j suficientemente grande tem-se $\rho_j \in \mathcal{U}_y(\xi)$, então a sequência (ρ_j) converge a um raio $\rho' \in \mathcal{U}_{k,n,y}$, para todos $k, n, y = \rho(n)$, e portanto $\gamma(\infty) = \rho(\infty)$. \square

A topologia definida acima funciona bem em espaços métricos geodésicos. Gromov estendeu esta ideia para espaços métricos próprios e δ -hiperbólicos arbitrários, a partir de sequências. Em [GdlH13], Ghys e de la Harpe mostram que essa topologia na fronteira de X é metrizável, e portanto $(\partial X, \tau)$ pode também ser pensado do ponto de vista de espaço métrico.

Teorema 7.75. *Sejam X, X' espaços geodésicos, próprios e hiperbólicos. Se $f : X \rightarrow X'$ é um mergulho quasi-isométrico, então o mapa $\rho(\infty) \rightarrow (f \circ \rho)(\infty)$ define um mergulho topológico $f_\partial : \partial_\infty X \rightarrow \partial_\infty X'$. Se f for uma quasi-isometria, então f_∂ será um homeomorfismo.*

Demonstração. Suponhamos que $f : X \rightarrow X'$ é um (λ, ε) -mergulho quasi-isométrico. Dado $p \in X$, denote por p' o ponto $f(p) \in X'$.

Se $\rho_1, \rho_2 : [0, \infty) \rightarrow X$ são raios geodésicos com $\rho_i(0) = p$, então cada $f \circ \rho_i$ é uma (λ, ε) -quasi-geodésica com $f \circ \rho_i(0) = p'$. Esses raios quasi-geodésicos são assintóticos se, e somente se, ρ_1 e ρ_2 são assintóticos. Assim, f_∂ está bem-definida e é injetiva. Usando a definição da topologia em $\partial_\infty X$, podemos também verificar que f_∂ é contínua.

Por fim, se $f : X \rightarrow X'$ é uma quasi-isometria, então ela possui um quasi-inverso $f' : X' \rightarrow X$, e como $d(f'f(x), x)$ é limitada para $x \in X$, segue que $(f'f)_\partial = f'_\partial f_\partial$ é a função identidade em $\partial_\infty X$. Portanto, f_∂ é um homeomorfismo. \square

Exercício 7.76. Verifique que o mapa f_∂ definido acima é contínuo.

Corolário 7.77. Os espaços hiperbólicos reais \mathbb{H}^n e \mathbb{H}^m são quasi-isométricos se, e somente se, $m = n$.

Topologia do cone

Ainda em $\bar{X} = X \cup \partial X$, vamos definir uma topologia tal que a topologia induzida em X seja sua topologia métrica original. Essa topologia não é equivalente à topologia $\tau_{x,k}$ vista na seção anterior: com poucas exceções, ∂X é em geral não compacto com respeito à topologia do cone.

Definição 7.78. Dizemos que uma sequência $x_n \in X$ converge a $\xi = \rho(\infty) \in \partial_\infty X$ na *topologia do cone* se existir uma constante $C > 0$ tal que $x_n \in \mathcal{N}_C(\rho)$ e a sequência de segmentos geodésicos $\overline{x_1 x_n}$ converge para um raio assintótico a ρ .

Exercício 7.79. Se uma sequência (x_i) converge para $\xi \in \partial X$ na topologia do cone, então ela também converge para ξ na topologia $\tau_{x,k}$ em \bar{X} .

Exemplo 7.80. Considere $X = \mathbb{H}^n$ no modelo do semiespaço superior. Tome $\xi = 0 \in \mathbb{R}^{n-1}$, ℓ dada pela geodésica vertical a partir da origem. Então uma sequência $x_n \in X$ converge a ξ na topologia do cone se e somente se todos os pontos x_n pertencem ao cone euclidiano com eixo ℓ e a distância euclidiana de x_n a 0 tende a zero.

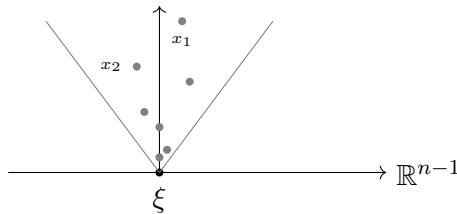


Figura 7.14: Topologia do cone em $\bar{\mathbb{H}}^n$.

Exercício 7.81. Suponha que uma sequência (x_i) converge a um ponto $\xi \in \mathbb{H}^n$ ao longo de uma horoesfera centrada em ξ . Mostre que a sequência (x_i) não contém subsequências convergentes na topologia do cone em \mathbb{H}^n .

Exercício 7.82. Mostre que uma sequência (x_n) em X converge a $\xi \in \partial X$ na topologia de cone se, e somente se, $(x_i, x_j)_p \rightarrow \infty$, quando $i, j \rightarrow \infty$.

Estendendo o produto de Gromov a \bar{X}

Definição 7.83. Sejam X um espaço δ -hiperbólico e $p \in X$ um ponto base. Estendemos o produto de Gromov para $\bar{X} = X \cup \partial X$ por:

$$(x, y)_p = \sup \liminf_{i, j \rightarrow \infty} (x_i, y_j)_p$$

onde o supremo é tomado sobre todas as sequências $(x_n), (y_n)$ em X tais que $\lim_{n \rightarrow \infty} x_n = x$ e $\lim_{n \rightarrow \infty} y_n = y$.

O exemplo a seguir ilustra a necessidade de tomar o limite inferior e o supremo, em vez de apenas tomar o limite na definição acima.

Exemplo 7.84. Seja $X = \text{Cay}(\mathbb{Z} \times \mathbb{Z}_2, S)$ o grafo de Cayley de $\mathbb{Z} \times \mathbb{Z}_2 = \langle a, b \mid [a, b], b^2 \rangle$. Note que X é hiperbólico e que ∂X consiste de dois pontos, $\partial X = \{a_-, a_+\}$. Considere as sequências $x_n = ba^{-n}$, $y_n = a^n$ e $z_n = ba^n$ em X . Defina uma nova sequência w_n , que é igual a y_n se n é par e igual a z_n se n é ímpar.

Para quaisquer índices i, j , temos:

$$(x_i, y_j)_1 = (1 + i) + j - (1 + i + j) = 0,$$

$$2(x_i, z_j)_1 = (1 + i) + (1 + j) - (i + j) = 2.$$

Assim $0 = \liminf_{i, j \rightarrow \infty} (x_i, y_j)_1$ não é igual a $\liminf_{i, j \rightarrow \infty} (x_i, z_j)_1 = 1$. Em particular, $\lim_{i, j \rightarrow \infty} (x_i, w_j)_1$ não existe.

Observação 7.85. Seja X um espaço δ -hiperbólico e fixe $p \in X$.

- (1) O mapa $(\cdot, \cdot)_p$ é contínuo em $X \times X$, pela continuidade da distância. No entanto, pelo exemplo anterior, vemos que ele não é contínuo em $\bar{X} \times \bar{X}$. De fato, para $x_n \rightarrow a_-, y_n \rightarrow a_+$, temos $(x_i, y_j)_1 = 0$ e $(a_-, a_+)_1 \geq 1$.
- (2) $(x, y)_p = \infty$ se, e somente se, $x = y \in \partial X$.
- (3) Para quaisquer $x, y \in \bar{X}$, existem seqüências (x_n) e (y_n) em X tais que

$$\lim_{n \rightarrow \infty} x_n = x, \quad \lim_{n \rightarrow \infty} y_n = y \quad \text{e} \quad (x, y)_p = \lim_{n \rightarrow \infty} (x_n, y_n)_p.$$

Se algum dos pontos está em X , então podemos tomar a seqüência constante. Já no caso em que os pontos estão em ∂X , podemos construí-la como segue: para cada $N \in \mathbb{N}$, existem seqüências $(x_n), (y_n)$ em X tais que

$$(x, y)_p \geq \liminf_{i, j \rightarrow \infty} (x_i, y_j)_p \geq (x, y)_p - \frac{1}{N}.$$

Logo, existem $r, s \in \mathbb{N}$ tais que

$$(x, y)_p + \frac{1}{N} \geq (x_r, y_s)_p \geq (x, y)_p - \frac{1}{N}.$$

Escrevendo $\tilde{x}_N = x_r, \tilde{y}_N = y_s$, obtemos $\tilde{x}_N \rightarrow x, \tilde{y}_N \rightarrow y$ e $(\tilde{x}_N, \tilde{y}_N)_p \rightarrow (x, y)_p$.

- (4) Para $x, y, z \in \bar{X}$, temos $(x, y)_p \geq \min\{(x, z)_p, (z, y)_p\} - 2\delta$.
- (5) Para todos os pontos $x, y \in \partial X$ e seqüências (x_n) e (y_n) em X com $\lim_{n \rightarrow \infty} x_n = x, \lim_{n \rightarrow \infty} y_n = y$, temos

$$(x, y)_p - 2\delta \leq \liminf_{i, j \rightarrow \infty} (x_i, y_j)_p \leq (x, y)_p.$$

- (6) Se X é próprio e geodésico, e se (ξ_n) é uma seqüência em ∂X , então $\xi_n \rightarrow \xi$ na topologia $\tau_{x,k}$ se, e somente se, $(\xi_n, \xi)_p \rightarrow \infty$.

Exercício 7.86. Prove os itens (2), (4), (5) e (6) da Observação 7.85.

Exercício 7.87. Suponha que (x_n) e (y_n) são seqüências em X como acima, onde (x_n) converge para ∞ e $(x_n, y_n)_p \leq K$ para todo $n \in \mathbb{N}$ e alguma constante $K \in \mathbb{R}$. Então existe $N \in \mathbb{N}$ tal que, para $m, n \geq N$, temos $(x_n, y_m)_p \leq K + \delta$.

Dica: use que $K \geq (x_n, y_n)_p \geq \min\{(x_n, y_m)_p, (y_n, y_m)_p\} - \delta$ e que $(y_n, y_m)_p \rightarrow \infty$.

Exercício 7.88. Seja X um espaço métrico próprio, geodésico e δ -hiperbólico, com $\delta > 0$. Mostre que existe uma constante $k = k(\delta)$ tal que

$$|d(p, \text{Im}(\gamma)) - (\xi, \xi')_p| \leq k,$$

para quaisquer $p \in X$, $\xi, \xi' \in \partial X$ e para cada geodésica γ em X com $\gamma(\infty) = \xi'$ e $\gamma(-\infty) = \xi$.

7.3.2 Métrica visual no espaço hiperbólico

Nesta subseção, exibiremos uma métrica explícita sobre o bordo do espaço hiperbólico \mathbb{H}^n , $n \geq 2$. Se fixamos $p \in \mathbb{H}^n$, então a função

$$(\xi, \xi') \mapsto \angle_p(\xi, \xi'),$$

dada pelo ângulo entre as duas geodésicas em \mathbb{H}^n que ligam p a ξ e ξ' , respectivamente, define uma métrica em $\partial\mathbb{H}^n$, tornando-o isométrico a \mathbb{S}^{n-1} . Como \angle_p descreve a geometria de $\partial\mathbb{H}^n$ vista de p , ela é dita uma métrica visual em $\partial\mathbb{H}^n$.

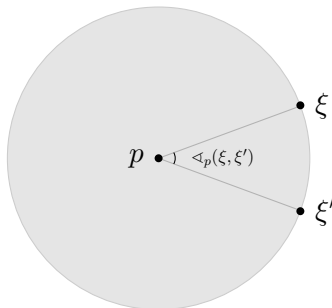


Figura 7.15: Métrica visual em $\partial\mathbb{H}^n$.

É possível mostrar que \triangleleft_p satisfaz a seguinte relação:

$$k_1 e^{-(\xi, \xi')_p} \leq \triangleleft_p(\xi, \xi') \leq k_2 e^{-(\xi, \xi')_p}, \quad (7.6)$$

para algumas constantes positivas k_1, k_2 que não dependem de p .

Definição 7.89. Dado um espaço δ -hiperbólico X , qualquer métrica em ∂X que satisfaça (7.6) será chamada de *métrica visual* em ∂X .

Em geral, em espaços δ -hiperbólicos, é sempre possível definir uma métrica visual na fronteira ∂X , de modo que a topologia induzida por essa métrica em ∂X coincida com a topologia τ . Para mais detalhes sobre métricas visuais, recomendamos a leitura de [BH13a, Seção III.H.3].

Capítulo 8

Grupos hiperbólicos

O estudo de grupos hiperbólicos foi introduzido e desenvolvido por Gromov [Gro87]. A inspiração veio de várias áreas da matemática, em particular, da geometria hiperbólica, da topologia de baixa dimensão e da teoria combinatória de grupos. Grupos hiperbólicos fornecem exemplos da aplicabilidade de métodos geométricos em teoria de grupos.

8.1 Definição e propriedades básicas

Definição 8.1. Um grupo finitamente gerado G é dito *hiperbólico* se seu grafo de Cayley, com respeito a algum conjunto de geradores S , é Rips-hiperbólico.

Todo grupo finito é trivialmente hiperbólico, já que seu grafo de Cayley com respeito a um conjunto de geradores qualquer terá diâmetro finito. Alguns exemplos menos triviais são os seguintes:

Exemplo 8.2. Em uma árvore, qualquer triângulo é 0-magro. Portanto, todo grupo livre é hiperbólico.

Exemplo 8.3. Grupos discretos e cocompactos de isometrias de \mathbb{H}^2 são hiperbólicos, pelo teorema de Milnor–Schwarz.

Como a mudança de conjuntos geradores não afeta o tipo de quasi-isometria do grafo de Cayley e a hiperbolicidade de Rips é invariante sob quasi-isometrias (veja Corolário 7.48), concluímos que um grupo G é hiperbólico se e somente se todos os seus grafos de Cayley forem hiperbólicos. Assim, a hiperbolicidade de um grupo não depende da escolha do conjunto finito de geradores. Além disso, se os grupos G_1 e G_2 forem quasi-isométricos, então G_1 é hiperbólico se e somente se G_2 for hiperbólico. Em particular, se G_1, G_2 forem virtualmente isomorfos, então G_1 é hiperbólico se e somente se G_2 for hiperbólico. Por exemplo, todos os grupos virtualmente livres são hiperbólicos.

Em vista do Teorema de Milnor–Schwarz, temos que se um grupo G age geometricamente em um espaço métrico Rips-hiperbólico, então G também é hiperbólico.

Nem todo subgrupo de um grupo hiperbólico é hiperbólico. Por exemplo, a construção de Rips na Seção 11.18 de [DK18] mostra que existem subgrupos finitamente gerados de grupos hiperbólicos que não são hiperbólicos. Mais ainda, em [Bra99], N. Brady fornece um exemplo de um subgrupo finitamente apresentado de um grupo hiperbólico que não é hiperbólico. Tendo isso em mente, podemos provar o seguinte resultado, que mostra que quasi-convexidade garante a passagem da propriedade de hiperbolicidade a subgrupos.

Teorema 8.4. *Subgrupos quasi-convexos de grupos hiperbólicos são hiperbólicos.*

Demonstração. Suponha que H seja um subgrupo R -quasi-convexo do grupo hiperbólico G . Sejam S e S' conjuntos finitos de geradores para G e H , respectivamente, e considere o grafo de Cayley de G com respeito ao conjunto de geradores $S \cup S'$. A inclusão $i : H \rightarrow G$ é uma quasi-isometria, pois para $h_1, h_2 \in H$ vale:

$$d_{S \cup S'}(h_1, h_2) \leq d_{S'}(h_1, h_2) \leq (2R + 1)d_{S \cup S'}(h_1, h_2).$$

Portanto, H é hiperbólico. □

8.2 Desigualdade isoperimétrica linear e o algoritmo de Dehn

Se $G = \langle S \mid R \rangle$ é um grupo finitamente apresentado e w é uma palavra no grupo livre $F(S)$, então toda vez que $w = 1$ em G , podemos escrever

$$w = \prod_{i=1}^n u_i r_i^{\pm 1} u_i^{-1},$$

para alguns $u_i \in F(S)$ e $r_i \in R$. Dada uma palavra w em S tal que $w = 1$ em G . Definimos a *área combinatória* de w por

$$A(w) = \min\{n \in \mathbb{N} \mid w = \prod_{i=1}^n u_i r_i^{\pm 1} u_i^{-1}\}.$$

Para entendermos melhor essa definição, vejamos um exemplo. Queremos pensar na área combinatória como o número de vezes que precisamos usar informações sobre os relatores para chegar na identidade quando testamos se uma palavra é trivial.

Exemplo 8.5. Seja $\Gamma = \text{BS}(3, 2) := \langle x, y \mid x^{-1}y^3xy^{-2} \rangle$ um grupo de Baumslag–Solitar. Tome

$$w := xy^{-2}xy^2x^{-1}y^{-1}x^{-1}.$$

Podemos reescrever w como

$$w = (xy)(y^{-3}xy^2x^{-1})(xy)^{-1}.$$

Removemos as letras do meio aplicando o relator $r^{-1} = y^2x^{-1}y^{-3}x$ uma vez, mesmo que essa palavra não seja exatamente nosso relator. Reescremos $r^{-1} = (y^2x^{-1})(y^{-3}xy^2x^{-1})(xy^{-2})$, onde definimos $x_1 := y^2x^{-1}$ para corresponder com nossa definição de área. Assim, obtemos

$$w = (xy)(y^{-3}xy^2x^{-1})(xy)^{-1} =_{F(S)} (xy)x_1^{-1}r^{-1}x_1(xy)^{-1} = 1,$$

e portanto a área de w é igual a 1. De outro modo, poderíamos repetidamente tentar reduzir subpalavras e usar o fato de que $A(ww') \leq A(w) + A(w')$.

Definição 8.6. Dizemos que uma função $f : \mathbb{N} \rightarrow \mathbb{N}$ é uma *função de Dehn* (ou função isoperimétrica) para $G = \langle S \mid R \rangle$ se, para todo $w \in F(S)$ com $w = 1$ em G , tem-se $A(w) \leq f(|w|_S)$. Dizemos que G *satisfaz uma desigualdade isoperimétrica linear, quadrática, polinomial ou exponencial* se possui uma função de Dehn com a mesma propriedade.

Sejam G e H grupos finitamente apresentados quasi-isométricos. Se alguma apresentação finita de G possui função isoperimétrica $f(n)$, então qualquer apresentação finita de H possui uma função isoperimétrica equivalente a $f(n)$, no seguinte sentido: dadas duas funções $f, g : \mathbb{N} \rightarrow \mathbb{N}$, escrevemos $f \preceq g$ se existirem constantes $A, B, C \in \mathbb{R}$ tais que $f(n) \leq Ag(Bn) + Cn$. Definimos uma relação de equivalência no conjunto das funções de \mathbb{N} para \mathbb{N} pondo $f \sim g$ se $f \preceq g$ e $g \preceq f$.

Em particular, o fato acima vale quando $G = H$, isto é, quando se trata do mesmo grupo, dado possivelmente por duas apresentações finitas distintas. Consequentemente, para um grupo finitamente apresentado, o tipo de crescimento de sua função de Dehn, não depende da escolha de sua apresentação finita. Mais geralmente, se dois grupos finitamente apresentados são quasi-isométricos, então suas funções de Dehn são equivalentes.

Exemplo 8.7. Qualquer apresentação finita de um grupo finito G tem função de Dehn $f(n) \sim n$.

Exercício 8.8. Mostre que \mathbb{Z}^2 satisfaz uma desigualdade isoperimétrica quadrática, mas não uma linear.

A seguir, mostraremos que desigualdades isoperimétricas lineares caracterizam a hiperbolicidade de grupos. Este resultado se deve a Gromov. Como corolários, mostraremos que tais grupos são finitamente apresentados e, na seção seguinte, que o problema da palavra é solúvel para grupos hiperbólicos.

Fixemos agora um grupo hiperbólico G , o seu grafo de Cayley $\Gamma = \text{Cay}(G, S)$, com respeito a um conjunto finito de geradores S , de modo que todos os triângulos geodésicos sejam δ -magros. Podemos assumir que $\delta \geq 2$ é um número inteiro.

Teorema 8.9 (A hiperbolicidade implica numa desigualdade isoperimétrica linear). *Nas condições estabelecidas acima, para cada palavra $w = 1$ em G , vale*

$$A(w) \leq K|w|_S.$$

Demonstração. Seja $K = \max\{A(w) \mid |w|_S \leq 10\delta\}$. Mostraremos por indução em $|w|_S$ que $A(w) \leq K|w|_S$ para toda palavra $w \in F(S)$ com $w = 1$ em G . Se $|w|_S \leq 10\delta$ isso é óbvio. Suponha que a afirmação é verdadeira para $|w|_S \leq n$, com $n > 10\delta$. Seja w uma palavra com $w = 1$ em G , tal que $|w|_S = n + 1$. Denotaremos também por $w = w(t)$ o loop em Γ , parametrizado por comprimento de arco, que representa a palavra w . Podemos considerar três casos:

Caso 1: Suponha que, para todos os vértices $w(i)$ de w , nós temos $d(w(i), 1) < 5\delta$. Podemos escolher um caminho mais curto p ligando 1 a $w(5\delta)$. Então $w = w_1 p^{-1} p w_2$ e, pela hipótese de indução, obtemos

$$A(w) \leq A(w_1 p^{-1}) + A(p w_2) \leq K + K n = K(n + 1) = K|w|_S.$$

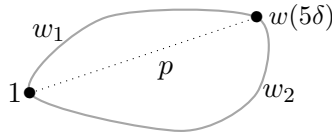


Figura 8.1: Caso 1

Caso 2: Caso contrário, existe algum vértice $w(i)$ em w com $d(w(i), 1) \geq 5\delta$. Seja $w(t)$ o vértice de w mais distante de 1.

Se $d(w(t), w(t - 5\delta)) < 5\delta$ ou $d(w(t), w(t + 5\delta)) < 5\delta$ podemos concluir o resultado de maneira análoga. De fato, se γ é uma geodésica de $w(t - 5\delta)$ até $w(t)$ (ou de $w(t)$ até $w(t + 5\delta)$), considere os loops $w' = w|_{[t-5\delta, t]} \gamma$ (ou $w|_{[t, t+5\delta]} \gamma$) e $w'' = w|_{[0, t-5\delta]} \gamma w|_{[t, n]}$ (ou $w|_{[1, t]} \gamma w|_{[t+5\delta, n]}$). Temos assim $A(w) = A(w') + A(w'')$, onde $A(w'') \leq K n$ por hipótese de indução e $A(w') \leq K$ pela definição de K .

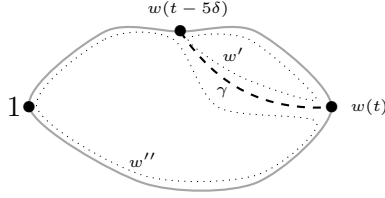


Figura 8.2: Caso 2

Caso 3: Se nenhum dos casos acima ocorre, considere os triângulos geodésicos $\Delta(1, w(t - 5\delta), w(t))$ e $\Delta(1, w(t), w(t + 5\delta))$, onde novamente $w(t)$ o vértice de w mais distante de 1. Sabendo que eles são δ -magros, notamos que os pontos $u_{\pm} := w(t \pm (\delta + 1))$ estão a uma distância $\leq \delta$ de $\overline{1w(t)}$ ou de algum dos segmentos $\overline{1w(t - 5\delta)}$, $\overline{1w(t + 5\delta)}$.

Se, por exemplo, $d(u_+, w) \leq \delta$, com $w \in \overline{1w(t + 5\delta)}$, obtemos

$$\begin{aligned} d(1, w(t)) &\leq d(1, w) + d(w, u_+) + d(u_+, w(t)) \\ &\leq r + \delta + (\delta + 1) = r + 2\delta + 1, \end{aligned} \tag{8.1}$$

$$d(1, w(t + 5\delta)) = r + s \geq r + 3\delta - 1 > r + 2\delta + 1, \tag{8.2}$$

onde $r = d(1, w)$ e $s = d(w, w(t + 5\delta)) \geq d(w(t + 5\delta), u_-) - d(u_-, w) \geq 4\delta - 1 - \delta = 3\delta - 1$.

Com isso, $d(1, w(t + 5\delta)) > d(1, w(t))$, uma contradição com a escolha de t .

Assim, devemos ter algum ponto $w \in \overline{1w(t)}$ com $d(u_{\pm}, w) \leq \delta$ (note que podemos pegar o mesmo ponto w de modo que a desigualdade acima valha para u_{\pm}). Logo, $d(u_+, u_-) \leq 2\delta$, e portanto

$$\ell(w|_{[t-(\delta+1), t+(\delta+1)]} \cup \overline{u_+u_-}) \leq 2\delta + 2 + 2\delta \leq 5\delta.$$

e, escrevendo $w' = w|_{[t-(\delta+1), t+(\delta+1)]} \cup \overline{u_-u_+}$, $w'' = \overline{1u_-} \cup \overline{u_+u_-} \cup \overline{u_+1}$, obtemos $A(w) = A(w') + A(w'')$, onde novamente $A(w'') \leq Kn$, por hipótese de indução, e $A(w') \leq K$, pela definição de K .

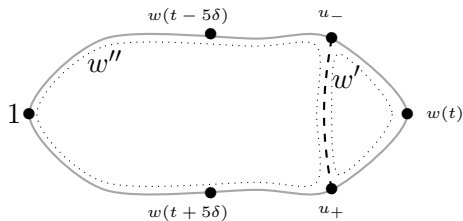


Figura 8.3: Caso 3

□

Corolário 8.10. Todo grupo hiperbólico é finitamente apresentado.

Demonstração. Se G é um grupo hiperbólico gerado por um conjunto finito S , então $\langle S \mid R \rangle$ é uma apresentação finita para G , onde $R = \{w \in F(S) \mid |w|_S \leq 10\delta, w = 1\}$. □

Daremos agora uma interpretação geométrica para a área combinatória de uma palavra.

Definição 8.11. Seja D qualquer 2-complexo simplicial finito, planar, orientado, conexo e simplesmente conexo. Diremos que D é um *diagrama* sobre um alfabeto S se toda aresta e de D puder ser associada a um rótulo $\phi(e) \in S$ tal que $\phi(e^{-1}) = (\phi(e))^{-1}$.

Desse modo, um caminho (simplicial) através das arestas de um diagrama é rotulado por uma palavra em S e um caminho que não retrocede sobre si mesmo é rotulado por uma palavra reduzida em S via ϕ .

Definição 8.12. Um *diagrama de van Kampen* sobre um grupo $G = \langle S \mid R \rangle$ é um diagrama D sobre S tal que, para toda face f de D , o rótulo da fronteira de f é dado por alguma relação $r^{\pm 1}$ com $r \in R$. A *área* de tal diagrama é o número de suas faces.

Por conveniência, chamamos a palavra que rotula a fronteira da componente ilimitada de $\mathbb{R}^2 \setminus D$ de fronteira de D .

Exemplo 8.13. Considere o grupo \mathbb{Z}^2 com apresentação $\mathbb{Z}^2 = \langle a, b \mid [a, b] \rangle$. Na figura da esquerda a seguir, temos um diagrama sobre $\{a, b\}$, o qual não é um diagrama de van Kampen, pois a única 2-célula tem como fronteira a palavra $b^2a^{-1}b^{-2}a$, que não é da forma $r^{\pm 1}$, com $r \in R$.

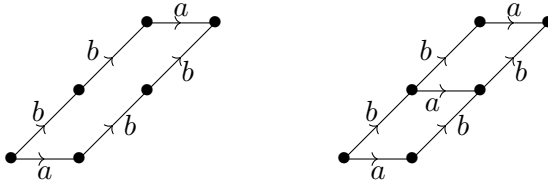


Figura 8.4: Diagramas sobre $\{a, b\}$

Já a figura da direita representa um diagrama de van Kampen, pois todas as fronteiras de 2-células representam relatores. Neste caso, a palavra da fronteira do diagrama é $b^2a^{-1}b^{-2}a$ e sua área é 2.

Um importante resultado na teoria combinatória de grupos é a seguinte proposição, também chamada de Lema de van Kampen:

Proposição 8.14. Sejam $G = \langle S \mid R \rangle$ um grupo finitamente apresentado e w uma palavra em $F(S)$. Então $w = 1$ em G se, e somente se, existe um diagrama de van Kampen D sobre G com fronteira rotulada por w .

Demonstração. Se $w = 1$ em G , então w pode ser escrita na forma $w = u_1r_1u_1^{-1}u_2r_2u_2^{-1} \dots u_nr_nu_n^{-1}$, onde $r_i \in R$. Vamos construir um diagrama de van Kampen com fronteira w da seguinte forma: o diagrama consistirá de n 2-células, associadas aos relatores r_i da escrita de w , cujas fronteiras estão subdivididas em $\ell_S(r_i)$ 1-células, unidas com n segmentos, anexados a cada uma das 2-células em um de seus vértices e subdivididos em $\ell_S(u_i)$ arestas. Esses segmentos partem todos de um mesmo ponto base.

Reciprocamente, suponha que w descreve a fronteira de um diagrama de van Kampen D . Afirmamos que $w = 1$ em G . A prova é

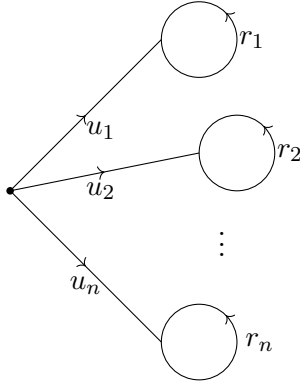


Figura 8.5: Diagrama de Van Kampen associado a w

feita por indução sobre a área k de D . Para $k = 1$ é óbvio. Assuma que a afirmação é verdadeira se a área do diagrama é igual a k , e tome um tal diagrama D com $k + 1$ faces. Então existe uma face F contendo uma aresta f_1 em ∂D . Logo, para algumas palavras u e v em ∂D , tem-se $w = uf_1v = uf_1f_2f_2^{-1}v$, onde ∂F é rotulada por f_1f_2 . Mas esta é igual a $(uf_1f_2u^{-1})(uf_2^{-1}v)$ e, por indução, como $D \setminus F$ possui somente k faces, obtemos que $uf_2^{-1}v = 1$. Mas também $uf_1f_2u^{-1} = 1$ já que $f_1f_2 \in R$. Portanto, $w = 1$ em G . \square

Definição 8.15. Um *diagrama de van Kampen minimal* para uma palavra w é um diagrama de van Kampen para w com o menor número possível de faces.

Usaremos diagramas de van Kampen para provar a recíproca do Teorema 8.9.

Teorema 8.16. *Se um grupo finitamente apresentado G satisfaz uma desigualdade isoperimétrica linear, então G é hiperbólico.*

Demonstração. Seja $\langle S \mid R \rangle$ uma apresentação finita para G . Suponha, por contradição, que para todo $w \in G$ com $w = 1$ vale $A(w) \leq K\ell(w)$ e que G não é hiperbólico. Então os triângulos em $\text{Cay}(G, S)$ não são δ -magros, qualquer que seja $\delta \in \mathbb{R}$. Assim, para

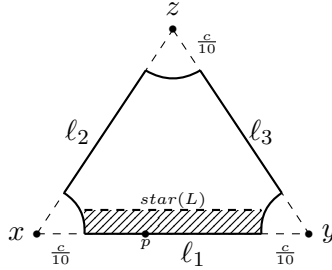


Figura 8.6: Prova do Teorema 8.16

todo $c > 0$ existe um triângulo geodésico no grafo de Cayley de G o qual contém um ponto cuja distância à união dos outros dois lados é pelo menos c . Escolha um tal triângulo $\Delta = \Delta(x, y, z)$ e considere um hexágono $H \subset \Delta$ cujos vértices são os seis pontos de Δ que estão a uma distância igual a $\frac{c}{10}$ de x, y e z .

Suponha que p é o ponto no segmento \overline{xy} para o qual

$$d(p, \overline{xz} \cup \overline{yz}) = \max_{q \in \overline{xy}} \{d(q, \overline{xz} \cup \overline{yz})\}.$$

Seja D um diagrama de van Kampen minimal para H . Suponha que ℓ_1, ℓ_2 e ℓ_3 são os comprimentos dos lados de H que foram truncados de Δ e seja $\ell' = \max\{\ell_1, \ell_2, \ell_3\}$, o qual é realizado por um lado L de H (vamos supor sem perda de generalidade que $\ell(L) = \ell_1$).

Assim, $\ell(\partial D) < 6\ell'$ e, pela desigualdade isoperimétrica linear, vale $A(D) < 6K\ell'$. Seja $\rho = \max_{r \in R} \{\ell(r)\}$, obtemos

$$\text{área}(\text{star}(L)) \geq \frac{\ell'}{\rho},$$

onde $\text{star}(L)$ é a união de todas faces de D que cruzam L .

Além disso, se $L_1 = \partial(\text{star}(L)) \setminus \partial H$, temos $\ell(L_1) \geq \ell' - 2\rho$, pois caso contrário L não seria uma geodésica.

Repetindo esse processo $12K$ vezes, obtemos:

$$\begin{aligned} \text{área}(\text{star}^{12K}(L)) &> \frac{\ell'}{\rho} + \frac{\ell' - 2\rho}{\rho} + \dots + \frac{\ell' - 12k\rho}{\rho} \\ &\geq 12k\rho \frac{\ell' - 12k\rho}{\rho} \\ &= 12k\ell' - 12k\rho \\ &> 6k\ell', \end{aligned}$$

e isso contradiz a desigualdade isoperimétrica. Observe que podemos escolher c suficientemente grande, de modo que $\ell' - 12k\rho \geq \frac{\ell'}{2}$, já que $\ell' > \frac{c}{10}$. \square

Tanto o Teorema 8.9 quanto sua recíproca podem ser provados para espaços métricos geodésicos quaisquer, utilizando a noção de ε -preenchimentos de loops em espaços métricos, cuja descrição completa pode ser vista em [BH13a]. A ideia consiste em definir uma noção de área combinatória de loops para estes espaços, que também pode ser aplicada ao grafo de Cayley de grupos.

Seja \mathbb{D}^2 o disco de centro na origem e raio 1 em \mathbb{R}^2 e $\partial\mathbb{D}^2 = \mathbb{S}^1$. Uma triangulação de \mathbb{D}^2 é um homeomorfismo $P : \mathbb{D}^2 \rightarrow T$, onde T é um complexo celular onde cada 2-célula é um triângulo. Podemos induzir uma estrutura celular em \mathbb{D}^2 via P .

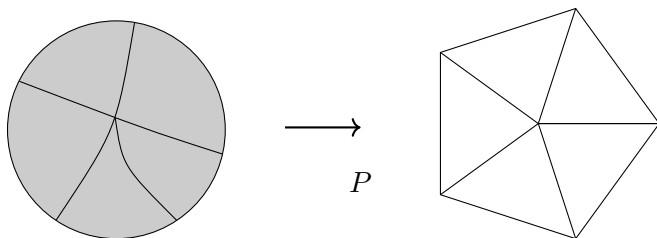


Figura 8.7: Triangulação de \mathbb{D}^2

Sejam X um espaço métrico e $\gamma : \mathbb{S}^1 \rightarrow X$ um loop retificável em X . Um ε -preenchimento de γ é um par (P, φ) , onde P é uma

triangulação de \mathbb{D}^2 e $\varphi : \mathbb{D}^2 \rightarrow X$ é uma aplicação tal que $\varphi|_{\mathbb{S}^1} = \gamma$ e a imagem por φ de cada 2-célula tem diâmetro menor que ou igual a ε . Denotamos por $|\varphi|$ a área do preenchimento φ , dada por $|\varphi| = \#\{2\text{-células em } P\}$. Em geral, a função φ pode não ser contínua.

Definição 8.17. Dado um loop retificável $\gamma : \mathbb{S}^1 \rightarrow X$, definimos a *área $_\varepsilon$ de γ* por

$$\text{área}_\varepsilon(\gamma) := \min\{|\varphi| \mid (P, \varphi) \text{ é um } \varepsilon\text{-preenchimento de } \gamma\}.$$

Se não existe um ε -preenchimento de γ , escrevemos $\text{área}_\varepsilon(\gamma) = \infty$.

Se existir $\varepsilon > 0$ tal que cada laço retificável em X tem um ε -preenchimento, então também chamaremos o número $\text{área}_\varepsilon(\gamma)$ de *área combinatorial* de γ , e a denotaremos a partir de agora também por $A(\gamma)$.

Caso exista $\varepsilon > 0$ tal que, para cada laço retificável $\gamma : \mathbb{S}^1 \rightarrow X$, $A(\gamma) \leq f(\ell(\gamma))$ onde f é uma função real linear (quadrática, exponencial, etc.) dizemos que X satisfaz uma *desigualdade isoperimétrica grosseira linear* (quadrática, exponencial, etc.).

- Observação 8.18.**
1. Se $\varepsilon' > \varepsilon$, então $\text{área}_{\varepsilon'}(c) \leq \text{área}_\varepsilon(c)$ para qualquer loop retificável c em um espaço métrico X .
 2. Caso X e Y sejam espaços métricos quasi-isométricos de modo que exista $\varepsilon > 0$ tal que todo loop em X possui um ε -preenchimento e, além disso, $\text{área}_\varepsilon(c) \preceq f(\ell(c))$ para todo loop retificável c em X , então Y admite um limite isoperimétrico $f' \preceq f$.

Exercício 8.19. Dado um espaço métrico $\text{CAT}(k)$ X , prove que, para todo $\varepsilon' < \varepsilon < \frac{2\pi}{\sqrt{k}}$, existe uma constante $C = C(\varepsilon, \varepsilon', k)$ tal que $\text{área}_{\varepsilon'}(c) \leq C \text{área}_\varepsilon(c)$ para qualquer curva retificável c em X .

O teorema a seguir generaliza o Teorema 8.16 para espaços métricos que satisfaçam alguma desigualdade isoperimétrica linear.

Teorema 8.20 (Teorema 2.9 em [BH13a]). *Se X é um espaço métrico geodésico, suponha que existam constantes $K, \varepsilon > 0$ tais que*

$\text{área}_\varepsilon(\gamma) \leq Kl(\gamma) + K$ para cada laço geodésico por partes. Então, X é δ -hiperbólico, onde δ é uma constante que depende de K e ε .

Observação 8.21. Gromov provou que é suficiente supor desigualdade isoperimétrica subquadrática, para garantir uma desigualdade isoperimétrica linear, e portanto hiperbolicidade.

8.2.1 O algoritmo de Dehn

Seja G um grupo finitamente apresentado. Dizemos que uma apresentação finita $\langle S \mid R \rangle$ é uma *apresentação de Dehn* se, para cada palavra não trivial representando a identidade $w = 1$ em G , vale que w contém mais que metade de um relator $r \in R$.

Por exemplo, se $G = \langle S \mid R \rangle$ é uma apresentação de Dehn de G com $R = \{u_1v_1^{-1}, \dots, u_nv_n^{-1}\}$, onde $|u_i|_S > |v_i|_S$ e $w = 1$, isto implica que w contém pelo menos um dos termos u_i . Nestas condições, uma palavra $w \in G$ é dita *Dehn reduzida* se ela não contém mais do que a metade de qualquer relator $r \in R$.

Exercício 8.22. Mostre que \mathbb{Z}^2 não tem apresentação de Dehn.

Lema 8.23. Se um grupo G possui uma apresentação de Dehn, então o problema da palavra é solúvel para G .

Demonstração. Seja $\langle S \mid R \rangle$ uma apresentação de Dehn para o grupo G . Tome $w \in F(S)$ uma palavra qualquer. Então ou w não contém mais da metade de algum relator (caso no qual sabemos que w deve ser diferente da identidade) ou ela possui, isto é, $w = ar_1b$ onde existe uma palavra r_2 tal que $r_1r_2 \in R$ e $|r_1|_S > |r_2|_S$. Assim, $w = ar_2^{-1}b$ em G , a qual é uma palavra de comprimento estritamente menor que a inicial. Repetimos o processo até que eventualmente atingimos a palavra vazia, caso no qual w é trivial em G , ou reduzimos w a uma palavra que não contenha mais da metade de um relator, caso no qual w não é trivial em G . Este algoritmo, conhecido como *algoritmo de Dehn*, termina após um número finito de passos, tornando possível solucionar o problema da palavra em G . \square

A partir do Lema 8.23, podemos verificar que grupos hiperbólicos possuem o problema da palavra solúvel, visto que a apresentação dada no Corolário 8.10 é uma apresentação de Dehn. Mais ainda, temos o seguinte:

Teorema 8.24. *Um grupo G é hiperbólico se, e somente se, tem uma apresentação de Dehn.*

Demonstração. Seja G um grupo hiperbólico gerado por um conjunto finito S e considere $\langle S \mid R \rangle$, onde $R = \{w \in F(S) \mid |w|_S \leq 10\delta, w = 1\}$. Para provar que esta é uma apresentação de Dehn, note que um argumento semelhante ao da prova do Teorema 8.9 mostra que toda palavra trivial em G possui ao menos metade de um relator.

Reciprocamente, se o grupo possui apresentação de Dehn, podemos usar o algoritmo de Dehn para provar que G satisfaz uma desigualdade isoperimétrica linear, e em seguida aplicamos o Teorema 8.16.

De fato, se $X = \text{Cay}(G, S)$ e γ é um laço em X de comprimento n , correspondendo a uma palavra $w = 1$ em G , e tomamos ρ como sendo o comprimento máximo de uma palavra $v \in R$, então podemos usar indução em n e substituições como no algoritmo de Dehn para mostrar que

$$\text{área}_\rho(\gamma) \leq \rho \ell(\gamma).$$

□

Este algoritmo foi inicialmente usado por Dehn no início do século XX para resolver o problema da palavra em grupos fundamentais de superfícies de Riemann (veja [Deh12] para uma coleção dos trabalhos de Dehn). Mais tarde, Cannon estendeu em [Can84] os resultados de Dehn para grupos de variedades compactas de curvatura negativa. Os Teoremas 8.16 e 8.24 são de Gromov (1987). Também é possível mostrar que os problemas da conjugação e do isomorfismo são solucionáveis em grupos hiperbólicos (veja, por exemplo, [BH13b], [Sel95] e [DG11]).

8.3 Fronteiras ideias de grupos hiperbólicos

A *fronteira ideal* de um grupo G , denotada por $\partial_\infty G$, é definida como a fronteira ideal do espaço métrico $\text{Cay}(G, S)$, com respeito a algum conjunto S de geradores de G . Para diferentes conjuntos de geradores, as fronteiras correspondentes são homeomorfas, dado que os grafos de Cayley são quasi-isométricos.

Definição 8.25. Seja $G < \text{Homeo}(Z)$ um grupo de homeomorfismos de um espaço topológico compacto Hausdorff Z . O grupo G é dito *grupo de convergência* se ele age propriamente descontinuamente em $\text{Trip}(Z)$, onde $\text{Trip}(Z)$ é o conjunto de triplas de elementos distintos de Z , munido da topologia natural de subespaço de Z^3 . O grupo de convergência G é dito *uniforme* se $\text{Trip}(Z)/G$ é compacto.

Para a próxima proposição, usaremos algumas definições e resultados auxiliares. Dizemos que um ponto p em um espaço métrico próprio δ -hiperbólico X é um R -centroide de um triângulo T em \bar{X} se p estiver a uma distância menor ou igual a R dos três lados τ_1, τ_2, τ_3 de T . Além disso, diremos que p é um *centroide* de T se $d(p, \tau_i) \leq 5\delta$, para $i = 1, 2, 3$.

Definimos então a correspondência

$$C : \text{Trip}(\partial_\infty X) \rightarrow X,$$

que mapeia cada tripla de pontos distintos em $\partial_\infty X$ no conjunto de triângulos T que eles geram, e em seguida no conjunto de centroides desses triângulos ideais.

Exercício 8.26. Mostre que a distância entre quaisquer dois R -centroides de um triângulo T em um espaço métrico próprio X é de, no máximo, $4R + 32\delta$. Com isso, conclua que, para toda tripla de pontos $\xi \in \text{Trip}(\partial_\infty X)$, vale que

$$\text{diam}(C(\xi)) \leq 60\delta.$$

Proposição 8.27 ([Tuk94]). Seja G um grupo δ -hiperbólico gerado por um conjunto S , tal que $\partial_\infty G$ consiste de pelo menos três pontos. Então G age em $\partial_\infty G$ como grupo de convergência uniforme.

Demonstração. Dados três pontos distintos $\xi, \eta, \rho \in \partial_\infty G$, considere o triângulo geodésico $\Delta = \Delta(\xi, \eta, \rho) \subset \text{Cay}(G, S)$. O mapa C definido acima é G -equivariante e, além disso, a imagem de qualquer compacto K em $\text{Trip}(\partial_\infty G)$ por C é limitada.

Dado um subconjunto compacto $K \subset \text{Trip}(Z)$, suponha que o conjunto

$$G_K := \{g \in G \mid gK \cap K \neq \emptyset\}$$

seja infinito. Logo, deve existir uma sequência $\xi_n \in K$ e uma sequência infinita $g_n \in G$, com $g_0 = 1$ e $g_n(\xi_n) \in K$ para todo $n \in \mathbb{N}$. O diâmetro do conjunto

$$E = \bigcup_n C(g_n(\xi_n)) \subset \text{Cay}(G, S)$$

é limitado, e cada g_n envia algum ponto $p_n \in E$ em um elemento de E . Isso contradiz o fato de que G age propriamente descontinuamente em $\text{Cay}(G, S)$.

Com isso, concluímos que a ação de G em $\text{Trip}(\partial_\infty G)$ também é propriamente descontínua. \square

Proposição 8.28. Seja G um grupo hiperbólico.

- (i) Se G é finito, então $\partial_\infty G$ é vazia;
- (ii) Se $\partial_\infty G$ tem precisamente dois elementos, então G contém um subgrupo cíclico infinito de índice finito;
- (iii) Em qualquer outro caso, $\partial_\infty G$ é infinito não-enumerável.

Nos casos (i) e (ii), diremos que o grupo é *elementar*.

Demonstração. Seja X um grafo de Cayley de G , com respeito a algum conjunto de geradores. Se G for finito, então X é limitado, e portanto $\partial_\infty G = \emptyset$, provando (i).

Assuma agora que G é infinito. Pelo Exercício 3.26, X contém uma geodésica completa bi-infinita γ , e assim $\partial_\infty G$ possui pelo menos dois pontos distintos, os pontos-limite de γ .

Vamos provar (ii) em dois casos. Suponhamos que $\partial_\infty G$ possui exatamente dois elementos. Se $d_{Haus}(\gamma, X) < \infty$, então X é quasi-isométrico a \mathbb{R} e portanto $e(G)$ possui dois elementos. Assim, G é virtualmente cíclico, pela parte 3 do Teorema 5.19.

Caso $d_{Haus}(\gamma, X) = \infty$, deve existir uma sequência de vértices $x_n \in X$ satisfazendo $\lim_{n \rightarrow \infty} d(x_n, \gamma) = \infty$. Para cada $n \in \mathbb{N}$, seja $y_n \in \gamma$ o vértice de γ mais próximo de x_n e $g_n \in G$ um elemento tal que $g_n(y_n) = e \in G$. Aplicando g_n à união de geodésicas $\overline{x_n y_n} \cup \gamma$ e tomando o limite com $n \rightarrow \infty$, obtemos uma geodésica completa $\beta \subset X$ (o limite de uma subsequência $g_n(\gamma)$) e um raio geodésico ρ intersectando γ em e , tais que para todo $x \in \rho$, e é um ponto mais próximo de x em γ . Portanto, $\rho(\infty)$ é um ponto diferente de $\gamma(\pm\infty)$, e $\partial_\infty G$ contém pelo menos três pontos distintos, uma contradição.

A prova de (iii) segue do Teorema 8.29 a seguir. De fato, se $\partial_\infty G$ for finito, então por esse resultado, obtemos $\partial_\infty G = e(G)$. Mas sabemos que o espaço dos fins de um grupo é ou um conjunto finito com 0,1 ou 2 pontos, ou possui um contínuo de pontos, o que conclui a demonstração. \square

Teorema 8.29. *Seja G um grupo hiperbólico. Então existe uma aplicação $f : \partial_\infty G \rightarrow e(G)$ contínua, G -equivariante, sobrejetiva e tal que as fibras $f^{-1}(\xi)$, com $\xi \in e(G)$, são conexas.*

Demonstração. Seja $\gamma : \mathbb{R}_+ \rightarrow G$ um raio geodésico. Como esse raio foge de todo compacto de G , ele define um fim ξ_γ de G . Deixamos como exercício verificar que esse fim depende apenas do ponto $\gamma(\infty)$ do bordo de G definido por γ e que a aplicação $f : \partial_\infty G \rightarrow e(G)$ definida por $f(\gamma(\infty)) = \xi_\gamma$ é contínua. Seja $(x_n)_{n \geq 1}$ uma sequência de pontos de G definindo um fim ξ de G . Se a é um limite de uma subsequência de (x_n) em $\partial_\infty G$, verificamos que $f(a) = \xi$. Assim a aplicação f é sobrejetiva. Como $e(G)$ é totalmente desconexo, as componentes conexas de $\partial_\infty G$ estão contidas nas fibras de f .

Resta verificar que as fibras de f são conexas. Suponhamos que existe uma partição de uma fibra $f^{-1}(\xi)$ em dois fechados não vazios F_1 e F_2 . Escolhemos dois abertos disjuntos U_1 e U_2 de $\partial_\infty G$ contendo respectivamente F_1 e F_2 . Fixamos um ponto base $w \in G$,

e denotamos por \hat{U}_j a união dos raios partindo de w e terminando em algum ponto de U_j , $j = 1, 2$. Se B_R denota a bola de centro w e raio R , onde R é suficientemente grande, verificamos que $\hat{U}_1 \setminus B_R$ e $\hat{U}_2 \setminus B_R$ são disjuntos e tem distância estritamente positiva um do outro. Seja γ_1 (respectivamente, γ_2) um raio saindo de w e terminando em um ponto de F_1 (resp., F_2). Por hipótese, as sequências $(\gamma_1(n))_{n \geq 1}$ e $(\gamma_2(n))_{n \geq 1}$ definem o mesmo fim. Para todo $N \geq 1$, existem então um inteiro $n_N \geq 1$ e um caminho $\gamma_N : [0, 1] \rightarrow G$ conectando $\gamma_1(n_N) \in \hat{U}_1$ e $\gamma_2(n_N) \in \hat{U}_2$ que evita a bola B_N . Como $\hat{U}_1 \setminus B_N$ e $\hat{U}_2 \setminus B_N$ tem distância estritamente positiva para N suficiente grande, existe $t_N \in [0, 1]$ tal que o ponto $x_N = \gamma_N(t_N)$ não pertence nem a \hat{U}_1 nem a \hat{U}_2 .

Escolhemos então um segmento geodésico $[w, x_N]$ de w a x_N . Como os comprimentos desses segmentos tendem a infinito, deve existir uma subsequência de $([w, x_N])_{N \geq 1}$ que converge para um raio γ_0 partindo de w . É claro que esse raio γ_0 define o mesmo fim ξ que γ_1 e γ_2 , mas ele não pode estar contido nem em F_1 nem em F_2 . Assim, obtemos um absurdo, donde resulta que $f^{-1}(\xi)$ é conexa. \square

8.4 Alternativa de Tits para grupos hiperbólicos

Um resultado fundamental na teoria dos grupos provado por J. Tits em 1972 é o seguinte teorema.

Teorema 8.30 ([Tit72]). *Seja G um grupo linear finitamente gerado. Então ou G é virtualmente solúvel ou G contém um subgrupo isomorfo a um grupo livre não abeliano.*

Relembramos que G é *solúvel* se existe cadeia finita de subgrupos $\{G_i\}_{i=0}^n$ de G tal que $1 = G_0 \trianglelefteq G_1 \trianglelefteq G_2 \trianglelefteq \dots \trianglelefteq G_n = G$ e G_{i+1}/G_i é abeliano. O grupo G é chamado *virtualmente solúvel* se ele possui um subgrupo solúvel de índice finito.

Dizemos que uma classe de grupos satisfaz alguma *Alternativa de Tits* se cada um de seus elementos satisfizer uma dicotomia do

tipo “ou ele contém um grupo livre não abeliano ou ele possui subgrupo solúvel de índice finito”. Conjectura-se que a Alternativa de Tits é comum entre grupos “de curvatura não positiva”. No entanto, esse fato está demonstrado para algumas poucas classes particulares de grupos. Algumas dessas classes são: grupos Gromov-hiperbólicos [Gro87], grupos fundamentais de algumas variedades compactas de curvatura não positiva [Bal95] e grupos cocompactos agindo isometricamente e propriamente descontinuamente em complexos bidimensionais CAT(0) [BŚ99]. Esta seção é dedicada à demonstração da Alternativa de Tits para o caso de grupos hiperbólicos.

Observamos que, se G age em X por isometrias, essa ação induz uma ação no conjunto das seqüências em X ,

$$g((x_n)) := (g(x_n)).$$

Sendo a ação de G em X isométrica, sempre que $x_n \rightarrow \xi \in \partial X$, temos que $(g(x_n))$ converge em ∂X e, se $(x_n), (y_n)$ são seqüências com $(x_n, y_n)_p \rightarrow \infty$, temos $(g(x_n), g(y_n))_p \rightarrow \infty$.

Assim, podemos definir uma ação isométrica no bordo por $g(\xi) = \lim_{n \rightarrow \infty} g(x_n) \in \partial X$, para $x_n \rightarrow \xi \in \partial X$. Nesta seção consideraremos a ação de um grupo hiperbólico G em $X = \text{Cay}(G, S)$ com fronteira $\partial X = \partial G$.

Proposição 8.31. Sejam U, V vizinhanças de $a^+, a^- \in \partial G$, respectivamente, os quais são fixos por um elemento $g \in G$ de ordem infinita. Então existe $N \in \mathbb{N}$ tal que, para todo $m \geq N$, temos $g^m(\partial G \setminus V) \subset U$ e $g^{-m}(\partial G \setminus U) \subset V$.

Demonstração. Seja $X = \text{Cay}(G, S)$ um grafo de Cayley de G . Como g tem ordem infinita, podemos associar a esse elemento duas seqüências $(g^n)_{n \in \mathbb{N}}$ e $(g^{-n})_{n \in \mathbb{N}}$. Suponha que $g^n \rightarrow a^+$ e $g^{-n} \rightarrow a^-$ em ∂G . Então $g(a^+) = a^+$ e $g(a^-) = a^-$ e, como a imagem de $\{g^n \mid n \in \mathbb{Z}\}$ é uma quasi-geodésica em X , temos $a^+ \neq a^-$.

Tome um ponto $x \in \partial G \setminus V$. Então existe uma seqüência $\{x_n\}$ convergindo a x tal que $\liminf_{n_1, n_2 \rightarrow \infty} (x_{n_1}, g^{-n_2})_e \leq K$, para algum $K > 0$ (caso contrário, $\liminf_{n_1, n_2 \rightarrow \infty} (x_{n_1}, g^{-n_2})_e = \infty$, o que implicaria em $(x, a^-)_e = \infty$ e portanto $x = a^- \in V$, uma contradição).

Queremos encontrar um inteiro m tal que $g^m(x) \in U$. É suficiente encontrar m tal que $\liminf_{n \rightarrow \infty} (g^m(x_n), g^n)_e \geq M$ onde M tem a seguinte propriedade:

$$(\xi, a^+) \geq M \implies \xi \in U.$$

Pelo Exercício 7.87 existe $N > 0$ tal que, para quaisquer $m, n \geq N$, vale $(x_n, g^{-m})_e \leq K + \delta$. Assim,

$$\frac{1}{2} (d(x_n, e) + d(g^{-m}, e) - d(x_n, g^{-m})) \leq K + \delta,$$

o que, usando que $d(g^m(x_n), e) = d(x_n, g^{-m})$, implica

$$\frac{1}{2} d(g^m(x_n), e) \geq \frac{1}{2} (d(x_n, e) + d(g^{-m}, e)) - (K + \delta).$$

Portanto, obtemos

$$\begin{aligned} (g^m(x_n), g^n)_e &\geq \frac{1}{2} (d(x_n, e) + d(g^{-m}, e) + d(g^n, e) \\ &\quad - d(x_n, g^{n-m})) - (K + \delta) \\ &= [(x_n, g^{n-m})_e - (K + \delta)] + (g^n, g^m)_e, \end{aligned}$$

onde o termo entre colchetes é limitado e $(g^n, g^m)_e \rightarrow \infty$. Tomando m suficientemente grande, obtemos $(g^m(x_n), g^n)_e \geq M$, como queríamos.

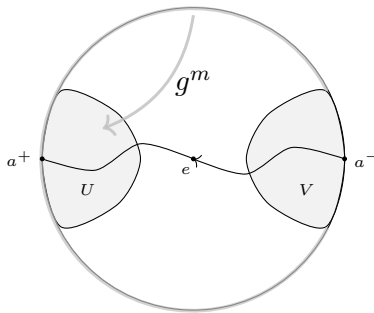


Figura 8.8: Proposição 8.31.

□

Proposição 8.32. Considere um grupo hiperbólico G e um elemento de ordem infinita $g \in G$. Seja $a \in \partial G$ um ponto fixado por g . Então, sob a ação de G em ∂G , o estabilizador $\text{Stab}_G(a)$ é uma extensão finita de $\langle g \rangle$, ou seja, é virtualmente cíclico.

Demonstração. Dada uma classe lateral em $\text{Stab}_G(a)/\langle g \rangle$, tome um representante de classe c de menor comprimento, com respeito a um conjunto de geradores S . Mostraremos que $|c|_S$ é limitado. Seja $a = \lim(g^n) \in \partial G$. Então $\lim(cg_n) = a$ e $\lim(cg_n, g_n)_e = \infty$. Se $c_{1,n}, c_{2,n}$ e $c_{3,n}$ são os pontos centrais dos lados do triângulo $\Delta(e, cg^n, g^n)$, temos que $\lim_{n \rightarrow \infty} (d(e, c_{1,n})) = \infty$ e $d(c_{1,n}, c_{2,n}) \leq \delta$ para todo n .

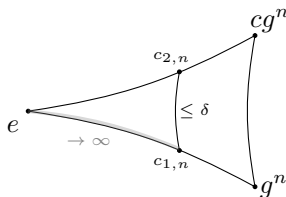


Figura 8.9: Proposição 8.32.

Como a imagem de $\{g^m \mid m \in \mathbb{Z}\}$ é uma quasi-geodésica no grafo de Cayley de G , existe $M > 0$ tal que, para todo n suficientemente grande, existem inteiros k, m tais que $d(c_{1,n}, g^k) \leq M$ e $d(c_{2,n}, cg^m) \leq M$. Assim, $d(e, cg^{m-k}) = d(g^k, cg^m) \leq 2M + \delta$. Mas, para $n \neq 0$, temos $|cg^n|_S \geq |c|_S$. Caso contrário $c_1 := cg^n$ seria um representante da mesma classe $c\langle g \rangle$ com comprimento menor que o de c , o que seria uma contradição. Assim, $|c|_S \leq 2M + \delta$. □

Corolário 8.33. Um grupo hiperbólico G é elementar se, e somente se, ele é finito ou virtualmente cíclico.

Demonstração. Se G é elementar, então G é finito ou a ação de G tem um ponto fixo $a \in \partial G$. Assim, $\text{Stab}_G(a) = G$ e portanto G é virtualmente cíclico.

Por outro lado, se G é infinito e virtualmente cíclico, então existe $g \in G$ tal que $\langle g \rangle$ tem índice finito em G , onde g tem ordem infinita. Assim, pela Proposição 8.32, $\text{Stab}_G(\lim_n g^n)$ é uma extensão finita de $\langle g \rangle$. \square

Teorema 8.34. *Seja G um grupo hiperbólico e tome g_1, g_2 elementos de ordem infinita de G . Então $\langle g_1, g_2 \rangle$ é virtualmente cíclico ou existe um inteiro $k > 0$ tal que $\langle g_1^k, g_2^k \rangle$ é um grupo livre de posto 2.*

Demonstração. Sejam X o grafo de Cayley de G com respeito a S , a^+, a^- os pontos fixos de g_1 e b^+, b^- os pontos fixos de g_2 . Se $\{a^+, a^-\} \cap \{b^+, b^-\} \neq \emptyset$, então $\langle g_1^k, g_2^k \rangle$ é virtualmente cíclico pela Proposição 8.32. Caso contrário, podemos encontrar vizinhanças abertas $a^+ \in U_1, a^- \in V_1, b^+ \in U_2$ e $b^- \in V_2$, onde U_1, U_2, V_1 e V_2 são mutuamente disjuntas. Então existe um inteiro k com

$$g_1^k(U_1 \cup U_2 \cup V_2) \subset U_1, \quad g_2^k(U_2 \cup U_1 \cup V_1) \subset U_2,$$

$$g_1^{-k}(V_1 \cup U_2 \cup V_2) \subset V_1, \quad g_2^{-k}(V_2 \cup U_1 \cup V_1) \subset V_2.$$

Logo, para todos $m, n \neq 0$, temos

$$(g_1^k)^m(U_2 \cup V_2) \subset U_1 \cup V_1, \quad (g_2^k)^n(U_1 \cup V_1) \subset U_2 \cup V_2.$$

Pelo Lema do Pinguim-Pongue, concluímos que $\langle g_1^k, g_2^k \rangle$ é livre de posto 2. \square

Exercício 8.35. Se Γ_1 é um subgrupo de um grupo hiperbólico Γ , onde todo elemento de Γ_1 tem ordem finita, então Γ_1 é um grupo finito.

Corolário 8.36 (Alternativa de Tits para grupos hiperbólicos). Todo subgrupo H de um grupo hiperbólico G contém F_2 ou é virtualmente cíclico.

Ideia da Demonstração: A prova segue diretamente do Teorema 8.34 no caso em que H é gerado por dois elementos de ordem infinita e é trivial no caso em que H é finito.

Caso H seja um grupo infinito qualquer, daremos uma ideia da prova, seguindo [GdlH13, Capítulo 8]. Segue do Exercício 8.35 que H possui um elemento h de ordem infinita, e portanto existem pelo menos dois pontos distintos a^+ e a^- em ∂H , os quais são fixados por h .

Caso $\text{Stab}_H(a^+) \neq \text{Stab}_H(a^-)$, então deve existir $\gamma \in \text{Stab}_H(a^-)$ tal que $\gamma(a^+) \neq a^+$. Mas assim podemos mostrar que h e $\gamma h \gamma^{-1}$ geram um subgrupo livre de posto 2.

Por outro lado, se $\text{Stab}_H(a^+) = \text{Stab}_H(a^-)$, dado que esse grupo contém $\langle h \rangle$ como subgrupo de índice finito, se esses estabilizadores forem iguais a H , então H é virtualmente cíclico. O mesmo ocorre se H preserva o par $\{a^+, a^-\}$, pois podemos considerar o subgrupo $H \cap \text{Stab}_H(a^+)$, de índice no máximo 2 em H . Caso contrário, existe um elemento γ de H tal que $\gamma(a^+), \gamma(a^-) \notin \{a^+, a^-\}$. O elemento $h' = \gamma h \gamma^{-1}$ tem portanto como pontos fixos os dois pontos $\gamma(a^+)$ e $\gamma(a^-)$, distintos de a^+, a^- . Novamente uma aplicação do Lema do Pingue-Pongue mostra que, para n suficientemente grande, h^n e $(h')^n$ geram um grupo livre de posto 2 em H . \square

8.5 Grupos relativamente hiperbólicos

Grupos relativamente hiperbólicos foram introduzidos por M. Gromov no mesmo artigo [Gro87] que grupos hiperbólicos. Enquanto grupos hiperbólicos são modelados em reticulados cocompactos em espaços simétricos de curvatura negativa, grupos relativamente hiperbólicos são modelados em reticulados não cocompactos em espaços de curvatura negativa e, mais geralmente, grupos fundamentais de variedades Riemannianas completas de volume finito e curvatura estritamente negativa. A ideia de Gromov foi elaborada por B. Bowditch no artigo [Bow12], que estava disponível anteriormente como um preprint da Universidade de Southampton.

Definição 8.37 ([Bow12]). Um grupo finitamente gerado G é *hiperbólico em relação a uma coleção de subgrupos* finitamente gerados H_1, \dots, H_m se ele admite uma ação isométrica propriamente des-

contínua em um espaço hiperbólico próprio X , de modo que a ação induzida de G na fronteira ∂X satisfaz as seguintes condições:

- (1) O grupo G atua em ∂X como um grupo de convergência geometricamente finito;
- (2) Os subgrupos parabólicos maximais de G são precisamente os subgrupos de G conjugados a H_1, \dots, H_m .

Lembramos que um grupo G de homeomorfismos de um compacto metrizável M atua em M como um *grupo de convergência* se a ação induzida no espaço de triplas distintas de elementos de M for propriamente descontínua. Além disso, um subgrupo $H \leq G$ é *parabólico* se for infinito, fixar algum ponto de M e não contiver elementos $g \in G$ de ordem infinita tais que $\text{card}(\text{Fix}(g)) = 2$. Neste último caso, o ponto fixo de H é único e é chamado de *ponto parabólico*. Um ponto parabólico x é dito *limitado* se $(M \setminus \{x\})/\text{Stab}_G(x)$ for compacto. Um ponto $x \in M$ é chamado de *ponto limite cônico* se existirem uma sequência g_i em G e dois pontos distintos $a, b \in M$ tais que $g_i x$ converge para a e $g_i y$ converge para b , para qualquer $y \in M \setminus \{x\}$. Finalmente, um grupo de convergência G é chamado *geometricamente finito* se cada ponto de M for um ponto limite cônico ou um ponto parabólico limitado.

A abordagem de Bowditch à hiperbolicidade relativa foi mais desenvolvida por A. Yaman em [Yam04].

Uma outra definição de hiperbolicidade relativa foi sugerida por B. Fard em [Far98]. Sejam G um grupo, gerado por um conjunto finito S , e $\{H_1, H_2, \dots, H_m\}$ uma coleção de subgrupos de G . Começamos com o grafo de Cayley $\text{Cay}(G, S)$ e formamos um novo grafo da seguinte forma: para cada classe lateral à esquerda gH_i de H_i em G , adicione um vértice $v(gH_i)$ a $\text{Cay}(G, S)$ e adicione uma aresta $e(gh)$, de comprimento $1/2$, ligando cada elemento gh de gH_i ao vértice $v(gH_i)$. Este novo grafo é chamado de *grafo de Cayley conado* de G relativo a $\{H_1, H_2, \dots, H_m\}$ e é denotado por $\widehat{\text{Cay}}(G, S)$ e munido da métrica de caminhos. Note que $\widehat{\text{Cay}}(G, S)$ não é um espaço métrico próprio, pois bolas fechadas não são necessariamente compactas.

Definição 8.38 ([Far98]). O grupo G é *hiperbólico relativamente* a $\{H_1, H_2, \dots, H_m\}$ se o grafo de Cayley conado $\widehat{\text{Cay}}(G, S)$ de G relativo a $\{H_1, H_2, \dots, H_m\}$ for um espaço métrico hiperbólico.

Em geral, a definição de Farb não é equivalente à de Gromov e Bowditch, mas elas se tornam equivalentes se assumirmos uma propriedade extra chamada penetração de coset limitada. Nos referimos a [Osi06] para os detalhes.

Em [Osi06], D. Osin obteve uma caracterização da hiperbolicidade relativa em termos de desigualdades isoperimétricas e adotou técnicas baseadas em diagramas de van Kampen para o estudo de propriedades algébricas e algorítmicas de grupos relativamente hiperbólicos.

Concluimos esta seção com alguns exemplos de grupos relativamente hiperbólicos.

- Exemplos 8.39.** (1) Os grupos hiperbólicos são claramente relativamente hiperbólicos em relação ao subgrupo trivial.
- (2) Grupos fundamentais de variedades completas, de volume finito e curvatura estritamente negativa; os subgrupos H_i são os grupos fundamentais de suas cúspides ([Bow12, Far98]).
- (3) Um grupo hiperbólico G é hiperbólico relativamente a um conjunto de subgrupos $\{H_1, \dots, H_n\}$ se cada H_i é quasi-convexo e quase malnormal em G (veja [Far98]). Lembramos que um subgrupo $H \leq G$ é chamado *malnormal* se, para cada $g \in G \setminus H$, a interseção $|gHg^{-1} \cap H|$ é trivial, enquanto H é dito *quase malnormal* se, para cada $g \in G \setminus H$, a interseção $|gHg^{-1} \cap H|$ é finita.
- (4) Grupos totalmente residualmente livres, conhecidos como grupos limites de Sela; eles têm como subgrupos periféricos H_i uma lista finita de subgrupos abelianos não cíclicos máximos [Dah03].

Grupos relativamente hiperbólicos constituem uma área de pesquisa atualmente ativa. Vários resultados provados inicialmente

para grupos hiperbólicos podem ser generalizados para o caso relativamente hiperbólico. Nos referimos aos artigos citados acima e trabalhos subsequentes para os resultados e aplicações.

Capítulo 9

Crescimento de grupos e os teoremas de Wolf, Milnor e Gromov

9.1 A função de crescimento

Definição 9.1. Um espaço métrico X é dito *uniformemente discreto* se existe uma função $\varphi : \mathbb{R}_+ \rightarrow \mathbb{N}$ tal que cada bola fechada $\overline{B(x, r)} \subset X$ contém no máximo $\varphi(r)$ pontos.

Definição 9.2. Sejam X um espaço métrico uniformemente discreto e $p \in X$ um ponto base. Definimos a *função de crescimento* de X (com base em p) por

$$\rho_{X,p}(r) = \text{card}(\overline{B(p, r)}).$$

Vamos relembrar quando duas funções reais são ditas assintoticamente iguais. Sejam $f, g : X \subset \mathbb{R} \rightarrow \mathbb{R}$. Escrevemos $f \preceq g$ se existir uma constante $K > 0$ tal que

$$f(x) \leq Kg(Kx + K) + K, \text{ para todo } x \in [0, \infty).$$

Se $f \preceq g$ e $g \preceq f$ então escrevemos $f \asymp g$ e dizemos que f e g são *assintoticamente iguais*. A relação \asymp é uma relação de equivalência no

conjunto de funções em X (observe que essa noção de equivalência é um pouco mais fina que equivalência usada na Seção 8.2.)

Lema 9.3 (A classe de crescimento é invariante por quasi-isometrias). Se $f : X \rightarrow Y$ é uma quasi-isometria entre espaços métricos (X, d_X) e (Y, d_Y) uniformemente discretos, com $f(x) = y$ para certos pontos $x \in X$ e $y \in Y$, então $\rho_{X,x} \asymp \rho_{Y,y}$.

Demonstração. Considere $f : X \rightarrow Y$ e $\bar{f} : Y \rightarrow X$, mergulhos (L, C) -quasi-isométricos e quasi-inversos um do outro. Temos

$$L^{-1}d_X(x, x') - C \leq d_Y(f(x), f(x')) \leq Ld_X(x, x') + C$$

e

$$L^{-1}d_Y(y, y') - C \leq d_X(\bar{f}(y), \bar{f}(y')) \leq Ld_Y(y, y') + C.$$

Seja $D = \max\{d_Y(f(x), y), d_X(\bar{f}(y), x)\}$. Então, para cada $r > 0$, obtemos

$$f(\overline{B(x, r)}) \subset \overline{B(y, Lr + D + C)}, \quad \bar{f}(\overline{B(y, r)}) \subset \overline{B(x, Lr + D + C)}.$$

Com efeito, dado $x' \in \overline{B(x, r)}$, segue da desigualdade triangular que

$$\begin{aligned} d(f(x'), y) &\leq d(f(x'), f(x)) + d(f(x), y) \\ &\leq Ld(x, x') + C + D \\ &\leq LrC + D. \end{aligned}$$

Note que, se $f(x') = f(x)$, então $d(x, x') \leq LC$. De fato,

$$L^{-1}d(x, x') - C \leq 0 = d(f(x), f(x')).$$

O mesmo vale para \bar{f} . Como os espaços X e Y são uniformemente discretos, considerando os mapas φ_X e φ_Y na Definição 9.1, obtemos que ambos os mapas f e \bar{f} tem multiplicidade menor ou igual a $m = \max\{\varphi_X(LC), \varphi_Y(LC)\}$. Segue que

$$\text{card}(\overline{B(x, r)}) \leq m \cdot \text{card}(f(\overline{B(x, r)})) \leq m \cdot \text{card}(\overline{B(y, Lr + C + D)}),$$

que implica $\rho_{X,x}(r) \leq \rho_{Y,y}(Lr + (D + C))$, ou equivalentemente, $\rho_{X,x} \preceq \rho_{Y,y}$. Analogamente, podemos mostrar que $\rho_{Y,y} \preceq \rho_{X,x}$ e portanto, $\rho_{X,x} \asymp \rho_{Y,y}$. \square

Corolário 9.4. Tem-se $\rho_{X,x} \asymp \rho_{X,x'}$, para todos $x, x' \in X$. Com isso, podemos escrever $\rho_X := \rho_{X,x}$, qualquer que seja $x \in X$.

Se G é um grupo finitamente gerado por um conjunto S , equipado com a métrica das palavras, usaremos as notações $\rho_{G,S}$ ou ρ_S para a função de crescimento de G .

- Exercício 9.5.**
1. Calcule a função de crescimento do grupo \mathbb{Z}^2 , equipado com os geradores $e_1 = (1, 0)$ e $e_2 = (0, 1)$.
 2. Mais geralmente, se $G = \mathbb{Z}^k$, mostre que $\rho_S \asymp x^k$ para qualquer conjunto finito de geradores S . Conclua que \mathbb{Z}^m é quasi-isométrico a \mathbb{Z}^n se, e somente se, $m = n$.
 3. Prove que, para $n \geq 2$ o grupo $\text{SL}(n, \mathbb{Z})$ tem crescimento exponencial.
 4. Se $G = F_n$ é o grupo livre de posto $n \geq 2$ e S é um conjunto com n geradores para G , mostre que $\rho_S(x) = 1 + (q^x - 1) \frac{q + 1}{q - 1}$, $q = 2n - 1$.

Proposição 9.6. Seja G um grupo finitamente gerado.

- (1) Se S e S' são dois conjuntos finitos de geradores de G , então $\rho_S \asymp \rho_{S'}$.
- (2) Se G é infinito, então a restrição $\rho_S|_{\mathbb{N}}$ é estritamente crescente.
- (3) A função de crescimento é sub-multiplicativa:

$$\rho_S(r + t) \leq \rho_S(r)\rho_S(t).$$

- (4) A função de crescimento satisfaz $\rho_S(r) \leq 2^r$.

Demonstração. (1) Segue imediatamente do Lema 9.3 e do fato que (G, d_S) e $(G, d_{S'})$ são quasi-isométricos.

- (2) Sejam $n < m \in \mathbb{N}$. Sendo G infinito, deve existir $g \in G$ tal que $d = d_S(1, g) \geq m$. Considere uma geodésica $\gamma : [0, d] \rightarrow \text{Cay}(G, S)$ ligando 1 e g . O vértice $\gamma(n + 1)$ pertence a $\overline{B(1, m)} \setminus \overline{B(1, n)}$. Portanto, $\rho_S(m) \geq \rho_S(n + 1) > \rho_S(n)$.

(3) Segue imediatamente do fato de que

$$\overline{B(1, r+t)} \subset \bigcup_{y \in \overline{B(1,t)}} \overline{B(y, r)}.$$

(4) Decorre da existência do epimorfismo $\pi_S : F(S) \rightarrow G$.

□

A seguir, relembremos o Lema de Fekete, para sequências subaditivas de números reais.

Lema 9.7 (Lema de Fekete). Se (a_n) é uma sequência de números reais não negativos tais que $a_{i+j} \leq a_i + a_j$ para $i, j \geq 1$, então existe $\lim_{n \rightarrow \infty} \frac{a_n}{n}$ e ele é igual a $\inf \left\{ \frac{a_n}{n} \right\}$.

A propriedade (3) na proposição acima garante que a função $\log \rho_S$ é subaditiva. Portanto, pelo Lema de Fekete, existe o limite

$$\lim_{n \rightarrow \infty} \frac{\log \rho_S(n)}{n}.$$

Definimos assim a *constante de crescimento* de um grupo G finitamente gerado pelo conjunto S :

$$\gamma_S = \lim_{n \rightarrow \infty} (\rho_S(n))^{\frac{1}{n}}.$$

A propriedade (2) implica que $\rho_S(n) \geq n$. Portanto, $\gamma_S \geq 1$ se G for infinito.

Definição 9.8. Se $\gamma_S > 1$, dizemos que G tem *crescimento exponencial*. Nesse caso, o número γ_S é chamado de *ordem de crescimento exponencial* ou *entropia* de (G, S) . Caso $\gamma_S = 1$, dizemos que G tem *crescimento subexponencial*.

Observamos que a propriedade (1) na Proposição 9.6 implica que a definição acima não depende da escolha de geradores. Por exemplo, pelo Exercício 9.5.4 temos que o grupo livre não abeliano F_n tem crescimento exponencial de ordem $2n - 1$.

Proposição 9.9. (1) Se $H \leq G$ são finitamente gerados, então $\rho_H \preceq \rho_G$;

(2) Se H é um subgrupo de índice finito de G então $\rho_H \asymp \rho_G$;

(3) Se N é um subgrupo normal de G então $\rho_{G/N} \preceq \rho_G$;

(4) Se N é um subgrupo normal finito de G então $\rho_{G/N} \asymp \rho_G$.

Demonstração. (1) Seja X um conjunto finito que gera H , e suponha que $S \supset X$ gera G . Então $\text{Cay}(H, X)$ é um subgrafo de $\text{Cay}(G, S)$ e

$$\text{dist}_X(1, h) \geq \text{dist}_S(1, h) \quad \forall h \in H.$$

Em particular, temos $\overline{B(1, r)}_{\text{Cay}(H, X)} \subseteq \overline{B(1, r)}_{\text{Cay}(G, S)}$ e o resultado segue.

(2) e (3) Estes fatos decorrem imediatamente do Lema 9.3 e do Teorema de Milnor–Schwarz.

(4) Seja S um conjunto finito de geradores de G tal que $S^{-1} = S$ e $1 \notin S$. Então o conjunto $\overline{S} := \{sN \mid s \in S, s \notin N\}$ gera G/N . A projeção $\pi : G \rightarrow G/N$ mapeia a bola $\overline{B(1, r)}$ de $\text{Cay}(G, S)$ na bola $\overline{B(1, r)}$ de $\text{Cay}(G/N, \overline{S})$, o que fornece o resultado desejado. \square

Agora vamos considerar algumas propriedades específicas de grupos com *crescimento polinomial*, i.e. quando existem constantes $a, b \in \mathbb{R}$ tais que $\rho_{G, S}(x) \leq ax^b$ para todo x . Se G tem crescimento polinomial, seu *grau* de crescimento é definido por

$$\begin{aligned} d(G) &= \inf\{b \mid \text{existe } a \text{ tal que } \rho_{G, S}(x) \leq ax^b\} \\ &= \limsup_{x \rightarrow \infty} \frac{\log \rho_{G, S}(x)}{\log x}. \end{aligned}$$

Proposição 9.10. Seja G um grupo com crescimento polinomial.

(1) Se um grupo H satisfaz $\rho_H \asymp \rho_G$, então $d(H) = d(G)$. Em particular, o grau de crescimento não depende da escolha dos geradores.

(2) Se $H \leq G$ tem índice infinito e é finitamente gerado, então $d(H) \leq d(G) - 1$.

- (3) Se $N \triangleleft G$ for infinito e finitamente gerado, então $d(G/N) \leq d(G) - 1$.

Demonstração. A prova de (1) segue imediatamente da definição da equivalência assintótica e dos resultados anteriores nesta seção.

Seja $H \leq G$ tal que $|G : H| = \infty$. Considere $X = \{x_1, \dots, x_m\}$ um conjunto de geradores de G , que assumimos conter também um conjunto de geradores de H . Denote por Hu_1, \dots, Hu_n algumas classes laterais distintas de H . O conjunto $K := Hu_1 \cup \dots \cup Hu_n$ não é fechado sob multiplicação à direita pelos geradores de G e seus inversos, pois caso contrário, teríamos $K = G$ e H teria índice finito. Assim, um dos elementos $u_i x_j^{\pm 1}$ representa uma nova classe lateral. Começando com $u_1 = x_1$, este argumento mostra que, para cada $n \in \mathbb{N}$, podemos encontrar n classes distintas de H que são representadas por elementos de comprimento no máximo n , então podemos supor que $l(u_i) \leq i$. Se z_1, \dots, z_k são elementos de comprimento no máximo n de H , então os elementos $z_i u_j$ são todos diferentes entre si. Portanto, $\rho_G(2n) \geq n \rho_H(n)$ e, se o crescimento for polinomial, então $d(G) \geq d(H) + 1$.

Agora seja N um subgrupo normal, infinito e finitamente gerado de G . Tome um conjunto finito X de geradores de G , contendo um conjunto Y de geradores de N . Temos

$$\rho_{G,X}(2n) \geq \rho_{G/N, X/N}(n) \rho_{N,Y}(n) \geq n \rho_{G/N}(n),$$

que implica que $d(G) \geq d(G/N) + 1$. □

9.2 Grupos solúveis, nilpotentes e policíclicos

Nesta seção, trabalharemos com importantes classes de grupos, como grupos solúveis, nilpotentes e policíclicos. Lembramos agora suas definições e algumas propriedades básicas. Mais detalhes podem ser encontrados em livros sobre teoria de grupos, como [Lan02].

Definição 9.11. Um grupo é dito *solúvel* se existem finitos subgrupos $G = G_0 \supseteq \dots \supseteq G_{n-1} \supseteq G_n = \{e\}$, tais que G_i/G_{i+1} é abeliano, para cada $i = 0, \dots, n-1$.

Alternativamente, podemos dizer que G é solúvel se sua *série derivada* $G \supseteq G^{(1)} \supseteq G^{(2)} \supseteq \dots$, onde para cada $i \geq 1$, o grupo $G^{(i+1)}$ é o comutador de $G^{(i)}$, eventualmente chega ao grupo trivial $\{e\}$. Lembramos que o comutador de um grupo G é o subgrupo $[G, G]$, gerado pelo conjunto $\{[g, h] = ghg^{-1}h^{-1} \mid g, h \in G\}$. A condição $G^{(1)} = \{e\}$ significa que o grupo G é abeliano. No caso em que $G^{(2)} = \{e\}$ o grupo é chamado *metabeliano*.

Subgrupos e quocientes de grupos solúveis são solúveis, bem como extensões de um grupo solúvel por um outro grupo solúvel.

Definição 9.12. Dado um grupo G , definimos indutivamente, para todo $n \in \mathbb{N}$, subgrupos $C^n(G)$ por $C^0(G) := G$ e, para cada n , $C^{n+1}(G) := [C^n(G), G]$. A sequência

$$C^1(G) \supseteq C^2(G) \supseteq \dots \supseteq C^n(G) \supseteq \dots$$

é chamada *série central inferior* de G . Dizemos que G é *nilpotente* de classe n se existe $n \in \mathbb{N}$ tal que $C^n(G)$ é trivial.

Podemos também definir grupos nilpotentes em termos de sua *série central superior*:

$$Z_0(G) = \{e\} \trianglelefteq Z_1(G) \trianglelefteq \dots \trianglelefteq Z_i(G) \trianglelefteq Z_{i+1}(G) \trianglelefteq \dots,$$

onde os subgrupos normais $Z_i(G) \triangleleft G$ são também definidos indutivamente, da seguinte forma: se $Z_i(G)$ está definido, e $\pi_i : G \rightarrow G/Z_i(G)$ é o mapa quociente, então

$$Z_{i+1}(G) := \pi_i^{-1}(Z(G/Z_i(G))).$$

Estes grupos são normais em G pelo fato de serem a imagem inversa pelo mapa quociente de um subgrupo normal do quociente em questão.

Proposição 9.13. Um grupo G é nilpotente se, e somente se, sua série central superior é finita.

Exercício 9.14. Demonstre a Proposição 9.13.

Subgrupos, grupos quocientes e produtos diretos de grupos nilpotentes são nilpotentes, mas uma extensão de um grupo nilpotente por outro não precisa ser nilpotente. Este último fato pode ser visto considerando o menor grupo não abeliano, o grupo simétrico sobre três letras S_3 . O mesmo exemplo mostra que os grupos solúveis não precisam ser nilpotentes, embora fique claro pela definição que os grupos nilpotentes são solúveis.

Exemplo 9.15. 1. Todo grupo abeliano é nilpotente (e solúvel) já que o seu comutador é trivial.

2. O grupo de Heisenberg

$$H = \langle x, y, z \mid [x, z] = 1, [y, z] = 1, [x, y] = z \rangle$$

é nilpotente. De fato, $C^1(H) = [H, H] \cong \langle z \rangle_H$, e portanto $C^2(H) \cong [H, \langle z \rangle_H] = \{e\}$.

3. Grupos virtualmente nilpotentes não precisam ser nilpotentes ou solúveis. Por exemplo, todo grupo finito é virtualmente nilpotente, mas nem todo grupo finito é nilpotente (veja o caso dos grupos alternados A_n , os quais são simples e portanto nem sequer solúveis para $n \geq 5$ [Lan02, Teorema I.5.5]).

4. Existem grupos solúveis que não são virtualmente nilpotentes. Por exemplo, o produto semidireto $\mathbb{Z}^2 \rtimes_{\alpha} \mathbb{Z}$, onde $\alpha : \mathbb{Z} \rightarrow \text{Aut}(\mathbb{Z}^2)$ é dado pela ação da matriz $\begin{pmatrix} 1 & 1 \\ 1 & 2 \end{pmatrix}$ em \mathbb{Z}^2 é um desses grupos (exercício).

Exemplo 9.16. Se G é um grupo finitamente gerado e nilpotente, seu cone assintótico é homeomorfo a \mathbb{R}^m , onde m é a soma dos postos da série central inferior de G (veja [Poi95]).

Definição 9.17. Um grupo G é dito *policíclico* se existir uma série subnormal descendente

$$G = N_0 \triangleright N_1 \triangleright \cdots \triangleright N_n = \{e\}, \quad (9.1)$$

tal que N_i/N_{i+1} é cíclico para todo $i = 0, \dots, n - 1$.

Uma série como acima é chamada *série cíclica*, e seu comprimento é o número de subgrupos não triviais na série. Esse número é menor ou igual a n . O *comprimento* $\ell(G)$ de um grupo policíclico é o menor comprimento de uma série cíclica de G . Se, além disso, N_i/N_{i+1} é cíclico infinito para todo $i > 0$, então o grupo G é chamado *poli- C_∞* e a série é chamada *série- C_∞* . Declaramos que o grupo trivial é poli- C_∞ .

Proposição 9.18. (1) Um grupo policíclico tem a propriedade de *geração limitada*: se G é um grupo com série cíclica (9.1) de comprimento n e t_i é tal que $t_i N_{i+1}$ é um gerador de N_i/N_{i+1} , então todo $g \in G$ pode ser escrito como $g = t_1^{k_1} \dots t_n^{k_n}$, para $k_1, \dots, k_n \in \mathbb{Z}$.

- (2) Um grupo de torção policíclico é finito.
- (3) Todo subgrupo de um grupo policíclico é policíclico e, portanto, finitamente gerado.
- (4) Se N é um subgrupo normal em um grupo policíclico G , então G/N é policíclico.
- (5) Se $N \triangleleft G$ e ambos N e G/N são policíclicos, então G é policíclico.
- (6) As propriedades (3) e (5) valem com “poli- C_∞ ” no lugar de “policíclico”, mas a propriedade (4) não.

Exercício 9.19. Prove a Proposição 9.18.

Todo grupo policíclico é solúvel. De fato, isto segue imediatamente por indução sobre o comprimento cíclico de um grupo policíclico G e da propriedade que a extensão de um grupo solúvel por

um outro grupo solúvel é solúvel. Existe também uma relação na direção oposta, válida para uma subclasse especial de grupos solúveis.

Definição 9.20. Um grupo é dito *noetheriano*, ou satisfaz a *condição máxima*, se para cada sequência crescente de subgrupos

$$H_1 \leq H_2 \leq \dots \leq H_n \leq \dots \tag{9.2}$$

existe N tal que $H_n = H_N$ para todo $n \geq N$.

Proposição 9.21. Um grupo G é noetheriano se, e somente se, todo subgrupo de G é finitamente gerado.

Demonstração. Suponha que G seja um grupo noetheriano e seja $H \leq G$ um subgrupo que não é finitamente gerado. Escolha $h_1 \in H \setminus \{1\}$ e seja $H_1 = \langle h_1 \rangle$. Indutivamente, suponha que

$$H_1 \leq H_2 \leq \dots \leq H_n$$

é uma sequência estritamente crescente de subgrupos finitamente gerados de H . Escolha $h_{n+1} \in H \setminus H_n$ e defina $H_{n+1} := \langle H_n, h_{n+1} \rangle$. Temos, portanto, uma sequência infinita estritamente crescente de subgrupos de G , contradizendo a suposição de que G é noetheriano.

Por outro lado, suponha que todos os subgrupos de G sejam finitamente gerados e considere uma sequência crescente de subgrupos como em (9.2). Então $H = \bigcup_{n \geq 1} H_n$ é um subgrupo, portanto gerado por um conjunto finito S . Existe N tal que $S \subseteq H_N$, portanto $H_N = H = H_n$ para todo $n \geq N$. □

Proposição 9.22. Um grupo solúvel é policíclico se, e somente se, for noetheriano.

Demonstração. A parte ‘somente se’ segue imediatamente das Proposições 9.18(3) e 9.21.

Seja G um grupo noetheriano e solúvel. Provamos por indução no comprimento derivado k que G é policíclico. Para $k = 1$ o grupo é abeliano e, como, por hipótese, G é finitamente gerado, o grupo

é policíclico. Suponha que a afirmação seja verdadeira para k e considere um grupo solúvel G de comprimento derivado $k + 1$. O subgrupo comutador $G' \leq G$ também é noetheriano, e ele também é solúvel de comprimento derivado k . Portanto, pela hipótese de indução, G' é policíclico. A abelianização $G_{ab} = G/G'$ é finitamente gerada (porque G é, por hipótese), portanto é policíclica. Segue-se que G é policíclico pela Proposição 9.18(5). \square

Observação 9.23. Existem grupos noetherianos que não são virtualmente policíclicos, por exemplo os *monstros de Tarski*, que são grupos G finitamente gerados, tais que todo subgrupo próprio de G é cíclico (veja [Ol'91]).

Um exemplo instrutivo de grupo solúvel é o *grupo acendedor de lâmpadas*. Este grupo é o produto entrelaçado $G = \mathbb{Z}_2 \wr \mathbb{Z}$ no sentido da Definição 1.16.

Os produtos entrelaçados de grupos finitamente gerados também são finitamente gerados, portanto, o grupo acendedor de lâmpadas é finitamente gerado. Por outro lado, ele possui as seguintes propriedades:

- (1) Nem todos os subgrupos no grupo de acendedor de lâmpadas G são finitamente gerados. Por exemplo, o subgrupo $\bigoplus_{n \in \mathbb{Z}} \mathbb{Z}_2$ de G não é finitamente gerado.
- (2) O grupo acendedor de lâmpadas G não é virtualmente livre de torção: Para qualquer subgrupo de índice finito $H \leq G$, a interseção $H \cap \bigoplus_{n \in \mathbb{Z}} \mathbb{Z}_2$ tem índice finito em $\bigoplus_{n \in \mathbb{Z}} \mathbb{Z}_2$; em particular, esta interseção é infinita e contém elementos de ordem 2.

Observe que tanto (1) como (2) implicam que o grupo acendedor de lâmpadas não é policíclico.

- (3) O subgrupo comutador G' do grupo acendedor de lâmpadas G coincide com o seguinte subgrupo de $\bigoplus_{n \in \mathbb{Z}} \mathbb{Z}_2$:

$$C = \{f : \mathbb{Z} \rightarrow \mathbb{Z}_2 \mid \text{Supp}(f) \text{ tem cardinalidade par}\},$$

onde $\text{Supp}(f) = \{n \in \mathbb{Z} \mid f(n) = 1\}$.

Em particular, G' não é finitamente gerado e o grupo G é metabeliano (já que G' é abeliano).

Exercício 9.24. Verifique a descrição do subgrupo comutador de G dada em (3).

Exercício 9.25. Prove que o grupo acendedor de lâmpadas tem crescimento exponencial.

9.3 A conjectura de Milnor e o teorema de Wolf

A direção principal para o desenvolvimento da teoria do crescimento de grupos foi definida pela seguinte conjectura (ou problema) de J. Milnor e J. Wolf [Mil68c, Wol68]:

Conjetura 9.26 (Milnor, 1968). *O crescimento de um grupo finitamente gerado é polinomial (i.e. $\rho_S(x) \preceq x^d$ para qualquer conjunto de geradores S) ou exponencial (i.e. $\gamma_S > 1$ para todo S).*

O primeiro resultado positivo em relação à conjectura foi o Teorema de Wolf [Wol68]:

Teorema 9.27 (Wolf, 1968). *Um grupo policíclico é virtualmente nilpotente ou tem crescimento exponencial.*

Para grupos virtualmente nilpotentes, o crescimento foi calculado explicitamente de forma independente por H. Bass [Bas72] e Y. Guivarc'h [Gui70, Gui73]:

Teorema 9.28 (Bass–Guivarc'h). *Seja G um grupo finitamente gerado nilpotente de classe k . Para qualquer $i \geq 1$, seja $m_i \in \mathbb{N}$ tal que*

$$C^i G / C^{i+1} G \cong \mathbb{Z}^{m_i} \times F_i,$$

onde $C^i G = [G, C^{i-1} G]$, $C^1 G = G$ e F_i é finito abeliano.

Nesse caso, $\rho_G(n) \asymp n^d$ com $d = \sum_{i=1}^k m_i$.

Nosso próximo objetivo é fornecer as provas dos Teoremas 9.27 e 9.28, o que exigirá alguns resultados auxiliares. Começamos estudando os automorfismos de grupos abelianos.

Lema 9.29. Seja $v = (v_1, \dots, v_n) \in \mathbb{Z}^n$ tal que $\text{mdc}(v_1, \dots, v_n) = 1$. Então $\mathbb{Z}^n / \langle v \rangle$ é um grupo livre abeliano de posto $n - 1$. Além disso, existe uma base $\{v, y_1, \dots, y_{n-1}\}$ de \mathbb{Z}^n tal que $\{y_1 + \langle v \rangle, \dots, y_{n-1} + \langle v \rangle\}$ é uma base de $\mathbb{Z}^n / \langle v \rangle$.

Exercício 9.30. Prove o Lema 9.29.

Lema 9.31. Suponha que $M \in \text{GL}(n, \mathbb{Z})$ tem todos os autovalores iguais a 1. Então existe uma cadeia finita de subgrupos

$$\{1\} = \Lambda_0 \subset \Lambda_1 \subset \dots \subset \Lambda_{n-1} \subset \Lambda_n = \mathbb{Z}^n$$

tal que $\Lambda_i \cong \mathbb{Z}^i$, $\Lambda_{i+1}/\Lambda_i \cong \mathbb{Z}$, $M(\Lambda_i) = \Lambda_i$ e M age trivialmente em Λ_{i+1}/Λ_i para todo $i \geq 0$.

Demonstração. Como M tem autovalor 1, existe um vetor v in \mathbb{Z}^n , $v = (v_1, \dots, v_n)$ tal que $\text{mdc}(v_1, \dots, v_n) = 1$ e $Mv = v$. Então M induz um automorfismo de $\mathbb{Z}^n / \langle v \rangle \cong \mathbb{Z}^{n-1}$ e a sua matriz tem todos os autovalores iguais a 1 (basta escrever a matriz na base $\{v, y_1, \dots, y_{n-1}\}$ do Lema 9.29). Portanto, existe $w + \langle v \rangle \in \mathbb{Z}^n / \langle v \rangle$ com

$$M(w + \langle v \rangle) = w + \langle v \rangle.$$

Conclui-se a prova por indução. □

Lema 9.32. Seja $M \in \text{GL}(n, \mathbb{Z})$ tal que o valor absoluto de todos os seus autovalores é igual a 1. Então todos os autovalores de M são raízes da unidade.

Demonstração. Sejam $\lambda_1, \dots, \lambda_n$ os autovalores de M , contados com multiplicidade. Note que

$$\text{tr}(M^k) = \sum_{i=1}^n \lambda_i^k.$$

Como $M \in \text{GL}(n, \mathbb{Z})$, $\text{tr}(M^k) \in \mathbb{Z}$ para todo $k \in \mathbb{Z}$. Os vetores $v_k = (\lambda_1^k, \dots, \lambda_n^k)$ pertencem ao grupo $(\mathbb{S}^1)^n =: G$, que é um grupo de Lie compacto. Por isso existe uma subsequência (v_{k_i}) convergente, e então

$$\lim_{i \rightarrow \infty} (v_{k_i} v_{k_{i-1}}^{-1}) = 1 \text{ em } G.$$

Sejam $m_i = k_{i+1} - k_i$. Temos $\lim_{i \rightarrow \infty} \lambda_j^{m_i} = 1$ para $j = 1, \dots, n$, o que

implica que $s_i = \sum_{j=1}^n \lambda_j^{m_i} \rightarrow n$ quando $i \rightarrow \infty$.

Sabendo que $\text{tr}(M^{m_i}) \in \mathbb{Z}$, concluímos que s_i estabiliza para i suficiente grande. Isto é, para todo $i \geq i_0$, temos s_i constante, e então

$$\sum_{j=1}^n \text{Re}(\lambda_j^{m_i}) = n, \quad i \geq i_0.$$

Isso implica que $\text{Re}(\lambda_j^{m_i}) = 1$ para todo j e $i \geq i_0$. Portanto, $\lambda_j^{m_i} = 1$ e os λ_j são raízes da unidade. \square

Lema 9.33. Suponha que $M \in \text{GL}(n, \mathbb{Z})$ tenha um autovalor λ tal que $|\lambda| \geq 2$. Então existe um vetor $v \in \mathbb{Z}^n$ tal que a função $F : \oplus_{i \in \mathbb{N}} \mathbb{Z}_2 \rightarrow \mathbb{Z}^n$, definida em sequências $(s_i)_{i \in \mathbb{N}}$, com $s_i = 0$ ou 1 e $s_i = 0$ para i suficiente grande, por

$$(s_i) \rightarrow s_0 v + s_1 M v + s_2 M^2 v + \dots$$

é injetiva.

Demonstração. Considere a aplicação $\phi : \mathbb{Z}^n \rightarrow \mathbb{Z}^n$ dada por $\phi(v) = Mv$. O dual ϕ^* tem matriz M^T em base canônica dual, e então também tem λ como autovalor. Portanto, existe uma forma linear $f : \mathbb{C}^n \rightarrow \mathbb{C}$ tal que $\phi^*(f) = f \circ \phi = \lambda f$.

Seja $v \in \mathbb{Z}^n \setminus \text{Ker}(f)$. Suponha que a aplicação F , definida a partir de v , não é injetiva, i.e. que existe $(t_i)_{i \in \mathbb{N}}$, $t_i \in \{0, 1\}$, tal que

$$t_0 v + t_1 M v + t_2 M^2 v + \dots = 0$$

e $t_i = 0$ para $i > N$.

Temos $M^N v = r_0 v + r_1 M v + \dots + r_{N-1} M^{N-1} v$, com $r_i \in \{-1, 0\}$. Aplicando f a ambos os lados desta fórmula, obtemos

$$\lambda^N f(v) = (r_0 + r_1 \lambda + \dots + r_{N-1} \lambda^{N-1}) f(v);$$

$$|\lambda|^N \leq \sum_{i=0}^{N-1} |\lambda|^i = \frac{|\lambda|^N - 1}{|\lambda| - 1} \leq |\lambda|^N - 1,$$

uma contradição, o que mostra que F é injetiva. \square

Voltamos agora ao estudo dos grupos policíclicos e nilpotentes.

Proposição 9.34. Sejam G um grupo finitamente gerado nilpotente e $\phi : G \rightarrow G$ um automorfismo. Então o produto semidireto $S = G \rtimes_{\phi} \mathbb{Z}$ (que é policíclico) é

- (1) virtualmente nilpotente; ou
- (2) tem crescimento exponencial.

Demonstração. O automorfismo ϕ preserva os subgrupos

$$C^i G = [G, C^{i-1} G], \quad C^1 G = G,$$

que formam a série central inferior, então ϕ induz automorfismos ϕ_i de grupos abelianos $B_i = C^i G / C^{i+1} G \cong F_i \times \mathbb{Z}^{m_i}$, onde

ϕ_i induz automorfismos ψ_i de $\text{Tor}(B_i) = F_i$ e $\bar{\phi}_i$ de $B_i / \text{Tor}(B_i) \cong \mathbb{Z}^{m_i}$, onde $\bar{\phi}_i$ é representado por alguma matriz $M_i \in \text{GL}(m_i, \mathbb{Z})$.

Temos dois casos a considerar:

1. Todas as matrizes M_i tem todos autovalores de módulo 1. Neste caso, e como $M_i \in \text{GL}(m_i, \mathbb{Z})$, pelo Lema 9.32 todos os autovalores são raízes da unidade.

Então existe $N \in \mathbb{N}$ tal que a matriz M_i correspondente a ϕ^N tem todos os autovalores iguais a 1 e, além disso, as aplicações correspondentes $\psi_i : F_i \rightarrow F_i$ são todas iguais à identidade.

Podemos substituir S por $G \rtimes_{\varphi} (N\mathbb{Z}) \cong G \rtimes_{\varphi} N\mathbb{Z}$, de índice finito em S e que satisfaz as condições do parágrafo anterior.

Pelo Lema 9.31, aplicado a cada $\overline{\phi}_i$, temos uma extensão da série central inferior:

$$\{1\} = H_n \subset H_{n-1} \subset \dots \subset H_1 \subset H_0 = G,$$

tal que H_i/H_{i+1} é cíclico, ϕ preserva cada H_i e induz em H_i/H_{i+1} uma ação trivial.

Seja $\mathbb{Z} = \langle t \rangle$. Temos, para todo $g \in G$, $tgt^{-1} = \phi(g)$. Como ϕ age trivialmente em H_i/H_{i+1} ,

$$t^k(hH_{i+1})t^{-k} = hH_{i+1}, \quad \forall h \in H_i \setminus H_{i+1}.$$

Ou, equivalentemente, $[h, t^k] \in H_{i+1}$ para cada $h \in H_i \setminus H_{i+1}$ e cada $k \in \mathbb{Z}$.

Considere a sequência exata

$$1 \rightarrow G \rightarrow S \rightarrow \mathbb{Z} \rightarrow 1,$$

onde $C^2S = [S, S] \rightarrow 1$ em \mathbb{Z} . Assim,

$$C^2S \leq G.$$

Vamos mostrar que, para cada $i \geq 0$, $[H_i, S] \leq H_{i+1}$. Para isto, sejam $h \in H_i$ e $s \in S$. Note que $s = gt^k$ com $g \in G$ e $k \in \mathbb{Z}$. Podemos escrever

$$[h, gt^k] = [h, g] \cdot [g, [h, t^k]] \cdot [h, t^k].$$

Note que $[h, t^k] \in H_{i+1}$. Como a série $\{H_i\}$ é uma extensão de $\{C^iG\}$, deve existir $r \geq 1$ tal que $C^rG \geq H_i \geq H_{i+1} \geq C^{r+1}G$. Assim, se $h \in H_i$, então $[h, g] \in C^{r+1}G \leq H_{i+1}$.

Similarmente, $[h, t^k] \in H_{i+1} \leq C^rG$ implica que

$$[h, [h, t^k]] \in C^{r+1}G \leq H_{i+1}.$$

Por indução, obtemos que $C^{i+2}S \leq H_i$ para todo $i \geq 1$. Em particular, $C^{n+2}S = \{1\}$ e então o grupo S é nilpotente.

2. Agora assuma que existe i tal que M_i tem um autovalor com valor absoluto maior que 1.

Podemos supor que este autovalor tem valor absoluto ≥ 2 (caso contrário, podemos substituir ϕ por ϕ^N , com N suficiente grande, e S por $G \rtimes_{\varphi^N} \mathbb{Z}$, que tem índice finito em S).

Aplicando o Lema 9.33 a \mathbb{Z}^{m_i} e M_i , existe $g \in C^i G$ tal que $g \rightarrow v \in \mathbb{Z}^{m_i}$ e as sequências $(s_j) \in \bigoplus_{j \geq 0} \mathbb{Z}_2$ definem elementos $s_0 v + s_1 M v + \dots + s_n M^n v$ distintos em \mathbb{Z}^{m_i} . Então suas pré-imagens por $p : C^i G \rightarrow B_i / \text{Tor}(B_i)$, dadas por $g^{s_0} (t g t^{-1})^{s_1} \dots (t^n g t^{-n})^{s_n}$ também são distintas.

Considere os elementos que correspondem a sequências (s_j) com $s_j = 0$ para $j \geq k + 1$. Temos 2^{k+1} tais elementos, e seus comprimentos no grafo de Cayley de S são $\leq 3k + 1$ (se t e g são geradores). Então o grupo S tem crescimento exponencial. \square

Proposição 9.35. Todo grupo policíclico contém um subgrupo normal de índice finito que é poli- C_∞ .

Demonstração. Seja G um grupo policíclico. Usamos indução no comprimento n da série descendente subnormal mais curta de G . Para $n = 1$, o grupo G é cíclico e a afirmação é obviamente verdadeira. Suponha que seja verdade para n e considere um grupo policíclico G tendo uma série subnormal

$$G = N_0 \triangleright N_1 \triangleright \dots \triangleright N_n \triangleright N_{n+1} = \{e\},$$

tal que N_i/N_{i+1} é cíclico para todo $i \geq 0$.

A hipótese indutiva diz que N_1 contém um subgrupo normal H de índice finito que é poli- C_∞ . O Corolário 1.38 implica que H tem um subgrupo de índice finito H_1 que é normal em G . Um subgrupo de um grupo poli- C_∞ é também poli- C_∞ , então H_1 é poli- C_∞ .

Se G/N_1 é finito, então H_1 é o subgrupo procurado.

Suponha que G/N_1 seja cíclico infinito. Então o grupo $K = G/H_1$ contém o subgrupo normal finito $F = N_1/H_1$, e K/F é isomorfo a \mathbb{Z} . Uma sequência exata curta $1 \rightarrow F \rightarrow K \rightarrow \mathbb{Z} \rightarrow 1$ sempre cinde, então K é um produto semidireto de F com um subgrupo cíclico infinito $\langle x \rangle$. A conjugação por x define um automor-

fismo de F , e como $\text{Aut}(F)$ é finito, existe r tal que a conjugação por x^r é a identidade em F . Portanto, $F\langle x^r \rangle$ é um subgrupo de índice finito em K e é um produto direto de F e $\langle x^r \rangle$. Concluimos que $\langle x^r \rangle$ é um subgrupo normal de índice finito de K . Temos que $\langle x^r \rangle = G_1/H_1$, onde G_1 é um subgrupo normal de índice finito em G , e G_1 é poli- C_∞ já que H_1 é poli- C_∞ . \square

Corolário 9.36. (a) Um grupo poli- C_∞ não tem torção.

(b) Um grupo policíclico é virtualmente sem torção.

Demonstração. É suficiente provar a parte (a). Vamos usar indução sobre o comprimento minimal de uma série (N_i) na definição de grupos poli- C_∞ . Se $n = 1$, $G = \mathbb{Z}$ não tem torção. Se supomos que foi provado para todo grupo poli- C_∞ com comprimento $\leq n$, seja $g \in G$ de ordem finita. Então $g \rightarrow \bar{g} \in G/N_1 \cong \mathbb{Z}$ é a identidade, portanto $g \in N_1$ e a hipótese de indução se aplica. \square

Finalmente, podemos provar o teorema de Wolf: Um grupo policíclico é virtualmente nilpotente ou tem crescimentos exponencial. A prova abaixo se deve a Bass [Bas72], o argumento original de Wolf em [Wol68] utilizou a teoria dos grupos de Lie.

Demonstração. Pela Proposição 9.35, é suficiente considerar os grupos poli- C_∞ . Temos

$$G = N_0 \triangleright N_1 \triangleright \dots \triangleright N_n \triangleright N_{n+1} = \{1\}, \text{ com } N_i/N_{i+1} \cong \mathbb{Z}.$$

Vamos usar indução em n . Se $n = 0$, temos $G \cong \mathbb{Z}$, portanto G é nilpotente.

Assuma que o teorema está provado para n e a série de G tem comprimento $n + 1$. Pela hipótese de indução, N_1 é virtualmente nilpotente ou tem crescimento exponencial. Se N_1 tem crescimento exponencial, o grupo $G \geq N_1$ também terá crescimento exponencial. No caso em que N_1 é virtualmente nilpotente, temos

$$G = N_1 \rtimes_{\psi} \mathbb{Z}, \quad \psi : \mathbb{Z} \rightarrow \text{Aut}(N_1)$$

e $N_1 \geq H$ – um subgrupo nilpotente maximal de índice finito.

Podemos ver que H é invariante por todos os automorfismos de N_1 , então $\psi(1)(H) = H$. Portanto, $H \rtimes_{\psi} \mathbb{Z} \leq G$ tem índice finito.

Pela Proposição 9.34, o grupo $H \rtimes_{\psi} \mathbb{Z}$ é virtualmente nilpotente ou tem crescimento exponencial. Isso completa a prova. \square

Exemplo 9.37. O grupo $G = \mathbb{Z}^2 \rtimes_{\varphi} \mathbb{Z}$, com $\varphi = \begin{pmatrix} 2 & 1 \\ 1 & 1 \end{pmatrix}$ é policíclico com crescimento exponencial.

Exercício 9.38. Verifique as afirmações do Exemplo 9.37.

Prova do teorema de Bass–Guivarc’h: Seja G um grupo finitamente gerado nilpotente de classe k . A prova é feita por indução sobre k .

Se $k = 1$, o grupo G é abeliano e a fórmula para o crescimento segue diretamente. Suponha então que a afirmação é verdadeira para grupos nilpotentes de classe $k - 1$, e que G seja nilpotente de classe $k \geq 2$. Assim, $C^k G$ é um grupo abeliano não trivial e $C^{k+1} G = 1$.

Seja $d_1 = d - km_k$. Se $C^k G$ for finito, então $m_k = 0$ e a hipótese de indução se aplica para o grupo $\tilde{G} = G/C^k G$. Mas G e \tilde{G} tem funções de crescimento equivalentes, e o resultado segue.

Agora, assumimos que $H := C^k G$ é infinito, i.e. $m_k \geq 1$.

Limite inferior: Escolhemos geradores para G e G/H de modo que $B_G(1, r)$ seja mapeada sobrejetivamente em $B_{G/H}(1, r)$ pela projeção natural. Novamente, a hipótese de indução se aplica ao grupo $\tilde{G} = G/H$, então existem $N = \text{card}(B_{G/H}(1, n)) \geq \lambda_1 n^{d_1}$ elementos em G de comprimento $\leq n/2$ que não são congruentes módulo H . Denote por $g_1, \dots, g_N \in B_G(1, n)$ os elementos da pré-imagem de $B_{G/H}(1, n)$.

Também podemos mostrar que em H existem pelo menos $\lambda_2 n^{km_k}$ elementos com distância até 1 em G de no máximo $\frac{n}{2}$. Deixamos como exercício a verificação desse fato, sugerindo que o leitor mostre que se G é um grupo finitamente gerado nilpotente de classe k e H é o último termo não trivial na sua série central inferior, então a restrição da função distância de G a H satisfaz $\text{dist}_G(1, g) \leq \text{dist}_H(1, g)^{\frac{1}{k}}$,

para $g \in H$. Logo, existe $\mu \in \mathbb{R}$ tal que $B_G(1, \frac{n}{2}) \cap H \supset B_H(1, \mu(\frac{n}{2})^k)$ e, assim, $\text{card}(B_G(1, \frac{n}{2}) \cap H) \geq \lambda_2 n^{km_k}$.

Afirmamos que $B_G(1, n)$ contém o conjunto $\bigcup_{i=1}^N g_i(B_G(1, \frac{n}{2}) \cap H)$, cuja cardinalidade é de no mínimo $N \lambda_2 (\frac{n}{2})^{km_k} \geq \lambda_1 \lambda_2 (\frac{n}{2})^{d_1 + km_k}$. De fato, se $x \in B_G(1, \frac{n}{2}) \cap H$, então temos $xH = H$ e, com isso, $\text{dist}_{G/H}(xH, g_iH) = \text{dist}_{G/H}(H, g_iH) \leq n$. Assim,

$$\text{dist}_G(1, g_i x) = \text{dist}_G(g_i^{-1}, x) \leq \text{dist}_G(g_i^{-1}, 1) + \text{dist}_G(1, x) \leq n,$$

ou seja, $g_i x \in B_G(1, n)$. Logo, existe uma constante λ_3 tal que, para cada n , há no mínimo $\lambda_3 n^d$ elementos em G de comprimento $\leq n$.

Limite superior: Lembramos que se $G = \langle S \rangle$ e $g \in G$ é tal que $d_S(1, g) \leq n$, então $d(gH, H) \leq n$ em G/H . Por hipótese de indução, existem no máximo $\lambda'_1 n^{d_1}$ classes laterais distintas:

$$g_1 H, g_2 H, \dots, g_N H \quad (N \leq \lambda'_1 n^{d_1}),$$

onde podemos supor que todo g_i cumpre $\text{dist}_G(1, g_i) \leq n$.

Assuma que $g \in g_j H$. Então $g = g_j h$ e

$$\text{dist}_G(1, h) \leq \text{dist}_G(1, g) + \text{dist}_G(1, g_j) \leq 2n.$$

Também é possível mostrar, usando a mesma propriedade mencionada acima a respeito do último subgrupo não trivial da série central inferior de G , que há no máximo $\lambda'_2 n^{km_k}$ tais h 's distintos. Então temos no máximo $\lambda'_1 \lambda'_2 n^d$ possibilidades distintas para g .

Com isso, a prova do teorema está concluída. \square

Exercício 9.39. Considere o grupo de Heisenberg discreto

$$H_3 = \left\{ U_{klm} = \begin{pmatrix} 1 & k & n \\ 0 & 1 & l \\ 0 & 0 & 1 \end{pmatrix}, k, l, n \in \mathbb{Z} \right\},$$

com o conjunto de geradores $S = \{u^{\pm 1}, v^{\pm 1}, z^{\pm 1}\}$, onde $u = I + E_{12}$, $v = I + E_{23}$, $z = I + E_{13}$ e E_{ij} é a matriz cuja única entrada não nula vale 1, e está na posição (i, j) .

- (1) Mostre que $U_{klm} = u^k v^l z^{n-kl}$ (isso implica em particular que qualquer elemento de H_3 pode ser escrito *de maneira única* como $u^k v^l z^m$, onde $k, l, m \in \mathbb{Z}$);
- (2) Prove que $[u^k, v^l] = z^{kl}$ e deduza que $|z^m| \leq 6\sqrt{|m|}$ e que $|u^k v^l z^m| \leq |k| + |l| + 6\sqrt{|m|}$ (onde $|g| = \text{dist}_S(1, g)$);
- (3) Prove que $|u^k v^l z^m| \leq r$ implica $|k| + |l| \leq r$ e $|m| \leq r^2$;
- (4) Deduza que $|u^k v^l z^m| \geq \frac{1}{2}(|k| + |l| + \sqrt{|m|})$;
- (5) Finalmente, mostre que existem constantes $c_2 > c_1 > 0$ tais que, para cada $n \geq 1$,

$$c_1 n^4 \leq \rho_S(n) \leq c_2 n^4.$$

9.4 Teorema de Milnor

O próximo resultado fundamental em direção à Conjectura 9.26 é devido ao próprio Milnor [Mil68a].

Teorema 9.40 (Milnor, 1968). *Um grupo finitamente gerado solúvel é policíclico ou tem crescimento exponencial.*

Também precisaremos demonstrar alguns lemas para chegar à prova desse resultado.

Lema 9.41. Se um grupo G é finitamente gerado e tem crescimento subexponencial, então para todos $\alpha, g \in G$, o conjunto

$$\{g^k \alpha g^{-k} =: \alpha_k \mid k \in \mathbb{Z}\}$$

gera um subgrupo finitamente gerado.

Observação 9.42. (1) Não é verdadeiro para G com crescimento exponencial. Considere, por exemplo, $G = F_2$.

(2) O mesmo se aplica para um conjunto finito $\{\alpha_1, \alpha_2, \dots, \alpha_n\}$ no lugar de α .

Demonstração. Dado $m \in \mathbb{N}$, considere o mapa

$$f_m : \prod_{i=0}^m \mathbb{Z}_2 \rightarrow G, \quad (s_i) \rightarrow g\alpha^{s_0} g\alpha^{s_1} \dots g\alpha^{s_m}.$$

Se f_m for injetivo para todo m , teremos 2^{m+1} produtos correspondentes a elementos na bola $B_{m+1}(1)$ em G (assumindo que g e $g\alpha$ são geradores). Isso implicaria numa contradição com a hipótese de crescimento subexponencial.

Então existem m e $(s_i) \neq (t_i)$ em $\prod_{i=1}^m \mathbb{Z}_2$ tais que

$$g\alpha^{s_0} g\alpha^{s_1} \dots g\alpha^{s_m} = g\alpha^{t_0} g\alpha^{t_1} \dots g\alpha^{t_m}. \quad (9.3)$$

Vamos assumir que o número m é o menor possível com esta propriedade (em particular, $s_0 \neq t_0$ e $s_m \neq t_m$).

Observe que podemos escrever

$$g\alpha^{s_0} g\alpha^{s_1} \dots g\alpha^{s_m} = \alpha_1^{s_0} \alpha_2^{s_1} \dots \alpha_{m+1}^{s_m} g^{m+1}, \text{ com } \alpha_i = g^i \alpha g^{-i}.$$

Então (9.3) torna-se

$$\alpha_1^{s_0} \alpha_2^{s_1} \dots \alpha_{m+1}^{s_m} g^{m+1} = \alpha_1^{t_0} \alpha_2^{t_1} \dots \alpha_{m+1}^{t_m} g^{m+1}.$$

Sendo $s_m \neq t_m$, temos $s_m - t_m = \pm 1$. Isto nos dá

$$\alpha_{m+1}^{\pm 1} = \alpha_m^{-s_m-1} \dots \alpha_2^{-s_1} \alpha_1^{t_0-s_0} \alpha_2^{t_1} \dots \alpha_m^{t_m-1}.$$

Conjugando por g , obtemos

$$\alpha_{m+2}^{\pm 1} = \alpha_{m+1}^{-s_m-1} \dots \alpha_3^{-s_1} \alpha_2^{t_0-s_0} \alpha_3^{t_1} \dots \alpha_{m+1}^{t_m-1}.$$

Por indução, concluímos que, para $n \geq m+1$, α_n é um produto de $\alpha_1, \dots, \alpha_m$ e o mesmo se aplica para os inversos, com potências negativas. \square

Corolário 9.43. Seja G um grupo finitamente gerado com crescimento subexponencial e seja $N \triangleleft G$ tal que G/N é cíclico. Então N também é finitamente gerado.

Demonstração. Como todos os subgrupos de índice finito de G são finitamente gerados, podemos assumir que G/N é cíclico infinito. Seja xN um gerador de G/N . Dados quaisquer geradores $\{x_1, \dots, x_d\}$ de G , podemos escrevê-los na forma $x_i = x^{e_i}y_i$, onde $e_i \in \mathbb{Z}$ e $y_i \in N$, e então x, y_1, \dots, y_d gera G . O subgrupo N contém o fecho normal, digamos K , dos y_i 's. Mas G/K é gerado pelas imagens dos geradores de G , portanto por xK . Assim, G/K é cíclico infinito, e G/N é um grupo de fatores cíclicos infinito dele, o que só é possível se $K = N$. Agora denote por K_i subgrupo gerado por todos os conjugados $x^{-n}y_i x^n$. Então $N \geq \langle K_1, \dots, K_d \rangle$, e o último subgrupo contém y_1, \dots, y_d e é invariante sob conjugação por todos os geradores de G , portanto é igual a N . O corolário agora segue do Lema 9.41 e da Observação 9.42(2). \square

Lema 9.44. Considere uma sequência exata curta

$$1 \rightarrow A \rightarrow G \xrightarrow{\varphi} H \rightarrow 1,$$

onde A é um grupo abeliano e G é um grupo finitamente gerado. Se o grupo H é policíclico, então G tem crescimento exponencial ou é policíclico.

Demonstração. Vamos assumir que G tem crescimento subexponencial e mostrar que ele deve ser policíclico. Para isso, é suficiente mostrar que A é finitamente gerado. De fato, nesse caso, o grupo abeliano A é policíclico e seguindo as hipóteses do lema, temos:

$$\begin{aligned} G/A \cong H = H_0 \geq H_1 \geq \dots \geq H_n = \{H\}; \\ A = A_0 \geq A_1 \geq \dots \geq A_k = \{1\} \text{ com } A_i/A_{i+1} \text{ cíclico.} \end{aligned}$$

Sejam $Q_i := \varphi^{-1}(H_i)$, $i = 1, \dots, n$. Temos

$$G \geq Q_1 \geq \dots \geq Q_n = A = A_0 \geq A_1 \geq \dots \geq A_k = \{1\},$$

que é uma série policíclica de G . Vamos provar que A é finitamente gerado.

Como H é policíclico, ele é *limitadamente gerado*, isto é: existem $h_1, h_2, \dots, h_q \in H$ tais que, para todo $h \in H$, temos $h = h_1^{m_1} h_2^{m_2} \dots h_q^{m_q}$ com $m_i \in \mathbb{Z}$.

Sejam g_i as pré-imagens de h_i por φ . Então, para todo $g \in G$, temos

$$g = g_1^{m_1} \dots g_q^{m_q} a, \text{ com } m_i \in \mathbb{Z}, a \in A. \quad (9.4)$$

Afirmção 1. Seja $1 \rightarrow N \rightarrow K \xrightarrow{\pi} Q \rightarrow 1$ uma sequência exata de grupos, onde K é finitamente gerado e Q é finitamente apresentado. Então N é normalmente gerado por alguns n_1, n_2, \dots, n_k (i.e. cada elemento de N é um produto de conjugados de n_i).

Prova da Afirmção 1. Seja S um conjunto finito que gera K . Temos que $\bar{S} = \pi(S)$ gera Q . O grupo Q é finitamente apresentado, então tome

$$Q = \langle \bar{S} \mid r_1(\bar{S}), \dots, r_k(\bar{S}) \rangle$$

uma apresentação finita, e sejam $n_i := r_i(S) \in K$. É fácil verificar que os elementos n_i geram normalmente o subgrupo N . \square

Em nosso caso, a Afirmção 1 implica que existem $a_1, \dots, a_k \in A$ tais que cada $a \in A$ é um produto de conjugados de a_j por elementos de G .

Por (9.4), os conjugados de a_j têm a forma

$$g_1^{m_1} \dots g_q^{m_q} a_j (g_1^{m_1} \dots g_q^{m_q})^{-1}. \quad (9.5)$$

Pelo Lema 9.41, o grupo $A_q = \langle g_q^m a_j g_q^{-m} \mid m \in \mathbb{Z}, j = 1, \dots, k \rangle$ é finitamente gerado por, digamos, um conjunto S_q (ver também Observação 9.42 (2)). Assim, temos

$$g_{q-1}^n g_q^m a_j g_q^{-m} g_{q-1}^{-n} = g_{q-1}^n s q_{q-1}^{-n} \text{ com } n \in \mathbb{Z}, s \in S.$$

Outra vez usando Lema 9.41 obtemos que o grupo gerado por

$$\{g_{q-1}^n s q_{q-1}^{-n} \mid n \in \mathbb{Z}, s \in S\}$$

é finitamente gerado. Então, por indução, o grupo gerado por todos os elementos de forma (9.5) é finitamente gerado, e portanto A é finitamente gerado.

Isso conclui a prova da Afirmção 1 e do Lema 9.44. \square

Prova do teorema de Milnor. Vamos usar indução no comprimento derivado do grupo G . Se o comprimento é igual a 1, o grupo G é finitamente gerado e abeliano, então ele é policíclico.

Suponha que o teorema vale para os grupos de comprimento $\leq d$ e seja $d + 1$ o comprimento derivado do grupo G . Note que $H = G/G^{(d)}$ é finitamente gerado e solúvel, de comprimento derivado d . Logo, pela hipótese de indução H é policíclico ou tem crescimento exponencial.

Se H tem crescimento exponencial, então G também tem crescimento exponencial (cf. Proposição 9.9(3)).

Caso contrário, H é policíclico, e temos

$$1 \rightarrow G^{(d)} \rightarrow G \rightarrow H \rightarrow 1,$$

onde $G^{(d)}$ é abeliano pois G tem comprimento derivado $d + 1$. Então podemos aplicar o Lema 9.44 para concluir a prova. □

Corolário 9.45. Seja G um grupo solúvel finitamente gerado. Então o crescimento de G é exponencial ou polinomial, e o último ocorre se, e somente se, G for virtualmente nilpotente.

9.5 Grupos lineares

Nesta seção, consideramos o crescimento de grupos lineares e alguns outros resultados relacionados, que serão necessários para provar o teorema de Gromov, na seção seguinte.

Relembramos que um *grupo linear* é um grupo isomorfo a um subgrupo do grupo linear geral $GL(n, F)$, para algum número natural n e algum corpo F . O resultado básico resolvendo o problema de crescimento para grupos lineares é a *alternativa de Tits* [Tit72] (cf. Seção 8.4):

Teorema 9.46 (Tits, 1972). *Seja G um grupo linear finitamente gerado. Então ou G é virtualmente solúvel ou G contém um subgrupo livre não abeliano.*

Corolário 9.47. O crescimento de um grupo linear finitamente gerado é exponencial ou polinomial, e é polinomial se, e somente se, o grupo for virtualmente nilpotente.

De fato, se o grupo contém um subgrupo livre não abeliano, seu crescimento é exponencial. No outro caso, basta aplicar os teoremas de Milnor e Wolf.

Shalom deu uma prova do Corolário 9.47 independente da alternativa de Tits para o caso de grupos lineares de característica zero [Sha98]. Este caso é suficiente para a demonstração do teorema de Gromov descrito a seguir. Outros resultados eficazes sobre a alternativa de Tits foram obtidos mais recentemente por Breuillard, Gelfander, Eskin, Mozes, Oh, e outros (veja [BG08] e as referências nele contidas). As provas desses resultados usam o Lema do pingue-pongue (Lema 2.4) e suas variações.

Em seguida, recordamos um importante teorema clássico.

Teorema 9.48 (Jordan, 1878). *Se G é um subgrupo finito do grupo $GL(n, \mathbb{C})$, então G tem um subgrupo abeliano de índice limitado apenas em termos de n .*

É notável o fato de que Jordan tenha provado esse teorema em 1878, quando a teoria dos grupos ainda estava em sua infância. Referimo-nos a um recente artigo de E. Breuillard [Bre23] para a prova do teorema.

A ponte entre esses resultados e o crescimento de grupos gerais, em particular o crescimento polinomial, foi construída por Gromov e se baseia no seguinte resultado fundamental:

Teorema 9.49 (Gleason–Montgomery–Zippin: Solução do quinto problema de Hilbert [MZ55]). *Seja X um espaço métrico de dimensão finita (de Hausdorff), localmente compacto, localmente conexo, conexo e homogêneo. Então o grupo de isometrias $\text{Isom}(X)$ tem uma estrutura de grupo de Lie com finitas componentes conexas.*

Os leitores podem não estar familiarizados com todos os termos deste teorema, então revisaremos algumas das definições, embora

não daremos a definição formal de grupos de Lie. Basta lembrar primeiro que um grupo topológico é um grupo no qual uma topologia é definida de tal forma que as operações do grupo, ou seja, multiplicação e inversão, são contínuas. Grosso modo, um grupo de Lie é um grupo topológico no qual o espaço topológico subjacente é uma variedade, ou seja, cada ponto tem uma vizinhança aberta homeomorfa a um espaço euclidiano e as operações do grupo são não somente contínuas, mas também diferenciáveis.

Uma propriedade importante dos grupos de Lie com um número finito de componentes conexas é a seguinte (veja [Man12, Capítulo 6]).

Proposição 9.50. Seja L um grupo de Lie com um número finito de componentes conexas. Então:

- (1) O grupo L tem um subgrupo abeliano normal Z (o centro da componente conexa da identidade), tal que L/Z é isomorfo a um subgrupo de $GL(k, \mathbb{C})$, para algum k .
- (2) Para cada número natural n , existe uma vizinhança aberta da identidade em L que não contém nenhum elemento não trivial de ordem finita menor que n .

Um espaço métrico X é dito *homogêneo* se, para quaisquer dois pontos $x, y \in X$, existe uma isometria de X mapeando x em y .

Agora definimos dimensão finita e dimensão de Hausdorff. Um espaço topológico tem dimensão 0 se cada ponto possui uma vizinhança aberta com fronteira vazia. Ele tem dimensão no máximo n , se cada ponto tem uma vizinhança aberta com fronteira de dimensão no máximo $n - 1$. A dimensão é igual a n , se é no máximo n , mas não é no máximo $n - 1$. É fácil ver que o espaço euclidiano \mathbb{R}^n tem dimensão no máximo n , mas não é tão fácil provar que a dimensão é exatamente n . Se considerarmos nesse espaço o conjunto de todos os pontos com coordenadas irracionais, este é um espaço 0-dimensional. Nos referimos a [HW41] para mais detalhes sobre a dimensão topológica.

A dimensão de Hausdorff é um conceito métrico, e não topológico. Lembre-se de que a medida de um subconjunto do espaço

euclidiano é determinada observando as coberturas desse subconjunto por pequenas bolas e somando os volumes dessas bolas. O volume de uma bola, por sua vez, é proporcional a uma potência de seu diâmetro, e o expoente dessa potência é a dimensão do espaço. Se usarmos o expoente errado, digamos que tomamos um expoente maior que a dimensão, todos os subconjuntos terão medida 0, enquanto se usarmos um expoente menor que a dimensão, a maioria dos subconjuntos terá medida infinita. A ideia da dimensão de Hausdorff é inverter essas observações: primeiro definimos medidas para todos os expoentes e use o desaparecimento dessas medidas para detectar o expoente que deve ser considerado como a dimensão do espaço. A definição precisa é a seguinte.

Definição 9.51. Seja X um espaço métrico. A *dimensão de Hausdorff* de X é o ínfimo do conjunto dos números s , tais que para cada $\epsilon > 0$, X pode ser coberto por uma coleção finita ou contável $\{A_i\}$ de subconjuntos tal que A_i tem diâmetro d_i e $\sum d_i^s < \epsilon$. Em outras palavras, a dimensão de Hausdorff é o ínfimo dos números s tais que a “medida s -dimensional” de X é 0.

Ao contrário da dimensão topológica, a dimensão de Hausdorff não precisa ser um número inteiro e, de fato, qualquer número real não negativo pode ocorrer como a dimensão de Hausdorff de algum espaço. A conexão entre as duas dimensões é dada por:

Teorema 9.52. *A dimensão de um espaço métrico X é o ínfimo das dimensões de Hausdorff dos espaços métricos homeomorfos a X .*

Assim, a dimensão não excede a dimensão de Hausdorff. Para a prova, veja [HW41, Capítulo VII]. Também precisaremos do seguinte resultado:

Proposição 9.53. Se um espaço métrico X pode ser coberto, para cada $\epsilon > 0$, por k bolas de diâmetro ϵ , onde k pode variar com ϵ , mas o produto $k\epsilon^d$ permanece limitado, então a dimensão Hausdorff de X é no máximo d .

Demonstração. Suponha que $k\epsilon^d < C$, e seja $s > d$. Então $k\epsilon^s < C\epsilon^{s-d}$, e o lado direito pode ser tornado arbitrariamente pequeno,

tomando ϵ suficiente pequeno. Isso mostra que a dimensão de Hausdorff não é maior que s . \square

Para concluir esta seção, recordamos a definição da topologia que torna o grupo de isometrias de um espaço métrico X um grupo de Lie. Fixe algum ponto base $p \in X$. Para quaisquer dois números A, ϵ positivos, seja $O(A, \epsilon)$ o conjunto de todas as isometrias σ tais que $d(\sigma x, x) < \epsilon$, para todo x que satisfaça $d(x, p) \leq A$. Os conjuntos $O(A, \epsilon)$ definem uma base de vizinhanças da identidade em $\text{Isom}(X)$.

9.6 Teorema de Gromov

Teorema 9.54 (Gromov, 1981). *Se G é um grupo finitamente gerado com crescimento polinomial, então G é virtualmente nilpotente.*

Considere um grupo G finitamente gerado de crescimento polinomial. Nós gostaríamos de definir um mapa $f : G \rightarrow \text{Isom}(X)$, onde X é um espaço métrico de dimensão finita (de Hausdorff), localmente compacto, localmente conexo, conexo e homogêneo. Isso nos permitiria usar os teoremas de Gleason–Montgomery–Zippin, Tits e Jordan juntamente com os resultados anteriores sobre crescimento de grupos para investigar a estrutura de G . A questão é: qual é o espaço X ? Podemos tentar considerar $X = \text{Cay}(G, S)$, mas X não é homogêneo. Se tomarmos X como os vértices de $\text{Cay}(G, S)$ ele é homogêneo mas não é conexo. A ideia de Gromov em [Gro81] foi definir um espaço limite de G para este fim. Intuitivamente, esse espaço vem de olhar para o grafo de Cayley de um grupo de uma distância infinita. Mais tarde, isso levou à definição do cone assintótico K de G .

Nós apresentaremos a prova do teorema de Gromov principalmente seguindo a exposição de A. Mann [Man12].

Seja G um grupo finitamente gerado, com crescimento polinomial de grau d . Embora a sequência $\rho(n) = \rho_G(n)$ seja polinomialmente limitada, ela ainda pode oscilar descontroladamente. Começamos por escolher uma subsequência com um comportamento

razoável, no sentido de procurarmos aqueles valores $\rho(n)$ cuja distância dos termos anteriores não seja muito grande.

Proposição 9.55. Seja G um grupo com crescimento polinomial de grau d . Então existem infinitos $n \in \mathbb{N}$ tais que, para todo $i < n$,

$$\log_2 \rho(2^n) \leq \log_2 \rho(2^{n-i}) + i(d+1).$$

Demonstração. Pela definição de d , temos

$$\log_2 \rho(n) / \log_2(n) < d + 1/2,$$

para n suficientemente grande. Escrevendo $l(n) = \log_2(\rho(2^n))$, obtemos em particular que $l(n)/n < d + 1/2$, e portanto $l(n) - n(d+1) < -n/2$. Assim,

$$\lim_{n \rightarrow \infty} (l(n) - n(d+1)) = -\infty.$$

Para cada inteiro negativo k , seja $n = n(k)$ o primeiro inteiro tal que $l(n) - n(d+1) < k$. Então para este n e para $i < n$, temos

$$l(n) - n(d+1) < k \leq l(n-i) - (n-i)(d+1),$$

que é equivalente à desigualdade necessária. Como $n(k)$ assume infinitos valores, a proposição está provada. \square

Denote por S o conjunto dos inteiros n que satisfazem as desigualdades da proposição anterior, e seja $T = \{2^n \mid n+1 \in S\}$. Escolheremos um ultrafiltro \mathcal{F} em \mathbb{N} , de modo que ele contenha T . A razão para esta escolha particular ficará clara durante a prova seguinte.

Teorema 9.56 (Teorema do Crescimento Regular). *Sejam G um grupo de crescimento polinomial, \mathcal{F} um ultrafiltro escolhido conforme descrito acima e $\epsilon > 0$ suficientemente pequeno. Então o cone assintótico K definido por (G, e) e \mathcal{F} satisfaz as duas propriedades equivalentes a seguir:*

- (1) *Se uma bola fechada de raio 1 em K contém k pontos distintos, de forma que as bolas fechadas de raio ϵ ao redor deles são disjuntas, então $k \leq (1/\epsilon)^{2(d+1)}$.*

(2) Se uma bola fechada de raio 1 em K contém k pontos distintos, de modo que as distâncias entre quaisquer dois deles sejam maiores que 2ϵ , então $k \leq (1/\epsilon)^{2(d+1)}$.

Demonstração. Primeiro notamos que as duas propriedades são de fato equivalentes. Suponha que (1) seja válido. Sejam dados k pontos como em (2), então as bolas de raios ϵ ao redor deles são disjuntas, portanto $k \leq (1/\epsilon)^{2(d+1)}$. Reciprocamente, se vale (2), então para quaisquer k pontos como em (1), suponha que dois deles estejam a uma distância $\delta \leq 2\epsilon$. A prova do Teorema 6.20 mostra que existe um caminho contínuo $f(\alpha)$ entre esses dois pontos, tal que $d(f(\alpha), f(\beta)) \leq (\beta - \alpha)\delta$. Então o ponto $f(1/2)$ está nas esferas de raio ϵ em torno de ambos os pontos, o que é uma contradição. Portanto (2) implica (1).

Por homogeneidade, basta provar a proposição para a bola B de raio 1 e centro e em K . Suponhamos que k pontos x_1, \dots, x_k , como em (2), são dados em B . Para cada r , suponha que x_r seja representado pela sequência $\{x(r, n)\}$. Podemos escolher as sequências representativas de modo que cada ponto $x(r, n)$ esteja na bola de raio $(1 + \epsilon)n$ em torno de e . Escolha dois índices distintos r e s , e seja $N(r, s, \epsilon)$ o conjunto dos $n \in \mathbb{N}$ para os quais $d(x(r, n), x(s, n)) > 2\epsilon n$. A desigualdade $d(x_r, x_s) > 2\epsilon$ significa que $N(r, s, \epsilon) \in \mathcal{F}$, e então também $N(\epsilon) \in \mathcal{F}$, onde $N(\epsilon)$ é a interseção dos conjuntos $N(r, s, \epsilon)$. Seja $i \in \mathbb{N}$ tal que $1/2^i < \epsilon \leq 1/2^{i-1}$, e escolha $n > i$ tal que $2^n \in T \cap N(\epsilon)$. Como $2^n/2^i < 2^n\epsilon$, as bolas de raio 2^{n-i} em torno dos pontos $x(r, 2^n)$, para $r = 1, \dots, k$, são disjuntas, e cada uma delas contém $\rho(2^{n-i})$ pontos. Portanto, obtemos $k\rho(2^{n-i})$ pontos dentro dessas bolas. Um ponto em uma dessas bolas está a uma distância de, no máximo, $(1 + \epsilon)2^n + 2^{n-i}$ de e . Então essas bolas estão dentro da bola de raio 2^{n+1} ao redor de e , e assim obtemos $k\rho(2^{n-i}) \leq \rho(2^{n+1})$. Mas a Proposição 9.55 implica que $\rho(2^{n+1}) \leq 2^{(i+1)(d+1)}\rho(2^{(n+1)-(i+1)})$, e assim $k \leq 2^{(i+1)(d+1)} \leq (1/\epsilon)^{2(d+1)}$. \square

Teorema 9.57. *Se G tem crescimento polinomial, o cone assintótico K definido por (G, e) e \mathcal{F} tem dimensão finita e é localmente*

compacto.

Demonstração. Escolhamos dentro da bola B o maior número possível, digamos k , de pontos tais que a distância entre quaisquer dois deles seja maior do que 2ϵ . Então cada ponto de B está a uma distância de no máximo 2ϵ de um desses pontos, e o Teorema 9.56 mostra que B é coberta por no máximo $(1/\epsilon)^{2(d+1)}$ bolas de raio 2ϵ . Isso significa que a dimensão Hausdorff de B é no máximo $2(d+1)$ e, em particular, implica que a dimensão de B é finita. Como a dimensão é determinada pelo comportamento local, a dimensão de K é finita. Agora seja $\{x_n\}$ qualquer sequência em B . Mostraremos que ela possui uma subsequência convergente. Isso mostrará que B é compacto e, portanto, K é localmente compacto. Para tanto, dado $i \in \mathbb{N}$, vamos cobrir B por k_i bolas de raio 2^{-i} . Então uma subsequência infinita de $\{x_n\}$ está em uma das bolas de raio 1, uma subsequência infinita dela está em uma das bolas de raio $1/2$, etc. Tomando uma sequência diagonal, encontramos uma subsequência de Cauchy da sequência original. Como K é completo (cf. Teorema 6.20), essa subsequência converge. \square

Corolário 9.58. Seja G um grupo infinito de crescimento polinomial. Então existe um grupo de Lie L com um número finito de componentes e um número natural k , tal que G contém um subgrupo normal C de índice finito, para o qual vale uma das seguintes condições:

- (i) O grupo C tem um quociente abeliano infinito;
- (ii) O grupo C possui um quociente infinito em $GL(k, \mathbb{C})$;
- (iii) Existem homomorfismos $\phi_n : C \rightarrow L$, para todos os números naturais n , tais que $|C/\text{Ker}(\phi_n)| \geq n$.

Demonstração. Seja N como no Teorema 6.21. Pelos Teoremas 6.20 e 9.57, o cone assintótico K satisfaz as hipóteses do Teorema 9.49. Pela Proposição 9.50, G/N tem um subgrupo abeliano normal Z/N tal que G/Z é isomorfo a um subgrupo de $GL(k, \mathbb{C})$, para algum $k \in \mathbb{N}$. Se G/Z for infinito, a prova está completa, bem como no

caso em que G/Z é finito e G/N é infinito. Assim, assumimos que G/N seja finito. No caso (ii) do Teorema 6.21, a prova também termina. Assumimos então que o caso (iii) desse mesmo teorema se aplica. Para concluir esse caso, aplicamos a Proposição 9.50. \square

Agora podemos deduzir o seguinte:

Corolário 9.59. Um grupo infinito de crescimento polinomial contém um subgrupo de índice finito que possui uma imagem homomórfica cíclica infinita.

Demonstração. Seja G infinito de crescimento polinomial, e seja C como no corolário anterior. No caso (ii) do Corolário 9.58, sabemos, pelos teoremas de Tits e Milnor–Wolf, que o grupo quociente linear infinito G/N é virtualmente nilpotente, então G contém um subgrupo de índice finito $H \geq N$ tal que H/N é nilpotente e infinito, e o último termo da série derivada de H que ainda tem índice finito em G é o subgrupo que queremos. O caso (i) é óbvio, então assumimos que (iii) vale. Para cada $n \in \mathbb{N}$ como em (iii), seja $K_n = \text{Ker}(\phi_n)$. A Proposição 9.50 implica que C contém subgrupos normais B_n , tais que B_n/K_n é abeliano e C/B_n é isomorfo a um subgrupo de $\text{GL}(k, \mathbb{C})$ (onde k é independente de n). Pelo Teorema 9.48 de Jordan, C contém subgrupos $H_n \geq B_n$ tais que H_n/B_n é abeliano e o índice $|C : H_n|$ é limitado. Um grupo finitamente gerado tem apenas um número finito de subgrupos de um dado índice finito. Portanto, para infinitos valores de n , os subgrupos H_n coincidem com um mesmo subgrupo, que denotaremos por H . Então H/B_n é abeliano para infinitos valores de n , e se as ordens de H/B_n tendem ao infinito, então H/H' é infinito, e H é o subgrupo de que precisamos. Por outro lado, se as ordens H/B_n permanecem limitadas, então para infinitos valores de n , os subgrupos B_n coincidem com um subgrupo R , digamos, e então o mesmo argumento mostra que R é o subgrupo que estamos procurando. \square

Finalmente, derivamos desses resultados o teorema de Gromov.

Prova do Teorema 9.54. Seja G um grupo com crescimento polinomial, digamos de grau d . Se $d = 0$, então G é finito e o resultado

segue. Suponha então $d > 0$. Pelo corolário anterior, G contém subgrupos $H \triangleright N$ tais que $|G : H|$ é finito e H/N é cíclico infinito. Pelo Corolário 9.43, N é finitamente gerado, e pela Proposição 9.10(2) o grupo N tem grau de crescimento polinomial $d - 1$ ou menos, então por indução N contém um subgrupo nilpotente K de índice finito. Pelo Corolário 1.38, podemos assumir que K é característico em N e, portanto, normal em H . Então H/K contém o subgrupo normal finito N/K , com quociente cíclico infinito. Seja $H/N = \langle xN \rangle$ e escreva $C = \langle K, x \rangle$. Então $H/K = C/K \cdot N/K$, e portanto $|H : C|$ é finito. Como C/K é cíclico infinito, C é solúvel, logo virtualmente nilpotente, pelo Corolário 9.45. \square

Exercício 9.60. Seja G um grupo finitamente gerado sem torção com crescimento polinomial de ordem n^2 . Mostre que $\mathbb{Z}^2 \leq G$.

Corolário 9.61. Suponha que G_1, G_2 são grupos quasi-isométricos finitamente gerados e G_1 é virtualmente nilpotente. Então G_2 é virtualmente nilpotente.

Isso decorre imediatamente do teorema de Gromov, porque o crescimento polinomial é preservado sob quasi-isometrias. Shalom deu uma prova do Corolário 9.61 independente do teorema de Gromov [Sha04]. Em contraste, sabe-se que a solubilidade virtual não é preservada por quasi-isometrias [DE00].

Capítulo 10

Crescimento intermediário e os grupos de Grigorchuk

10.1 A definição do grupo de Grigorchuk Γ

Dizemos que um grupo finitamente gerado Γ tem *crescimento intermediário* se, para algum conjunto de geradores S , tivermos $\gamma_S = \lim_{n \rightarrow \infty} \rho_S(n)^{1/n} = 1$, mas não existir d tal que $\rho_S(n) \leq n^d$. Em outras palavras, Γ tem crescimento sub-exponencial, mas acima do polinomial.

Exemplo 10.1. Seja $\rho(n) = n^{\log(n)}$. Então, $\log \rho(n) = (\log n)^2$, donde $\lim_{n \rightarrow \infty} \rho(n)^{1/n} = 1$, i.e, ρ cresce sub-exponencialmente. Por sua vez, ρ cresce mais que qualquer polinômio. De fato, seja $d \in \mathbb{N}$ qualquer e $\log(n) > d$, então $\rho(n) > n^d$.

Nos anos 1980, R. Grigorchuk foi o primeiro a mostrar que existem grupos finitamente gerados de crescimento intermediário (veja [Gri14]). Nesta seção, vamos descrever o primeiro exemplo apresentado por ele em [Gri80, Gri85]. Curiosamente, um grupo muito semelhante ao de Grigorchuk foi construído, por um método diferente, já por S. Aleshin em [Ale72], onde Aleshin estava interessado

na conjectura de Burnside. O grupo de Aleshin é comensurável com o de Grigorchuk, portanto também é de crescimento intermediário, mas esse fato não foi notado na época.

Para dar uma definição do grupo de Grigorchuk vamos considerar transformações definidas no intervalo $(0, 1)$. Seja E a transformação identidade e P a transformação que permuta as duas metades $I_1 := (0, 1/2)$ e $I_2 := (1/2, 1)$, isto é, um ponto x é mapeado para $x + \frac{1}{2}$, se $x < \frac{1}{2}$, ou para $x - \frac{1}{2}$, caso contrário, como na Figura 10.1. Para que esteja bem-definida, essa transformação na verdade precisa ser definida em $(0, 1) \setminus \{\frac{1}{2}\}$. Para evitar ambiguidades nas definições que seguiremos podemos remover de $(0, 1)$ todos os pontos da forma $\frac{m}{2^n}$, com $n \in \mathbb{N}$, $0 \leq m \leq 2^n$ e chamar de I o conjunto resultante (mas se necessário, a ação pode ser estendida ao intervalo $[0, 1)$).

Além disso, dado qualquer subintervalo $(a, b) \subset (0, 1)$, considerando o conjunto $J = (a, b) \cap I$, se necessário, denotaremos por E_J e P_J os mapas identidade e intercâmbio das duas metades de J , respectivamente. Quando o intervalo J for claro a partir do contexto, então escreveremos apenas E e P em vez de E_J e P_J .

Definiremos algumas transformações de I nele mesmo, através de uma sequência de aplicações de E e P , definidas em subintervalos.

Note que $I \subset \bigcup_{n \in \mathbb{N}} I_n$, onde $I_n = \left(1 - \frac{1}{2^{n-1}}, 1 - \frac{1}{2^n}\right)$. Consideramos o grupo Γ gerado por quatro transformações a, b, c e d , onde a é simplesmente o intercâmbio P , aplicado ao intervalo completo I e os outros três geradores atuam como segue nos infinitos intervalos I_n : b aplica P a cada um dos dois primeiros subintervalos, depois E ao terceiro e repete periodicamente o padrão PPE . O gerador c aplica de forma semelhante o padrão periódico PEP , e d aplica o padrão EPP . O grupo $\Gamma = \langle a, b, c, d \rangle$ é chamado de *primeiro grupo de Grigorchuk*.

O grupo de Grigorchuk não é livre e tem as seguintes relações: $a^2 = b^2 = c^2 = d^2 = 1$, $bc = cb = d$, $cd = dc = b$, e $db = bd = c$. Assim, b, c, d geram um subgrupo de Γ isomorfo a $C_2 \times C_2$, onde C_2 denota o grupo cíclico de ordem 2. Quaisquer dois dos elementos b, c, d geram o mesmo subgrupo, mas com os três

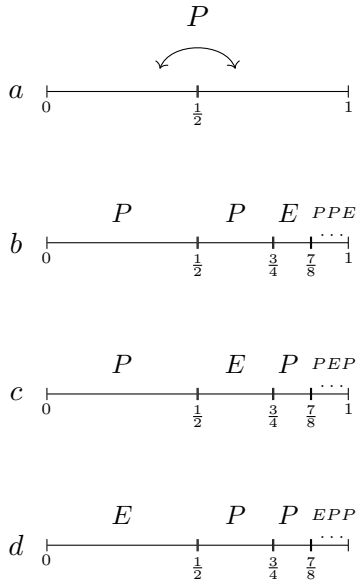


Figura 10.1: Grupo de Grigorchuk

a apresentação de Γ é mais simétrica. Usando as relações acima podemos escrever qualquer elemento de Γ como uma palavra escrita, de forma alternada, por entradas iguais a a e alguma entrada do trio b, c, d . Vamos chamar de *forma canônica* dos elementos de Γ essa escrita, e assumir que seus elementos são sempre dessa forma:

$$\gamma \in \Gamma, \gamma = au_1au_2\dots \text{ ou } \gamma = u_1au_2a\dots \text{ com } u_i \in \{b, c, d\}.$$

Além disso, o grupo de Grigorchuk não é finitamente apresentado (cf. [Lys85]). Mais ainda, todos os grupos de crescimento intermediário conhecidos não tem apresentação finita. A existência de grupos de crescimento intermediário com apresentações finitas é um dos principais problemas em aberto remanescentes na teoria de crescimento de grupos.

Voltando ao grupo Γ , observe que o elemento a permuta os subintervalos $(0, 1/2)$ e $(1/2, 1)$ enquanto b, c, d os mantém invariantes.

Assim todo elemento de Γ ou permuta ou mantém invariantes os subintervalos $(0, 1/2)$ e $(1/2, 1)$. Considere o conjunto H de todos elementos de Γ que estabilizam esses subintervalos. Então H é um subgrupo normal de índice 2 de Γ , consistindo de todos elementos que podem ser representados por uma palavra com um numero par de entradas iguais a a na sua forma canônica.

Lema 10.2. O subgrupo H é gerado pelos elementos b, c, d, aba, aca e ada .

Demonstração. Seja $\gamma \in H$. Usaremos indução no comprimento de γ , escrita na sua forma canônica, para mostrar que ela pode ser escrita em termos desses geradores. Se $\ell(\gamma) = 0$, não há nada a ser demonstrado. Se $\ell(\gamma) = 1$, como $\gamma \in H$ implica que γ possui um numero par de entradas iguais a a na sua forma canônica, segue que $\gamma = b, c$ ou d , e portanto não há nada a demonstrar também nesse caso.

Seja $\tilde{H} = \langle b, c, d, aba, aca, ada \rangle$ e suponha por indução que $\gamma \in \tilde{H}$, sempre que $\ell(\gamma) \leq n$. Tomando $\gamma \in H$ com $\ell(\gamma) = n + 1$, e sabendo que γ possui um número par, digamos $2k$, de entradas iguais a a , podemos escrever $\gamma = u_0 a u_1 \dots u_{2k-1} a u_{2k}$, onde $u_0, u_{2k} \in \{e, b, c, d\}$. Escrevendo $\gamma = u_0 (a u_1 a) u_2 \dots u_{2k-1} a u_{2k} = u_0 (a u_1 a) \gamma'$, onde $\ell(\gamma') < n$, e portanto $\gamma' \in \tilde{H}$, podemos concluir que $\gamma \in \tilde{H}$. Logo, $H = \tilde{H}$. \square

Lema 10.3. Os seis elementos do lema acima induzem, respectivamente, em $(0, 1/2)$ as transformações $a, a, 1, c, d, b$, e em $(1/2, 1)$ as transformações $c, d, b, a, a, 1$.

Exercício 10.4. Prove o Lema 10.3.

Corolário 10.5. A ação de H induz em cada subintervalo $(0, 1/2)$ e $(1/2, 1)$ grupos isomorfos a Γ .

Corolário 10.6. O grupo Γ é infinito.

Demonstração. Pelo corolário acima, o subgrupo próprio H contém subgrupos isomorfos a Γ , e portanto Γ está em bijeção com um subconjunto próprio. Isso somente é possível em um grupo infinito. \square

10.2 As propriedades principais do grupo Γ

Lembramos que grupos G_1 e G_2 são ditos comensuráveis se eles possuírem subgrupos $H_1 \leq G_1$ e $H_2 \leq G_2$ de índice finito que são isomorfos.

Teorema 10.7. *O grupo Γ é comensurável com $\Gamma \times \Gamma$.*

Demonstração. Note que um elemento $x \in H$ é completamente determinado por suas ações em $(0, 1/2)$ e $(1/2, 1)$. Assim, denote por x_ℓ e x_r as aplicações induzidas pela ação de x em $(0, 1/2)$ e $(1/2, 1)$, respectivamente. Podemos definir um mergulho $\varphi : H \rightarrow \Gamma \times \Gamma$ pondo $\varphi(x) = (x_\ell, x_r)$. Pelo lema anterior, temos

$$\begin{aligned} \varphi : H &\rightarrow \Gamma \times \Gamma; \\ b &\mapsto (a, c); \\ c &\mapsto (a, d); \\ d &\mapsto (1, b); \\ aba &\mapsto (c, a); \\ aca &\mapsto (d, a); \\ ada &\mapsto (b, 1). \end{aligned}$$

Para finalizar esta demonstração, precisaremos de uma série de lemas.

Lema 10.8. O grupo $\langle a, d \rangle$ é o grupo diedral de ordem 8.

Demonstração. Como $a^2 = d^2 = 1$, temos que $D := \langle a, d \rangle$ é diedral, e sua ordem é duas vezes a ordem de ad . Escrevendo $(ad)^2 = ada \cdot d$ vemos que $\varphi((ad)^2) = (b, b)$. Mas como $b^2 = 1$ e φ é injetiva, concluímos que $(ad)^4 = 1$. \square

Lema 10.9. Seja $B := \langle\langle b \rangle\rangle$ o fecho normal de $\langle b \rangle$ em Γ . Então, $[\Gamma : B] \leq 8$.

Demonstração. Como $c = bd$, obtemos que $\Gamma = \langle a, b, d \rangle$. Assim, o grupo quociente Γ/B é gerado pelas imagens de a e d pela projeção

canônica. Pelo lema anterior, temos que o índice de B será menor ou igual a 8. \square

Lema 10.10. O grupo $\varphi(H)$ contém o subgrupo $B \times B$ de $\Gamma \times \Gamma$.

Demonstração. Sabemos que $\varphi(ada) = (b, 1)$ e $\varphi(d) = (1, b)$. Para cada $x \in \Gamma$, existem elementos $h_1, h_2 \in H$ que são enviados por φ em elementos das formas (x, y) e (z, x) de $\Gamma \times \Gamma$. Conjugando $(b, 1)$ e $(1, b)$, por (x, y) e (z, x) respectivamente, obtemos

$$\begin{aligned} (xbx^{-1}, 1) &= (x, y)(b, 1)(x, y)^{-1} \\ &= \varphi(h_1)\varphi(ada)\varphi(h_1^{-1}) \\ &= \varphi(h_1adah_1^{-1}) \in \varphi(H), \end{aligned}$$

$$\begin{aligned} (1, xbx^{-1}) &= (z, x)(1, b)(z, x)^{-1} \\ &= \varphi(h_2)\varphi(d)\varphi(h_2^{-1}) \\ &= \varphi(h_2dh_2^{-1}) \in \varphi(H). \end{aligned}$$

Logo, os subgrupos $(B, 1)$ e $(1, B)$ estão ambos contidos em $\varphi(H)$ e assim podemos concluir que $B \times B \leq \varphi(H)$. \square

Finalizamos a prova do Teorema 10.7 usando os lemas anteriores para concluir que $B \times B \leq \varphi(H) \leq \Gamma \times \Gamma$, onde o índice de $B \times B$ em $\Gamma \times \Gamma$ é finito, e portanto o índice de $\varphi(H)$ em $\Gamma \times \Gamma$ é finito. Logo, H é isomorfo a $\varphi(H)$, onde H tem índice finito em Γ e $\varphi(H)$ tem índice finito em $\Gamma \times \Gamma$ e o teorema segue. \square

Observação 10.11. Existem grupos finitamente gerados G que são até mesmo isomorfos ao produto direto $G \times G$ (cf [TJ74]).

Corolário 10.12. O grupo Γ não tem crescimento polinomial.

Demonstração. Suponha que Γ tivesse crescimento polinomial, digamos de grau d . Então, $\Gamma \times \Gamma$ teria crescimento $\rho_{\Gamma \times \Gamma}(n) \asymp n^{2d}$. Como o crescimento é um invariante por quasi-isometrias, e portanto um invariante por comensurabilidade, segue do teorema anterior que $n^d \asymp n^{2d}$. Logo teríamos $d = 0$, o que implicaria que Γ seria finito, um absurdo. \square

Os próximos passos são necessários para provar que Γ não tem crescimento exponencial.

Lema 10.13. Seja $x \in H$, e escreva $\varphi(x) = (x_\ell, x_r)$, como antes. Então $\ell(x_\ell), \ell(x_r) \leq \frac{1}{2}(\ell(x) + 1)$.

Demonstração. Escrevendo x na forma canônica, temos que x é o produto alternado de elementos da forma u e ava , com $u, v \in \{b, c, d\}$. Seja $2k + i$ o número de fatores, onde $i = 0$ ou 1 . Cada par de fatores u e ava contribui com 4 unidades no comprimento de x , enquanto cada coordenada da imagem por φ do produto $u \cdot ava$ tem comprimento ≤ 2 . Se $i = 0$, então $\ell(x) = 4k$, e $\ell(x_\ell), \ell(x_r) \leq 2k$ e portanto, $\ell(x_\ell), \ell(x_r) < \frac{1}{2}(\ell(x) + 1)$. Se $i = 1$ então o comprimento do fator restante é 1 ou 3, logo $\ell(x) = 4k + 1$ ou $\ell(x) = 4k + 3$. Por outro lado, esse fator restante só contribui com 1 em cada coordenada da imagem por φ , ou seja, $\ell(x_\ell), \ell(x_r) \leq 2k + 1$. Portanto, $\ell(x_\ell), \ell(x_r) \leq 2k + 1 \leq \frac{1}{2}(\ell(x) + 1)$, como queríamos. \square

Para verificarmos o crescimento subexponencial, basta analisarmos o crescimento de H , já que $[\Gamma : H]$ é finito.

Note que $[\Gamma \times \Gamma : H \times H] = 4$, logo $[H : \varphi^{-1}(H \times H)] = [\varphi(H) : \varphi(H) \cap H \times H] \leq 4$.

Considere $K = \varphi^{-1}(H \times H)$ e $L = \varphi^{-1}(K \times K)$. Então valem

$$\begin{aligned} [\Gamma : K] &= [\Gamma : H][H : K] \leq 8; \\ [\Gamma : L] &= [\Gamma : K][K : L] \leq 128. \end{aligned}$$

Portanto, $\rho_L \asymp \rho_H$. Analisemos o que ocorre em L . Note que $\varphi(L) = K \times K = \varphi^{-1}(H \times H) \times \varphi^{-1}(H \times H) \subset H \times H$ e $\varphi^2(L) = H \times H \times H \times H$. Assim, é possível aplicar φ a L três vezes:

$$x \in L \mapsto (x_\ell, x_r) \mapsto (x_{\ell\ell}, x_{\ell r}, x_{r\ell}, x_{rr}) \mapsto (x_1, \dots, x_8),$$

onde por simplicidade denotamos por x_i , $i = 1, \dots, 8$ os elementos de H obtidos após aplicar φ a cada um dos elementos anteriores, na ordem em que eles aparecem. Escreveremos também $(\tilde{x}_1, \tilde{x}_2, \tilde{x}_3, \tilde{x}_4) = (x_{\ell\ell}, x_{\ell r}, x_{r\ell}, x_{rr})$.

Lema 10.14. Com a notação acima, tem-se $\sum_{i=1}^8 \ell(x_i) \leq \frac{3}{4}\ell(x) + 8$.

Demonstração. Pelo lema anterior, temos

$$\begin{aligned} \sum_{i=1}^8 \ell(x_i) &\leq \sum_{i=1}^4 \ell(\tilde{x}_i) + 4 \\ &\leq \ell(x_\ell) + 1 + \ell(x_r) + 1 + 4 \\ &\leq \ell(x) + 7. \end{aligned}$$

Denote por $\ell_u(x)$ o número de ocorrências de u na escrita de x em sua forma canônica, onde $u \in \{b, c, d\}$.

Cada ocorrência de d em x , seja apenas na forma “ d ” ou em “ ada ”, se torna 1 em x_ℓ ou em x_r . Logo, ao aplicarmos φ uma vez, $\ell_d(x)$ é subtraída. Em seguida, cada ocorrência de c se torna 1 ao aplicarmos novamente φ . Logo, $\ell_c(x)$ é subtraída ao aplicarmos φ^2 e, analogamente, $\ell_b(x)$ é subtraída ao aplicarmos φ^3 .

No entanto, observe que não podemos subtrair ambos ℓ_b e ℓ_c simultaneamente, em virtude do fato de que ocorrências de b e c podem ocasionar ocorrências de b na palavra seguinte. Por exemplo, em $abadaca \mapsto (c \cdot 1 \cdot d, a \cdot b \cdot a) = (b, aba)$. Mas sempre podemos subtrair, ao aplicar φ^3 , os valores $\ell_b(x) + \ell_d(x)$ ou $\ell_c(x) + \ell_d(x)$.

Pelo menos um deles é $\geq \frac{1}{2}(\ell_b(x) + \ell_c(x) + \ell_d(x))$ e além disso $\ell_b(x) + \ell_c(x) + \ell_d(x) \geq \frac{1}{2}(\ell(x) - 1)$. Portanto, obtemos:

$$\begin{aligned} \sum_{i=1}^8 \ell(x_i) &\leq \ell_x + 7 - (\ell_b \text{ ou } c(x) + \ell_d(x)) \\ &\leq \ell(x) + 7 - \frac{1}{2}(\ell_b(x) + \ell_c(x) + \ell_d(x)) \\ &\leq \ell(x) + 7 - \frac{1}{4}(\ell(x) - 1) = \frac{3}{4}\ell(x) + 8. \end{aligned}$$

□

Teorema 10.15. *O grupo Γ tem crescimento intermediário.*

Demonstração. Seja $\omega = \lim_{n \rightarrow \infty} \rho_S(n)^{1/n}$. Queremos mostrar que $\omega = 1$. Considere o subgrupo $L < \Gamma$ definido acima, escreva $\Gamma/L = \{z_1L, \dots, z_{128}L\}$ e seja $k > 0$ tal que $\ell(z_i) \leq k$, para todo $i = 1, \dots, 128$.

Dado $x \in \Gamma$, temos $x = z_i y$, para algum $i \in \{1, \dots, 128\}$ e algum $y \in L$. Se $\ell(x) = n$, então $\ell(y) = \ell(z_i^{-1}x) \leq n + k$.

Denote por $\rho_L^\Gamma(n)$ a cardinalidade de $\{x \in L \mid \ell_\Gamma(x) \leq n\}$. Note que

$$\rho_\Gamma(n) \leq \rho_L^\Gamma(n+k)[\Gamma : L].$$

Para $x \in L$, escreva $\varphi^3(x) = (x_1, \dots, x_8)$ como na notação do Lema 10.14. Sendo φ^3 um mergulho, segue que x é determinado pelos elementos x_i . Sejam $n = \ell(x)$ e $n_i = \ell(x_i)$. Então $n_i \leq n$, e portanto o número de possibilidades para (n_1, \dots, n_8) é de, no máximo, $(n+1)^8$. Dado um octeto (n_1, \dots, n_8) , o número de possibilidades para (x_1, \dots, x_8) é de $\prod_{i=1}^8 \rho_\Gamma(n_i)$. Dado $\varepsilon > 0$, temos $\omega^n \leq \rho_\Gamma(n) \leq (\omega + \varepsilon)^n$, sendo a segunda desigualdade válida para n suficientemente grande. Então existe uma constante A tal que $\rho_\Gamma(n) \leq A(\omega + \varepsilon)^n$ para todo $n \in \mathbb{N}$. Dado um octeto (n_1, \dots, n_8) como acima, isso implica que o número de possibilidades para (x_1, \dots, x_8) é, no máximo,

$$\prod_{i=1}^8 A(\omega + \varepsilon)^{n_i} = A^8(\omega + \varepsilon)^{\sum_{i=1}^8 n_i} \leq A^8(\omega + \varepsilon)^{\frac{3}{4}n+8} \leq C(\omega + \varepsilon)^{\frac{3}{4}n},$$

para alguma constante $C > 0$. Assim,

$$\omega^n \leq \rho_\Gamma(n) \leq [\Gamma : L]\rho_L^\Gamma(n+k) \leq [\Gamma : L]C(n+k+1)^8(\omega + \varepsilon)^{\frac{3}{4}(n+k)}.$$

Tomando raízes n -ésimas e fazendo $n \rightarrow \infty$ e $\varepsilon \rightarrow 0$, chegamos a $\omega \leq \omega^{3/4}$. Isso implica que $\omega = 1$. \square

Uma análise da prova do Teorema 10.15 permite provar um resultado ainda mais forte.

Teorema 10.16. *Existem constantes $0 < \alpha, \beta < 1$ e $A, B > 1$ tal que $A^{n^\alpha} \leq \rho_\Gamma(n) \leq B^{n^\beta}$.*

Os valores de A e B não importam muito, dado que, para α fixado, todas as funções A^{n^α} , para $A > 1$, são equivalentes. Por outro lado, se $\alpha \neq \beta$, então A^{n^α} e A^{n^β} não são equivalentes. Portanto, existe um interesse em determinar os valores das constantes α e β no teorema acima. Analisando a prova de Grigorchuk, podemos obter $\alpha = \frac{1}{2}$ e $\beta = \log_{32} 31 = 0.991\dots$. Mais tarde, em [Bar98] e [Bar01] L. Bartholdi melhorou as estimativas para $\alpha = 0,5157\dots$ e $\beta = 0.7674\dots$, onde

$$\beta = \frac{\log 2}{\log \lambda}, \quad \lambda^3 - \lambda^2 - 2\lambda - 4 = 0.$$

Por um longo tempo, foi um problema em aberto a existência de α tal que o crescimento de Γ é da ordem de 2^{n^α} . Até mesmo a existência do limite

$$\lim_{n \rightarrow \infty} \log_n \log \rho_\Gamma(n)$$

demorou para ser provada. Este problema foi finalmente resolvido em 2020 por A. Erschler e T. Zheng [EZ20]. Elas mostraram que o limite é igual a β .

Por outro lado, M. Kassabov e I. Pak [KP13] construíram uma família incontável de grupos finitamente gerados de crescimento intermediário, com funções de crescimento oscilando entre limites inferiores e superiores, ambos provenientes de uma ampla classe de funções. Em particular, pode-se ter crescimento oscilando entre e^{n^α} e qualquer função prescrita, crescendo tão rapidamente quanto desejado. A construção de Kassabov e Pak é baseada nos grupos de Grigorchuk e uma variação do limite do produto entrelaçado permutacional.

10.3 Algumas outras propriedades do grupo Γ

Teorema 10.17. *O grupo de Grigorchuk Γ é um 2-grupo, i.e., para todo elemento $x \in \Gamma$ existe $n \in \mathbb{N}$ tal que $x^{2^n} = 1$.*

Demonstração. Seja $x \in \Gamma$. Provaremos, por indução em $\ell(x)$, que $x^{2^n} = 1$ para algum $n \in \mathbb{N}$. Se $\ell(x) = 1$, então $x^2 = 1$. Assuma que $\ell(x) > 1$. Se uma palavra de comprimento $\ell(x)$ representando x começa com b , digamos, então $bx^{\ell(x)-1}$ é um conjugado de x com, no máximo, o mesmo comprimento. Analogamente, o mesmo ocorre se x começa com c ou d . Como elementos conjugados tem a mesma ordem, podemos assumir que x começa com a .

Se $\ell(x) = 2$, então $x = ab, ac$, ou ad . Pelo Lema 10.8, ad tem ordem 4. Para ac temos $\varphi((ac)^2) = (da, ad)$, e portanto ac tem ordem 8, e analogamente, ab tem ordem 16. Seja $\ell(x) \geq 3$. Se x também termina com a , então x é da forma aya , portanto é conjugada a y , a qual é mais curta. Assumimos então que x começa com a e termina com b, c , ou d , e assim possui comprimento par, digamos $2k$.

Se k também é par, então $x \in H$, e escrevendo $\varphi(x) = (x_\ell, x_r)$, o comprimento de ambos x_ℓ e x_r é no máximo $\frac{1}{2}\ell(x)$, e como a ordem de x é o mínimo múltiplo comum das ordens de x_ℓ e x_r , a hipótese de indução se aplica. Resta o caso $\ell(x) = 4r + 2$, para algum $r \in \mathbb{N}$. Nesse caso, $x^2 \in H$ e, escrevendo $\varphi(x^2) = (y_\ell, y_r)$, cada um dos elementos y_ℓ, y_r tem comprimento no máximo $\ell(x)$.

Suponha inicialmente que x contenha a letra d . Como x^2 (da maneira que é escrito) tem comprimento $2\ell(x)$ e é periódico com período $\ell(x)$, a letra d ocorre ali no mínimo duas vezes, em posições que diferem de $\ell(x) = 4r + 2$. Isto significa que podemos escrever x^2 como um produto dos geradores $b, c, d, aba, acca, ada$ de H , onde ambos d e ada ocorrem. Então em y_ℓ o gerador d se torna 1, e em y_r o gerador ada se torna 1, e portanto ambos y_ℓ e y_r tem comprimento menor do que x , e por indução x^2 tem ordem igual a uma potência de 2, implicando que a ordem de x também é dessa forma.

Suponha agora que x não envolve d , mas sim c . Então, com a mesma notação, y_ℓ e y_r ambos envolvem d , ou esse d desaparece com cancelamentos, e então a parte relevante de y tem comprimento menor. Portanto ou o caso anterior ou a hipótese de indução se aplica. Finalmente, se nenhum dos termos d ou c ocorre, então x é uma potência de ab , e tem ordem dividindo 16. Assim, o teorema está provado. \square

Provamos que Γ é um grupo infinito, finitamente gerado e de torção. A existência de grupos com essas propriedades foi um problema em aberto por muitos anos, e ficou conhecido como *problema de Burnside*. Tal problema foi resolvido pela primeira vez por E. S. Golod [Gol64]. O grupo de Grigorchuk foi primeiro construído por S. V. Aleshin [Ale72], como um outro exemplo de grupo infinito tipo Burnside.

Um problema bem mais difícil é construir um grupo infinito do tipo Burnside com torção uniformemente limitada. Em 1968, P. S. Novikov e S. I. Adian [AWL79] deram um exemplo de um tal grupo. O grupo de Grigorchuk não é um exemplo para esse problema. De fato, em Γ existem elementos de ordem arbitrariamente grande.

Ainda não se sabe se existem grupos de crescimento intermediário do tipo Burnside com torção uniformemente limitada. Observe que a prova do Teorema 10.17 fornece uma estimativa para as ordens em termos de $\ell(x)$, mas essa estimativa não é ótima.

Seja X uma classe de grupos. Chamaremos de X -grupo todo grupo nessa classe.

Definição 10.18. Um grupo Γ é denominado *residualmente X* se os homeomorfismos de Γ para um X -grupo separam pontos, isto é: dados dois elementos distintos $x, y \in \Gamma$, existe um homomorfismo $\psi : \Gamma \rightarrow H$, onde $H \in X$, tal que $\psi(x) \neq \psi(y)$.

Observamos que, como $x \neq y$ se, e somente se, $xy^{-1} \neq 1$, é suficiente separar 1 de qualquer elemento de Γ .

Lema 10.19. Seja X uma classe de grupos. Os homeomorfismos sobrejetivos de Γ para um X -grupo separam pontos se, e somente se, $\bigcap N = \{1\}$ onde N percorre todos subgrupos normais de Γ tais que Γ/N é um X -grupo.

Demonstração. Suponha que os homeomorfismos sobrejetivos de Γ para X -grupos separam pontos. Assim, podemos supor que para todo $x \in \Gamma \setminus \{1\}$, existe um homomorfismo sobrejetivo $\varphi : \Gamma \rightarrow H$ tal que $x \notin \text{Ker}(\varphi)$. Como $\Gamma/\text{Ker}(\varphi) \cong H \in X$ temos que $x \notin \bigcap N$,

logo $\bigcap N = \{1\}$. Reciprocamente, suponha que $\bigcap N = \{1\}$ onde N percorre todos subgrupos normais de Γ tais que Γ/N é um X -grupo. Seja $x \in \Gamma$, $x \neq 1$ então $x \notin \bigcap N$ e existe N_0 tal que $x \notin N_0$. Seja $\pi : \Gamma \rightarrow \Gamma/N_0$ a projeção canônica. Então, π é um homomorfismo sobrejetivo de Γ para $\Gamma/N_0 \in X$ e $\pi(x) \neq 1$. Portanto, Γ separa pontos. \square

Dizemos que Γ é *residualmente finito* se X é a classe de todos os grupos finitos, e que Γ é *residualmente- p* se X é a classe de todos os p -grupos finitos.

Teorema 10.20. *O grupo de Grigorchuk Γ é residualmente-2.*

Demonstração. Considere os 2^n subintervalos $\left(\frac{k}{2^n}, \frac{k+1}{2^n}\right) \subset (0, 1)$, $k = 0, \dots, 2^n - 1$. Denote por S_n o conjunto desses intervalos. Podemos ver que Γ permuta esses intervalos entre eles, e assim temos uma ação de Γ em S_n . Seja H_n o núcleo dessa ação, ou seja, o subgrupo de Γ que fixa os intervalos em S_n . Por exemplo, $H_0 = \Gamma$, $H_1 = H$, etc. Então cada Γ/H_n é finito. Todo ponto de $(0, 1)$ é a interseção de todos intervalos do tipo acima que o contenham, e portanto $\bigcap H_n = 1$. Assim, pelo Lema 10.19, Γ é residualmente finito. Aplicando o Teorema 10.17, cada fator finito de Γ tem ordem 2^m , o que implica que Γ é residualmente-2. \square

Teorema 10.21. *O problema da palavra é solúvel em Γ .*

Demonstração. Seja x qualquer palavra nos geradores $\{a, b, c, d\}$. Contamos o número de ocorrências de a nessa palavra. Se esse número for ímpar, então $x \notin H$, e certamente $x \neq 1$. Se $x \in H$, podemos avaliar $\varphi(x) = (x_\ell, x_r)$. Pelo Lema 10.10, se $\ell(x) > 1$, então x_ℓ e x_r são palavras mais curtas, e por indução nós podemos determinar se elas são a identidade ou não, enquanto se $\ell(x) = 1$, então x é um dos elementos b, c, d , e portanto não é a identidade. Uma vez que $x = 1$ se, e somente se, $x_\ell = x_r = 1$ dado que φ é injetiva, o resultado segue. \square

Mais algumas propriedades interessantes de Γ estão listadas a seguir:

1. O grupo Γ é “apenas infinito”. Isto significa que Γ/N é finito para cada subgrupo normal $N \neq \{1\}$.
2. O grupo Γ contém elementos de ordem arbitrariamente grande.
3. O grupo Γ não é finitamente apresentado (mas é recursivamente apresentado.)

Também listamos alguns problemas ainda em aberto, os quais são possivelmente muito difíceis:

Problema 1. *Existe um grupo finitamente apresentado de crescimento intermediário?*

Problema 2. *Existe um grupo de crescimento intermediário com todos os elementos de ordem limitada por uma mesma constante?*

O terceiro problema não menciona crescimento, mas o incluímos pois discutimos o problema de Burnside.

Problema 3. *Existe um grupo infinito, finitamente apresentado, de torção?*

Capítulo 11

Grupos amenáveis

11.1 Definição e exemplos

Definição 11.1. Um grupo G é dito *amenável* se for possível definir sobre G uma medida não trivial, finitamente aditiva e invariante à direita.

Isto significa que podemos definir uma função $\mu : 2^G \rightarrow \mathbb{R}_{\geq 0}$, que associa a cada subconjunto A de G um número não negativo $\mu(A)$, e satisfaz:

- (1) (μ é finitamente aditiva) Se $A, B \subset G$ e $A \cap B = \emptyset$, então $\mu(A \cup B) = \mu(A) + \mu(B)$;
- (2) (μ é invariante à direita) Se $A \subset G$ e $x \in G$, então $\mu(Ax) = \mu(A)$;
- (3) (μ é não trivial) $\mu(G) > 0$.

Diferentemente de medidas de Lebesgue ou de Haar, a medida μ acima é definida para todos os subconjuntos de G , e ela somente precisa ser aditiva para uniões finitas, podendo não ser aditiva para uniões enumeráveis, por exemplo.

Ao multiplicar μ por qualquer constante positiva, obtém-se outra medida com as mesmas propriedades, portanto podemos sempre assumir que $\mu(G) = 1$.

Esta noção de amenabilidade foi concebida por von Neumann [vN29] na tentativa de compreender as decomposições da esfera \mathbb{S}^2 .

Exemplo 11.2. Seja G um grupo finito. Então $\mu(A) = \frac{|A|}{|G|}$ é uma tal medida, e na verdade é a única possível (basta usar o item 1). Logo, todo grupo finito é amenável.

Por outro lado, se G é amenável e infinito, então todo subconjunto finito de G tem medida nula. De fato, suponha que existe $A \subset G$ finito com $\mu(A) = \varepsilon > 0$. Seja $n \in \mathbb{N}$ tal que $n\varepsilon > \mu(G)$ e escolha elementos $g_0 = 1, g_1, \dots, g_{n-1} \in G$ tais que A, Ag_1, \dots, Ag_{n-1} são disjuntos (os quais existem, pois G é infinito). Usando os itens 1 e 2, obtemos:

$$\mu(G) \geq \mu\left(\bigcup_{i=0}^{n-1} Ag_i\right) = n\mu(A) > \mu(G),$$

um absurdo. Logo $\mu(A) = 0$ para cada A finito.

Exemplo 11.3. Considere o grupo cíclico infinito \mathbb{Z} . Fixe algum ultrafiltro não principal \mathcal{F} em \mathbb{N} (isso requer uma forma do Axioma da Escolha, veja a Seção 6.1). Para cada subconjunto A de \mathbb{Z} , defina

$$A_n = A \cap [-n, n], \quad \mu_n(A) = \frac{|A_n|}{2n+1}, \quad \text{e} \quad \mu(A) = \mathcal{F} \lim \mu_n(A).$$

Temos:

(1) Se $A, B \subset G$ e $A \cap B = \emptyset$, então

$$\begin{aligned} \mu(A \cup B) &= \mathcal{F} \lim \mu_n(A \cup B) \\ &= \mathcal{F} \lim (\mu_n(A) + \mu_n(B)) = \mu(A) + \mu(B). \end{aligned}$$

(2) Vamos mostrar que μ é invariante sob a translação $g : z \rightarrow z+1$. Observe que

$$||A_n| - |Ag \cap [-n, n]|| \leq 2.$$

Então

$$|\mu(A) - \mu(Ag)| \leq \mathcal{F} \lim \frac{2}{2n+1} = 0,$$

o que implica que μ é \mathbb{Z} -invariante.

(3) Claramente, μ é não negativa e $\mu(\mathbb{Z}) = 1$.

Concluimos que o grupo \mathbb{Z} é amenável.

Observação 11.4. Este resultado foi provado pela primeira vez por Banach [Ban23] usando o teorema de Hahn–Banach.

Exemplo 11.5 (von Neumann [vN29]). O grupo livre posto dois F_2 não é amenável. De fato, suponha que exista alguma medida μ (não trivial, finitamente aditiva e invariante à direita) em G . Sejam x e y geradores de G . Então

$$\mu(G \setminus \{1\}) = 1, \quad G \setminus \{1\} = A \cup B \cup C \cup D,$$

onde A, B, C, D são os conjuntos das palavras reduzidas terminadas em x, x^{-1}, y, y^{-1} , respectivamente. Então

$$A \setminus \{x\} = Ax \cup Cx \cup Dx,$$

uma união disjunta. Como $\mu(A \setminus \{x\}) = \mu(A) = \mu(Ax)$, segue-se que $\mu(C) = \mu(D) = 0$. Um argumento semelhante mostra que $\mu(A) = \mu(B) = 0$, e assim $\mu(G) = 0$, uma contradição. Assim $G = F_2$ não é amenável.

A noção de amenabilidade foi originalmente desenvolvida para compreender as *decomposições paradoxais* da esfera \mathbb{S}^2 . De fato, existem 8 subconjuntos A_1, \dots, A_4 e B_1, \dots, B_4 da esfera \mathbb{S}^2 e elementos g_i, h_i do grupo ortogonal $\text{SO}(3)$ tais que:

$$\mathbb{S}^2 = A_1 \cup \dots \cup A_4 \cup B_1 \cup \dots \cup B_4;$$

$$\mathbb{S}^2 = g_1(A_1) \cup \dots \cup g_4(A_4), \quad \mathbb{S}^2 = h_1(B_1) \cup \dots \cup h_4(B_4),$$

onde todas as uniões são disjuntas.

Este resultado é válido em grande generalidade e é frequentemente popularizado como prova de que uma maçã pode ser cortada em pedaços finitos que podem ser reunidos para obter duas cópias idênticas da maçã inicial. Foi considerada uma das conquistas mais espetaculares da matemática pura na primeira metade do século XX.

Por exemplo, Feynman escreve em sua autobiografia que este resultado foi apresentado como um argumento para estudar matemática em vez de física.

Para a esfera de dimensão 1, que é o círculo, Banach mostrou que não há decomposições paradoxais [Ban23].

Em geral, se um grupo Γ contém um grupo F_2 , então Γ não é amenável. De fato, pode-se encontrar uma decomposição paradoxal de Γ a partir daquela de F_2 .

Uma pergunta natural é se a recíproca (Γ não amenável $\implies F_2 \subseteq \Gamma$) é verdadeira. Esta questão, também conhecida como Conjectura de von Neumann, foi por muito tempo um problema em aberto. Um teorema importante sobre essa conjectura é o da Alternativa de Tits, que estabelece a conjectura nos casos em que se aplica. Em geral, foi provado na década de 1980 que a conjectura não é verdadeira. Em [Ol'80], A. Yu. Ol'shanskii mostrou que o grupo chamado Monstro de Tarski, no qual vê-se facilmente que não há um subgrupo livre de posto dois, é não-amenável. Um outro contra-exemplo é o seguinte grupo de Burnside:

$$B(2, 4381) = \langle a, b \mid \omega^{4381}(a, b) \rangle,$$

onde $\omega^n(a, b)$ denota qualquer palavra $\omega(a, b)$ elevada à potência n . Em 1968, P. S. Novikov e S. I. Adian provaram que este grupo é infinito. Mais tarde, voltando à prova do teorema, Adian melhorou o limite do expoente ímpar para $n \geq 665$ e mostrou que esses grupos não são amenáveis [Adi82] (*nota*: Sabemos que os grupos $B(2, n)$ para $n = 2, 3, 4$ e 6 são finitos. Para $n = 5$ e de $n = 7$ a 100 é desconhecido, e para maior ímpar n os grupos são infinitos, com a última melhoria devido a Adian [Adi15]). Nenhum desses contraexemplos é finitamente apresentado, e por alguns anos foi considerado possível que a conjectura fosse válida para grupos finitamente apresentados. Entretanto, em [OS03], A. Yu. Ol'shanskii e M. V. Sapir exibiram uma coleção de grupos finitamente apresentados que não satisfazem a conjectura.

Num livro recente de Cohen e Gelfand [CG24], leitores interessados podem encontrar mais detalhes, exemplos e outras pro-

priedades de amenabilidade e tópicos relacionados, com ênfase na abordagem analítica.

11.2 Medida e integração

Em qualquer espaço com uma medida, podemos desenvolver a noção de integral definida por essa medida. Isto é particularmente simples no caso de um grupo amenável G , porque todos os subconjuntos de G são mensuráveis e, portanto, todas as funções são mensuráveis.

Seja $f : G \rightarrow \mathbb{R}$ uma função limitada, tal que $a \leq f(x) \leq b$ para todo $x \in G$. Tome $\Delta = \{a_0 = a < a_1 < \dots < a_n = b\}$ uma partição do intervalo $[a, b]$. Denotando por A_i o conjunto $\{x \in G \mid a_{i-1} \leq f(x) < a_i\}$, para cada $i = 1, \dots, n$, note que os conjuntos A_i formam uma partição de G . Logo,

$$\sum_{i=1}^n \mu(A_i) = \mu(G) = 1.$$

Escreva $S_\Delta = \sum_{i=1}^n \mu(A_i)a_i$. Então $S_\Delta \geq a \sum_{i=1}^n \mu(A_i) = a$. De

modo análogo, definimos $s_\Delta = \sum_{i=1}^n \mu(A_i)a_{i-1}$ e então $s_\Delta \leq b$.

Se \mathcal{Q} é um refinamento de Δ , então $S_{\mathcal{Q}} \leq S_\Delta$ e $s_{\mathcal{Q}} \geq s_\Delta$. Quaisquer duas partições têm um refinamento comum, portanto, para quaisquer duas partições \mathcal{Q} e Δ , temos $s_{\mathcal{Q}} \leq S_\Delta$. Além disso, $0 \leq S_\Delta - s_\Delta \leq \max(a_i - a_{i-1})$. Segue que o ínfimo dos números S_Δ , tomado sobre todas as partições, é igual ao supremo dos números s_Δ . Este valor comum é definido como sendo a *integral* de f relativa a μ , denotado como de costume por $\int f d\mu$.

A integral definida acima tem as seguintes propriedades básicas:

- Aditividade: $\int (f + g) d\mu = \int f d\mu + \int g d\mu$;
- Invariância à direita: Dada f limitada e $y \in G$ defina $f_y(x) = f(xy)$, então $\int f_y d\mu = \int f d\mu$.

Proposição 11.6. Se G é um grupo amenável, então existe uma medida em G que é invariante à esquerda e à direita.

Demonstração. Seja μ uma medida sobre G , e defina uma nova medida $\nu(A) = \int \mu(xA)d\mu$, a média da medida μ sobre o grupo. Como μ é invariante à esquerda segue que ν é invariante à esquerda. Pela propriedade de invariância da integral, ν é invariante à direita. \square

Definição 11.7. Seja \mathcal{G} uma propriedade de grupos. Um grupo G é dito *localmente* \mathcal{G} se cada subgrupo finitamente gerado de G tem a propriedade \mathcal{G} .

Teorema 11.8. (i) Grupos finitos ou abelianos são amenáveis;

(ii) Subgrupos ou quocientes de grupos amenáveis são amenáveis;

(iii) Uma extensão de grupos amenáveis é amenável. Lembramos que um grupo G é dito uma extensão dos grupos R e N se existir uma sequência exata $1 \rightarrow N \rightarrow G \rightarrow R \rightarrow 1$;

(iv) Um grupo localmente amenável é amenável.

Demonstração. (i) Já vimos que grupos finitos são amenáveis. Vimos também que \mathbb{Z} é amenável. Agora, pelo item (iii) segue que grupos abelianos finitamente gerados são amenáveis, devido ao teorema de classificação dos grupos abelianos finitamente gerados. Usando o item (iv), concluímos que todo grupo abeliano é amenável.

(ii) Sejam G um grupo amenável, $H \leq G$ e $N \triangleleft G$. Um subconjunto A em G/N é uma coleção de classes laterais $x_\alpha N$ de N . Defina então a seguinte medida em G/N : $\mu_{G/N}(A) = \mu_G(\bigcup x_\alpha N)$. Por outro lado, considere $R := \{x_\alpha \in G \mid G = \bigcup x_\alpha H\}$, o conjunto de representantes de classes laterais à esquerda de H em G . Dado $A \subset H$, defina $\mu_H(A) = \mu_G(RA)$. Deixamos como exercício a verificação de que as medidas $\mu_{G/N}$ e μ_H cumprem as propriedades de amenabilidade.

- (iii) Sejam ν uma medida sobre N e σ uma medida sobre G/N , ambas invariantes à esquerda. Para uma classe lateral $Nx \in G/N$ defina $f_A(Nx) = \nu(N \cap Ax)$. Isso não depende da escolha do representante x , pois se $Nw = Nx$, então $wx^{-1} \in N$. Logo $w = xy$, com $y \in N$, e assim obtemos $f_A(Nw) = \nu(N \cap Axy) = \nu((N \cap Ax)y) = \nu(N \cap Ax) = f_A(Nx)$. Portanto, f_A é uma função bem-definida em G/N . Para $A \subset G$, defina $\mu(A) = \int f_A d\sigma$. Assim, μ é aditiva. Note que, como N é normal, temos $zN = Nz$. Logo, $f_{Az}(Nx) = f_A(Nzx) = f_A(zNx)$ e portanto, usando que $\int f d\sigma$ é invariante à direita, concluímos que $\mu(Az) = \int f_{Az} d\sigma = \int f_A(zNx) d\sigma = \int f_A d\sigma = \mu(A)$. Note que f_G é constante igual a 1 e portanto $\mu(G) = 1$, o que permite concluirmos que G é amenável.
- (iv) Considere o conjunto das funções $f : 2^G \rightarrow [0, 1]$. Esse conjunto pode ser visto como o produto cartesiano $[0, 1]^{2^G}$, o qual é compacto com a topologia produto. O conjunto de todas as medidas finitamente aditivas e invariantes μ , satisfazendo $\mu(G) = 1$, é definido por várias igualdades entre os valores de μ , e portanto é um conjunto fechado (possivelmente vazio) em $[0, 1]^{2^G}$. Sejam H um subgrupo finitamente gerado de G e μ uma medida em H . Estenda essa medida a G pondo $\mu(A) = \mu(A \cap H)$. A medida resultante em G é finitamente aditiva e vale $\mu(G) = 1$, mas ela somente é invariante com respeito à multiplicação por elementos de H . O conjunto \mathcal{M}_H de todas as medidas em G que são finitamente aditivas e H -invariantes é também fechado, e acabamos de ver que ele é não vazio. Se H_1, \dots, H_r são subgrupos de G finitamente gerados, e pondo $K = \langle H_1, \dots, H_r \rangle$, os conjuntos \mathcal{M}_{H_i} se intersectam em \mathcal{M}_K , e portanto essa interseção é não vazia. Como os conjuntos \mathcal{M}_H são fechados num espaço compacto, sua interseção é não vazia, e toda função nessa interseção é uma medida invariante em G .

□

Exercício 11.9. Mostre que o grupo acendedor de lâmpadas (ver

Seção 9.2) é amenável.

Exercício 11.10. Qualquer grupo G contém um subgrupo normal amenável que contém todos os subgrupos normais amenáveis de G (este subgrupo é chamado *radical amenável* de G).

Definição 11.11. A classe minimal \mathcal{E} dos grupos satisfazendo os itens (i)–(iv) do Teorema 11.8 é denominada classe dos *grupos amenáveis elementares*.

Assim, \mathcal{E} é a menor classe de grupos que contém todos os grupos finitos e todos os grupos abelianos, é fechada com respeito à formação de subgrupos, quocientes e extensões. Além disso, ela contém G sempre que contiver todos os subgrupos finitamente gerados de G . Pelo Teorema 11.8, todo grupo na classe \mathcal{E} é amenável. Por muito tempo, foi uma questão em aberto a existência ou não de grupos amenáveis que não estejam na classe \mathcal{E} . Veremos que grupos de crescimento intermediário são exemplos neste sentido.

11.3 Condição de Følner e crescimento

Definição 11.12. Seja G um grupo gerado por um conjunto S , e considere $A \subset G$. A *fronteira* ∂A de A é o conjunto dos elementos de G cuja distância até A é igual a 1, isto é, dos elementos $x \in G$ tais que $x \notin A$, mas existe um elemento $y \in A$ e um gerador $s \in S$ tal que $x = ys$ ou $x = ys^{-1}$.

Definição 11.13. Dizemos que um grupo finitamente gerado G satisfaz a *condição de Følner* se $\inf \frac{|\partial X|}{|X|} = 0$, sendo o ínfimo tomado sobre todos os subconjuntos finitos $X \subset G$. Equivalentemente, podemos pedir que exista uma *seqüência de Følner* em G , isto é, uma seqüência X_n de subconjuntos finitos de G tais que $\lim_{n \rightarrow \infty} \frac{|\partial X_n|}{|X_n|} = 0$.

Teorema 11.14. *Um grupo satisfaz a condição de Følner se, e somente se, é amenável.*

Demonstração. Suponhamos inicialmente que G satisfaz a condição de Følner. Seja X_n uma sequência de Følner em G . Como no Exemplo 11.3, fixe um ultrafiltro não principal \mathcal{F} e, para cada subconjunto A de G , defina $A_n = A \cap X_n$, $\mu_n(A) = \frac{|A_n|}{|X_n|}$ e $\mu(A) = \mathcal{F} \lim \mu_n(A)$.

A aditividade de μ é clara. Verifiquemos que μ é invariante à direita. Seja $s \in S$ um dos geradores de G . Então $|As \cap X_n| = |A \cap X_n s^{-1}|$ e $A \cap X_n s^{-1} \subset A_n \cup \partial X_n$. Logo,

$$\frac{|As \cap X_n|}{|X_n|} \leq \mu_n(A) + \frac{|\partial X_n|}{|X_n|}.$$

Após passagem ao limite, obtemos $\mu(As) \leq \mu(A)$. Da mesma forma, $\mu(A) = \mu(As \cdot s^{-1}) \leq \mu(As)$, e assim $\mu(As) = \mu(A)$. Portanto, o grupo G é amenável.

Reciprocamente, suponhamos que G é amenável. Seguiremos a prova de Namioka [Nam64]. Seja Φ o conjunto

$$\{f \in \ell^1(G) \mid f \geq 0 \text{ tem suporte finito e } \|f\|_{\ell^1(G)} = \sum_{g \in G} |f(g)| = 1\}.$$

Claramente, Φ é um subconjunto convexo de $\ell^1(G)$.

Podemos mostrar que se $A \subset G$ for finito e $\varepsilon > 0$, então existe $f \in \Phi$ tal que $\|f - f_a\|_{\ell^1(G)} \leq \varepsilon$, para todo $a \in A$ (onde $f_g(x) = g(xg^{-1})$). De fato, suponha que isto não acontece. Então existem $A \subset G$ finito e $\varepsilon > 0$ tais que, para todo $f \in \Phi$, há algum $a \in A$ com $\|f - f_a\|_{\ell^1(G)} > \varepsilon$. Assim, $\{f - f_a \mid f \in \Phi\}$ é um subconjunto convexo de $\ell^1(G)$ limitado a partir de 0, e pelo Teorema da Separação de Hahn–Banach (veja [Zäl02, pp. 5–7], existem $\beta \in \ell^1(G)^*$ e $t \in \mathbb{R}$ tais que $\beta(f - f_a) \geq t > 0$ para todo $f \in \Phi$. Como $\ell(G)^* = \ell^\infty(G)$, o espaço de funções limitadas em G , existe $m \in \ell^\infty(G)$ tal que

$$\langle f - f * \delta_a, m \rangle = \sum_{x \in G} (f - f * \delta_a)(x) m(x) \geq t, \quad \forall f \in \Phi,$$

onde δ_a e $*$ denotam a função delta de Dirac e a convolução de duas funções, respectivamente.

Tomando $f = \delta_y$ para $y \in G$, temos

$$\begin{aligned} \langle \delta_y - \delta_y * \delta_a, m \rangle &= \sum_{x \in G} \delta_y(x)m(x) - \delta_y(xa^{-1})m(x) \\ &= m(y) - m_{a^{-1}}(y) \geq t. \end{aligned}$$

Então $m(y) - m_{a^{-1}} \geq t$ para todo $y \in G$. Como G é amenável, existe $M : \ell^\infty(G) \rightarrow \mathbb{R}$ invariante à direita. Aplicando M à desigualdade acima obtemos $M(m(y) - m_{a^{-1}}(y)) \geq t > 0$, contradizendo a invariância à direita de M .

Em particular, dados $A = S \subset G$ e $\varepsilon > 0$, existe $f \in \Phi$ tal que $\|f - f_a\|_{\ell^1(G)} \leq \varepsilon/|A|$, para todo $a \in A$. A função f tem suporte finito, então $f = \sum_{i=1}^n c_i \chi_{F_i}$, para $c_i > 0$ e certos conjuntos finitos $F_1 \supset F_2 \supset \dots \supset F_n$.

Além disso, $\sum_{i=1}^n c_i |F_i| = 1$, pois $f \in \Phi$. Agora, $|f(g) - f_a(g)| \geq c_i$, para todo $g \in \partial_a F_i$, onde

$$\partial_a F_i = \{x \notin F_i \mid \text{existe } y \in F_i \text{ tal que } x = ya \text{ ou } x = ya^{-1}\}.$$

Então

$$\sum_{i=1}^n c_i |\partial_a F_i| \leq \|f - f_a\|_{\ell^1(G)} \leq \frac{\varepsilon}{|A|} \sum_{i=1}^n c_i |F_i|, \forall a \in A.$$

Assim,

$$\sum_{i=1}^n \sum_{a \in A} c_i |\partial_a F_i| \leq \varepsilon \sum_{i=1}^n c_i |F_i|.$$

Concluimos que existe i tal que $\sum_{a \in A} c_i |\partial_a F_i| \leq \varepsilon |F_i|$, e portanto

$$\frac{|\partial F_i|}{|F_i|} \leq \varepsilon, \forall a \in A.$$

Logo, podemos colocar F_i em uma sequência de Følner. □

Corolário 11.15. Um grupo de crescimento subexponencial é sempre amenável. Em particular, os grupos virtualmente abelianos ou virtualmente nilpotentes são amenáveis.

Demonstração. Seja G um grupo de crescimento subexponencial, e considere $B_n = \{x \in G \mid \ell(x) \leq n\}$ e escreva $|B_n| = s_n$.

Então ∂B_n é o conjunto de elementos de comprimento $n + 1$, e $\liminf \frac{s_{n+1}}{s_n} \leq \lim (s_n)^{1/n} = 1$. Mas $s_{n+1} \geq s_n$, e portanto $\liminf \frac{s_{n+1}}{s_n} = 1$. Como $s_{n+1} = |B_n| + |\partial B_n|$, temos $\liminf \frac{|\partial B_n|}{|B_n|} = 0$, e deve existir uma subseqüência de B_n a qual é uma seqüência de Følner em G . \square

Proposição 11.16. Sejam G e G' são grupos finitamente gerados quasi-isométricos. Então G é amenável se, e somente se, G' é amenável.

Demonstração. Basta considerar uma seqüência de Følner $\Omega_n \subset G$. Uma quasi-isometria $f : G \rightarrow G'$ fornece uma seqüência de Følner $f(\Omega_n) \subset G'$. \square

Em [Cho80], Chou descreve propriedades importantes da classe de grupos amenáveis elementares. Ele também estendeu o trabalho de Milnor e Wolf sobre crescimento de grupos para a classe de grupos amenáveis elementares:

Teorema 11.17 (Chou, 1980). *Um grupo finitamente gerado elementar amenável ou tem crescimento exponencial ou é virtualmente nilpotente.*

Além disso, ele provou que as operações de tomar subgrupos e quocientes são redundantes na definição de grupos amenáveis elementares. Isto permitiu que fossem encontrados exemplos de grupos amenáveis que não são amenáveis elementares. O grupo de Grigorchuk foi o primeiro exemplo nesse sentido.

Os resultados anteriores implicam o seguinte:

Corolário 11.18. Os grupos de crescimento intermediário são amenáveis, mas não amenáveis elementares.

Em [JM13] e [Nek18], os autores sugeriram novos métodos para construir grupos amenáveis finitamente gerados que não são elementares. Isso produziu os primeiros exemplos de *grupos simples* amenáveis, mas não amenáveis elementares. É interessante notar que o método de Nekrashevych em [Nek18] é baseado na análise dos grafos de Schreier associados e sua estrutura linear.

Capítulo 12

Alguns problemas abertos

Recolhemos aqui alguns problemas ainda abertos. A maioria deles foi mencionada em algum lugar neste texto. Em [Man12, Seção 18], há também uma coleção de problemas em aberto. Uma lista interessante de exercícios avançados pode ser encontrada em [dLH00, páginas 295-298].

Problema 12.1 (Conjectura de Andrews–Curtis). *Qualquer apresentação balanceada do grupo trivial pode ser reduzida a uma apresentação trivial por uma sequência de conjugações dos relatores ou transformações de Nielsen?*

Problema 12.2 (Thurston). *Mostrar que os volumes de 3-variedades hiperbólicas não são todos racionalmente relacionados.*

Problema 12.3. *Existe um grupo Gromov-hiperbólico que não é $\text{CAT}(-1)$?*

Problema 12.4. *Suponha que G é um grupo $\text{CAT}(0)$. É verdade que G contém um subgrupo isomorfo a \mathbb{Z}^2 ?*

Problema 12.5. *Determine se todos os grupos hiperbólicos são residualmente finitos.*

Problema 12.6. *Existe um grupo finitamente apresentado de crescimento intermediário?*

Problema 12.7. *Existe um grupo de crescimento intermediário com todos os elementos de ordens limitadas por uma mesma constante?*

Problema 12.8. *Existe um grupo infinito, finitamente apresentado, de torção?*

Problema 12.9. *O grupo de Thompson*

$$F = \langle A, B \mid [AB^{-1}, A^{-1}BA], [AB^{-1}, A^{-2}BA^2] \rangle$$

é amenável ou não?

Índice Remissivo

- ε -preenchimento, 183
- abelianização, 36
- acoplamento topológico, 93
- algoritmo de Dehn, 185
- Alternativa de Tits, 190
- apresentação de Dehn, 185
- apresentação de um grupo, 29
- área combinatorial, 184
- área combinatória, 175
- árvore, 55
- árvore de extensão, 55, 60
- automorfismo, 15
- ação cocompacta, 47, 85
- ação colimitada, 46, 85
- ação discreta, 47
- ação efetiva, 45
- ação geométrica, 47, 85
- ação livre, 46
- ação propriamente descontínua, 47, 85
- ação própria, 47
- ação topológica, 85
- ação transitiva, 47
- ações de grupos, 45
- caminho em um grafo, 54
- centroide, 143, 187
- ciclo em um grafo, 54
- classe lateral, 15
- colapso, 143
- comprimento do comutador, 36
- comutador de dois elementos, 36
- condição de Følner, 254
- cone assintótico, 118
- conjectura de Andrews–Curtis, 31, 259
- conjectura de von Neumann, 250
- conjunto δ -denso, 76
- conjunto ε -separado, 76
- conjunto convexo, 155
- conjunto quasi-convexo, 155
- constante de hiperbolicidade, 138
- crescimento exponencial, 202
- crescimento intermediário, 233
- crescimento polinomial, 203
- decomposição paradoxal, 249
- desigualdade isoperimétrica, 176
- desigualdade isoperimétrica grosseira, 184
- desigualdade triangular, 75
- diagrama de van Kampen, 179
- dimensão de Hausdorff, 226
- dimensão topológica, 225

distância de Hausdorff, 76
 eixo, 129
 epimorfismo, 14
 equivalência bi-Lipschitz, 65
 espaço $CAT(k)$, 145
 espaço de fins de um espaço topológico, 103
 espaço grosseiramente conectado, 156
 espaço hiperbólico, 131
 espaço métrico, 75
 espaço métrico geodésico, 84
 espaço métrico homogêneo, 225
 espaço métrico próprio, 84
 espaço quasi-geodésico, 79
 espaço uniformemente discreto, 199
 espaços δ -hiperbólicos (Rips), 138
 espaços Gromov-hiperbólicos, 138
 espaços quasi-isométricos, 77, 79
 fecho convexo, 155
 fecho normal, 26
 fecho quasi-convexo, 155
 filtro, 111
 filtro das vizinhanças, 112
 filtro de Fréchet, 112
 fronteira ideal, 159, 161, 187
 fronteira sequencial, 160
 função bi-Lipschitz, 77
 função de Busemann, 133
 função de crescimento, 199
 função de Dehn, 176
 função Lipschitz grosseira, 78
 funções assintoticamente iguais, 199
 geodésica, 84
 geradores de um grupo, 25
 grafo, 53
 grafo k -regular, 53
 grafo de Cayley, 55
 grafo de Cayley conado, 196
 grafo de Coxeter, 38
 grafo de Schreier, 71
 grupo, 13
 grupo $CAT(k)$, 145
 grupo abeliano, 13
 grupo acendedor de lâmpadas, 30, 209, 254
 grupo amenável, 247
 grupo de convergência, 187, 196
 grupo de Grigorchuk, 234
 grupo de Heisenberg discreto, 39, 206, 218
 grupo de isotropia, 46
 grupo de quasi-isometrias, 82
 grupo de Thompson, 32, 260
 grupo derivado, 36
 grupo elementar, 188
 grupo finitamente apresentado, 29
 grupo finitamente gerado, 26
 grupo geometricamente finito, 196
 grupo hiperbólico, 173
 grupo limitadamente gerado, 207
 grupo linear, 14
 grupo livre, 20
 grupo livre abeliano, 25
 grupo localmente \mathcal{G} , 252
 grupo metabeliano, 205
 grupo nilpotente, 205
 grupo noetheriano, 208

grupo poli- C_∞ , 207
 grupo policíclico, 207
 grupo relativamente hiperbólico, 195, 197
 grupo residualmente X , 244
 grupo residualmente finito, 245
 grupo residualmente- p , 245
 grupo solúvel, 205
 grupos amenáveis elementares, 254
 grupos comensuráveis, 90
 grupos de Artin, 39
 grupos de Artin de ângulos retos, 38
 grupos de Baumslag–Solitar, 39
 grupos de Burnside, 40, 250
 grupos de Coxeter, 38
 grupos de superfícies, 37
 grupos virtualmente isomorfos, 90
 homomorfismo, 14
 horobola, 133
 horoesfera, 133
 índice de um subgrupo, 15
 inversão, 131
 isometria elíptica, 129, 132
 isometria hiperbólica, 129, 132
 isometria parabólica, 129, 132
 isomorfismo, 14
 Lema de Fekete, 202
 Lema de van Kampen, 180
 limite direto, 102
 limite inverso, 102
 mergulho quasi-isométrico, 78
 modelo geométrico comum, 94
 métrica das palavras, 58
 métrica visual, 171
 número de fins de um espaço topológico, 98
 número de fins de um grupo, 101
 número de translação, 129
 órbita (por uma ação de grupo), 46
 plano hiperbólico, 127
 polígono magro, 147
 ponto limite cônico, 196
 ponto parabólico, 196
 posto de um grupo livre, 21
 posto do grupo livre, 24
 potência reduzida, 114
 problema de Burnside, 244
 processo de Reidemeister–Schreier, 69
 produto de Gromov, 138
 produto direto de grupos, 17
 produto entrelaçado de grupos, 18
 produto semidireto de grupos, 17
 propriedade geométrica, 95
 quasi inversa, 79
 quasi-convexidade, 155
 quasi-geodésica, 79
 quasi-isometria, 79
 quociente de grupos, 15
 quociente pela ação de um grupo, 47
 radical amenável de um grupo, 254

raio, 105
 raios assintóticos, 158
 rede ε -separada, 76
 redução de uma palavra, 22
 rigidez quasi-isométrica, 95

 sequência de Følner, 254
 sequência moderada, 117
 sequência que converge para infinito, 160
 série central inferior, 205
 série central superior, 205
 série cíclica, 207
 série derivada, 205
 sistema direto, 101
 sistema inverso, 102
 subgrupo, 14
 subgrupo característico, 29
 subgrupo gerado por S , 25
 subgrupo normalmente gerado, 26
 subgrupo parabólico, 196
 subgrupo quase malnormal, 197

 teorema de Adian–Rabin, 42
 teorema de Hahn–Banach, 114
 teorema de Rauch–Toponogov, 145
 teorema do crescimento regular, 228
 topologia da sombra, 163
 topologia do cone, 167
 torção, 20
 transformações de Möbius, 127, 132
 transformações de Nielsen, 31
 transversal de Schreier, 66
 triângulo δ -magro, 135, 138
 triângulo de comparação, 145
 triângulo geodésico, 137
 triângulo hiperbólico, 134
 triângulo ideal, 134
 trípode, 142

 ultrafiltro, 112
 ultrafiltro principal, 112
 ultralimite, 115
 ultrapotência, 115

Referências Bibliográficas

- [AD00] S. I. Adyan and V. G. Durnev. Algorithmic problems for groups and semigroups. Uspekhi Mat. Nauk, 55(2(332)):3–94, 2000.
- [Adi82] S. I. Adian. Random walks on free periodic groups. Izv. Akad. Nauk SSSR, Ser. Mat., 46:1139–1149, 1982.
- [Adi15] Sergei Ivanovich Adian. New estimates of odd exponents of infinite Burnside groups. Proceedings of the Steklov Institute of Mathematics, 289:33–71, 2015.
- [Ady57] S. I. Adyan. Unsolvability of some algorithmic problems in the theory of groups. Trudy Moskov. Mat. Obšč., 6:231–298, 1957.
- [Ale72] Stanislav Vladimirovich Aleshin. Finite automata and Burnside’s problem for periodic groups. Mathematical Notes of the Academy of Sciences of the USSR, 11:199–203, 1972.
- [And06] James W. Anderson. Hyperbolic geometry. Springer Science & Business Media, 2006.
- [Art91] Michael Artin. Algebra. Englewood Cliffs, NJ: Prentice-Hall, 1991.
- [AWL79] Sergei Ivanovich Adian, James Wiegold, and John Lennox. The Burnside problem and identities in groups, volume 95. Springer, 1979.

- [Bal95] Werner Ballmann. Lectures on spaces of nonpositive curvature, volume 25 of DMV Seminar. Birkhäuser Verlag, Basel, 1995. With an appendix by Misha Brin.
- [Ban23] Stefan Banach. Sur le problème de la mesure. Fundam. Math., 4:7–33, 1923.
- [Bar98] Laurent Bartholdi. Lower bounds on the growth of Grigorchuk’s torsion group. International Mathematics Research Notices, 20:1049–1054, 1998.
- [Bar01] Laurent Bartholdi. Lower bounds on the growth of a group acting on the binary rooted tree. International Journal of Algebra and Computation, 11(01):73–88, 2001.
- [Bas72] Hyman Bass. The degree of polynomial growth of finitely generated nilpotent groups. Proc. London Math. Soc. (3), 25:603–614, 1972.
- [Bau] Baumslag–Solitar group. Encyclopedia of Mathematics. URL http://encyclopediaofmath.org/index.php?title=Baumslag-Solitar_group&oldid=50012.
- [Bau61] Gilbert Baumslag. Wreath products and finitely presented groups. Math. Z., 75:22–28, 1960/61.
- [Bav91] Christophe Bavard. Longueur stable des commutateurs. Enseign. Math. (2), 37(1-2):109–150, 1991.
- [BBI22] Dmitri Burago, Yuri Burago, and Sergei Ivanov. A course in metric geometry, volume 33. American Mathematical Society, 2022.
- [Bea12] Alan F. Beardon. The geometry of discrete groups, volume 91. Springer Science & Business Media, 2012.
- [BG08] Emmanuel Breuillard and Tsachik Gelander. Uniform independence in linear groups. Invent. Math., 173(2):225–263, 2008.

- [BH13a] Martin Bridson and André Haefliger. Metric spaces of non-positive curvature, volume 319. Springer Science & Business Media, 2013.
- [BH13b] David J. Buckley and Derek F. Holt. The conjugacy problem in hyperbolic groups for finite lists of group elements. Internat. J. Algebra Comput., 23(5):1127–1150, 2013.
- [BK98] Dimitri Burago and Bruce Kleiner. Separated nets in euclidean space and jacobians of bilipschitz maps. Geometric & Functional Analysis GAFA, 8(2):273–282, 1998.
- [BK02] Dimitri Burago and Bruce Kleiner. Rectifying separated nets. Geometric and Functional Analysis, 12(1):80–92, 2002.
- [BM00] Marc Burger and Shahar Mozes. Lattices in product of trees. Inst. Hautes Études Sci. Publ. Math., 92:151–194 (2001), 2000.
- [Bog08] Oleg Bogopolski. Introduction to group theory. EMS Textbooks in Mathematics. European Mathematical Society (EMS), Zürich, 2008. Translated, revised and expanded from the 2002 Russian original.
- [Bon09] Francis Bonahon. Low-dimensional geometry: From Euclidean surfaces to hyperbolic knots, volume 49. American Mathematical Soc., 2009.
- [Boo57] William W. Boone. Certain simple, unsolvable problems of group theory. V, VI. Nederl. Akad. Wetensch. Proc. Ser. A. 60 = Indag. Math., 19:22–27, 227–232, 1957.
- [Bow12] Brian H. Bowditch. Relatively hyperbolic groups. Int. J. Algebra Comput., 22(3):1250016, 66, 2012.

- [Bra99] Noel Brady. Branched coverings of cubical complexes and subgroups of hyperbolic groups. Journal of the London Mathematical Society, 60(2):461–480, 1999.
- [Bre23] Emmanuel Breuillard. An exposition of Jordan’s original proof of his theorem on finite subgroups of $GL_n(\mathbb{C})$. Model Theory, 2:429–447, 2023.
- [BS99] Werner Ballmann and Jacek Świątkowski. On groups acting on nonpositively curved cubical complexes. Enseign. Math. (2), 45(1-2):51–81, 1999.
- [Bus66] Herbert Busemann. Extremals on closed hyperbolic space forms. Matematika, 10(4):140–145, 1966.
- [Cal08] Danny Calegari. Length and stable length. Geom. Funct. Anal., 18(1):50–76, 2008.
- [Can84] James W. Cannon. The combinatorial structure of cocompact discrete hyperbolic groups. Geometriae Dedicata, 16(2):123–148, 1984.
- [CG24] Tal Cohen and Tsachik Gelander. An invitation to analytic group theory. arXiv:2402.15867 [math.GR], 2024.
- [Cho80] Ching Chou. Elementary amenable groups. Illinois Journal of Mathematics, 24(3):396–407, 1980.
- [Cho96] Richard Chow. Groups quasi-isometric to complex hyperbolic space. Trans. Amer. Math. Soc., 348(5):1757–1769, 1996.
- [CJ94] Andrew Casson and Douglas Jungreis. Convergence groups and Seifert fibered 3-manifolds. Invent. Math., 118(3):441–456, 1994.
- [Dah03] François Dahmani. Combination of convergence groups. Geom. Topol., 7:933–963, 2003.

- [DE00] Anna Dyubina (Erschler). Instability of the virtual solvability and the property of being virtually torsion-free for quasi-isometric groups. Internat. Math. Res. Notices, 2000(21):1097–1101, 2000.
- [Deh11] Max Dehn. Über unendliche diskontinuierliche Gruppen. Math. Ann., 71(1):116–144, 1911.
- [Deh12] Max Dehn. Papers on group theory and topology. Springer Science & Business Media, 2012.
- [DG11] François Dahmani and Vincent Guirardel. The isomorphism problem for all hyperbolic groups. Geom. Funct. Anal., 21(2):223–300, 2011.
- [DK18] Cornelia Druţu and Michael Kapovich. Geometric group theory, volume 63 of American Mathematical Society Colloquium Publications. American Mathematical Society, Providence, RI, 2018. With an appendix by Bogdan Nica.
- [dLH00] Pierre de La Harpe. Topics in geometric group theory. University of Chicago Press, 2000.
- [EF97] Alex Eskin and Benson Farb. Quasi-flats and rigidity in higher rank symmetric spaces. J. Amer. Math. Soc., 10(3):653–692, 1997.
- [Efr53] Vadim Arsenyevich Efremovic. The proximity geometry of Riemannian manifolds. Uspekhi Mat. Nauk, 8(5):57, 1953.
- [EFW12] Alex Eskin, David Fisher, and Kevin Whyte. Coarse differentiation of quasi-isometries I: Spaces not quasi-isometric to Cayley graphs. Ann. of Math. (2), 176(1):221–260, 2012.
- [EFW13] Alex Eskin, David Fisher, and Kevin Whyte. Coarse differentiation of quasi-isometries II: Rigidity for Sol and

- lamplighter groups. Ann. of Math. (2), 177(3):869–910, 2013.
- [Esk98] Alex Eskin. Quasi-isometric rigidity of nonuniform lattices in higher rank symmetric spaces. J. Amer. Math. Soc., 11(2):321–361, 1998.
- [EZ20] Anna Erschler and Tianyi Zheng. Growth of periodic Gromov groups. Invent. Math., 219(3):1069–1155, 2020.
- [Far98] B. Farb. Relatively hyperbolic groups. Geom. Funct. Anal., 8(5):810–840, 1998.
- [Fri60] Aleksandr Abramovich Fridman. On the relation between the word problem and the conjugacy problem in finitely defined groups. Trudy Moskov. Mat. Obšč., 9:329–356, 1960.
- [Gab91] David Gabai. Convergence groups are Fuchsian groups. Bull. Amer. Math. Soc. (N.S.), 25(2):395–402, 1991.
- [GdlH91] Étienne Ghys and Pierre de la Harpe. Infinite groups as geometric objects (after Gromov). In Ergodic theory, symbolic dynamics, and hyperbolic spaces (Trieste, 1989), Oxford Sci. Publ., pages 299–314. Oxford Univ. Press, New York, 1991.
- [GdlH13] Etienne Ghys and Pierre de la Harpe. Sur les groupes hyperboliques d’après Mikhael Gromov, volume 83. Springer Science & Business Media, 2013.
- [Ger92] Stephen M Gersten. Bounded cocycles and comings of groups. International Journal of Algebra and Computation, 2(03):307–326, 1992.
- [Ger93] Steve M. Gersten. Isoperimetric and isodiametric functions of finite presentations. In Geometric group theory, Vol. 1 (Sussex, 1991), volume 181 of London Math. Soc.

- Lecture Note Ser., pages 79–96. Cambridge Univ. Press, Cambridge, 1993.
- [Gol64] Evgenii Solomonovich Golod. On nil-algebras and finitely approximable p -groups. Izv. Akad. Nauk SSSR Ser. Mat., 28(2):273–276, 1964.
- [Gol22] Isaac Goldbring. Ultrafilters throughout mathematics, volume 220. American Mathematical Society, 2022.
- [Gri80] Rostislav Ivanovich Grigorchuk. On Burnside’s problem on periodic groups. Funct. Anal. Appl., 14:41–43, 1980.
- [Gri85] Rostislav Ivanovich Grigorchuk. Degrees of growth of finitely generated groups, and the theory of invariant means. Math. USSR, Izv., 25:259–300, 1985. Translation from Izv. Akad. Nauk SSSR, Ser. Mat. 48, No. 5, 939–985 (1984).
- [Gri14] Rostislav Grigorchuk. Milnor’s problem on the growth of groups and its consequences, pages 705–774. Princeton University Press, Princeton, 2014.
- [Gro81] Mikhael Gromov. Groups of polynomial growth and expanding maps. Inst. Hautes Études Sci. Publ. Math., 53:53–73, 1981.
- [Gro87] Mikhael Gromov. Hyperbolic groups, essays in group theory (S. M. Gersten, ed.), MSRI Publ. 8, 1987.
- [Gro93] Mikhael Gromov. Asymptotic invariants of infinite groups. In Geometric group theory, Vol. 2 (Sussex, 1991), volume 182 of London Math. Soc. Lecture Note Ser., pages 1–295. Cambridge Univ. Press, Cambridge, 1993.
- [Gui70] Yves Guivarc’h. Groupes de Lie à croissance polynomiale. C. R. Acad. Sci. Paris Sér. A-B, 271:A237–A239, 1970.

- [Gui73] Yves Guivarc'h. Croissance polynomiale et périodes des fonctions harmoniques. Bull. Soc. Math. France, 101:333–379, 1973.
- [HW41] Witold Hurewicz and Henry Wallman. Dimension theory, volume 4 of Princeton Math. Ser. Princeton University Press, Princeton, NJ, 1941.
- [JM13] Kate Juschenko and Nicolas Monod. Cantor systems, piecewise translations and simple amenable groups. Ann. Math. (2), 178(2):775–787, 2013.
- [Kat92] Svetlana Katok. Fuchsian groups. University of Chicago press, 1992.
- [KL97a] Michael Kapovich and Bernhard Leeb. Quasi-isometries preserve the geometric decomposition of Haken manifolds. Invent. Math., 128(2):393–416, 1997.
- [KL97b] Bruce Kleiner and Bernhard Leeb. Rigidity of quasi-isometries for symmetric spaces and Euclidean buildings. Inst. Hautes Études Sci. Publ. Math., 86:115–197 (1998), 1997.
- [Kle10] Bruce Kleiner. A new proof of Gromov’s theorem on groups of polynomial growth. Journal of the American Mathematical Society, 23(3):815–829, 2010.
- [KP13] Martin Kassabov and Igor Pak. Groups of oscillating intermediate growth. Ann. Math. (2), 177(3):1113–1145, 2013.
- [KST93] Johannes Köbler, Uwe Schöning, and Jacobo Torán. The graph isomorphism problem: its structural complexity. Progress in Theoretical Computer Science. Birkhäuser Boston, Inc., Boston, MA, 1993.
- [Lan02] Serge Lang. Algebra, volume 211 of Graduate Texts in Mathematics. Springer-Verlag, New York, third edition, 2002.

- [Lys85] Igor Geront'evich Lysenok. A system of defining relations for a Grigorchuk group. Matematicheskie Zametki, 38(4):503–516, 1985.
- [Man12] Avinoam Mann. How groups grow, volume 395 of Lond. Math. Soc. Lect. Note Ser. Cambridge: Cambridge University Press, 2012.
- [McM98] Curtis T. McMullen. Lipschitz maps and nets in Euclidean space. Geometric and Functional Analysis, 1998.
- [Mil68a] John W. Milnor. Growth of finitely generated solvable groups. J. Differential Geometry, 2:447–449, 1968.
- [Mil68b] John W. Milnor. A note on curvature and fundamental group. Journal of Differential geometry, 2(1):1–7, 1968.
- [Mil68c] John W. Milnor. Problem 5603. Amer. Math. Monthly, 75:685–686, 1968.
- [Mil82] John W. Milnor. Hyperbolic geometry: the first 150 years. Bulletin of the American Mathematical Society, 6(1):9–24, 1982.
- [Mil92] Charles F. Miller, III. Decision problems for groups—survey and reflections. In Algorithms and classification in combinatorial group theory (Berkeley, CA, 1989), volume 23 of Math. Sci. Res. Inst. Publ., pages 1–59. Springer, New York, 1992.
- [MKS04] Wilhelm Magnus, Abraham Karrass, and Donald Solitar. Combinatorial group theory: Presentations of groups in terms of generators and relations. Courier Corporation, 2004.
- [Mor24] Harold M. Morse. A fundamental class of geodesics on any closed surface of genus greater than one. Transactions of the American Mathematical Society, 26(1):25–60, 1924.

- [Mos68] George D. Mostow. Quasi-conformal mappings in n -space and the rigidity of hyperbolic space forms. Publications Mathématiques de l’IHÉS, 34:53–104, 1968.
- [Mos73] George D. Mostow. Strong rigidity of locally symmetric spaces. Annals of Mathematics Studies, No. 78. Princeton University Press, Princeton, N.J.; University of Tokyo Press, Tokyo, 1973.
- [MSW03] Lee Mosher, Michah Sageev, and Kevin Whyte. Quasi-actions on trees i. bounded valence. Ann. of Math. (2), pages 115–164, 2003.
- [MZ55] Deane Montgomery and Leo Zippin. Topological transformation groups, volume 1 of Intersci. Tracts Pure Appl. Math. Interscience Publishers, New York, NY, 1955.
- [Nam64] Isaac Namioka. Følner’s conditions for amenable semi-groups. Math. Scand., 15:18–28, 1964.
- [Nek18] Volodymyr Nekrashevych. Palindromic subshifts and simple periodic groups of intermediate growth. Ann. Math. (2), 187(3):667–719, 2018.
- [Nov58] Pyotr Sergejevich Novikov. On the algorithmic insolubility of the word problem in group theory. In American Mathematical Society Translations, Ser. 2, Vol. 9, pages 1–122. American Mathematical Society, Providence, R.I., 1958.
- [Ol’80] A. Yu. Ol’shanskij. On the question of the existence of an invariant measure on a group. Usp. Mat. Nauk, 35(4(214)):199–200, 1980.
- [Ol’91] Aleksandr Yuryevich Ol’shanskij. Geometry of defining relations in groups, volume 70 of Math. Appl., Sov. Ser. Dordrecht etc.: Kluwer Academic Publishers, 1991.

- [Ore51] Oystein Ore. Some remarks on commutators. Proc. Amer. Math. Soc., 2:307–314, 1951.
- [OS03] Alexander Yu. Ol’shanskii and Mark V. Sapir. Non-amenable finitely presented torsion-by-cyclic groups. Publ. Math., Inst. Hautes Étud. Sci., 96:43–169, 2003.
- [Osi06] Denis V. Osin. Relatively hyperbolic groups: intrinsic geometry, algebraic properties, and algorithmic problems, volume 843 of Mem. Am. Math. Soc. Providence, RI: American Mathematical Society (AMS), 2006.
- [Pan83] Pierre Pansu. Croissance des boules et des géodésiques fermées dans les nilvariétés. Ergodic Theory Dynam. Systems, 3(3):415–445, 1983.
- [Pan89] Pierre Pansu. Métriques de Carnot-Carathéodory et quasi-isométries des espaces symétriques de rang un. Ann. of Math. (2), 129(1):1–60, 1989.
- [Pei15] David Peifer. Max Dehn and the origins of topology and infinite group theory. Amer. Math. Monthly, 122(3):217–233, 2015.
- [Poi95] Françoise Point. Groups of polynomial growth and their associated metric spaces. Journal of Algebra, 175(1):105–121, 1995.
- [Rab58] Michael O. Rabin. Recursive unsolvability of group theoretic problems. Ann. of Math. (2), 67:172–194, 1958.
- [Rat06] John G. Ratcliffe. Hyperbolic n-manifolds. Foundations of Hyperbolic Manifolds, pages 508–599, 2006.
- [Sch95] Richard Evan Schwartz. The quasi-isometry classification of rank one lattices. Inst. Hautes Études Sci. Publ. Math., 82:133–168, 1995.

- [Sch96] Richard Evan Schwartz. Quasi-isometric rigidity and Diophantine approximation. Acta Math., 177(1):75–112, 1996.
- [Sel95] Zlil Sela. The isomorphism problem for hyperbolic groups. I. Ann. of Math. (2), 141(2):217–283, 1995.
- [Ser03] Jean-Pierre Serre. Trees. Springer Monographs in Mathematics. Springer-Verlag, Berlin, 2003. Translated from the French original by John Stillwell, Corrected 2nd printing of the 1980 English translation.
- [Sha98] Yehuda Shalom. The growth of linear groups. J. Algebra, 199(1):169–174, 1998.
- [Sha04] Yehuda Shalom. Harmonic analysis, cohomology, and the large-scale geometry of amenable groups. Acta Math., 192(2):119–185, 2004.
- [Sol11] Yaar Solomon. Substitution tilings and separated nets with similarities to the integer lattice. Israel Journal of Mathematics, 181(1):445–460, 2011.
- [ST10] Yehuda Shalom and Terence Tao. A finitary version of Gromov’s polynomial growth theorem. Geometric and Functional Analysis, 20:1502–1547, 2010.
- [Sta68] John R. Stallings. On torsion-free groups with infinitely many ends. Ann. of Math. (2), 88:312–334, 1968.
- [Šva55] Albert Solomonovich Švarc. A volume invariant of coverings. In Dokl. Akad. Nauk SSSR (NS), volume 105, pages 32–34, 1955.
- [Thu82] William P. Thurston. Three-dimensional manifolds, Kleinian groups and hyperbolic geometry. Bull. Amer. Math. Soc. (N.S.), 6(3):357–381, 1982.

- [Thu14] William P. Thurston. Three-dimensional geometry and topology, volume 1. In Three-Dimensional Geometry and Topology, Volume 1. Princeton university press, 2014.
- [Tit72] Jacques Tits. Free subgroups in linear groups. J. Algebra, 20:250–270, 1972.
- [TJ74] J. M. Tyrer Jones. Direct products and the Hopf property. Journal of the Australian Mathematical Society, 17(2):174–196, 1974.
- [Tuk86] Pekka Tukia. On quasiconformal groups. J. Analyse Math., 46:318–346, 1986.
- [Tuk88] Pekka Tukia. Homeomorphic conjugates of Fuchsian groups. J. Reine Angew. Math., 391:1–54, 1988.
- [Tuk94] Pekka Tukia. Convergence groups and Gromov’s metric hyperbolic spaces. New Zealand J. Math., 23(2):157–187, 1994.
- [vN29] John von Neumann. Zur allgemeinen Theorie des Maßes. Fundam. Math., 13:73–116, 1929.
- [Wol68] Joseph A. Wolf. Growth of finitely generated solvable groups and curvature of Riemannian manifolds. J. Differential Geometry, 2:421–446, 1968.
- [Yam04] Ashi Yaman. A topological characterisation of relatively hyperbolic groups. J. Reine Angew. Math., 566:41–89, 2004.
- [Zäl02] C. Zălinescu. Convex analysis in general vector spaces. Singapore: World Scientific, 2002.